# MABH IME 108 – CÁLCULO, DISEÑO Y ENSAYO DE MÁQUINAS

TEMA 3. RESISTENCIA A LA FATIGA

Prof. Dr. José Luis Olazagoitia. MABH

- 1. Introducción.
- 2. Mecanismo de propagación
- 3. Enfoques para el análisis a fatiga
- 4. Cargas cíclicas
- Diagrama S-N
- 6. Ecuación de Marin
- 7. Análisis con tensiones medias no nulas
- 8. Daño acumulado por fatiga
- 9. Tensiones multiaxiales
- 10. Ejemplos



- Tipos de cargas
  - Fuerzas
  - Momentos
- - Estáticas
  - Invariables con el tiempo
  - CRITERIOS ESTÁTICOS (TEMA 2)
- o Dinámicas
  - Variables con el tiempo
  - FATIGA (TEMA 3 ACTUAL)



- o ¿Cuándo un componente se ve sometido a fatiga?
  - Cuando soporta cargas alternadas
    - o Ej. Rueda ferrocarril, biela de un motor, etc.
- Si diseño siempre por debajo del límite elástico ¿Estará mi diseño seguro?
  - ¡¡NO!!. Las piezas se rompen por debajo de su límite elástico cuando están sometidas a cargas alternadas.
- o ¿Qué porcentaje de piezas fallan a fatiga en servicio?
  - El **190%!! August Whöler** (1920). Ing. Ferrocarriles.
  - Propuso <u>límites a las tensiones en función del</u> <u>número de ciclos</u> que se quieran para una pieza.
  - Se llaman curvas de Wöhler o S-N (tensión vs ciclos)



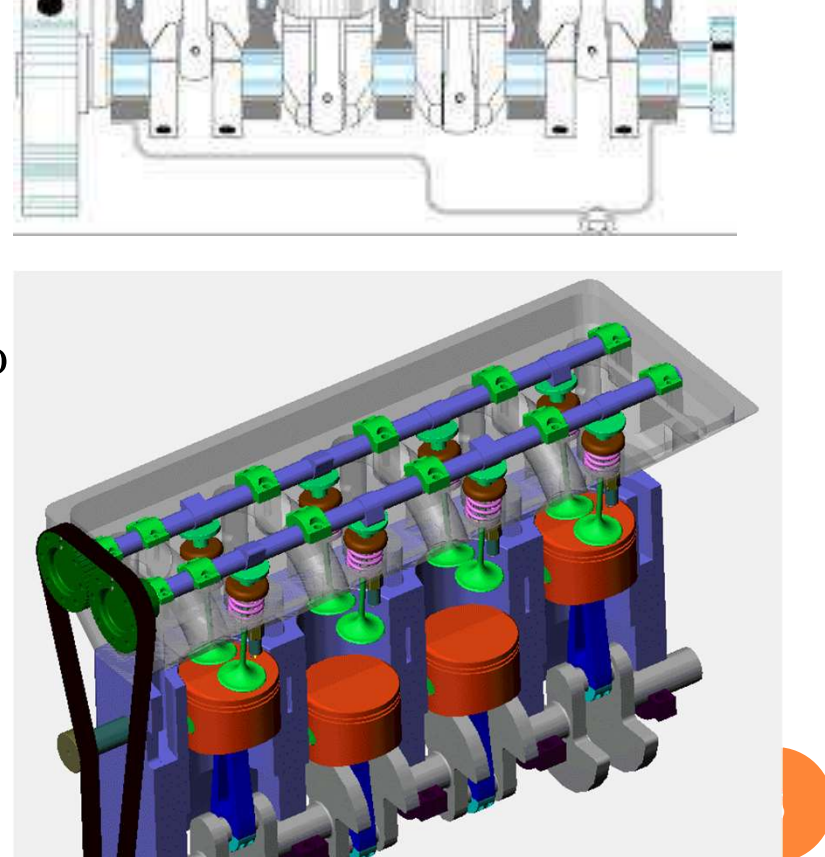
1. Introducción

• En máquinas las <u>cargas suelen</u> <u>ser repetitivas</u>, fluctuantes y/o rápidamente aplicadas

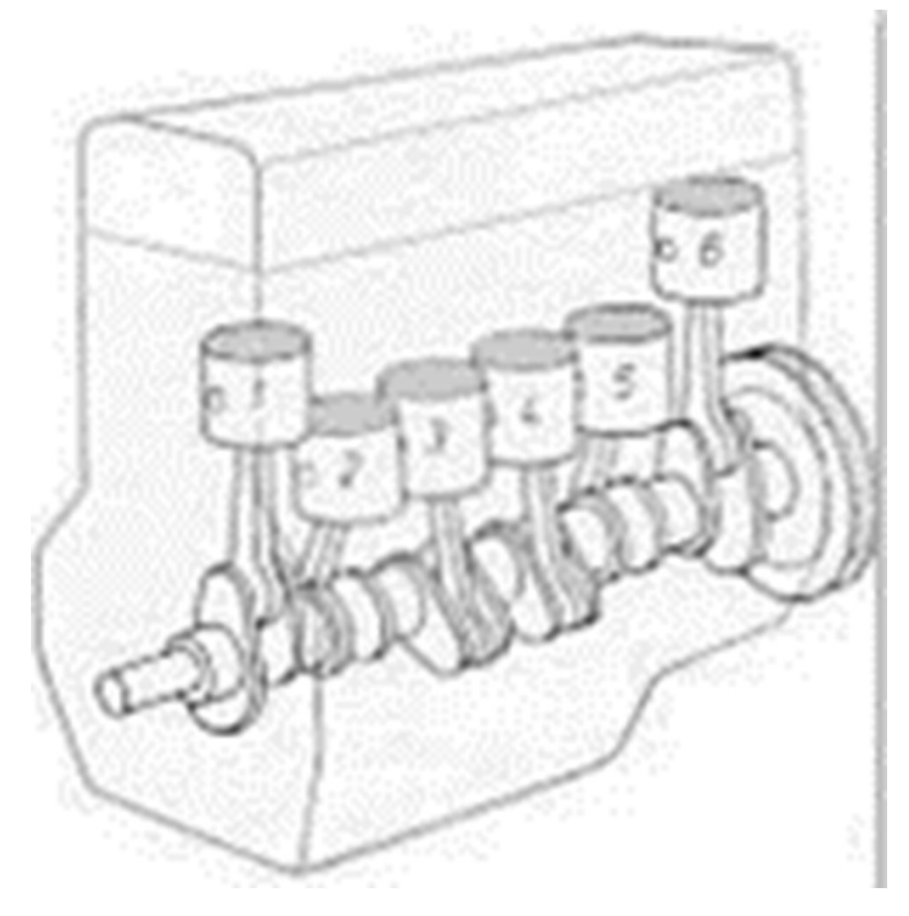
 Tensiones fluctuantes (incluso inferiores al límite elástico del material) <u>pueden provocar</u> <u>fallo por FATIGA</u>.

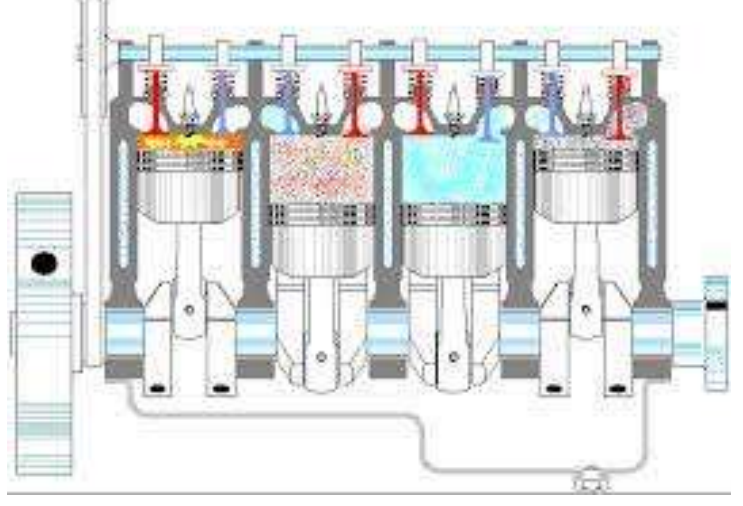
 Primeras investigaciones:
 Ensayos de cadenas del Ingeniero de Minas alemán Albert (1829)

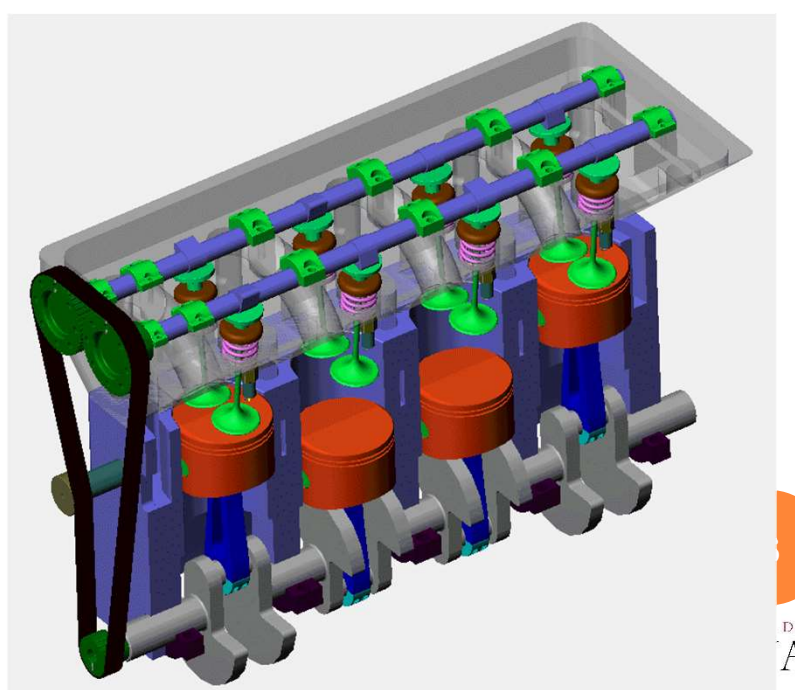
 Se desarrollan las teorías básicas a partir de la utilización masiva del ferrocarril (siglo XIX).
 Ingeniero de ferrocarriles alemán Whöler.



1. Introducción







- Cuando las partes de máquinas <u>fallan estáticamente</u>, por lo general desarrollan una <u>deflexión muy grande</u>, puesto que el esfuerzo sobrepasó el límite elástico; por ello la parte se reemplaza antes de que en realidad suceda la fractura. De esta manera <u>la falla estática</u> <u>proporciona una advertencia visible</u>.
- Pero una falla por fatiga NO proporciona ninguna advertencia. Es repentina y total y, por ende, peligrosa.
- Es relativamente simple diseñar contra la falla estática porque el conocimiento que se tiene de este tipo de fallo es muy completo.

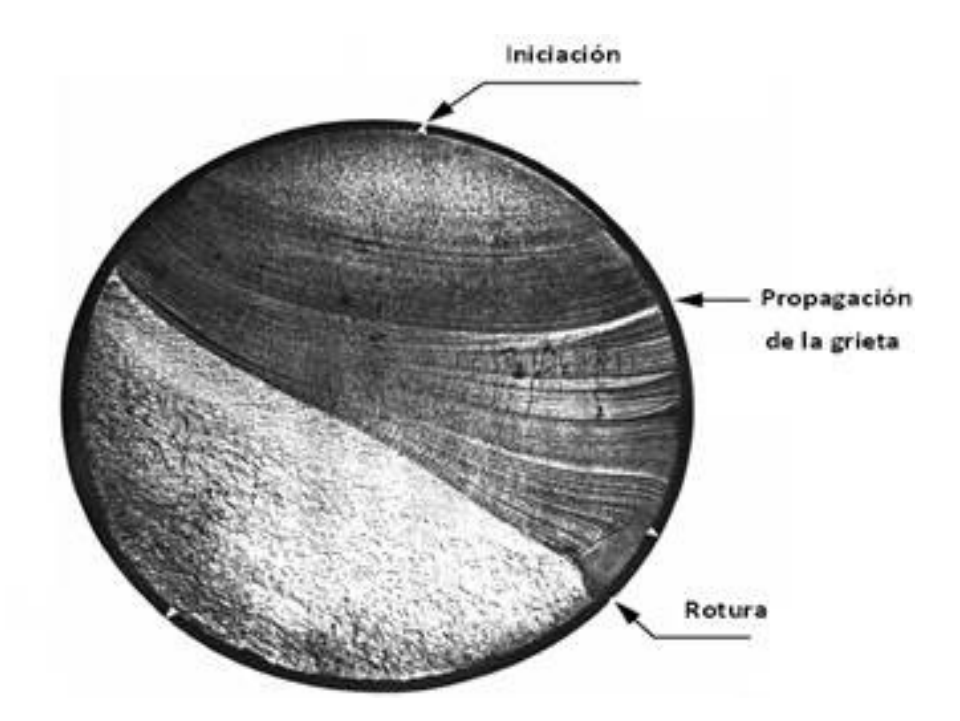
• En la rotura por fatiga aparece una microgrieta, que crece a medida que se realizan ciclos de carga.

 Cuando la grieta crece tanto que la sección residual no puede soportar la carga máxima del ciclo, el material de esa sección rompe de forma frágil o dúctil.





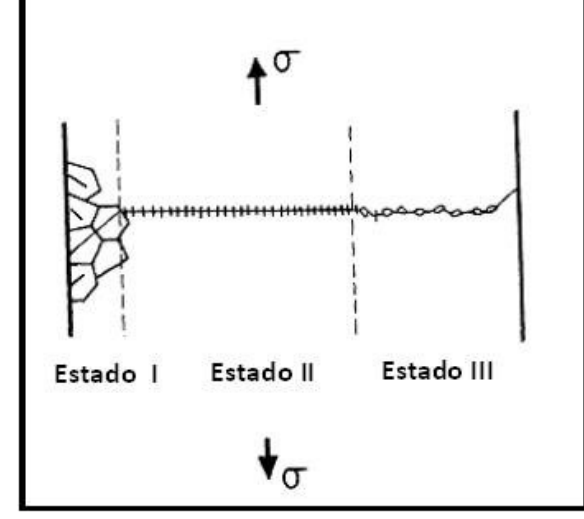
- El fallo puede ser <u>localizado</u> (en zonas con tensiones o deformaciones elevadas)
- o O <u>progresivo</u> (inicio y propagación de grietas hasta la fractura final rápida)





#### 1. Introducción

- Definición fatiga:
  - (ASTM Y 1150-87-1993) "proceso de <u>cambio estructural</u> <u>permanente, progresivo y localizado</u>, producido por tensiones o deformaciones <u>fluctuantes</u> en algún punto o puntos del material, y que puede culminar en <u>grietas</u> o fractura completa después de un número suficiente de ciclos de carga."
- Etapas (estadios) de la fatiga
  - I. Nucleación (iniciación)
  - II. Propagación
  - III. Rotura



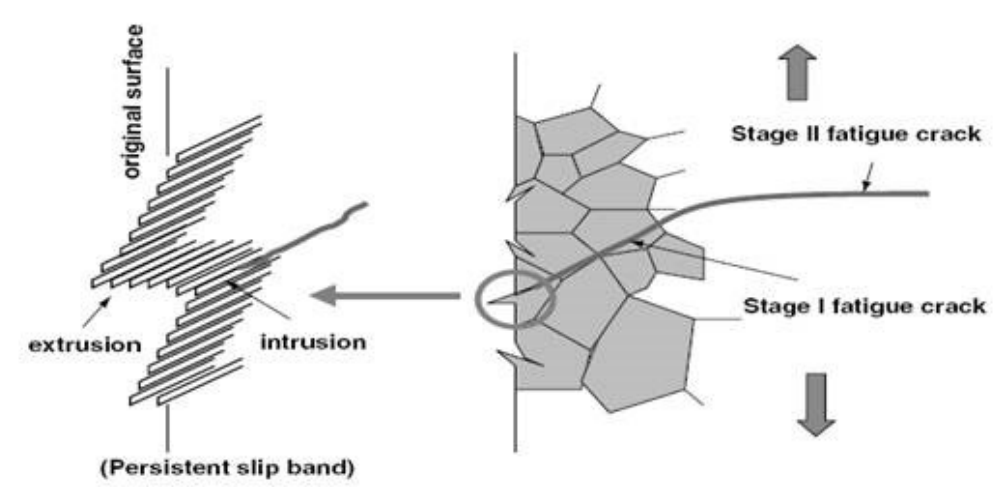




#### • INICIO DE LA GRIETA (NUCLEACIÓN)

- El proceso de iniciación es "esencialmente" superficial (en la superficie del sólido). Raramente ocurre en el interior del mismo. ¿Por qué?
  - 1. La concentración de tensiones es mayor.
  - 2. La deformación plástica es más amplia en esa región.
  - Los cristales están menos soportados (es más fácil el deslizamiento)
  - 4. Acción de las condiciones ambientales.
- Evidencias experimentales revelan que las grietas de fatiga se inician en una región extremadamente pequeña (<0.5 μm)</li>
- Esta etapa es la que consume la mayor parte de la vida de la estructura o del elemento mecánico (propagación lenta)

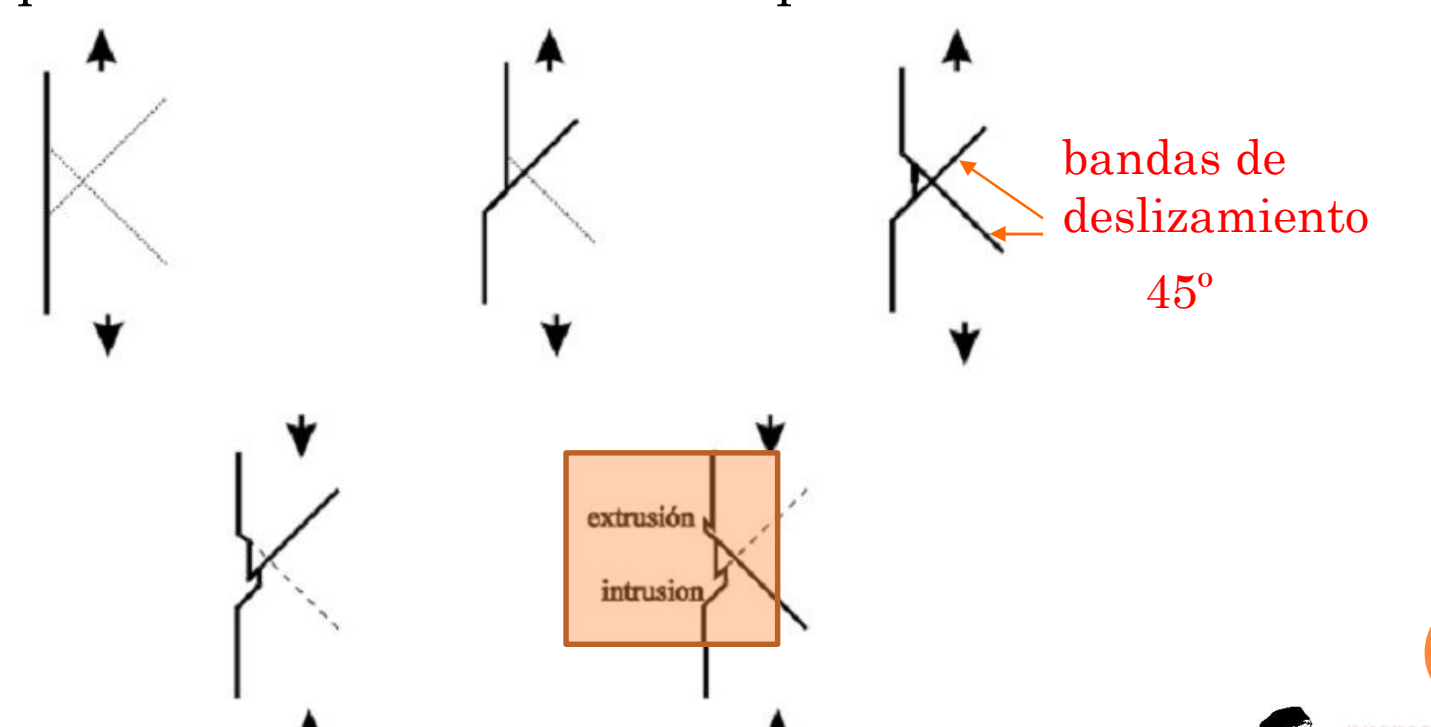
- INICIO DE LA GRIETA (NUCLEACIÓN)
  - En material <u>frágil</u> se inicia en un defecto o discontinuidad (microgrietas, inclusiones)
  - En material <u>dúctil</u> <u>sin concentrador de tensiones</u>, la secuencia es:
    - 1. Formación de bandas de deslizamiento
    - 2. Formación de extrusiones e intrusiones
    - 3. Desarrollo de grietas en intrusiones





#### • Intrusiones y extrusiones

• La formación de intrusiones y extrusiones parece ser una extensión de formación de bandas de deslizamiento, requiriendo irreversibilidad del proceso.



13

Tensión  $\sigma$  (MPa)  $S_{u} = \sum_{y} F$   $S_{u} = \sum_$ 

Dirección de

carga

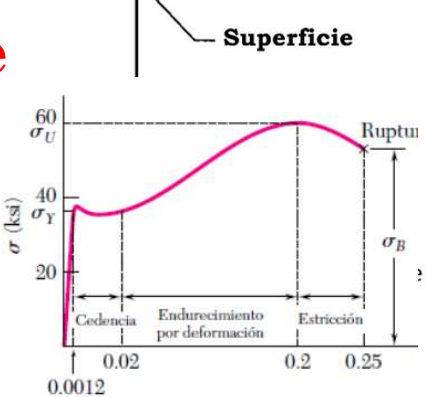
Etapa II

• En metales <u>dúctiles</u>:

• Etapa I: Crecimiento de banda de deslizamiento (plano de τ elevada 45°)

• Etapa II: Unión de grietas y crecimiento en plano (perpendicular a la σ máxima plano de la dirección principal)

o En metales <u>frágiles</u> crece directamente en planos perpendiculares a la máx <sup>40</sup>
No Deslizamiento.



a) Acero al bajo carbono

Etapa I

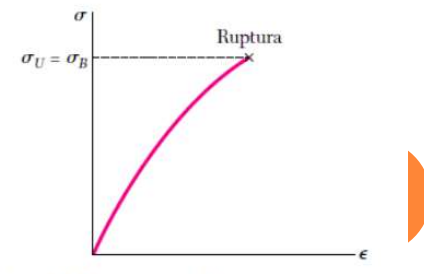
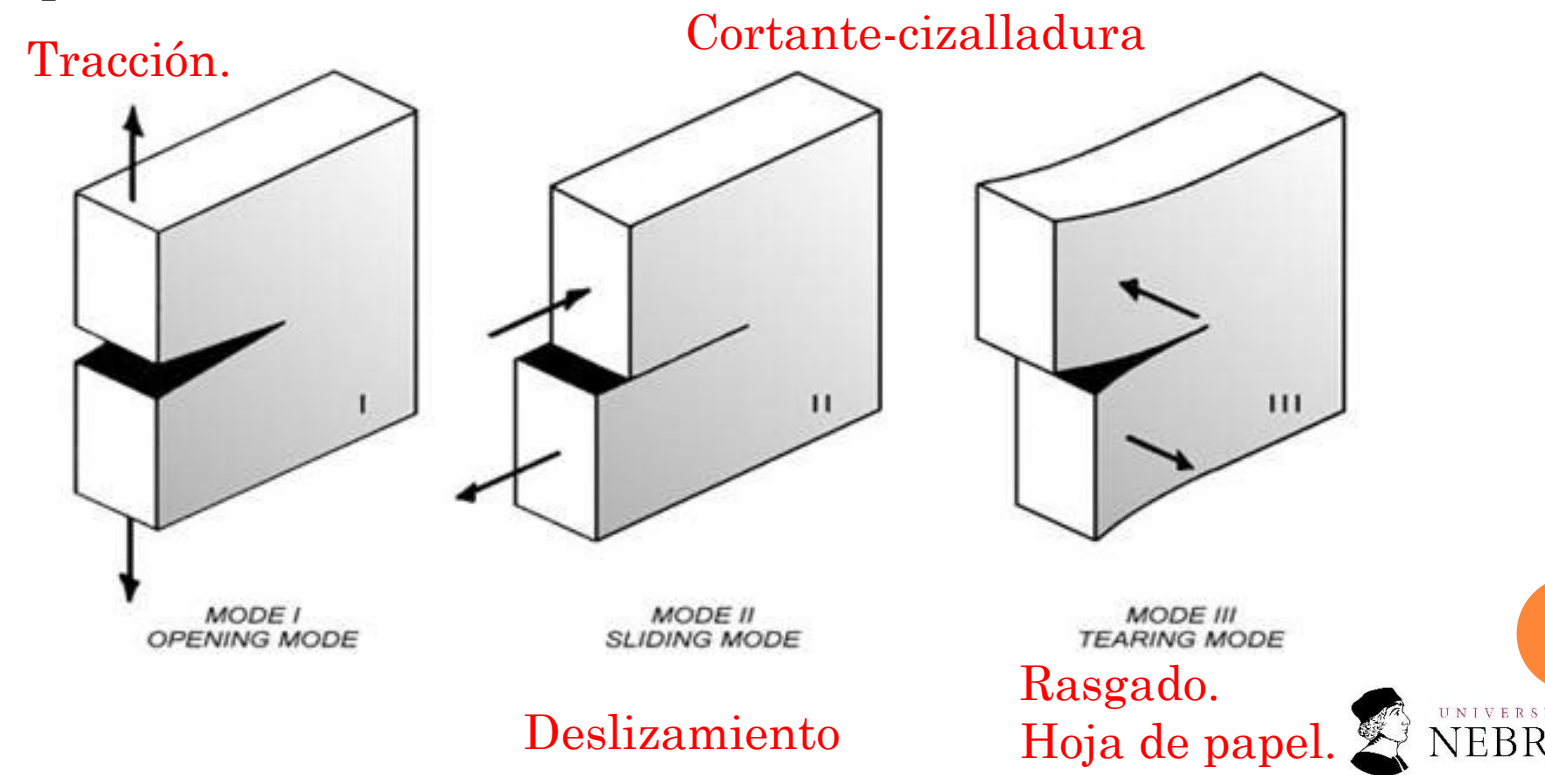


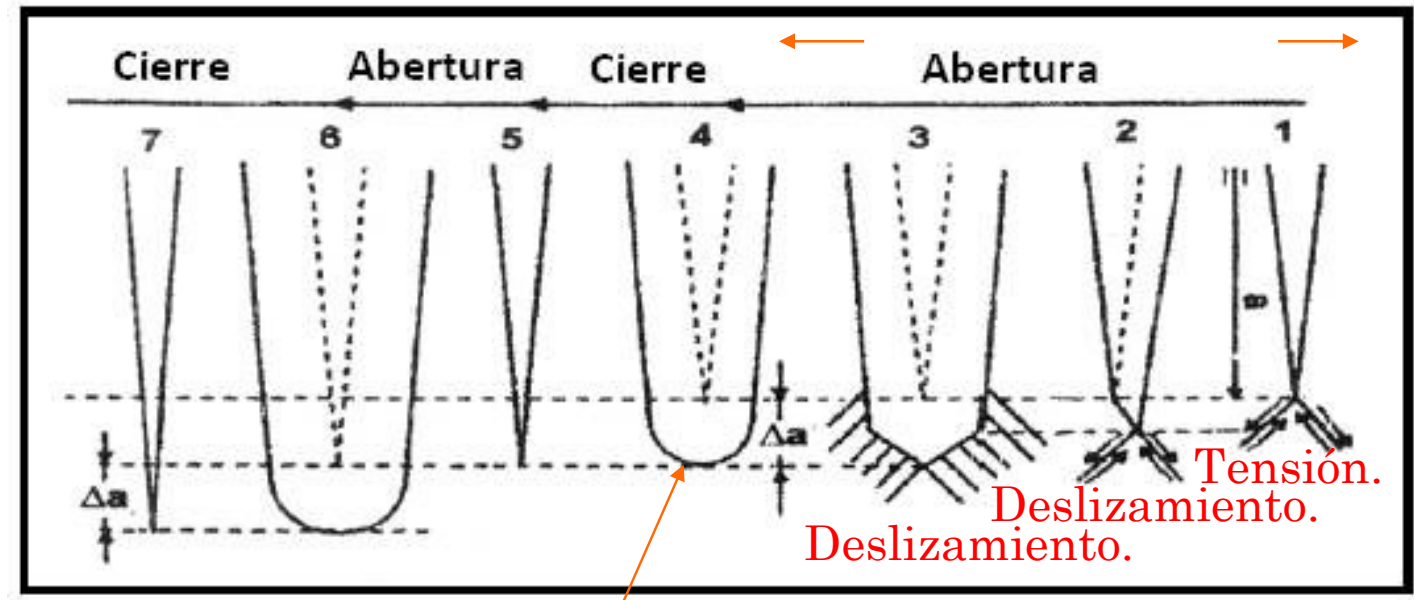
Figura 2.11 Diagrama esfuerzo-deformación para un material frágil típico.

#### o Modos de carga (Broek 1989):

- La mayoría de las grietas resultan del modo I
- Los otros dos modos no ocurren individualmente, pero pueden ocurrir en combinación con el modo I.



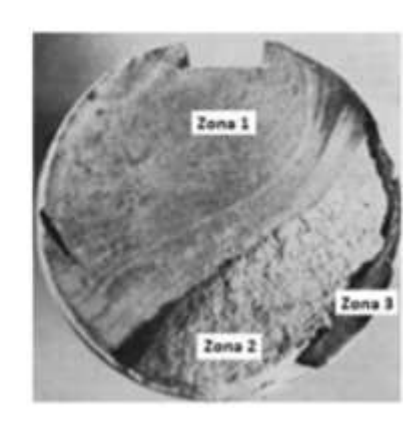
- o Ciclos de carga (Broek 1986):
  - Crecimiento de la grieta por proceso de deslizamiento reverso
  - Tras la nucleación, en la propagación, la grieta crece rápidamente (Fase II de la Fatiga)

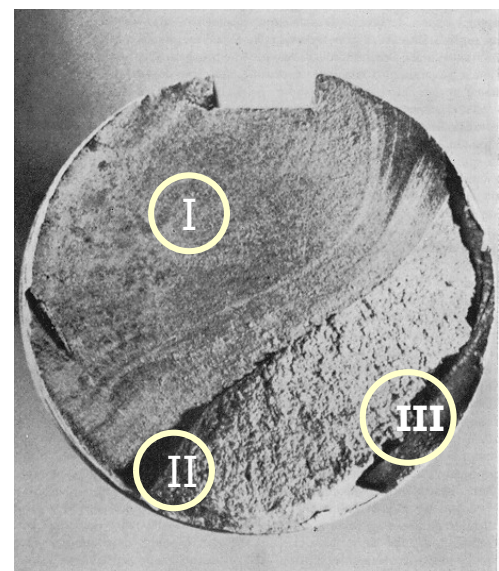


16

- Se producen grietas hasta producir la rotura
- o Generalmente grietas finas y de difícil detección
- Rotura sin previo aviso, con pequeñas deformaciones estructurales para tensiones por debajo de la resistencia estática
  - 1. I. Iniciación (propagación lenta)
  - 2. II. Propagación (crecimiento rápido)
  - 3. III. Rotura



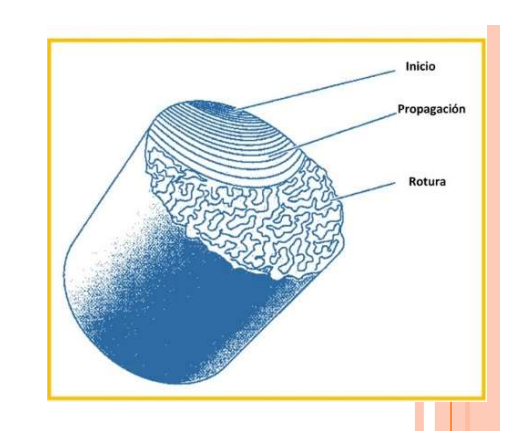


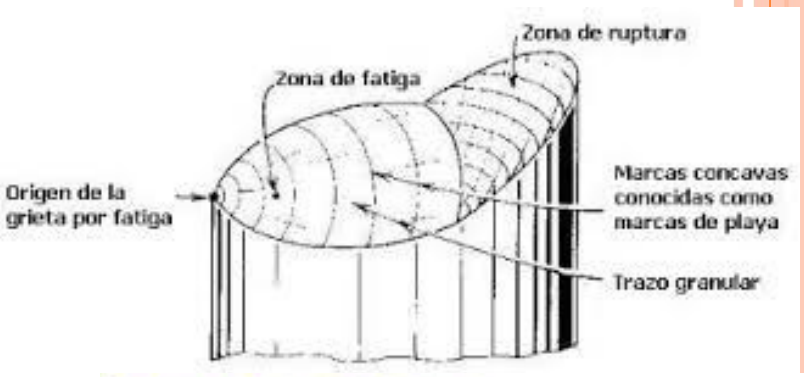




17

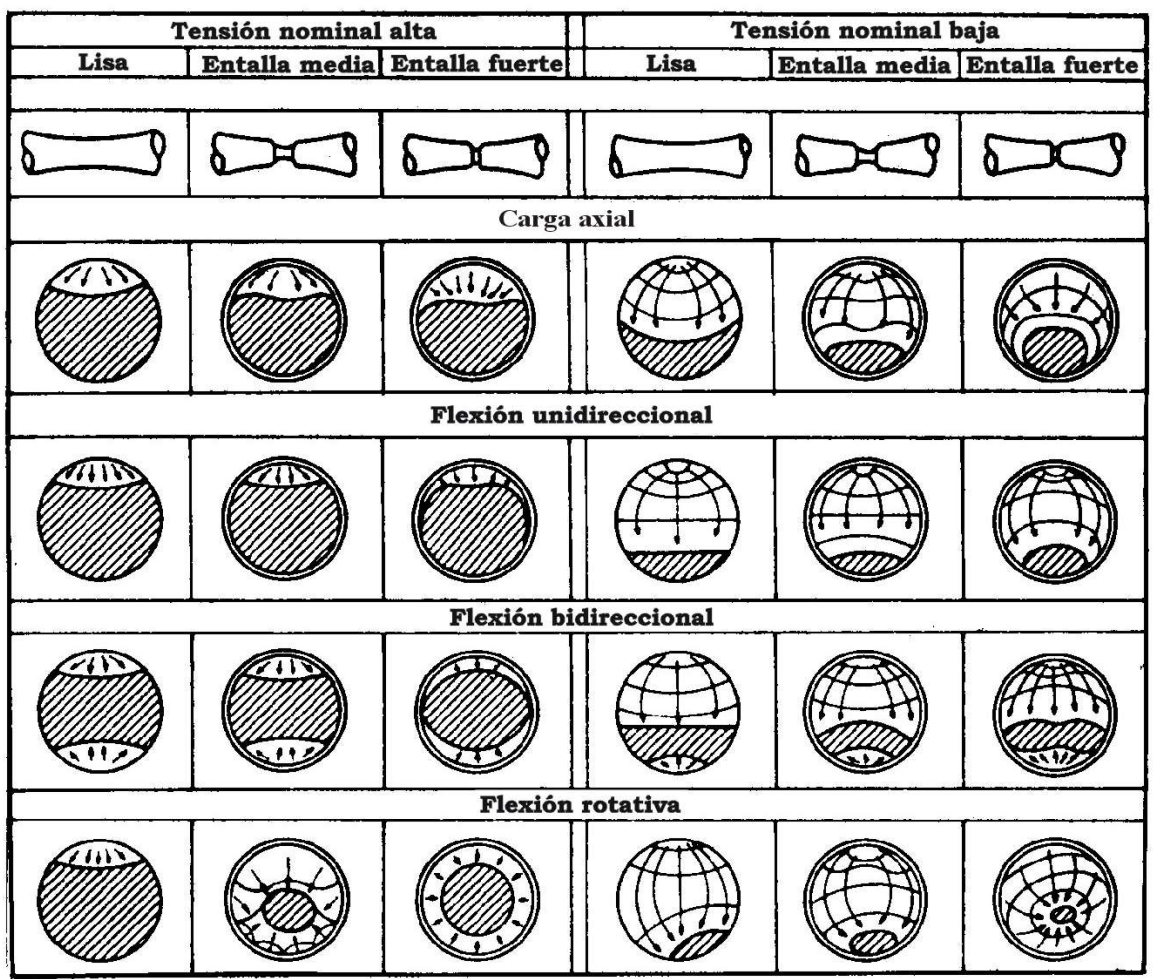
- O Una falla por fatiga tiene una apariencia similar a la fractura frágil. Las superficies de la fractura son planas y perpendiculares al eje del esfuerzo con la ausencia de adelgazamientos.
- Sin embargo las características de la fractura por fatiga son muy diferentes a la fractura frágil estática y surgen a partir de tres etapas de desarrollo.
  - Etapa I. Inicio de una o más micro grietas debido a la deformación plástica cíclica seguida de propagación cristalográfica que se extiende de dos a cinco grados del origen. Normalmente las grietas de esta etapa no pueden verse a simple vista.
  - Etapa II. Las micro grietas se convierten en macro y forman superficies paralelas en forma de meseta separadas por crestas longitudinales. Las mesetas son suaves y normales a la dirección del esfuerzo máximo en tensión. Estas superficies pueden tener marcas oscuras y claras conocidas como "marcas de playa". Durante las cargas cíclicas estas superficies se abren y cierran, frotándose entre sí.
  - <u>Etapa III.</u> Ocurre durante el ciclo del esfuerzo final, cuando el material restante <u>no puede soportar las cargas</u>, lo que resulta en una fractura súbita y rápida.
- Las <u>marcas de playa</u> apuntan hacia los orígenes de las grietas iniciales.

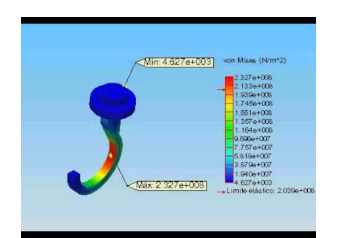






• Aspecto macroscópico de las roturas por fatiga



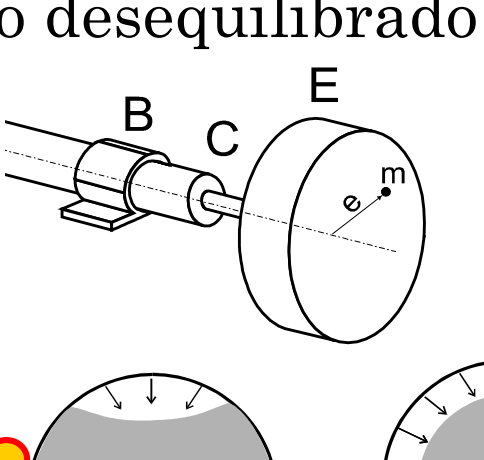


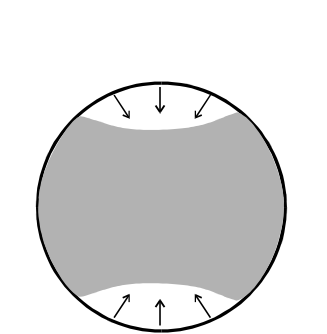


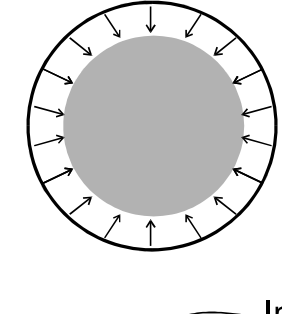
#### 2. MECANISMO DE PROPAGAC

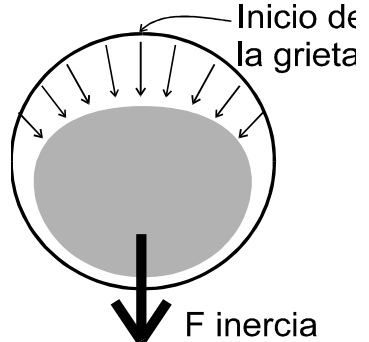
• Ejemplo eje rotativo desequilibrado

La figura siguiente muestra un eje, apoyado en los rodamientos A y B que gira a velocidad angular constante. En su extremo derecho E tiene un volante de inercia de gran **masa**, de valor *M*. En el volante existe una masa descentrada *m*. Debido a que el diámetro en C es excesivamente pequeño, el componente falla por dicha sección. ¿Cuál de las siguientes figuras representa mejor el aspecto que tendría la superficie fractura de la sección C?





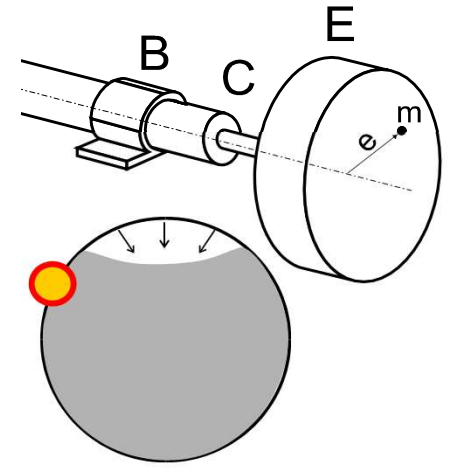






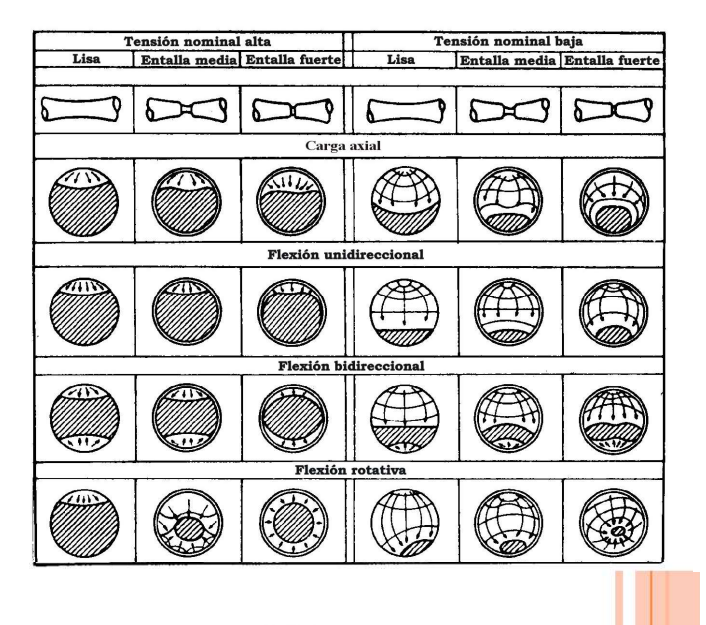
• Ejemplo eje rotativo desequilibrado

La figura siguiente muestra un eje, apoyado en los rodamientos A y B que gira a velocidad angular constante. En su extremo derecho E tiene un volante de inercia de gran masa, de valor M. En el volante existe una masa descentrada *m*. Debido a que el diámetro en C es excesivamente pequeño, el componente falla por dicha sección. ¿Cuál de las siguientes figuras representa mejor el aspecto que tendría la superficie fractura de la sección C?



El par está en la dirección a lo largo del eje de la velocidad angular de

giro que se produciría por ésta.

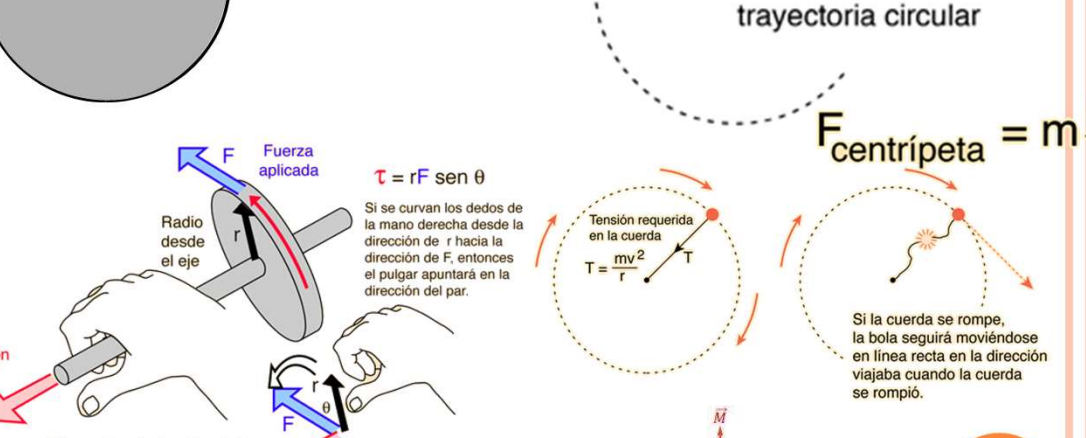


Una fuerza perpendicular

a la velocidad hace que la

VEBRIJA

masa se mueva en una



mν

BANCO EQUILIGRADO RUEDAS
https://www.youtube.com/watch?v=zVBiQ0kZSU0

• Aspecto macroscópico de las roturas por fatiga

Tensiones nominales altas			Tensión nominal baja		
Lisa	Entalla media	Entalla fuerte	Lisa	Entalla media	Entalla fuerte
		Entallas	exteriores		
Entallas interiores					
so so seespoonses					
Carga axial					
					<b>建</b>

- Aspecto macroscópico de las roturas por fatiga
  - Marcas concoidales (concha) en la zona de crecimiento de grieta (apertura y cierre de grieta e interacción de superficies, variación de velocidad de crecimiento de grieta, interacción con el ambiente.
  - Deformación permanente global reducida
  - Deformación plástica localizada en nucleación y crecimiento (no observable directamente)





3. ENFOQUES PARA EL ANÁLISIS A FATIGA

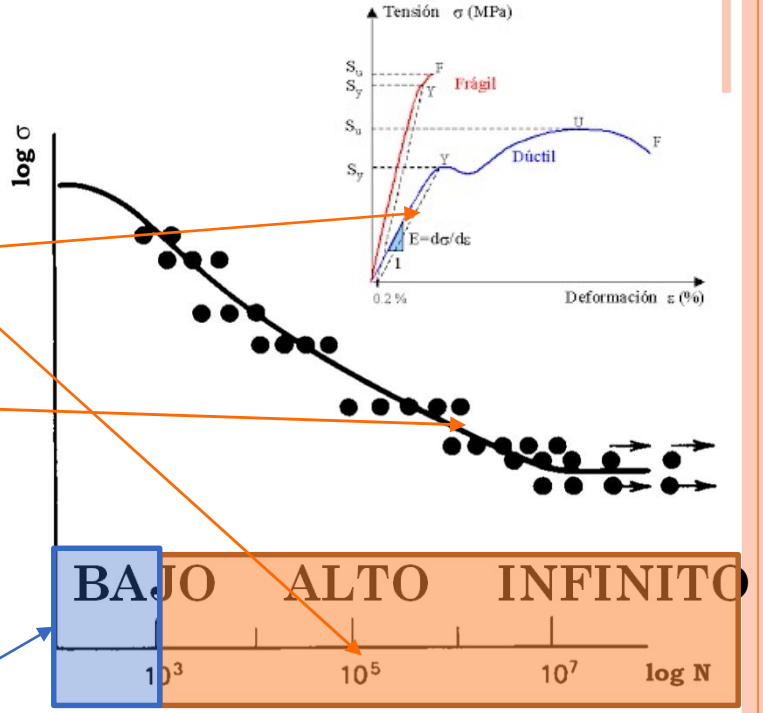
#### o ALTO CICLO

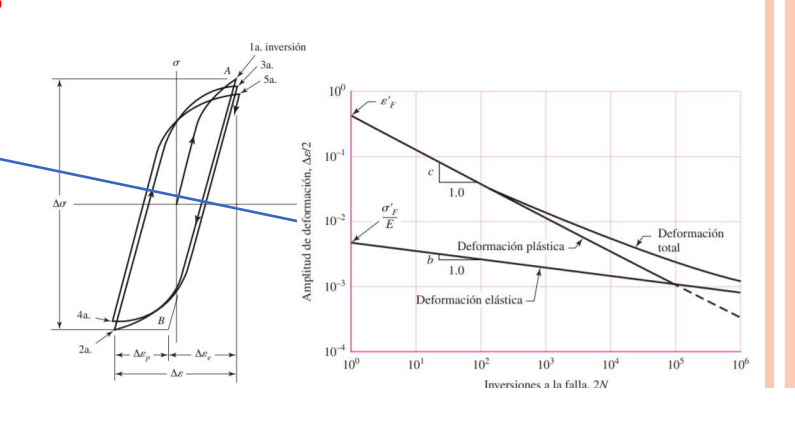
- Miles de ciclos para el fallo (N>10<sup>3</sup>)
- Tensiones bajas sin fluencia
- $\sigma$  y  $\epsilon$  son proporcionales
- Enfoque en **tensiones**.
- Gráficas S-N
  - <u>Gráfica de vida de una probeta</u>
     <u>vs rango de tensiones +</u>
     <u>correcciones</u>.

#### BAJO CICLO

- Tensiones elevadas y vidas cortas
- Existe plasticidad  $\Rightarrow \sigma$  vs  $\epsilon$  no lineal  $\Rightarrow$  enfoque deformaciones
- Gráficas ε-N
- Gráfica de vida vs ciclo de deformaciones de probeta + rango de deformaciones en la entalla

https://www.youtube.com/watch?v=OgcfGRDo-tE





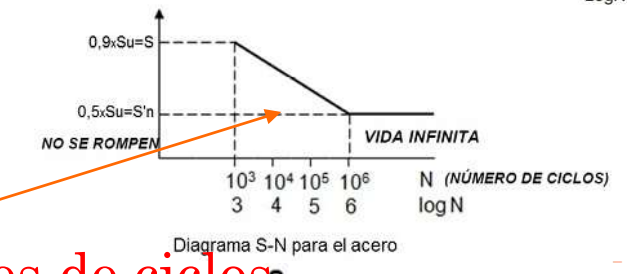
Dr. J. L. O. y MABH

#### 3. Enfoques para el análisis a fatiga

#### o DISEÑO PARA VIDA INFINITA

- Criterio más antiguo
- Tensiones de diseño < límite de fatiga</li>

Para componentes sometidos a millones de ciclos



#### o DISEÑO PARA VIDA SEGURA

- Componentes a la máxima carga esperada en servicio fallan tras cientos de miles de ciclos (resorte 103 104 105 106 log N de suspensión, rodamientos, ...)
- Se debe incluir un margen de seguridad (dispersión estadística y otros factores)
- El margen de seguridad puede considerarse en vida, en cargas, o ambos.

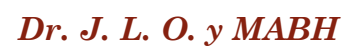
#### o (DISEÑO PARA LA VIDA DE GARANTÍA)

• (Obsolescencia programada...)

MIELE. Concurso. Prem

40 años funcionando.





#### 3. Enfoques para el análisis a fatiga

#### o DISEÑO <u>SEGURO AL FALLO</u>

- Criterio desarrollado por ingenieros aeronáuticos
- Diseño en el que las grietas no pongan en peligro la integridad estructural antes de ser detectadas. <u>Revisiones aviones</u>.

• Métodos: Varios caminos de transmisión de fuerzas y detección de grietas.

#### o DISEÑO TOLERANTE AL FALLO

- Asegurar que las grietas se detectarán por inspección periódica antes de la rotura (el fuselaje se revisa buscando grietas cada 4000h de vuelo)
- Análisis mediante mecánica de la fractura y ensayo.



26

#### 3. ENFOQUES PARA EL ANÁLISIS A FATIGA

 Boeing 737. Vuelo 243 de Aloha Airlines, 28 de abril 737 NG de 1988. 89 pasajeros y 6 tripulantes.

Siguen apareciendo grietas en los Boeing

• Fallo por fatiga con corrosión junto a uniones remachadas durante el vuelo. Mal mantenimiento.



Foto de archivo Boeing 737 NG de Lion Air (Foto: REUTERS/Willy Kurniawan).

#### Ryanair: los más antiguos

Ryanair do, no obstante, haber retirado de servicio a un número de aviones Boeing 737 tras detectar problemas estructurales, los cuales ya está reparando, más de 70 de sus aviones más antiguos.

No obstante, Ryanair rechazó que estos problemas estén relacionados con los llamados pickle forks, la estructura que une las alas con el fuselaje del avión, según informó el diario británico The Guardian, citando The Irish Times.

La low cost irlandesa subrayó que tiene "confianza en que, en caso de que aparezcan grietas en la mencionada parte del avión, no afectará a su flota o a sus vuelos".

#### Ahora Lion Air

Los aviones de Lion Air con grietas tenían menos de 22.000 ciclos y ahora estaban en tierra para reparaciones, dijo un portavoz de la aerolinea.

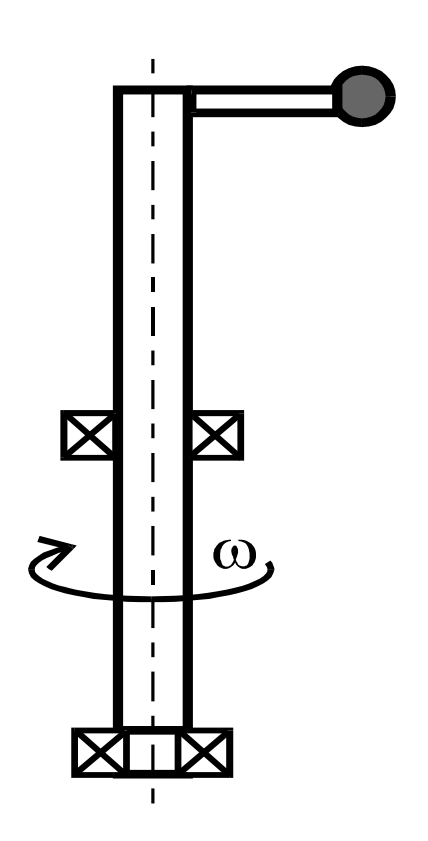


# RESISTENCIA A LA FATIGA 3. ENFOQUES PARA EL ANÁLISIS A FATIGA

#### Ejemplo.

El eje de la figura, situado en posición vertical tiene una masa descentrada en su extremo superior y gira a gran velocidad, debido a lo cual aparecen fuerzas de inercia. ¿Qué tipo de fallo podría producirse en el eje?

- a) Fallo estático debido a flexión.
  - b) Fallo por fatiga debido a que la carga va girando y produce flexión rotativa en el eje.
  - c) Fallo por fatiga debido a que la carga va girando y produce tensiones alternantes debidas tanto a flexión como a torsión.
  - d) Fallo por fatiga debido a torsión alternante inducida por el giro del eje





3. ENFOQUES PARA EL ANÁLISIS A FATIGA

Ejemplo.

El eje de la figura, situado en posición vertical tiene una masa descentrada en su extremo superior y gira a gran velocidad, debido a lo cual aparecen fuerzas de inercia. ¿Qué tipo de fallo podría producirse en el eje?

- a) Fallo estático debido a flexión.
  - b) Fallo por fatiga debido a que la carga va girando y produce flexión rotativa en el eje.
  - c) Fallo por fatiga debido a que la carga va girando y produce tensiones alternantes debidas tanto a flexión como a torsión.
  - d) Fallo por fatiga debido a torsión alternante inducida por el giro del eje

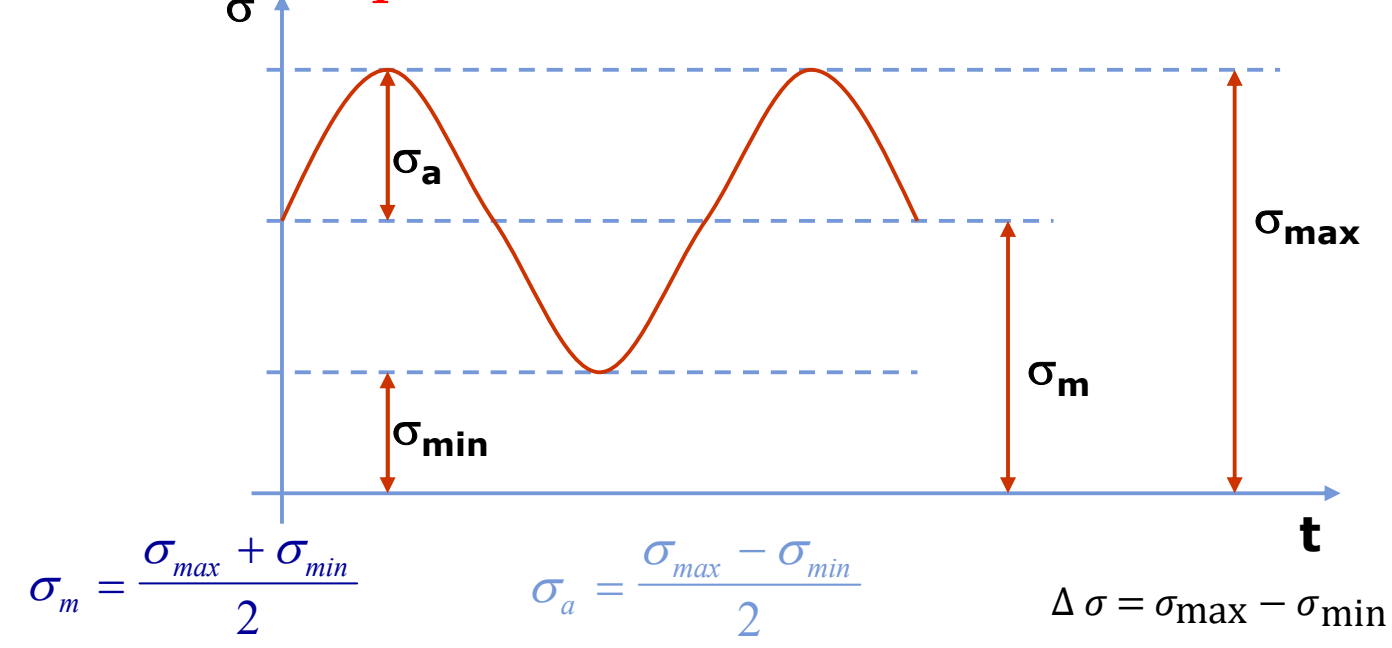
F Una fuerza perpendicular a la velocidad hace que la masa se mueva en una trayectoria circular NEBRIJA

 $\omega$ 

BANCO EQUILIGRADO RUEDAS
https://www.youtube.com/watch?v=zVBiQ0kZSU0

### RESISTENCIA A LA FATIGA 4. CARGAS CÍCLICAS

o Definición de parámetros



Tensión Media

Tensión Alternante

Rango

**R** relación de tensiones y **A** relación de amplitudes.  $R = \frac{\sigma_{\min}}{\sigma_{\max}}$   $A = \frac{\sigma_a}{\sigma_m}$ 

$$R = \frac{\sigma_{\min}}{\sigma_{\max}}$$

$$A = \frac{\sigma_a}{\sigma_m}$$



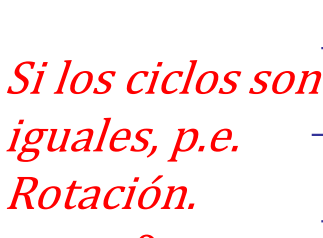
# **RESISTENCIA A LA FATIGA** $R = \frac{\sigma_{min}}{\sigma_{max}}$ $A = \frac{\sigma_{a}}{\sigma_{m}}$

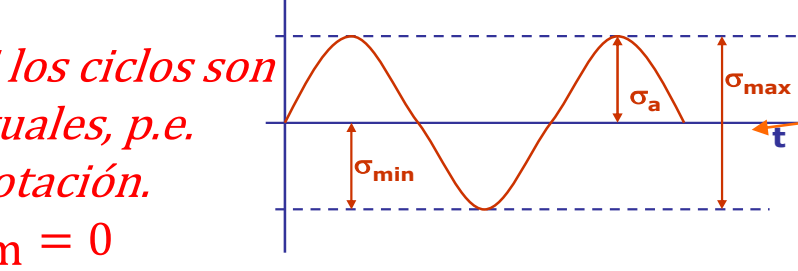
#### 4. CARGAS CÍCLICAS

$$\sigma_{m} = \frac{\sigma_{max} + \sigma_{min}}{2}$$

$$\sigma_a = \frac{\sigma_{max} - \sigma_{min}}{2}$$

o Tipos de cargas





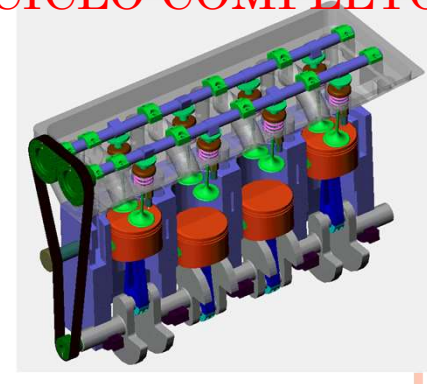
Tensión Media

**ALTERNANTE** 

#### Tensión Alternante



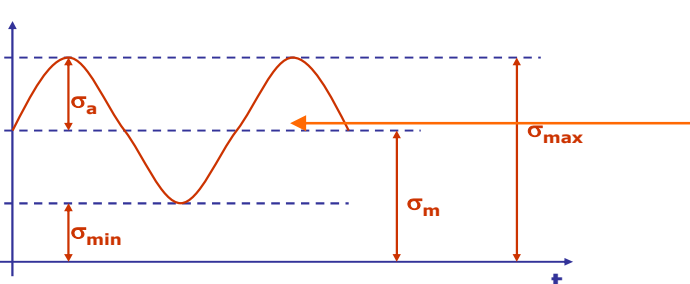
#### CICLO COMPLETO



 $\sigma_{\rm m} = 0$ 

R=1/2

A=infinito



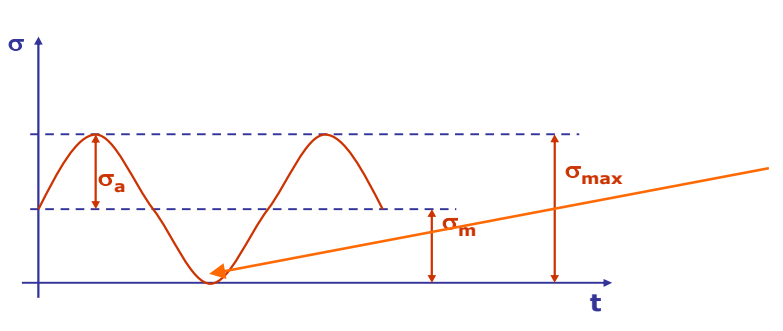
**FLUCTUANTE** 

Si los ciclos son

iguales, p.e. Rotación.

 $\sigma_{\min} = 0$ R=0

A=1



**PULSANTE** 

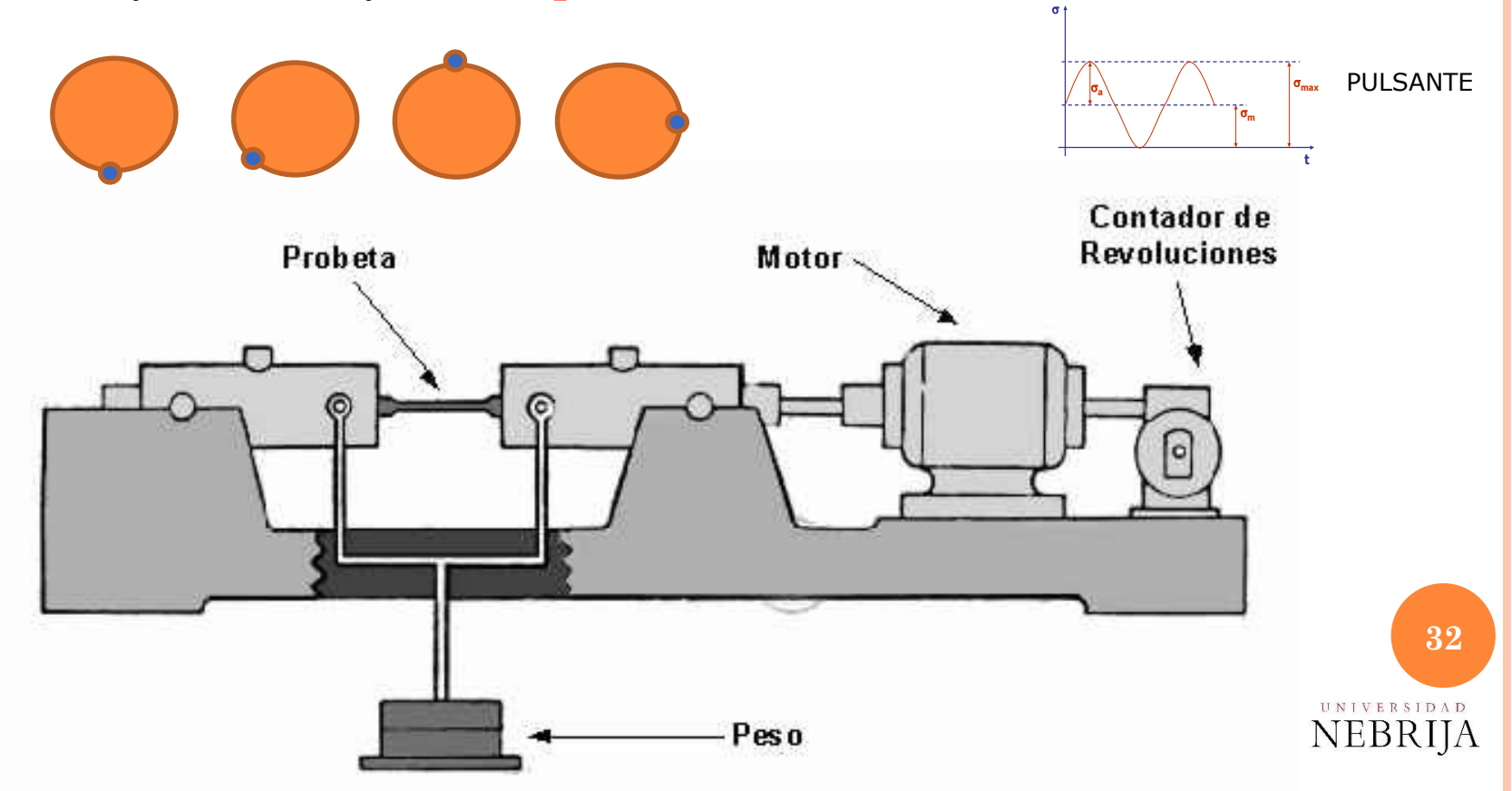


Dr. J. L. O. y MABH

σ<sub>a</sub> σ<sub>max</sub> ALTERNANTE

**FLUCTUANTE** 

- o Ensayos de Fatiga.
  - Máquina de probeta rotatoria de Moore.
  - Muy sencillo y eficaz para materiales férricos



- o Ensayos de Fatiga.
  - Máquina de Wöhler
    - Flexión rotativa
    - Aparece cortante

Máquina de Viga Rotativa

o La probeta gira por motor

o Mientras se aplica carga

o Flexión alternada

(tracción-compresión)

Giro del mismo punto.

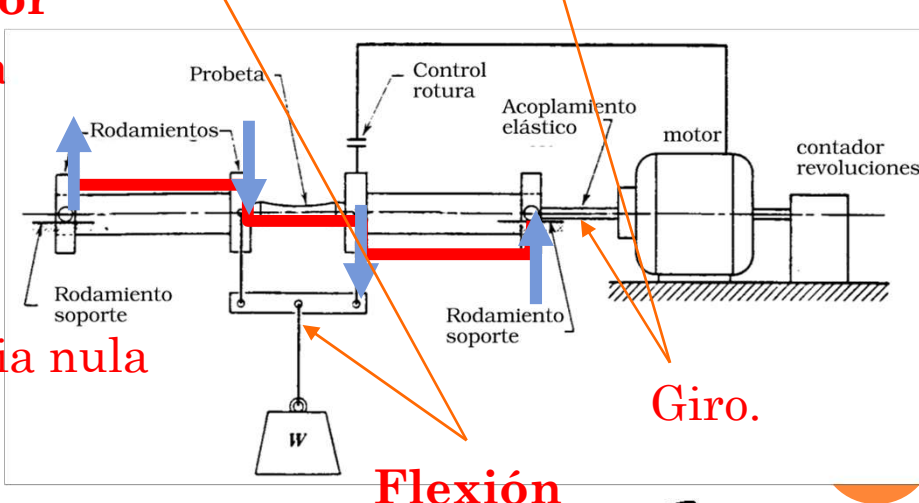
Tracción Tensión media nula









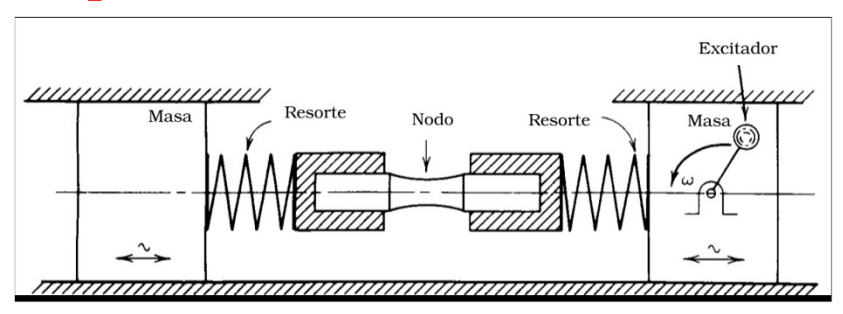


anthetta.

Tracción máx. Dr. J. L. O. y MABH

Compresión máx.

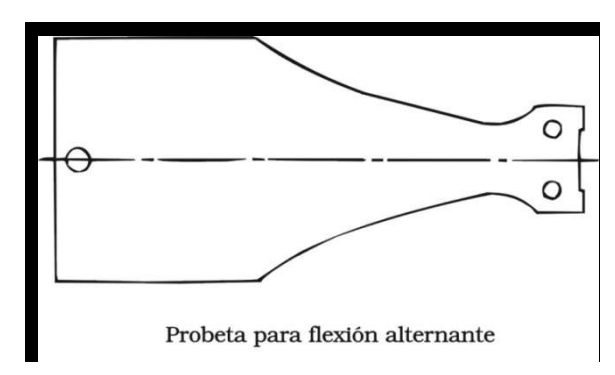
- Ensayos de Fatiga.
  - Máquina de resonancia de vibración



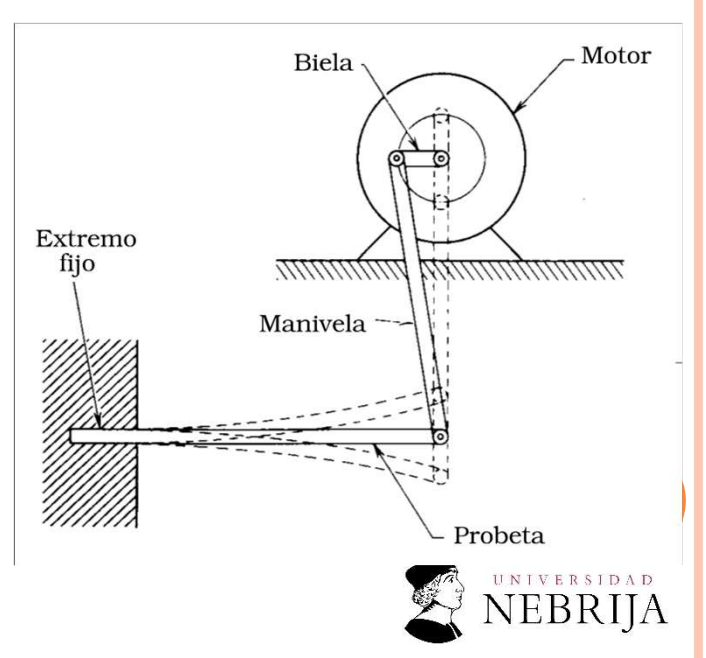
#### **Carga axial**



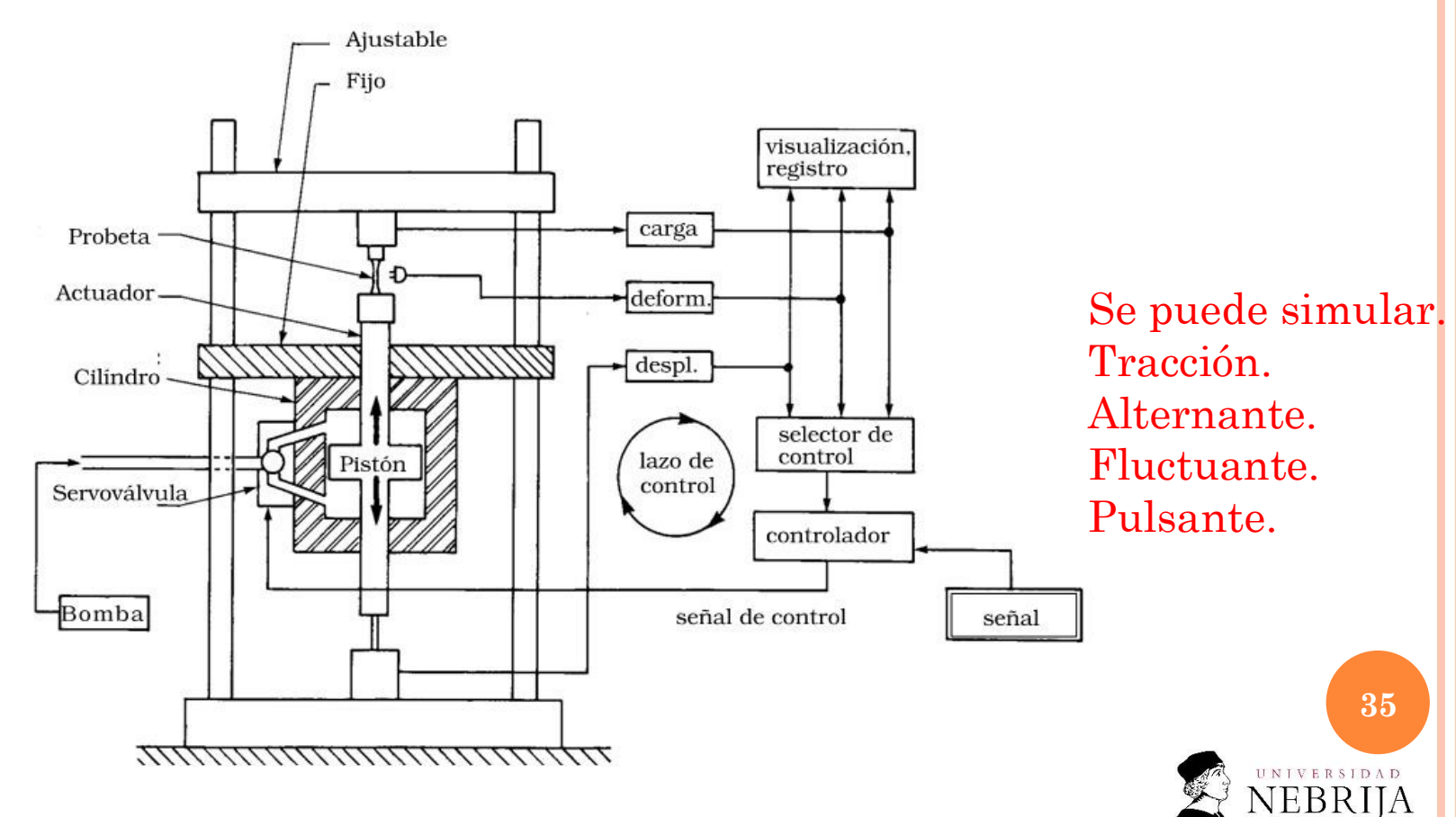
- Máquina de Flexión Alternante
  - o Puede aplicar tensiones medias

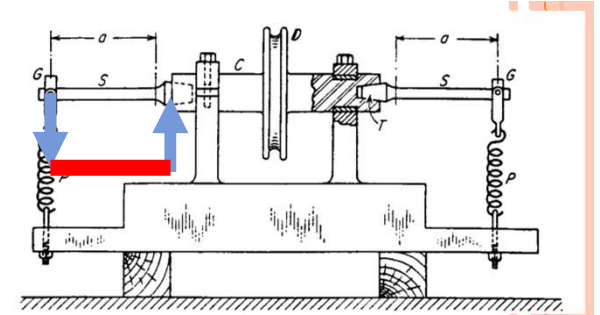






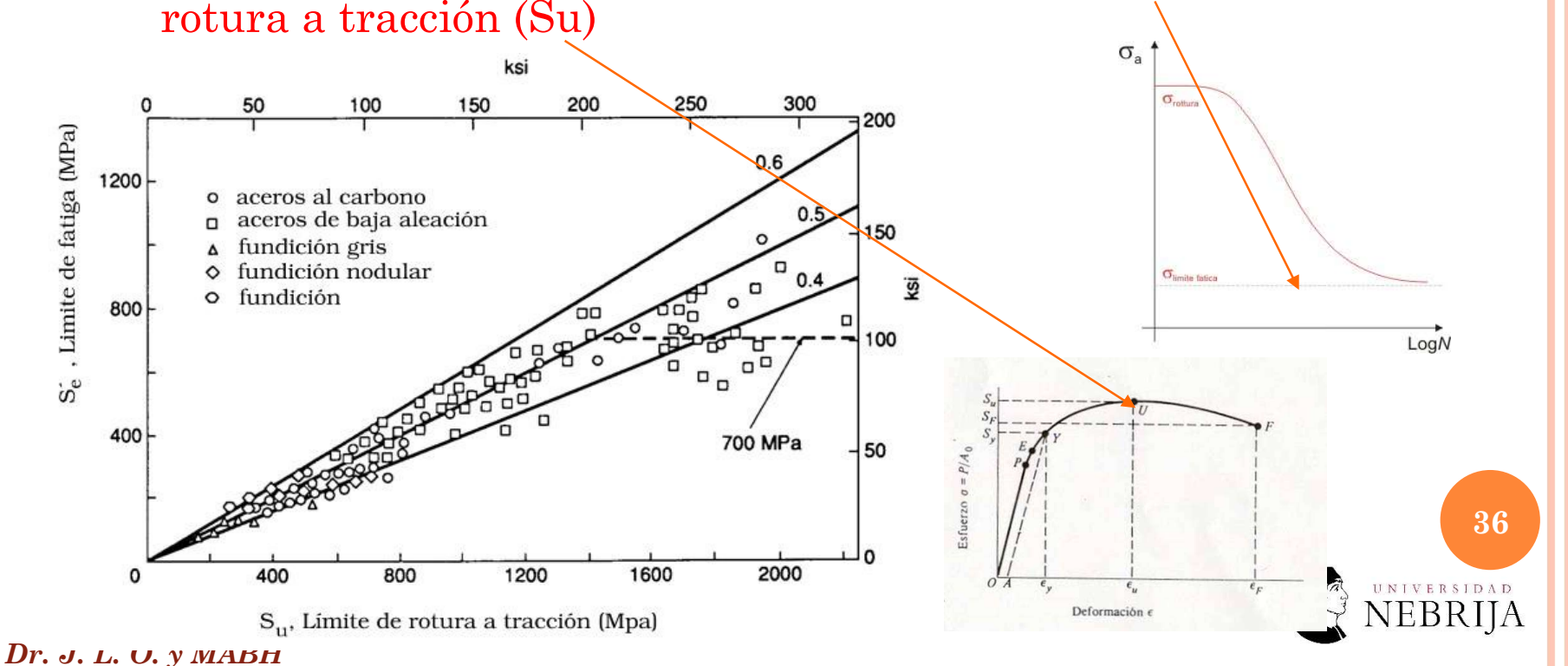
- Ensayos de Fatiga.
  - Máquina servohidráulica con control en lazo cerrado





- o Tendencias del límite de fatiga en función de Su
  - Muchos datos procedentes del ensayo de tracción del ensayo de fatiga rotativa.
  - En la figura se representan puntos provenientes de un gran número de ensayos sobre probetas lisas

• Se busca la correlación entre el límite de fatiga S'e y el límite de



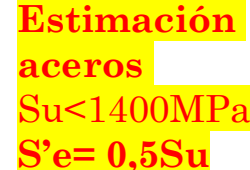


0,9xSu=S VIDA INFINITA NO SE ROMPEN 103 104 105 106 N (NÚMERO DE CICLOS) log N

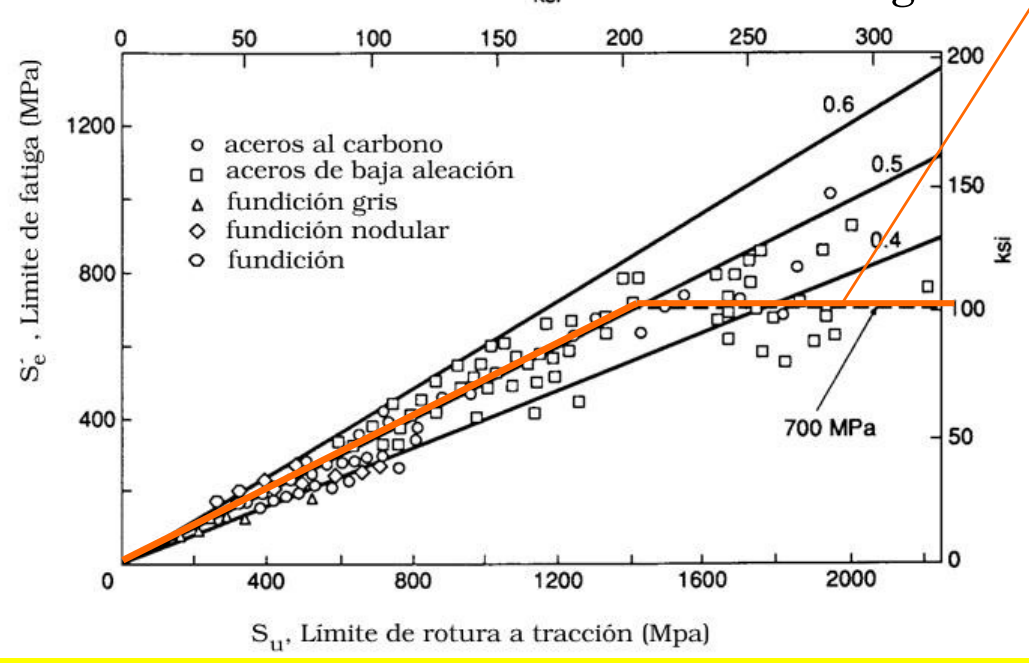
Teoría Clásica priman los esfuerzos Sn valida para más 1000 ciclos el acero

- o Tendencias del límite de fatiga en función de Su
  - Del gráfico se podría deducir que el límite de fatiga obtenido en ensayo de probeta giratoria está comprendido entre el 40% y el 60% de la resistencia a rotura para aceros søn Su<1400MPa.

La dispersión aumenta, pero aparece una tendencia a estabilizarse el valor límite de fatiga en S'e=700MPa



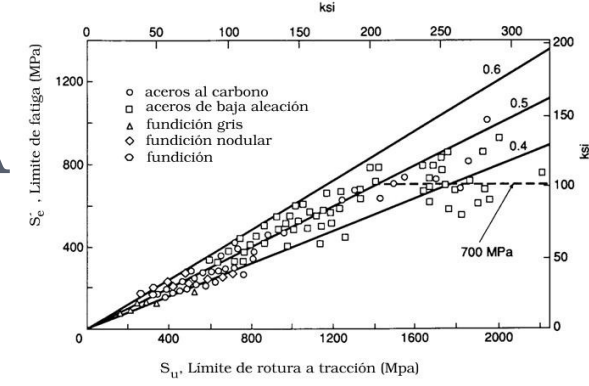
- •Sut es el límite de rotura a tracción mínimo esperable del material.
- •Se utiliza el símbolo ' en la definición de S'e para indicar que es el límite de fatiga de la probeta lisa de flexión rotatoria. TEORICO
- •Se reserva el símbolo Se para el límite de fatiga del punto del componente mecánico a analizar. REAL



37

Teoría bajo número de ciclos priman los deformación local En es la 💆 NEBRIJA valida para menos 1000 ciclos. Pocas piezas. No se estudia.

# RESISTENCIA A LA FATIGA 5. DIAGRAMA S-N

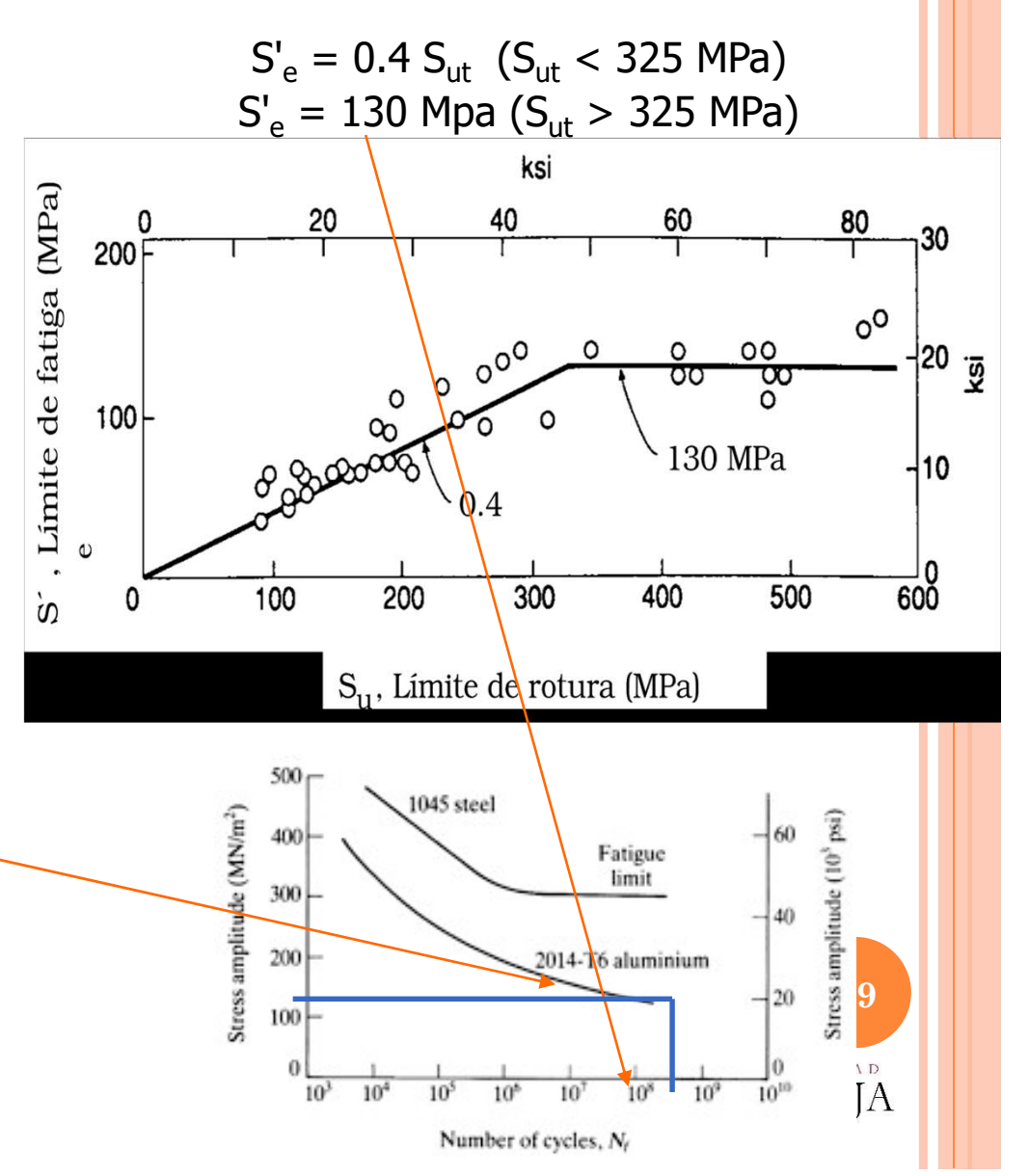


#### Dispersión

- La dispersión obtenida no es imputable al límite de rotura del material.
- La dispersión se mantiene aunque Su sea básicamente constante.
- Por esto, la estimación del límite de fatiga de la probeta S'e que se puede realizar a partir del límite de rotura del material Su, puede diferir notablemente del resultado de los ensayos de fatiga realizados sobre el material.
- Esto deberá tenerse en cuenta al considerar el coeficiente de seguridad a aplicar en diseño.
- Además, la relación entre S'e y Su disminuye a medida que Su aumenta.
- En general, para un material dado, a medida que se dispone de un mayor Su, el material es relativamente menos dúctil.
- Por tanto un grado razonable de ductilidad es útil para disponer de resistencia a la carga cíclica.
- El no apreciar este hecho puede dar lugar a fallos por fatiga en situaciones en las que no fue previamente un problema (por ejemplo cuando se sustituyen materiales iniciales por otros de alta resistencias para reducir el peso en vehículos)

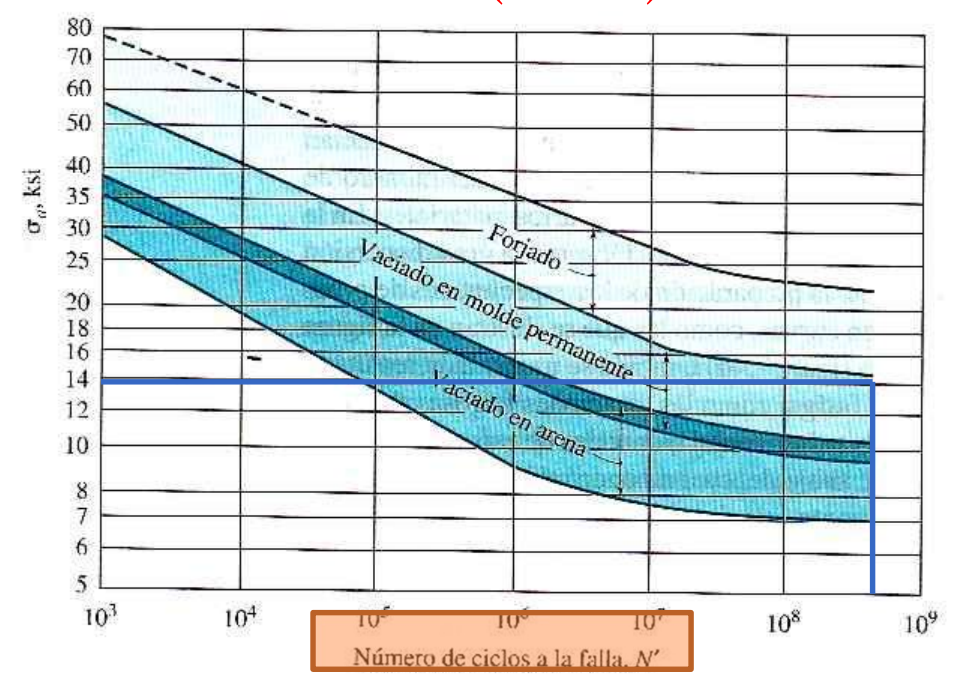
#### 5. DIAGRAMA S-N

- Aleaciones de Aluminio
  - Gráfico similar para aleaciones de aluminio laminado para 5x10<sup>8</sup> ciclos.
  - Aquí no existe un verdadero límite de fatiga ya que la curva S-N no tiende asintóticamente a la horizontal, sino que continúa decreciendo a medida que aumenta el número de ciclos.



# RESISTENCIA A LA FATIGA 5. DIAGRAMA S-N

- Aleaciones de Aluminio
  - No tienen codo claro
  - A partir de 1E7 la pendiente se reduce
  - Normalmente se toma S'e como esfuerzo medio a la falla a N=5E8 ciclos. (5x108)

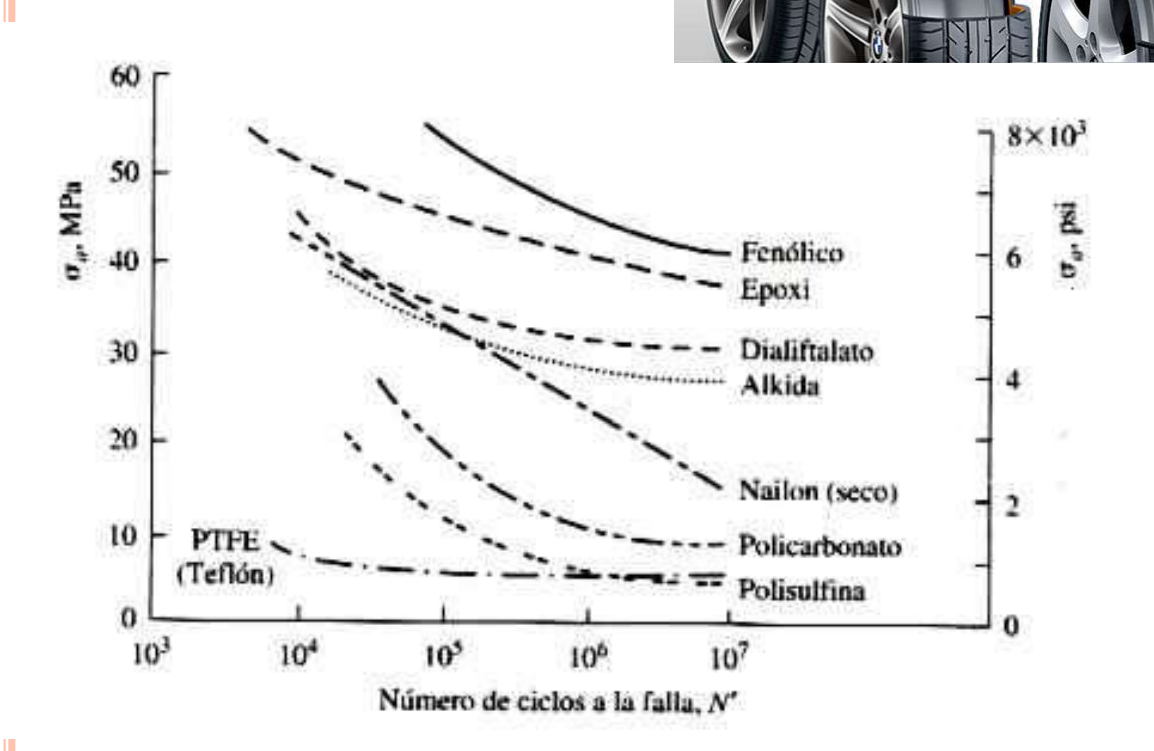


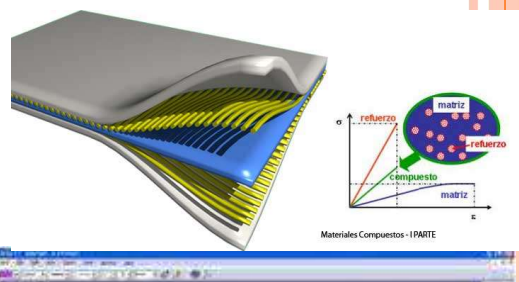
**ALEACIONES DE ALUMINIO** 

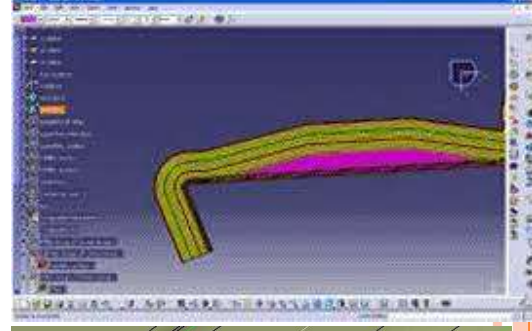


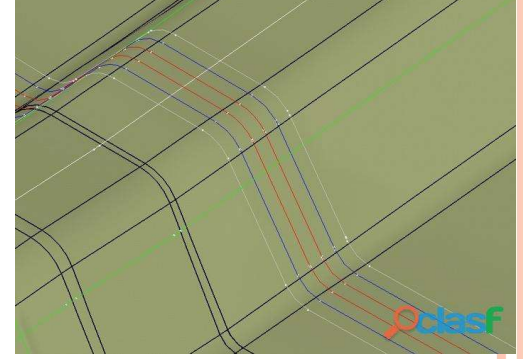
5. DIAGRAMA S-N

Polímeros







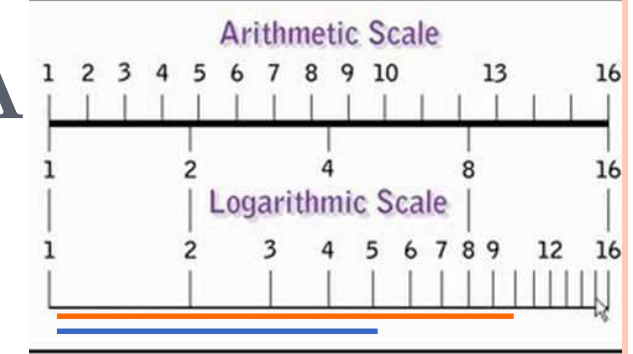


POLÍMEROS *Fuente: Hamrock (2000)* 

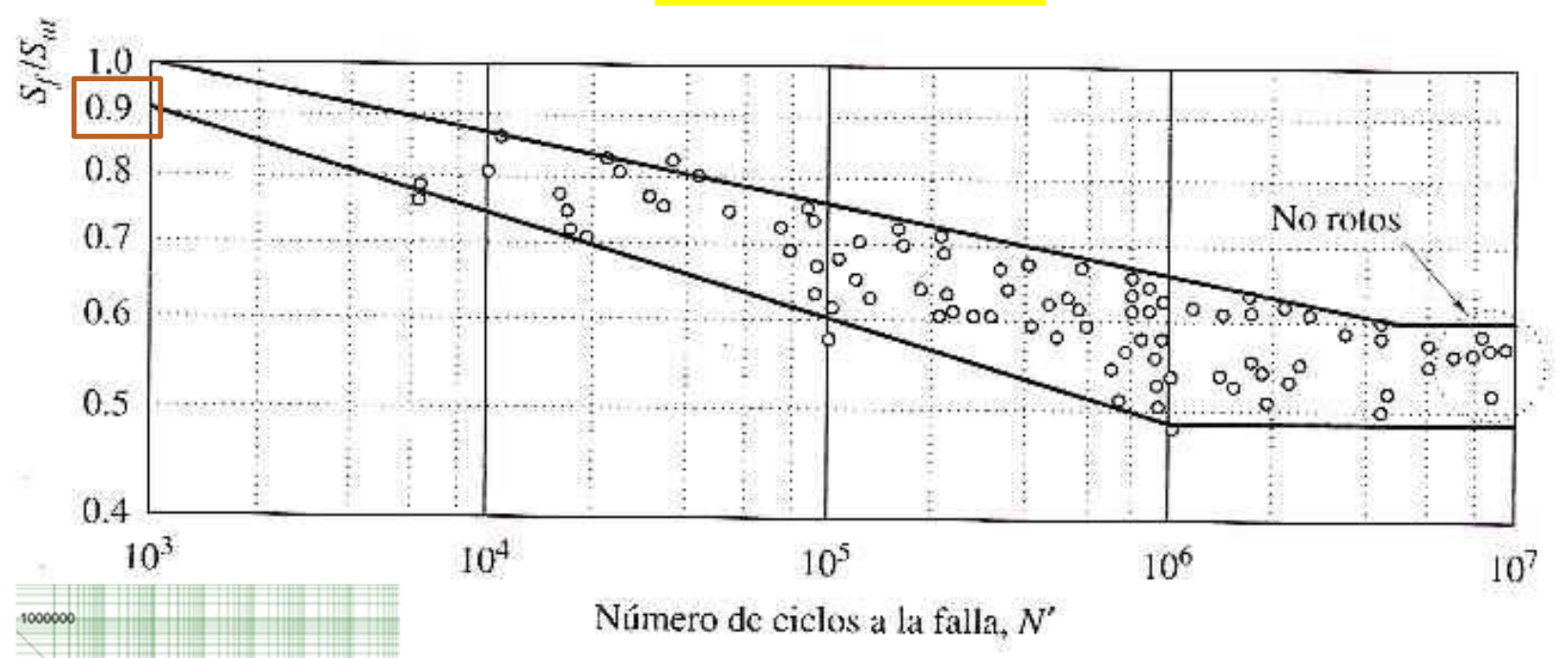


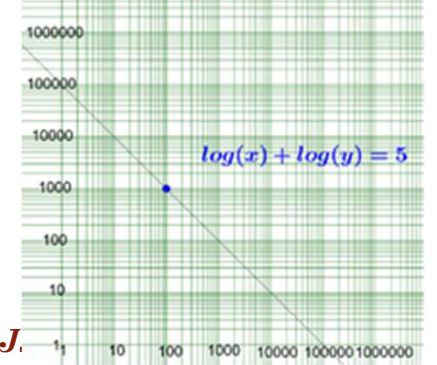
# RESISTENCIA A LA FATIGA 1 2 3 4 5 6 7 8 9 10 5. DIAGRAMA S-N Logarithmic Sc.

Materiales férricos



Correlación Sf/Sut



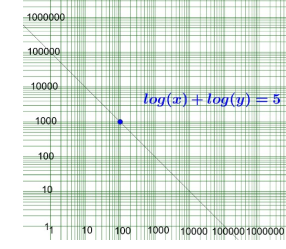


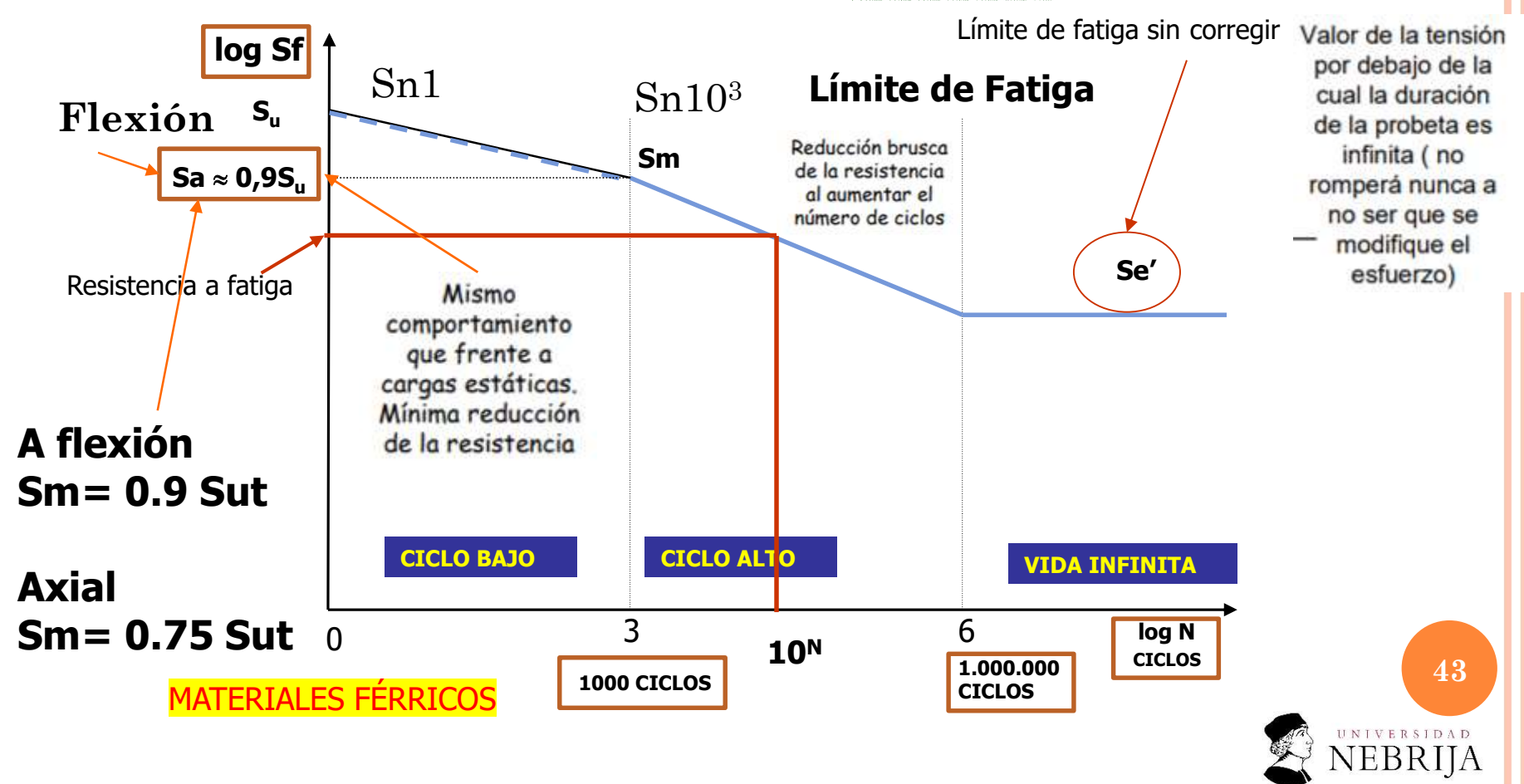
Fuente: Hamrock (2000)



5. DIAGRAMA S-N

• El diagrama





# RESISTENCIA A LA FATIGA 5. DIAGRAMA S-N

- Valor de Sm (en 10<sup>3</sup> ciclos) ¿Cómo se obtiene?
  - Bibliografía
  - Ensayos anteriores
  - Aproximaciones

<u>A flexión</u>

 $S_m = 0.9 S_{ut}$ 

Axial

 $S_{\rm m} = 0.75 \, {\rm Sut}$ 

En función esfuerzo



# RESISTENCIA A LA FATIGA 5. DIAGRAMA S-N

- Valor de S'e (en 10<sup>6</sup> ciclos). ¿Cómo se obtiene?
  - Bibliografía
  - Ensayos anteriores
  - Aproximaciones

<u>Aceros</u>		
	$S_{a}' = 0.5 S_{ut}$	S <sub>ut</sub> ≤ 1400 MPa
	$S_{e}' = 0.5 S_{ut}$ $S_{e}' = 700 MPa$	S <sub>ut</sub> ≥ 1400 MPa
<u>Hierros</u>	<del></del>	ac .
	$S_e' = 0.4 S_{ut}$	S <sub>ut</sub> ≤ 400 MPa S <sub>ut</sub> ≥ 400 MPa
	$S_e' = 0.4 S_{ut}$ $S_e' = 160 MPa$	S <sub>ut</sub> ≥ 400 MPa
<u>Aluminios</u>	_	
	$S_e' = 0.4 S_{ut}$ $S_e' = 130 MPa$	<b>S</b> <sub>ut</sub> ≤ <b>330</b> MPa
	$S_e' = 130 \text{ MPa}$	<b>S</b> <sub>ut</sub> ≥ 330 MPa
Aleaciones cobre		
	$S_e' = 0.4 S_{ut}$ $S_e' = 100 MPa$	S <sub>ut</sub> ≤ 280 MPa S <sub>ut</sub> ≥ 280 MPa
	$S_e = 100 \text{ MPa}$	<b>S<sub>ut</sub> ≥ 280 MPa</b>

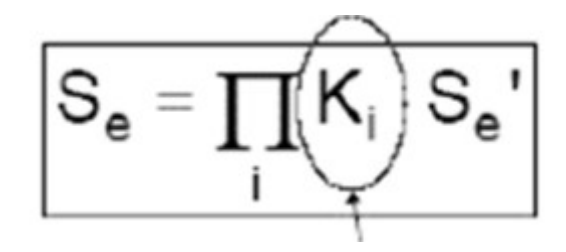
En función material



# 6. ECUACIÓN DE MARIN

Ecuación

$$S_e = \prod_i K_i \cdot S_e'$$

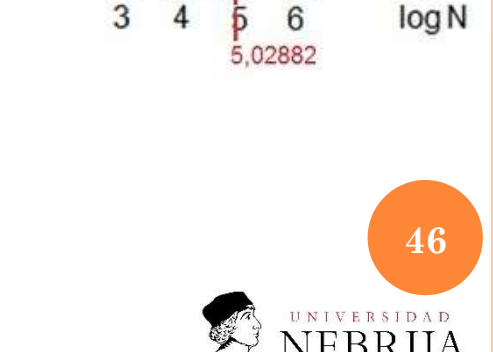


621 MPa

316 MPa 170 MPa

• Los Ki son los "Coeficientes de Marin"

- o Ka: Factor de acabado superficial
- o Kb: Factor de tamaño
- Kc: Factor de modificación de carga
- o Kd: Factor de temperatura
- o Ke: Factor de fiabilidad
- o 1/Kf: Factor de concentración de tensiones
- **Kg**: Factor de **efectos diversos**
- Se obtienen **experimentalmente**.



Sut en MPa

#### • Ka: Factor de acabado superficial

$$K_a = a \cdot S_{ut}^b$$

- Ensayo de probeta rotatoria
  - o Probeta pulida (a espejo) con pulimento fino en dirección axial
- Pieza real

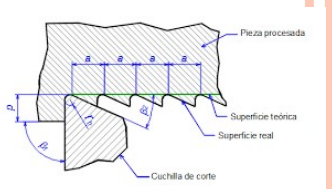
Hierro Fundido

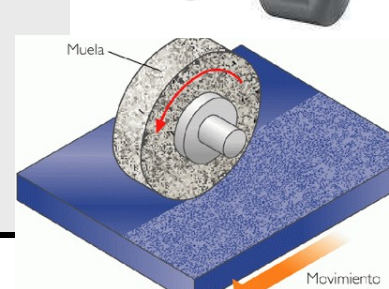
$$Ka=1$$

- Peor acabado superficial  $\Rightarrow \downarrow$  Se
- o Mayor rugosidad en la superficie que produce un fenómeno de concentración de tensiones
- Función de:
  - o Calidad del acabado superficial
  - Resistencia última del material ( $\uparrow Su \Rightarrow \downarrow Se$ )

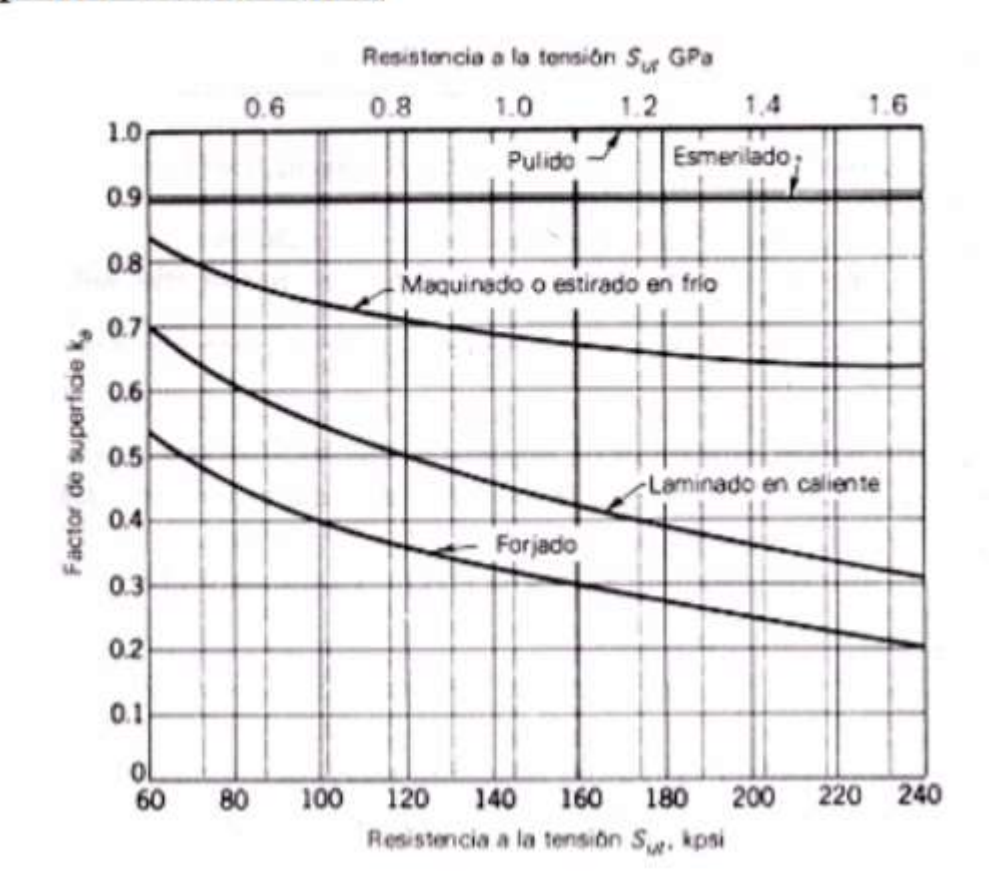


Acabado superficial	Coeficiente a ( MPa)	Exponente b
Pulido	1	0
Acabado fino (esmerilado, rectificado, )	1.58	-0.085
Mecanizado sin acabar/estirado en frío	4.51	-0.265
Laminado en caliente	57.7	-0.718
Forjado	272	-0.995





#### Ka para el ACERO



#### Sut en MPa

$$K_a = a \cdot S_{ut}^b$$

Hierro Fundido Ka=1 Fundición. Concentración de tensiones



48

#### • Ka: Factor de acabado superficial

- Los valores presentados corresponden a resultados experimentales en aceros.
- Deben usarse con <u>precaución en</u> <u>materiales dúctiles no ferrosos.</u>
- Los procesos de <u>recubrimiento por</u> <u>electrodeposición</u>, tales como el cromado, el niquelado, el cuprizado y el galvanizado <u>minan</u> significativamente la <u>resistencia a la fatiga</u>, por lo que el diseñador debe referirse a <u>tablas y gráficas especiales</u>.
- Procesos como el granallado (chorreado o arenado) ayudan a recuperar posteriormente la resistencia a la fatiga.

Procesos térmicos que liberan tensiones. Por ej. Recocido.

#### **RECOCIDO**

Calentamiento y posterior enfriamiento lento y controlado.
Lo que se consigue es mejora del material por refinamiento del grano y también alivio de tensiones internas generadas durante el proceso de fabricación.

Deja tensiones de compresión al impactar.



Dr. J. L. O. y MABH

# RESISTENCIA A LA FATIGA 6. Ecuación de Marin

- o Kb: Factor de tamaño
  - Ensayo de probeta rotatoria
    - Probeta con sección circular, diámetro normalizado (7.5 a 12.5 mm)
  - Pieza real
    - Sección circular / diámetro diferente
    - $\circ$  En 10<sup>3</sup>: Kb = 1 (no influye el tamaño)
    - En 10<sup>6</sup>: el diámetro de probeta influye en flexión y torsión, no con carga axial
  - Flexión / Torsión [Shigley. Pag. 280]

- Carga Axial
  - Kb=1 (Sólo para sección circular. Pero ver Kc)



# 7.62 39 mm 7.62X51 7.62X39

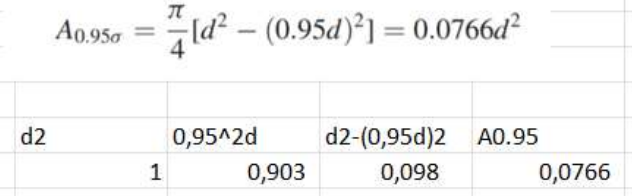
#### Kb: Factor de tamaño

- Gran parte de los datos de fatiga se obtienen de probetas con diámetro 7.62 mm

  7,62 mm (0,3 inch)
- Para componentes más pequeños que la probeta los límites obtenidos son un poco superiores.
- Para tamaños mayores, el límite de fatiga disminuye.
- Los ensayos de fatiga para tamaños grandes son muy costosos y los datos experimentales son limitados
- ¿Qué hacer cuando una barra redonda en flexión no gira?
- ¿Qué hacer cuando se utiliza una sección no circular?
- Pieza real
  - o Sección no circular
  - o Mismas ecuaciones. Se considera d = (Diámetro efectivo)



### 6. ECUACIÓN DE MARIN



#### o Kb: Factor de tamaño

- Diámetro efectivo: "Diámetro que se obtiene al igualar el volumen de material sometido a esfuerzo igual o superior a 95% del esfuerzo máximo con el mismo volumen en la muestra de viga rotativa".
- Sección de viga rotatoria (caso más crítico)

$$A_{0,95} = \frac{\pi}{4} \left[ d^2 - (0.95 \cdot d)^2 \right] = 0.0766 \cdot d^2$$
 (1)

Sección rectangular hxb (Ejemplo sólo para <u>flexión</u>)

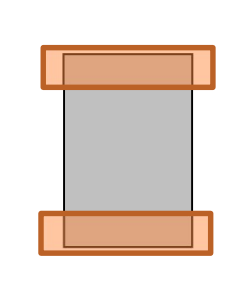
No rotativa.

$$A_{0.95} = 0.05 \cdot h \cdot b$$

Flexión alternada.

Dos puntos afectados.

(I) = (II) 
$$d_e = 0.808 \cdot (h \cdot b)^{\frac{1}{2}}$$



(II)

SECCIÓN NO **CIRCULAR** (Ejemplo: Sección rectangular)



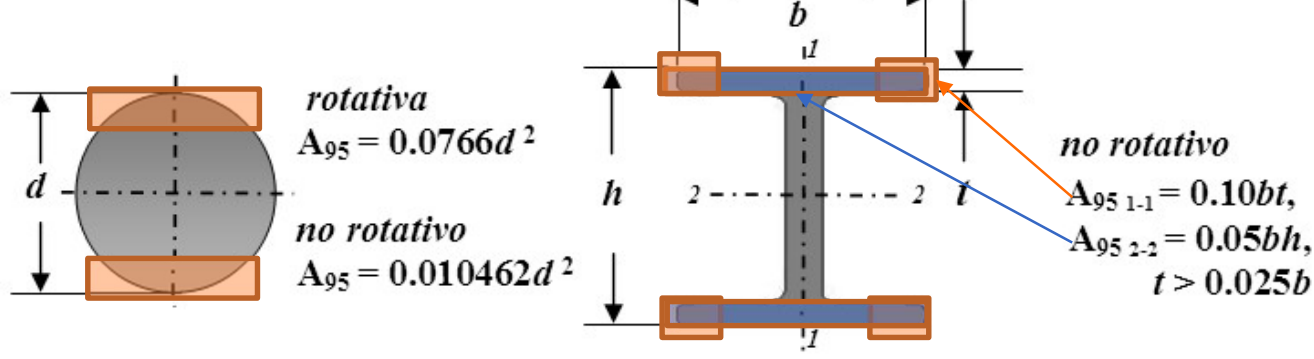


$$d_e = 0.808 \cdot (h \cdot b)^{\frac{1}{2}}$$

#### 6. ECUACIÓN DE MARIN

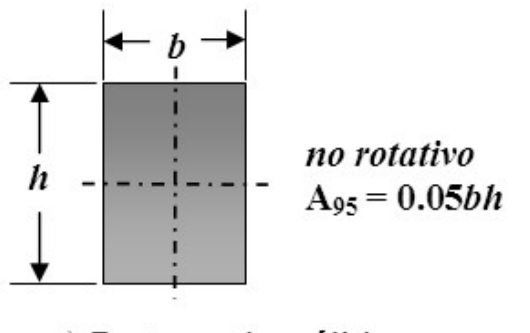
o Kb: Factor de tamaño (otras secciones)

	A0.95 Cil rot		A0.95 Rectan	gular	
0,0766	de2	=	0,05	hb	tabla
	de2	=	0,653	hb	
	de	=	0,808	hb^1/2	
	A0.95 Cil rot		A0.95 Cil est	Redondo so	lido o hueco
0,0766	de2	=	0,010462	d2	tabla
	de2	=	0,137	d2	
	de	=	0,370	d	

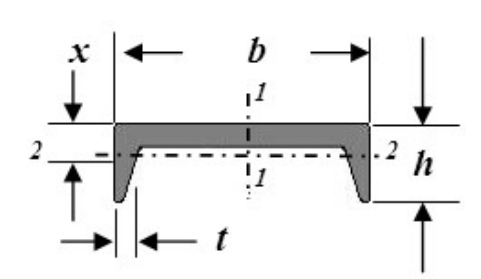


a) Redondo sólido o hueco

b) Viga en I



c) Rectangular sólido



no rotativo  $A_{95 1-1} = 0.05bh,$  t > 0.025b $A_{95 2-2} = 0.05bx+t(h-x)$ 

d) Viga en I

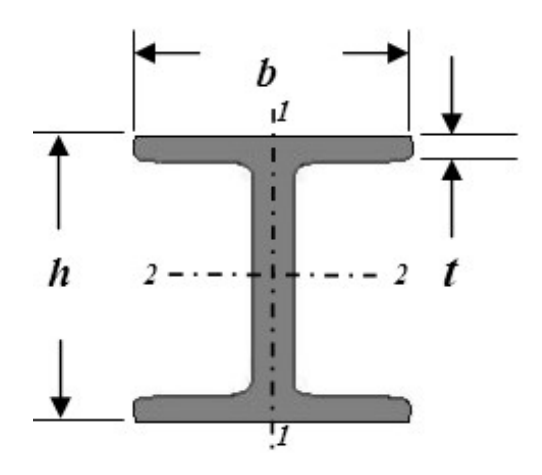


$$d_e = 0.808 \cdot (h \cdot b)^{\frac{1}{2}}$$

#### 6. ECUACIÓN DE MARIN

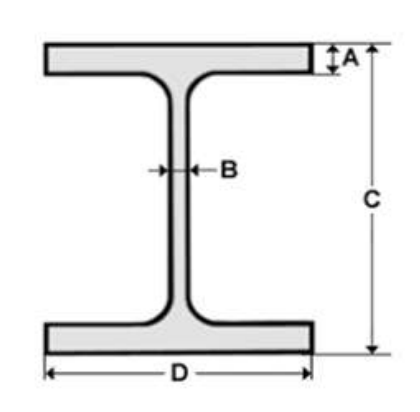
	A0.95 Cil rot		A0.95 Rectan	gular	
0,0766	de2	=	0,05	hb	tabla
	de2	=	0,653	hb	
	de	=	0,808	hb^1/2	

#### o Kb A95 1-1 HEB 100. Flexión



no rotativo

$$A_{95 \ 1-1} = 0.10bt,$$
  
 $A_{95 \ 2-2} = 0.05bh,$   
 $t > 0.025b$ 



Profils		Poids en			
HEB	С	C D	В	В А	
HEB 100	100	100	6	10	20,4

$$K_b = 1,24 \cdot d^{-0,107}$$
  
 $K_b = 1,51 \cdot d^{-0,157}$ 

$$K_b = 0,6$$

$$2,79 \le d (mm) \le 51$$
  
 $51 \le d (mm) \le 254$   
 $d (mm) > 254$ 



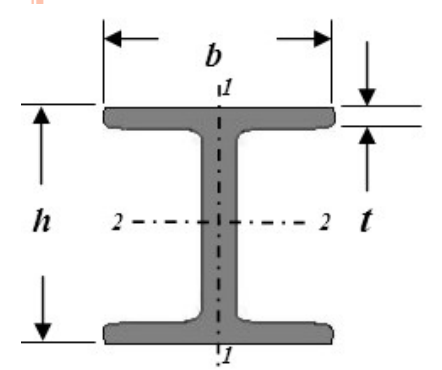
**5**4

 $d_e = 0.808 \cdot (h \cdot b)^2$ 

# RESISTENCIA A LA FATIGA

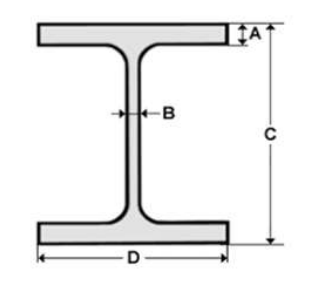
### 6. ECUACIÓN DE MARIN

o Kb A95 1-1 HEB 100. Flexión



no rotativo  $A_{95 \text{ 1-1}} = 0.10bt$ ,  $A_{95 2-2} = 0.05bh$ ,

t > 0.025b



 $K_b = 1,24 \cdot d^{-0,107}$  $K_b = 1,51 \cdot d^{-0,157}$  $K_{b} = 0.6$ 

 $2,79 \leq d (mm) \leq 51$  $51 \le d(mm) \le 254$ d(mm) > 254

Profils		Poids en			
HEB	С	D	В	Α	kg/ML
HEB 100	100	100	6	10	20,4

		A0.95 Cil rot		A0.95 11 HEB	Esfuerzo en z	Z	
(	0,0766	de2	=	0,1	bt	tabla	
		de2	=	1,306	bt		
		de	=	1,143	(bt)^1/2		
				b	t	bt	bt^1/2
				100	10	1000	31,62
					(bt)^1/2		
		de	=	1,143	31,62	36,137	
		de<51	implica	kb	1,24d^-0,107		
					d		d^-0,107
		kb	=	1,24	36,137	-0,107	0,681
L. O. y 1		Kb	=	0,845			

o Kc: Factor de modificación de carga

Probeta a flexión rotativa.

- Carga a flexión: Kc = 1
- Carga axial: Kc = 0.85 (Otros autores Kc=0.7)
- Carga torsión (sólo para fatiga torsional): Kc = 0.59
- Carga torsión combinada con flexión: **Kc** =1



- Kd: Factor de temperatura
  - Aplicable también para ciclos bajos (<1000)</li>
  - Fórmulas únicamente para Aceros

Norton Pag. 381

$$\circ T \le 450^{\circ} C$$
  $K_d = 1$   $\circ 450^{\circ} C \le T \le 550^{\circ} C$   $K_d = 1-0,0058 \cdot (T-450)$ 

- No debe utilizarse para otros materiales
- Para temperaturas mayores la termofluencia adquiere un valor significativo y la curva S-N ya no tendrá un codo.
- Nota. Criterio diferente en Shigley Pag. 283.



#### 6. ECUACIÓN DE MARIN

o Kd: Factor de temperatura

$$k_d = \frac{S_T}{S_{RT}}$$

• Shigley Pag. 283.

 $S_T$  = resistencia a la rotura por tensión a la temperatura de operación.

 $S_{RT}$  = resistencia a la rotura por tensión a la temperatura ambiente del lugar de trabajo.

CATITULO o railas por tatiga resultantes de carga variab

#### Tabla 6-4

Efecto de la temperatura de operación en la resistencia a la tensión del acero.\*

( $S_T$  = resistencia a la tensión a la temperatura de operación;  $S_{RT}$  = resistencia a la tensión a temperatura ambiente;  $0.099 < \hat{\sigma} < 0.110$ )

A Section of the second		<u> </u>	
Temperatura, °C	S <sub>T</sub> /S <sub>RT</sub>	Temperatura, °F	S <sub>T</sub> /S <sub>RT</sub>
20	1.000	70	1.000
50	1.010	100	1.008
100	1.020	200	1.020
150	1.025	300	1.024
200	1.020	400	1.018
250	1.000	500	0.995
300	0.975	600	0.963
350	0.943	700	0.927
400	0.900	800	0.872
450	0.843	900	0.797
500	0.768	1 000	0.698
550	0.672	1 100	0.567
600	0.549		

$$k_d = 0.975 + 0.432(10^{-3})T_F - 0.115(10^{-5})T_F^2 + 0.104(10^{-8})T_F^3 - 0.595(10^{-12})T_F^4$$



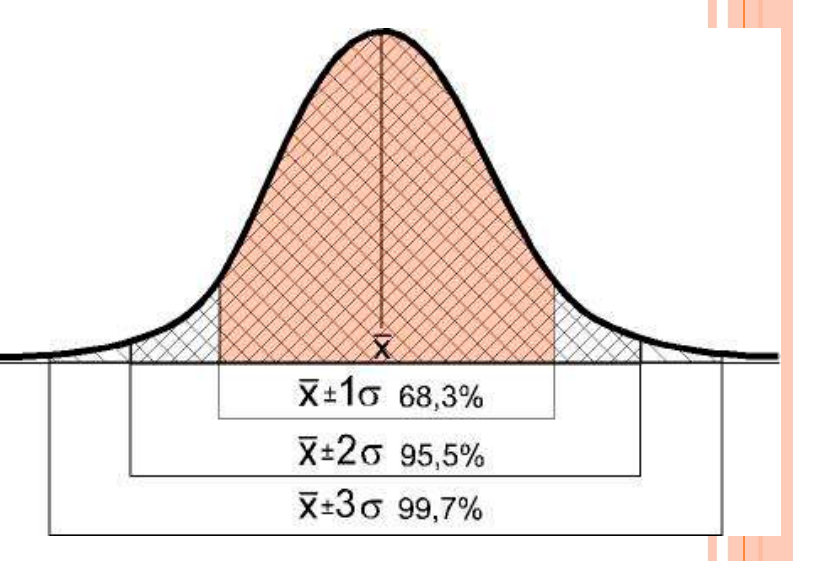
58

donde  $70 \le T_F \le 1000$ °F.

#### 6. ECUACIÓN DE MARIN

#### Ke: Factor de fiabilidad

- Permanencia de la calidad de los productos a lo largo del tiempo. Capacidad de desarrollar adecuadamente su labor a lo largo del tiempo.
- La Fiabilidad intenta garantizar que el producto permanecerá en buenas condiciones durante un periodo razonable de tiempo.
- Datos según una distribución normal con desviación estándar supuesta de 8% (lo observado normalmente)

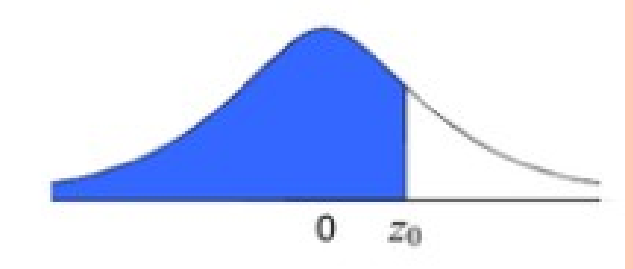


 $\mu = Media$ 

σ = Desviación típica

$$P(z \le z_0) = \frac{1}{\sqrt{2\pi}} \int_{-\infty}^{z_0} e^{\frac{-z^2}{2}} dz$$

Tipificación: 
$$z_0 = \frac{x - \mu}{\sigma}$$



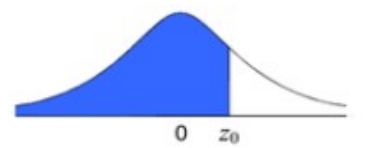


Ke: Factor de fiabilidad

 $\mu$  = Media

σ = Desviación típica

$$P(z \le z_0) = \frac{1}{\sqrt{2\pi}} \int_{-\infty}^{z_0} e^{\frac{-z^2}{2}} dz$$



Tipificación:  $z_0 = \frac{x - \mu}{\sigma}$ 

Z <sub>0</sub>	0,00	0,01	0,02	0,03	0,04	0,05	0,06	0,07	0,08	0,09	Z <sub>0</sub>
0,0	0,5000	0,5040	0,5080	0,5120	0,5160	0,5199	0,5239	0,5279	0,5319	0,5359	0,0
0,1	0,5398	0,5438	0,5478	0,5517	0,5557	0,5596	0,5636	0,5675	0,5714	0,5753	0,1
0,2	0,5793	0,5832	0,5871	0,5910	0,5948	0,5987	0,6026	0,6064	0,6103	0,6141	0,2
0,3	0,6179	0,6217	0,6255	0,6293	0,6331	0,6368	0,6406	0,6443	0,6480	0,6517	0,3
0,4	0,6554	0,6591	0,6628	0,6664	0,6700	0,6736	0,6772	0,6808	0,6844	0,6879	0,4
0,5	0,6915	0,6950	0,6985	0,7019	0,7054	0,7088	0,7123	0,7157	0,7190	0,7224	0,5
0,6	0,7257	0,7291	0,7324	0,7357	0,7389	0,7422	0,7454	0,7486	0,7517	0,7549	0,6
0,7	0,7580	0,7611	0,7642	0,7673	0,7704	0,7734	0,7764	0,7794	0,7823	0,7852	0,7
0,8	0,7881	0,7910	0,7939	0,7967	0,7995	0,8023	0,8051	0,8078	0,8106	0,8133	0,8
0,9	0,8159	0,8186	0,8212	0,8238	0,8264	0,8289	0,8315	0,8340	0,8365	0,8389	0,9
1,0	0,8413	0,8438	0,8461	0,8485	0,8508	0,8531	0,8554	0,8577	0,8599	0,8621	1,0
1,1	0,8643	0,8665	0,8686	0,8708	0,8729	0,8749	0,8770	0,8790	0,8810	0,8830	1,1
1,2	0,8849	0,8869	0,8888	0,8907	0,8925	0,8944	0,8962	0,8980	0,8997	0,9015	1,2
1,3	0,9032	0,9049	0,9066	0,9082	0,9099	0,9115	0,9131	0,9147	0,9162	0,9177	1,3
1,4	0,9192	0,9207	0,9222	0,9236	0,9251	0,9265	0,9279	0,9292	0,9306	0,9319	1,4
1,5	0,9332	0,9345	0,9357	0,9370	0,9382	0,9394	0,9406	0,9418	0,9429	0,9441	1,5
1,6	0,9452	0,9463	0,9474	0,9484	0,9495	0,9505	0,9515	0,9525	0,9535	0,9545	1,6
1,7	0,9554	0,9564	0,9573	0,9582	0,9591	0,9599	0,9608	0,9616	0,9625	0,9633	1,7
1,8	0,9641	0,9649	0,9656	0,9664	0,9671	0,9678	0,9686	0,9693	0,9699	0,9706	1,8
1,9	0,9713	0,9719	0,9726	0,9732	0,9738	0,9744	0,9750	0,9756	0,9761	0,9767	1,9
2,0	0,9772	0,9778	0,9783	0,9788	0,9793	0,9798	0,9803	0,9808	0,9812	0,9817	2,0
2,1	0,9821	0,9826	0,9830	0,9834	0,9838	0,9842	0,9846	0,9850	0,9854	0,9857	2,1
2,2	0,9861	0,9864	0,9868	0,9871	0,9875	0,9878	0,9881	0,9884	0,9887	0,9890	2,2
2,3	0,9893	0,9896	0,9898	0,9901	0,9904	0,9906	0,9909	0,9911	0,9913	0,9916	2,3
2,4	0,9918	0,9920	0,9922	0,9925	0,9927	0,9929	0,9931	0,9932	0,9934	0,9936	2,4
2,5	0,9938	0,9940	0,9941	0,9943	0,9945	0,9946	0,9948	0,9949	0,9951	0,9952	2,5
2,6	0,9953	0,9955	0,9956	0,9957	0,9959	0,9960	0,9961	0,9962	0,9963	0,9964	2,6
2,7	0,9965	0,9966	0,9967	0,9968	0,9969	0,9970	0,9971	0,9972	0,9973	0,9974	2,7
2,8	0,9974	0,9975	0,9976	0,9977	0,9977	0,9978	0,9979	0,9979	0,9980	0,9981	2,8
2,9	0,9981	0,9982	0,9982	0,9983	0,9984	0,9984	0,9985	0,9985	0,9986	0,9986	2,9
3,0	0,99865	0,99869	0,99874	0,99878	0,99882	0,99886	0,99889	0,99893	0,99896	0,99900	3,0
3,1	0,99903	0,99906	0,99910	0,99913	0,99916	0,99918	0,99921	0,99924	0,99926	0,99929	3,1
3,2	0,99931	0,99934	0,99936	0,99938	0,99940	0,99942	0,99944	0,99946	0,99948	0,99950	3,2
3,3	0,99952	0,99953	0,99955	0,99957	0,99958	0,99960	0,99961	0,99962	0,99964	0,99965	3,3
3,4	0,99966	0,99968	0,99969	0,99970	0,99971	0,99972	0,99973	0,99974	0,99975	0,99976	3,4
3,5	0,99977	0,99978	0,99978	0,99979	0,99980	0,99981	0,99981	0,99982	0,99983	0,99983	3,5
3,6	0,99984	0,99985	0,99985	0,99986	0,99986	0,99987	0,99987	0,99988	0,99988	0,99989	3,6
3,7	0,99989	0,99990	0,99990	0,99990	0,99991	0,99991	0,99992	0,99992	0,99992	0,99992	3,7
3,8	0,99993	0,99993	0,99993	0,99994	0,99994	0,99994	0,99994	0,99995	0,99995	0,99995	3,8
3,9	0,99995	0,99995	0,99996	0,99996	0,99996	0,99996	0,99996	0,99996	0,99997	0,99997	3,9

1-α	90%	92%	94%	95%	96%	97%	98%	99%
α	10%	8%	6%	5%	4%	3%	2%	1%
Z <sub>ct/2</sub>	1,645	1,751	1,881	1,960	2,054	2,170	2,326	2,576
Zα	1,282	1,405	1,555	1,645	1,751	1,881	2,054	2,326

Siendo:

1-α = Nivel de confianza α = Nivel de significación

o Ke: Factor de fiabilidad

Fiabilidad	Factor de	fiabilidad Kc				/
0.5		1				_ /
0.9		0.897				
0.95		0.868				
0.99		0.814				
0.999		0.753				0 z <sub>d</sub>
0.9999		0.702				0 24
0.99999		0.659				
0.999999		0.620	9. ]			
0.9999999		0.584	0.3			
0.999999999		0.551	0.2			× 34.1%
0.999999999	9	0.520	_		34,1	1.170
		Assessment Lower WA	0.1%	2.1%	6%	13.6% 21% 0.17
Reliability, % Transfo	rmation Variate z <sub>a</sub>	Reliability Factor k <sub>e</sub>	8			

50 1.000 1.288 0.897 95 1.645 0.868 2.326 0.814 99 0.753 99.9 3.091 99.99 3.719 0.702 99,999 4.265 0.659 99,9999 4.753 0.620

0.00  $z_0$ 0.0 0,5000 0.1 0.5398 0,2 0.5793 0.3 0.6179 0.4 0.6554 0.6915 0.5 0.6 0.7257 0,7 0,7580 0.8 0.7881 0,9 0.8159 0.8413 1.0 0.8643 0.8849 0.9032 0.9192 0.9332 1,6 0.9452 1.7 0.9554 1,8 0.9641 1,9 0.9713 0.9772 0.9821 0.9861 0.9893 0.9918 2,5 0.9938 2,6 0.9953 2.7 0.9965 0.9974 2,9 0.9981 0.99865 3,1 0.99903 3.2 0.99931 3,3 0.99952 0.99966 0.99977 3.6 0.99984 0.99989 3,8 0.99993 3,9 0.99995

- o 1/Kf: Factor de concentración de tensiones
  - Aplicación:

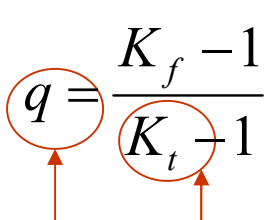
MATERIAL	CARGA ESTÁTICA	CARGA FATIGA
Dúctil	1.0	$K_{f}$
Frágil	K,	$K_{\rm f}$
Fundición	1.0	$K_{f}$



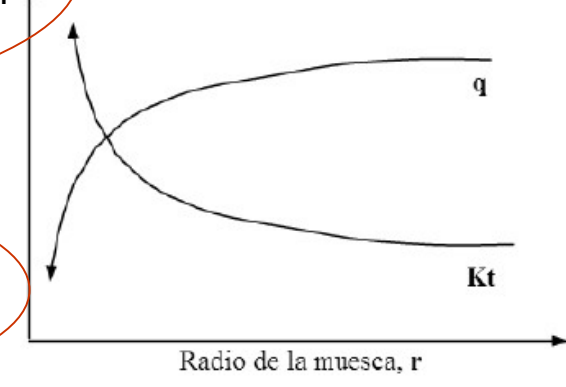
o 1/K<sub>f</sub>: Factor de concentración de tensiones

 $\frac{1}{K_f}$ 

Factor de reducción de la resistencia en caso de fatiga = limite de fatiga de probetas sin discontinuidad / limite de fatiga de probetas con discontinuidad.



Factor de concentración de tensiones teórico



Factor de sensibilidad a la entalla Depende del material

$$|K_f| = q(K_t - 1) + 1$$

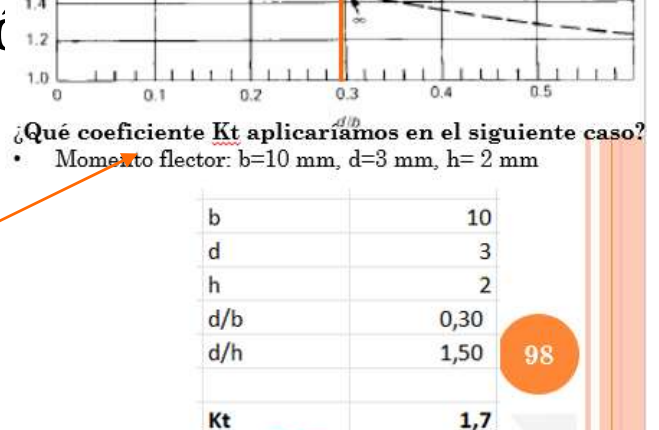




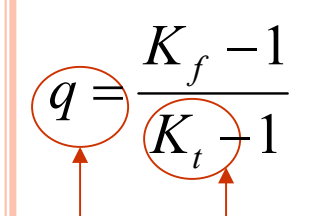
Factor de concentración de tensiones teórico

Geometría.

Tipo de entalla. Tipo de esfuerzo.

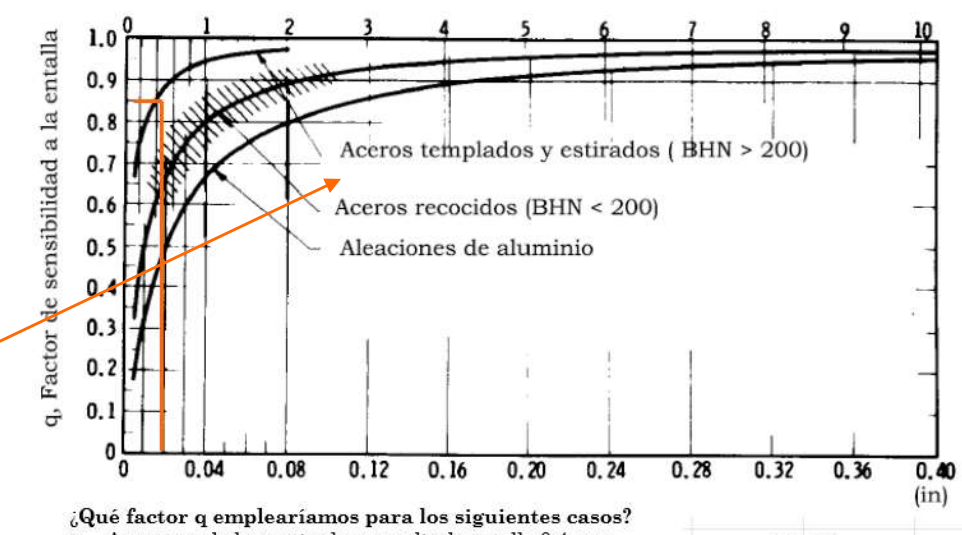


ρ, κασιο de la entalla (mm)



Factor de sensibilidad a la entalla

Depende del material Tamaño entalla



- Acero templado y estirado con radio de entalla 0.4 mm
- Aleación de aluminio con radio de entalla 2 mm

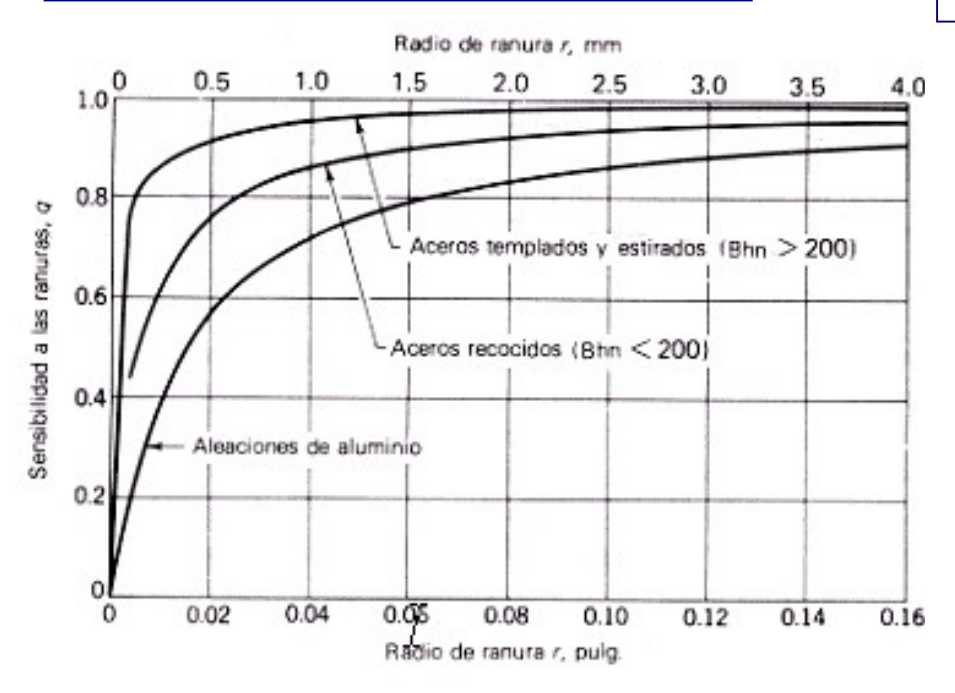
25,4 mm 1 pulgadas 0,4 mm 0,02 pulgadas 0,85

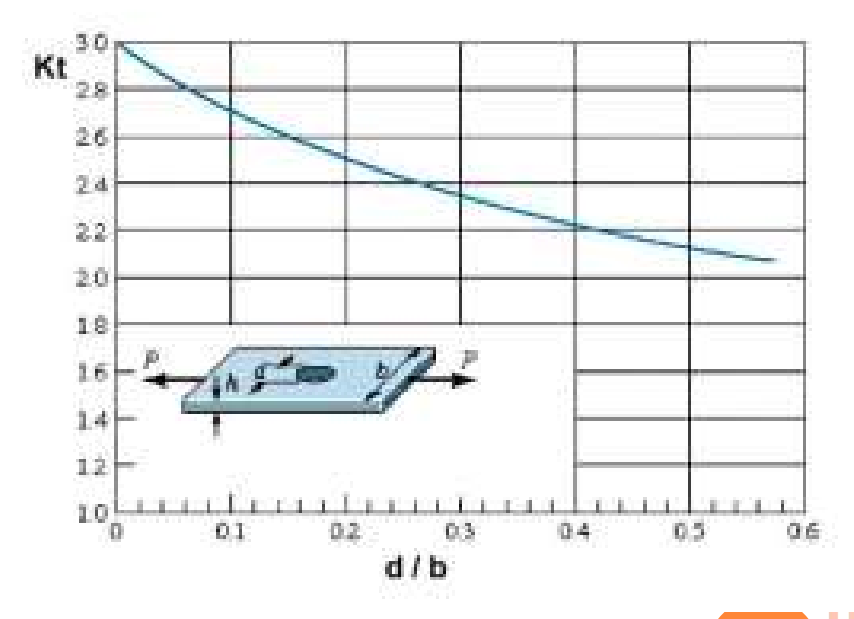
Dr. J. L. O. y MABH

o 1/K<sub>f</sub>: Factor de concentración de tensiones

q (Sensibilidad a la entalla)

Kt (Factor de concentración de tensiones teórico)







- o 1/K<sub>f</sub>: Factor de concentración de tensiones
  - Constante de Neuber (a) para aceros
  - Para torsión tomar 138 MPa más en Su

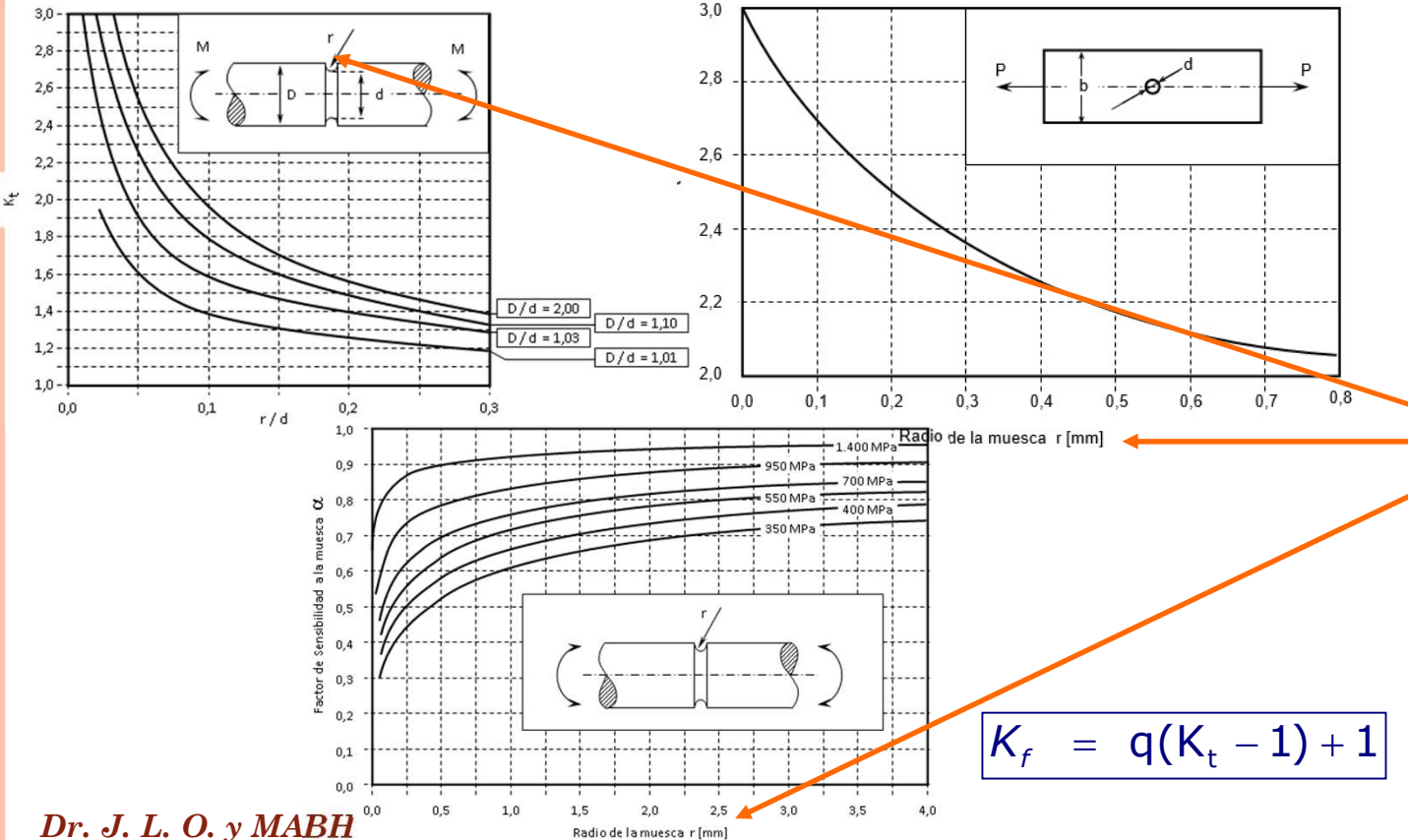
Su		$\sqrt{a}$				
		Carga axial y flexión		Torsión		
(ksi)	(MPa)	(in <sup>0.3</sup> )	(mm <sup>0.5</sup> )	(in <sup>0.5</sup> )	(mm <sup>0.5</sup> )	
50	345	0.130	0.66	0.093	0.47	
55	380	0.118	0.59	0.087	0.44	
60	415	0.108	0.54	0.080	0.40	
70	485	0.093	0.47	0.070	0.35	
80	550	0.080	0.40	0.062	0.31	
90	620	0.070	0.35	0.055	0.28	
100	690	0.062	0.31	0.049	0.25	
110	760	0.055	0.28	0.044	0.22	
120	825	0.049	0.25	0.039	0.20	
130	895	0.044	0.22	0.035	0.18	
140	965	0.039	0.20	0.031	0.16	
160	1100	0.031	0.16	0.024	0.12	
180	1240	0.024	0.12	0.018	0.09	
200	1380	0.018	0.09	0.013	0.07	
220	1515	0.013	0.07	0.009	0.05	
240	1655	0.009	0.05			

La sensibilidad a la muesca **q** a partir de la fórmula de Kuhn-Hardrath, en términos de la constante **a** y del radio **r** de la muesca.

$$q = \frac{1}{1 + \frac{\sqrt{a}}{\sqrt{r}}}$$

Su		$\sqrt{a}$				
		Carga axial y flexión		Torsión		
(ksi)	(MPa)	(in <sup>0.3</sup> )	(mm <sup>0.5</sup> )	(in <sup>0.5</sup> )	(mm <sup>0.5</sup> )	
50	345	0.130	0.66	0.093	0.47	
55	380	0.118	0.59	0.087	0.44	
60	415	0.108	0.54	0.080	0.40	
70	485	0.093	0.47	0.070	0.35	
80	550	0.080	0.40	0.062	0.31	
90	620	0.070	0.35	0.055	0.28	
100	690	0.062	0.31	0.049	0.25	
110	760	0.055	0.28	0.044	0.22	
120	825	0.049	0.25	0.039	0.20	
130	895	0.044	0.22	0.035	0.18	
140	965	0.039	0.20	0.031	0.16	
160	1100	0.031	0.16	0.024	0.12	
180	1240	0.024	0.12	0.018	0.09	
200	1380	0.018	0.09	0.013	0.07	
220	1515	0.013	0.07	0.009	0.05	
240	1655	0.009	0.05			

- 1/K<sub>f</sub>: Factor de concentración de tensiones
  - Constante de Neuber (a) para aceros
  - Para torsión tomar 138 MPa más en Su



La sensibil dad a la muesca **g** a partir de la fórmula de Kuhn-Hardrath, en términos de la constante **a** y del radio **r** de la muesca.

$$q = \frac{1}{1 + \frac{\sqrt{a}}{\sqrt{r}}}$$

1 PSI = 6904.56 Pa

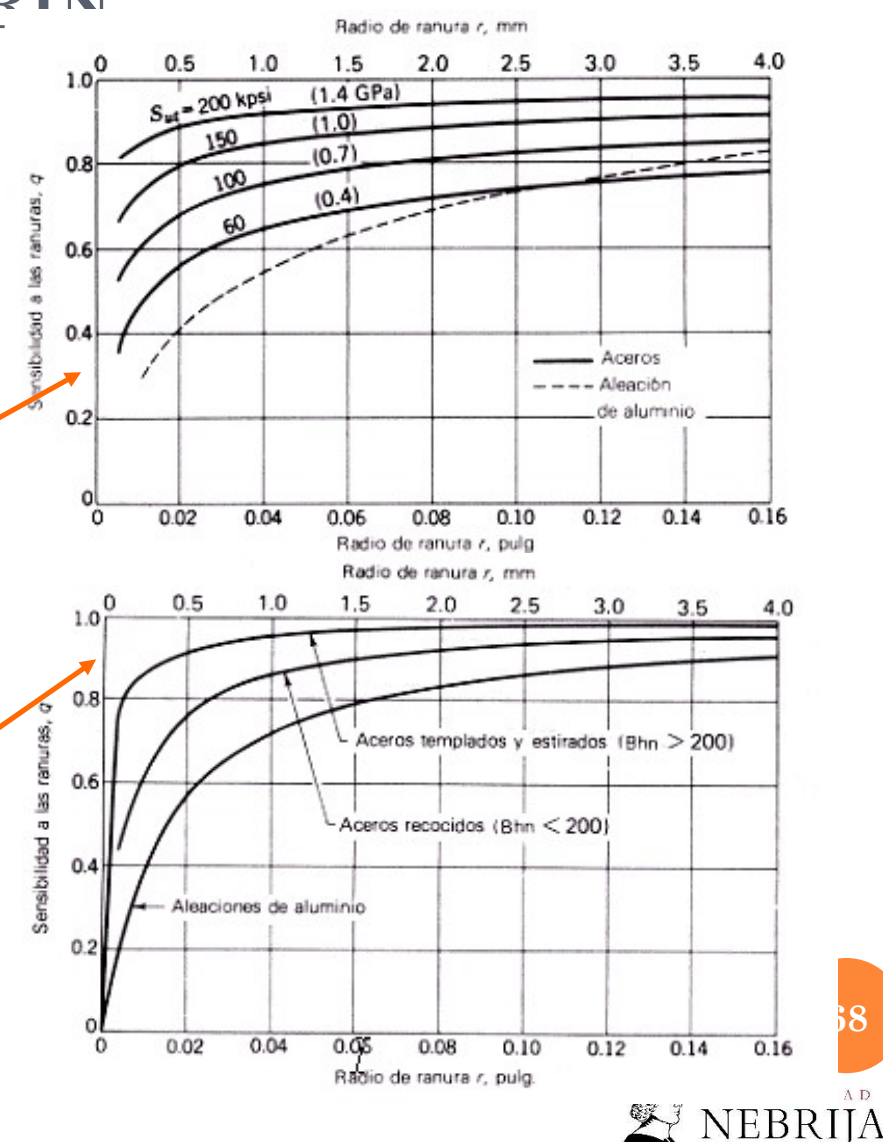
# RESISTENCIA A LA FATIGA 6. ECUACIÓN DE MAPIN

- 1/K<sub>f</sub>: Factor de concentración de tensiones
  - Sensibilidad a la entalla q
  - Sensibilidad a las ranuras.
     <u>Cargas de flexión y axiales</u>, <u>alternantes</u>. Para radios de ranura mayores usar valores de q correspondientes <u>a r=4mm</u>
  - Sensibilidad a las ranuras.

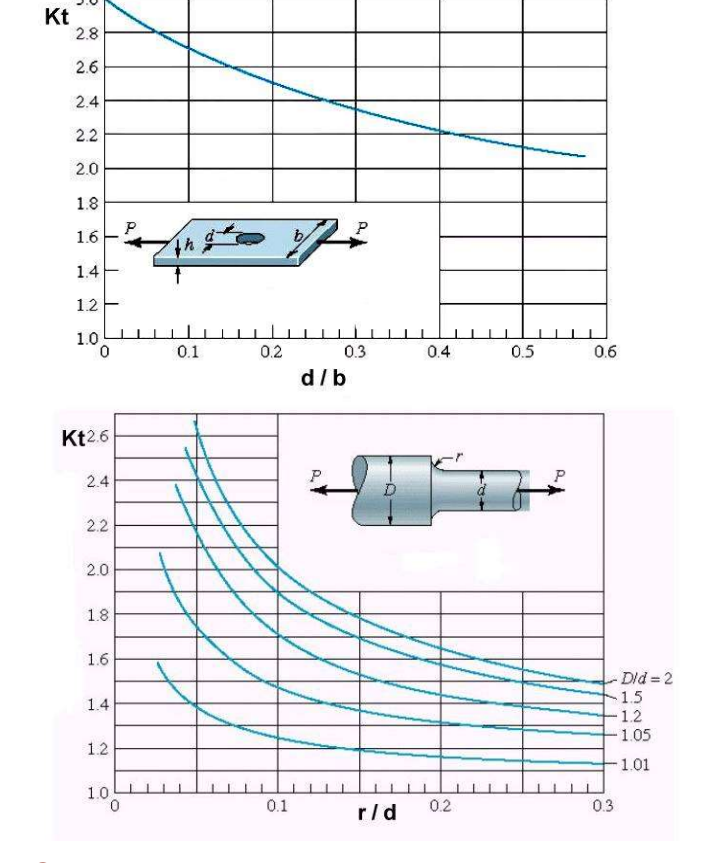
    <u>Cargas de torsión</u>

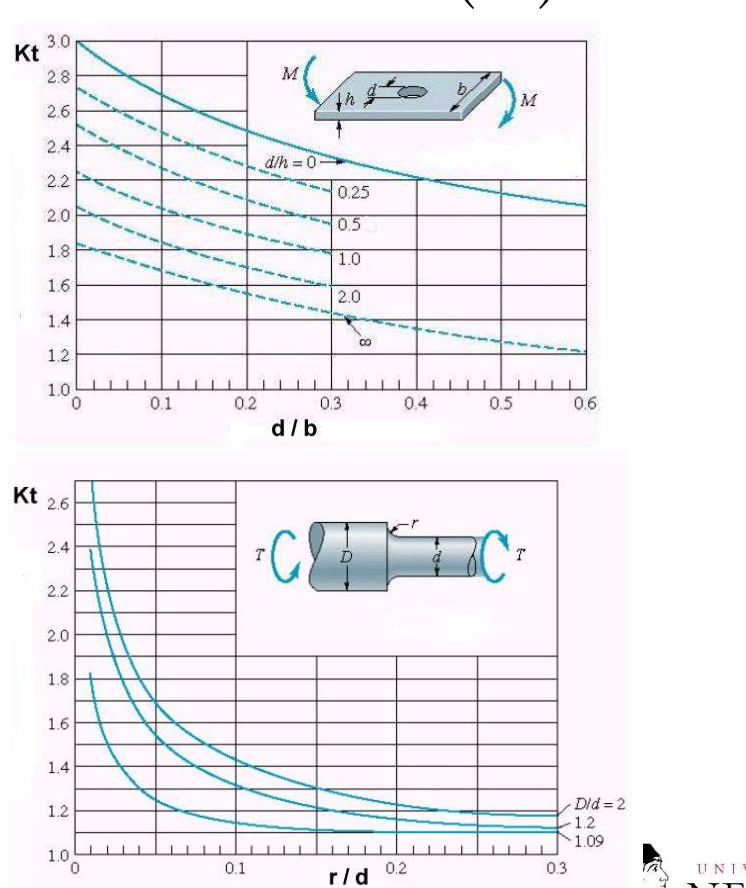
    <u>alternantes</u>. Para radios de ranura mayores usar valores de q

    correspondientes a r=4mm



- o 1/K<sub>f</sub>: Factor de concentración de tensiones.
  - Factor de concentración de tensiones teórico (Kt)



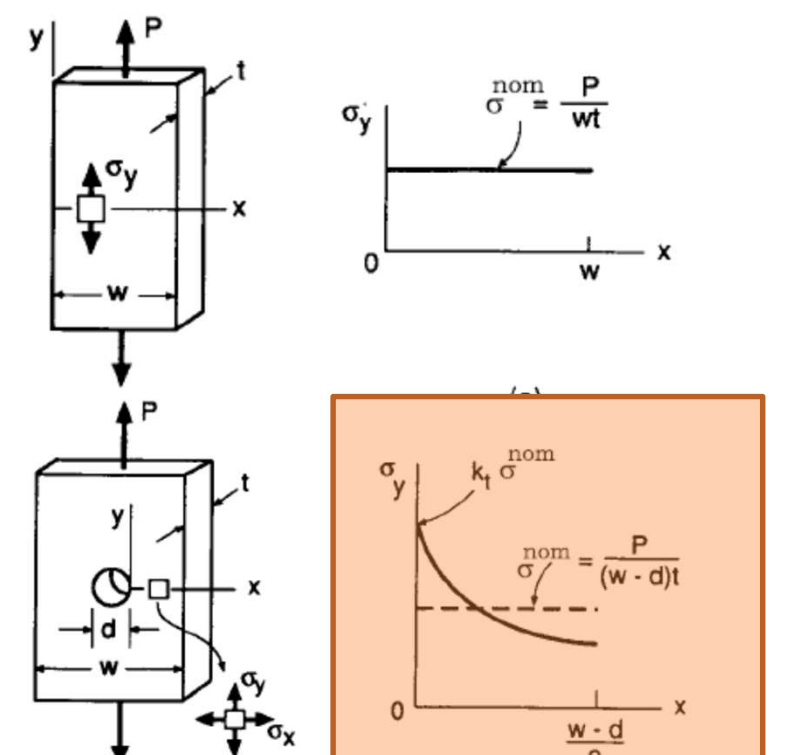


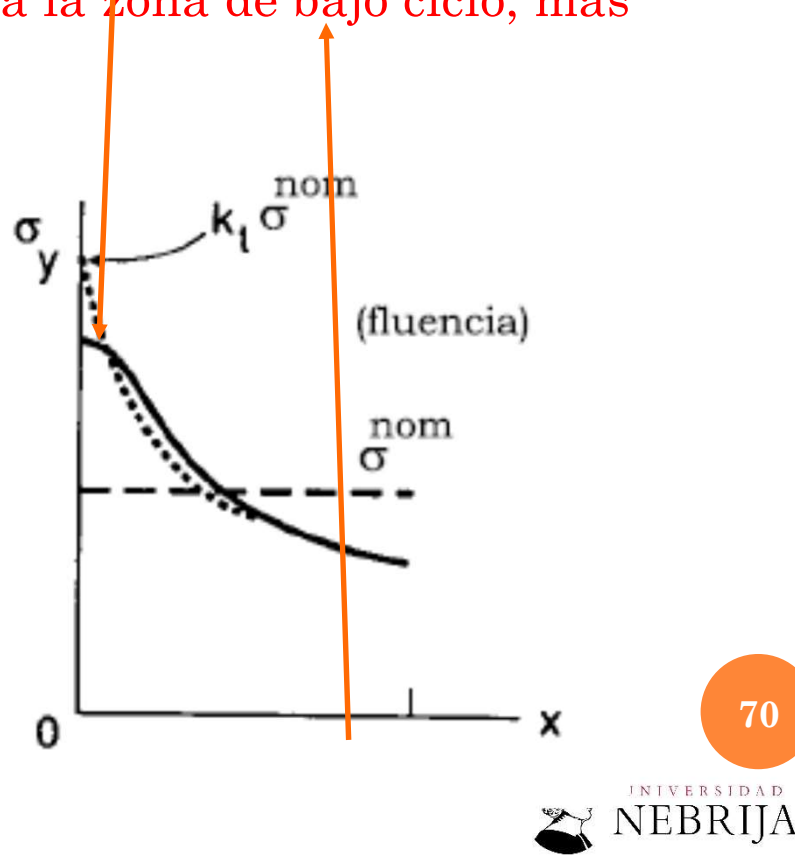
#### o 1/K<sub>f</sub>: Factor de concentración de tensiones.

 Tensiones nominales y reales considerando tensión simple y componente con entalla, con y sin fluencia

• Cuanto más se acerque el diseño a la zona de bajo ciclo, más

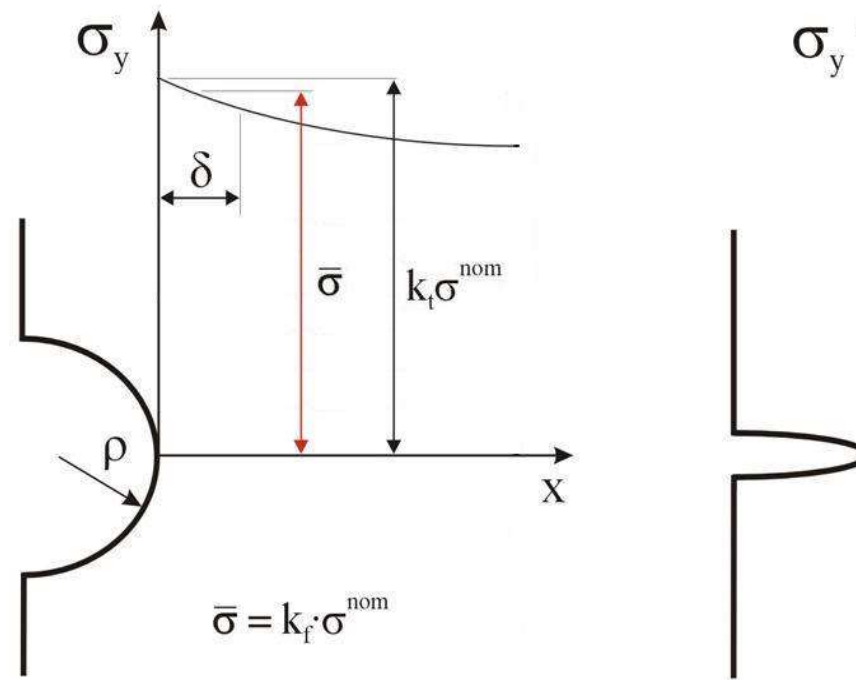
importante es la fluencia

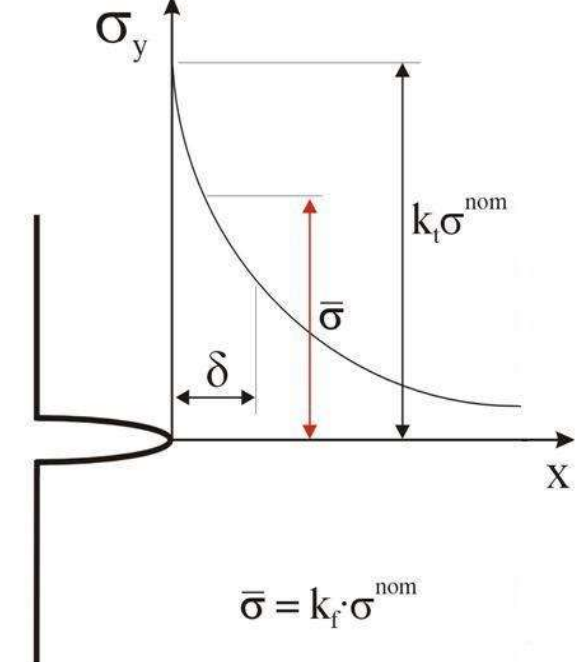




Dr. J. L. ...

- o 1/K<sub>f</sub>: Factor de concentración de tensiones.
  - Necesario un espesor  $\delta$  para el proceso de fatiga

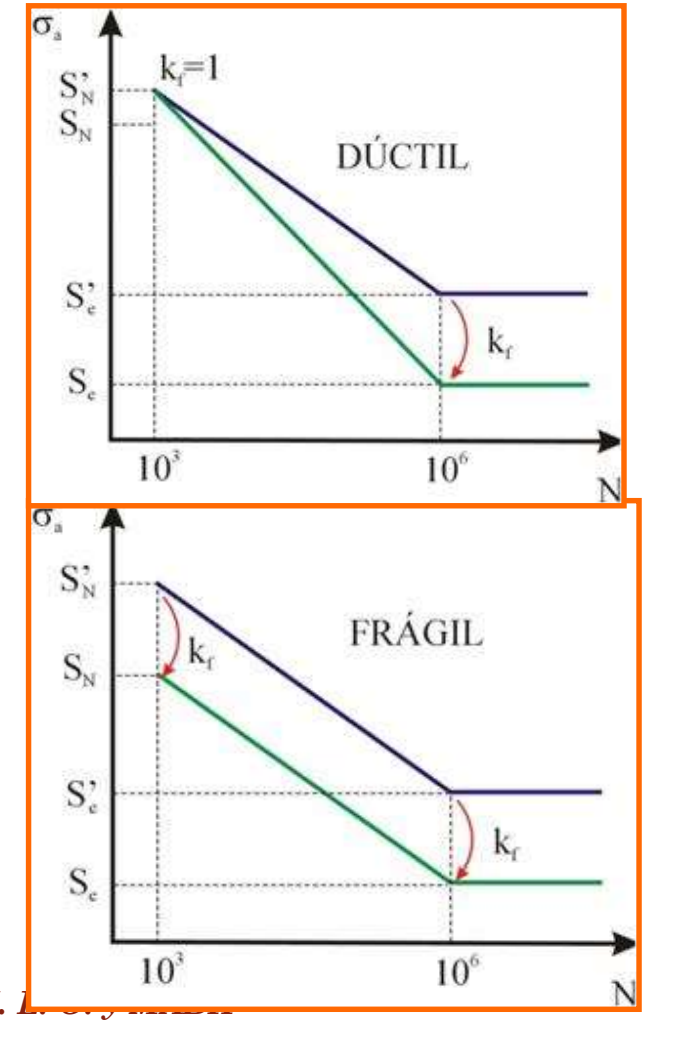


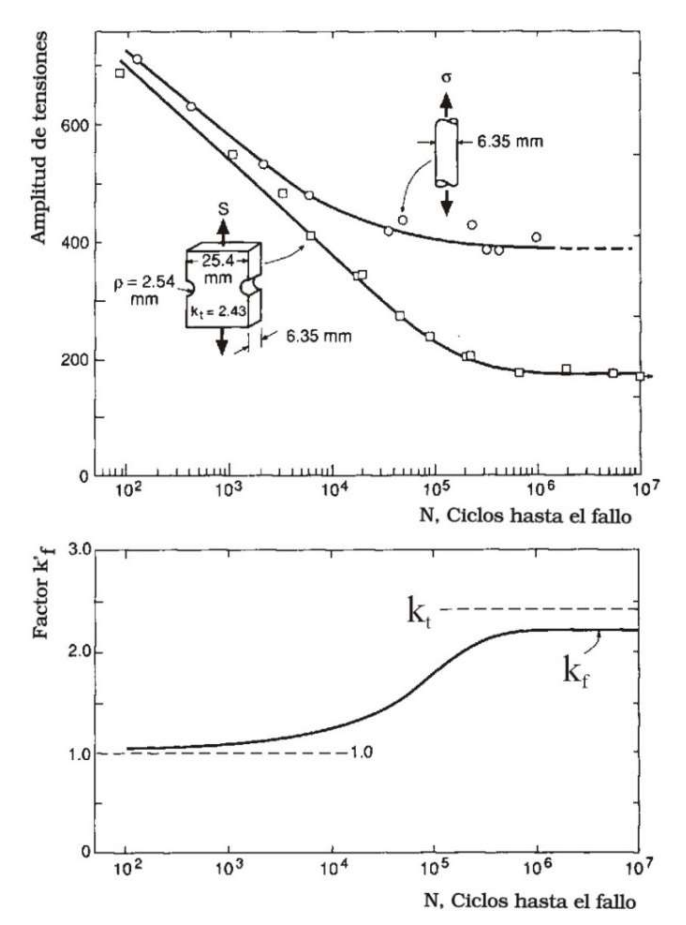


$$\rho \downarrow \Rightarrow \operatorname{grad}(\sigma) \Rightarrow k_f/k_t \downarrow$$



o 1/K<sub>f</sub>: Factor de concentración de tensiones.

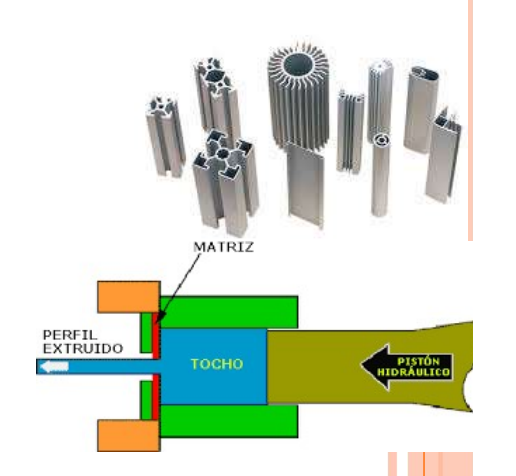




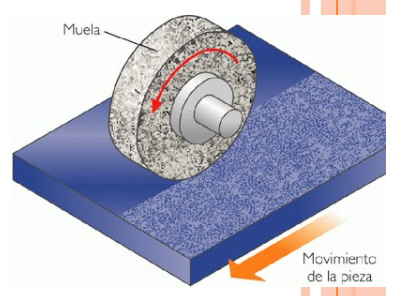


**72** 

- Kg: Factor de efectos diversos
  - Datos experimentales. Algunos de ellos...
  - Tensiones residuales...
    - ... de tracción: Acelera el crecimiento de grieta (forjado, extrusión, laminado,...)
    - o ... de compresión: Retarda el crecimiento de grieta (granallado, recocido, ...)
  - Recubrimientos electrolíticos
    - o En general disminuyen Se (cromado, niquelado, etc.)
  - Corrosión
    - o La corrosión disminuye Se (concentración de tensiones)
    - Por deterioro superficial



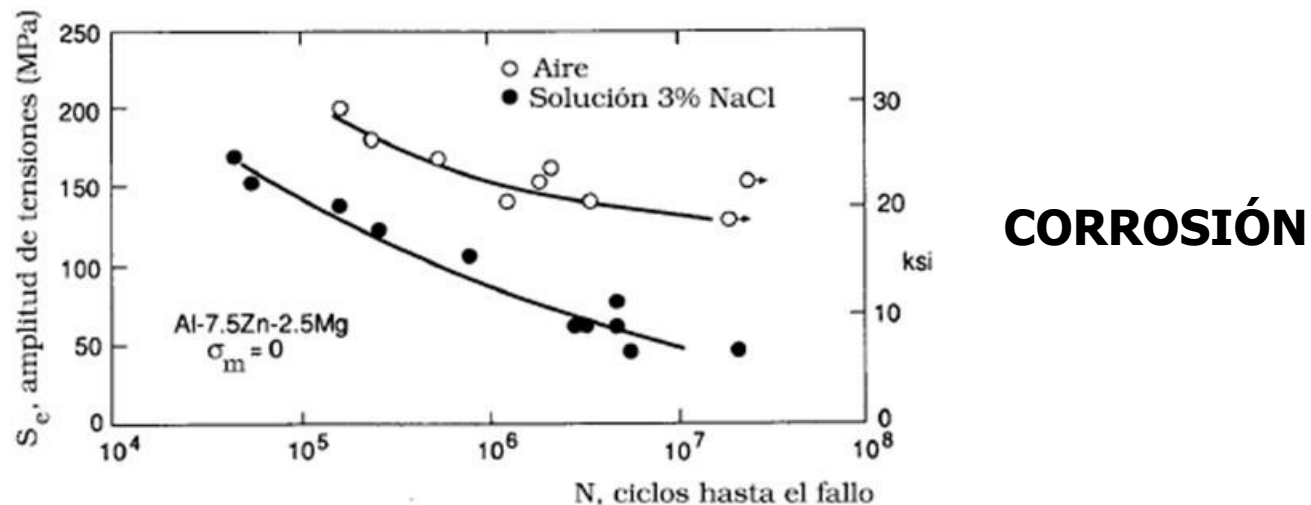




#### 6. ECUACIÓN DE MARIN

#### Kg: Factor de efectos diversos

- El problema de l a corrosión no es tan simple como encontrar el límite de fatiga para una muestra que se ha corroído.
- La razón es que corrosión y fatiga ocurren simultáneamente.
- Básicamente esto significa que siempre existirá fallo en un componente sometido a tensiones repetidas en una atmósfera corrosiva.
- Es decir, "no existe" el límite de fatiga



Efecto de una solución salina similar al agua marina en el comportamiento a fatiga de flexión en una aleación de aluminio.

UNIVERSIDAD NEBRIJA

74

# BAJAS FRECUENCIAS ALTAS E DECLIENCIAS

#### Kg: Factor de efectos diversos

- Si por alguna razón el proceso de fatiga se convierte en dependiente del tiempo, también es dependiente de la frecuencia.
- Bajo condiciones normales, el fallo por fatiga es independiente de la frecuencia. Pero cuando existe corrosión o altas temperaturas, la frecuencia de aplicación es importante.
- Para un nivel de tensiones dado, a medida que la <u>frecuencia</u> sea más baja y la temperatura más alta, se tiene una <u>velocidad</u> de propagación de grieta más alta y en consecuencia una vida inferior de fatiga.

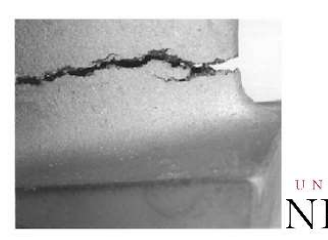
  CREEP: Cran parte de los fallos caurridas e

 CREEP: Gran parte de las fallas ocurridas a altas temperaturas son atribuidas a <u>fluencia</u> <u>lenta</u> o a una combinación fluencia lenta-fatiga

Este actúa como si fuese viscoso y puede definirse como la acumulación de deformación plástica con el tiempo. Sufre deformación anelástica; sus dimensiones cambian con el tiempo.

↓ S´<sub>e</sub> Influye Temperatura y frecuencia





75
UNIVERSIDAD
NEBRIJA

· Efecto de la temperatura y frecuencia en las curvas S-N para carga axial de la aleación de base níquel Inconel.

#### Corrosión por fretting

Tiene lugar cuando dos metales son mantenidos en contacto y sujetos a una repetición de deslizamientos cortos con movimientos relativos. (juntas atornilladas, cojinetes...)
Bureau Veritas.

#### • Kg: Factor de efectos diversos. Fretting

- Tensiones de contacto, p.e. en uniones atornilladas.
- El factor de reducción del límite de fatiga depende de los materiales utilizados y puede oscilar entre 0.24 y 0.9.
- $\downarrow$  S'<sub>e</sub> (0.24 0.9)
- Los polímeros pueden incrementar su T<sup>a</sup> debido a la carga cíclica, ya que estos materiales tienen un comportamiento viscoelástico, y la energía generada debe disiparse en forma de calor.
- El efecto se agrava debido a que estos materiales tienen una conductividad térmica bajo.
- Una consecuencia de esto es que la curva S-N no sólo está afectada por la frecuencia, sino también por el espesor del elemento, ya que los componentes más delgados pueden disipar mejor el calor generado.

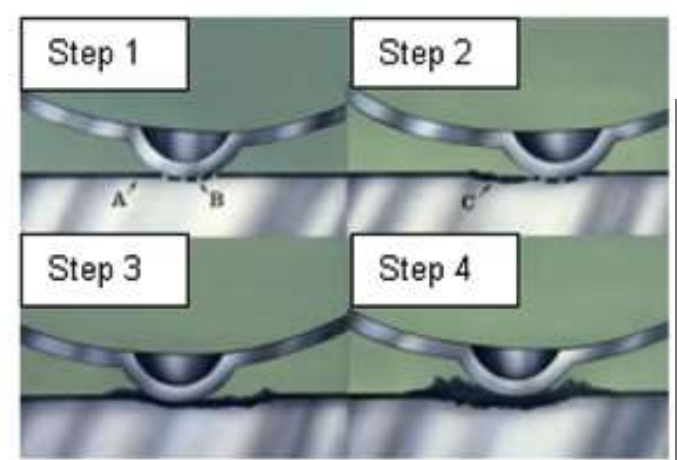
#### **POLIMEROS: (viscoelásticos y malos conductores del calor)**

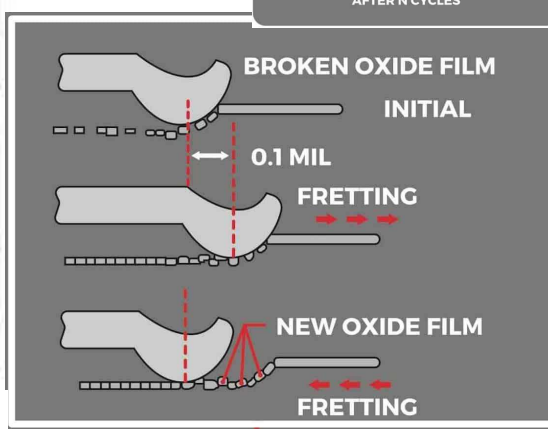
carga cíclica  $\Rightarrow \uparrow$  temperatura  $\Rightarrow$  cuando  $\varnothing \uparrow$ ,  $\downarrow$  vida



**76** 

#### **FRETTING**



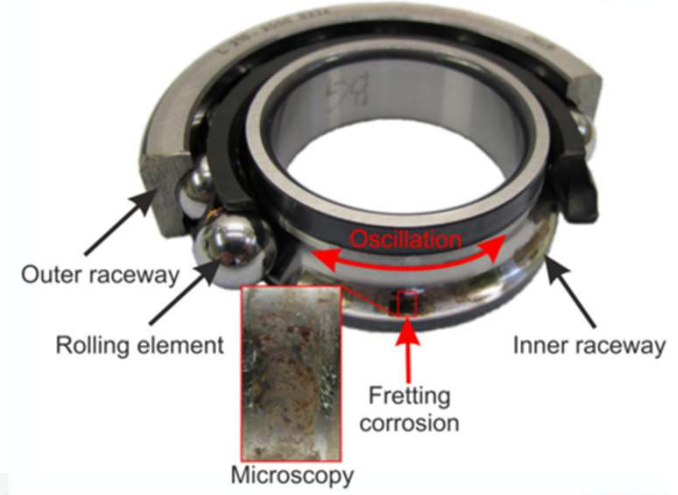


**LUBRICATED CONTACT** 

FRETTING

LUBRICANT FILM PROTECTING WEAR FROM OXIDATION

FRETTING

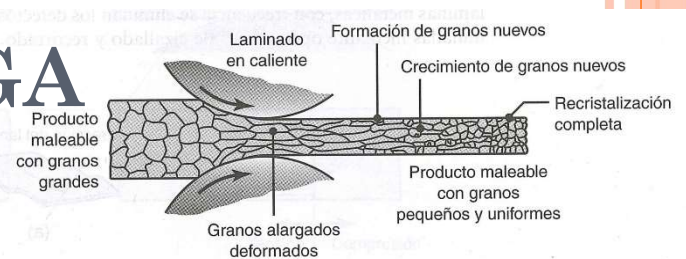






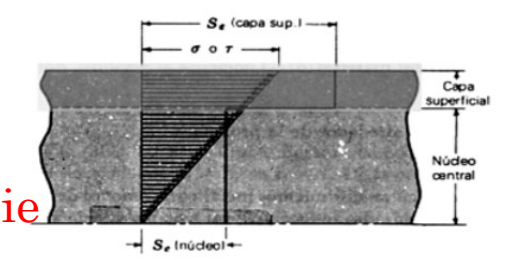




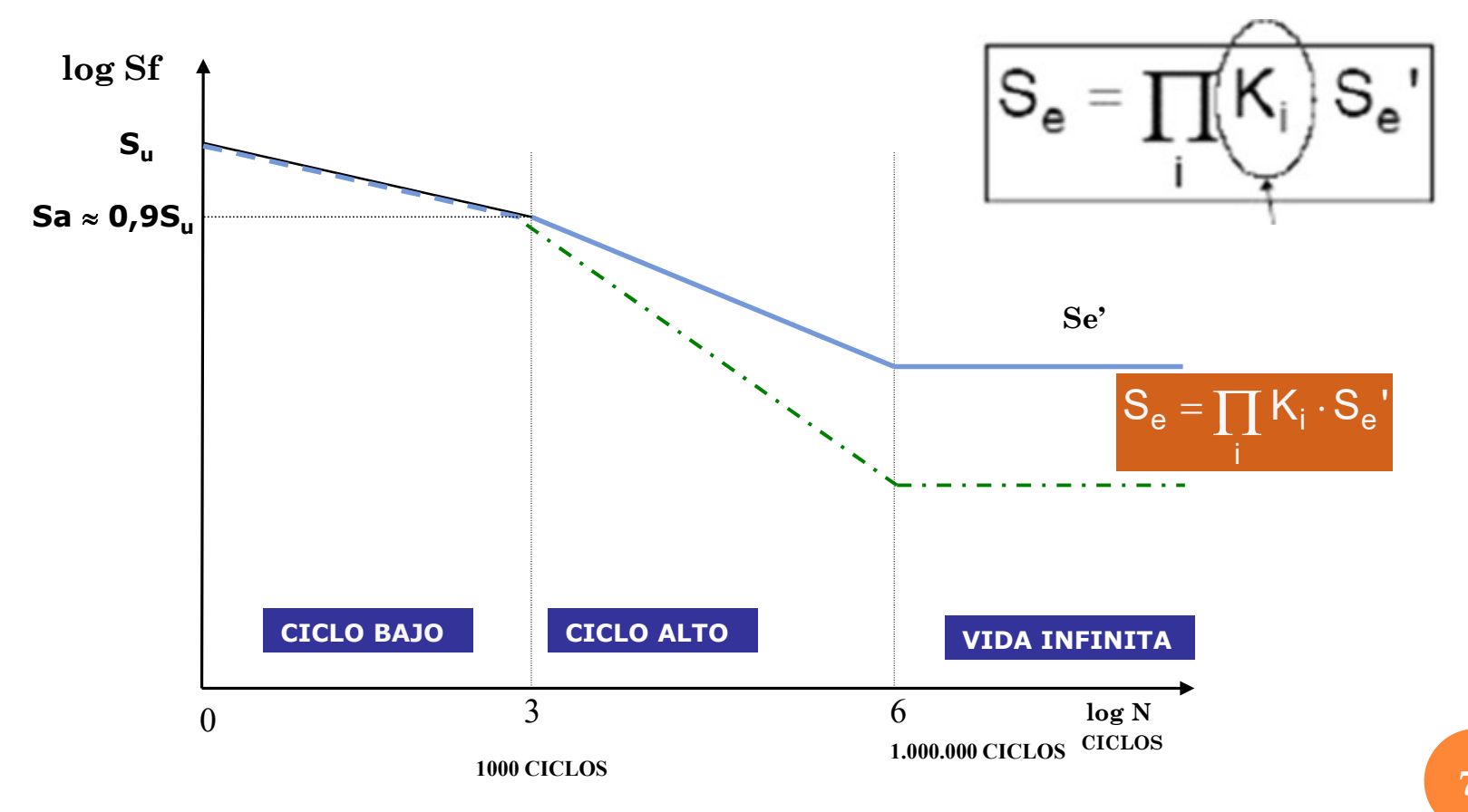


#### Kg: Factor de efectos diversos. Fretting

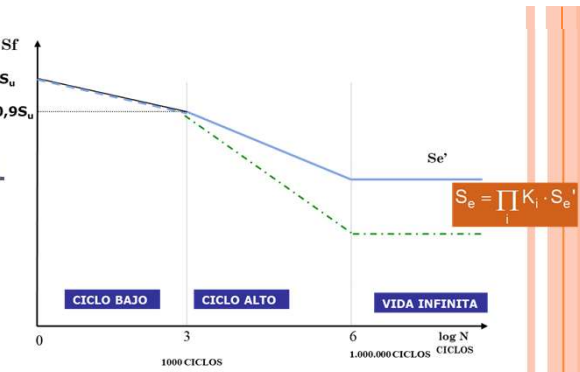
- Tensiones residuales de compresión (inhibición crecimiento grieta). Mejora significativamente el comportamiento a fatiga.
  - o  ${
    m Shot ext{-}peening}$  El granallado es un proceso diseñado específicamente para mejorar la resistencia a la fatiga de componentes sujetos a tensiones elevadas alternas.
  - Laminado
- Orientación Preferente de Grano (Forja)
  - Estirado, laminación, forja > Se transversal 10% menor que Se longitudinal
- Endurecimientos Superficiales
  - Nitruración
  - Templado superficial
  - o Problemas. Alteración de microestructura y composición química. Posible fallo bajo la superficie
- Recubrimientos:
  - Niquelado y cromado.  $\sigma$  residuales de tracción  $\Rightarrow \downarrow$ vida hasta 50%
  - Zincado: no afecta.



#### Curva final







#### Curva final

- La ecuación de la curva límite de fallo se puede escribir como Sn=a·N<sup>b</sup>
- $\log (Sn) = \log (a) + b \times \log (N)$
- Donde:
  - o Sn es la resistencia a la fatiga a N ciclos
  - o N es el número de ciclos
  - o a es el punto de intersección con el eje de resistencia
  - o **b** es la pendiente de la curva de fallo.
- Para hallar **b** basta aplicar la fórmula de la pendiente

$$\mathsf{PARA} \; \mathsf{METALES} \; \mathsf{FERROSOS} \; : \quad b = \frac{\log \left( \mathsf{S}_{\mathsf{e}} \right) - \log \left( \mathsf{S}_{\mathsf{m}} \right)}{\log \left( \mathsf{10}^{\mathsf{6}} \right) - \log \left( \mathsf{10}^{\mathsf{3}} \right)} = \frac{1}{3} \cdot \log \left( \frac{\mathsf{S}_{\mathsf{e}}}{\mathsf{S}_{\mathsf{m}}} \right)$$

PARA METALES No FERROSOS : 
$$b = \frac{\log(S_f) - \log(S_m)}{\log(N_f) - \log(10^3)}$$

• Despejando para **a**...

$$a = 10^{\log(S_m) - 3b}$$

Propiedades	Ejemplos
$\log_a m + \log_a n = \log_a (m \cdot n)$	$\log_3 5 + \log_3 10 = \log_3 50$
$\log_a m - \log_a n = \log_a (m / n)$	$\log_3 7 - \log_3 2 = \log_3 7/2$
$\log_a m^n = n \log_a m$	$\log_3 5^4 = 4 \log_3 5$
log <sub>a</sub> m=log <sub>a</sub> n si y sólo si m=n	Si log <sub>2</sub> 7=log <sub>2</sub> x, entonces x=7
Si $m > n \log_a m > \log_a n$	Como 8 > 3, log <sub>5</sub> 8 > log <sub>5</sub> 3.

Dr. J. L. O. y MABH

#### 6. ECUACIÓN DE MARIN

Curva final

La ecuación de la curva límite de fallo Sn=a·N<sup>b</sup>

$$\log (Sn) = \log (a) + b \times \log (N)$$

Donde:

Sn es la resistencia a la fatiga a N ciclos

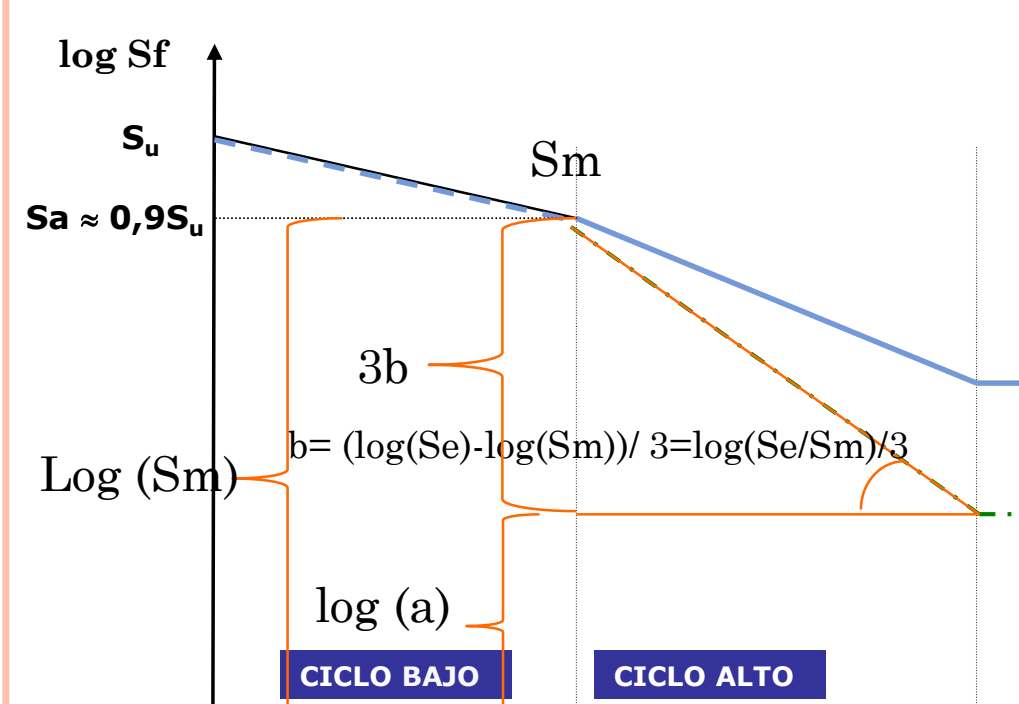
N es el número de ciclos

a es el punto de intersección con el eje Se', de resistencia

**b** es la pendiente de la curva de fallo.

 $S_e = \prod_i K_i$ 

log N



1.000.000 CICLOS CICLOS

**VIDA INFINITA** 

1000 CICLOS

3

0

PARA METALES FERROSOS:  $b = \frac{\log(S_e) - \log(S_m)}{\log(10^6) - \log(10^3)} = \frac{1}{3} \cdot \log\left(\frac{S_e}{S_m}\right)$ 

Para Metales No Ferrosos :  $b = \frac{\log(S_f) - \log(S_m)}{\log(N_f) - \log(10^3)}$ 

 $a = 10^{\log(S_m) - 3 \cdot b}$ 

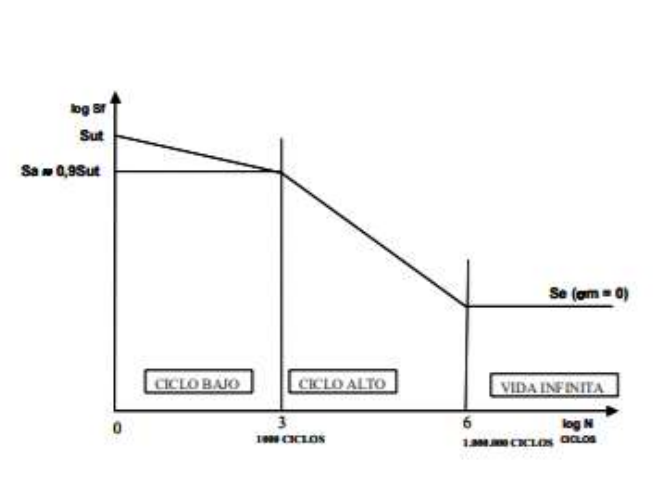
#### 6. ECUACIÓN DE MARIN

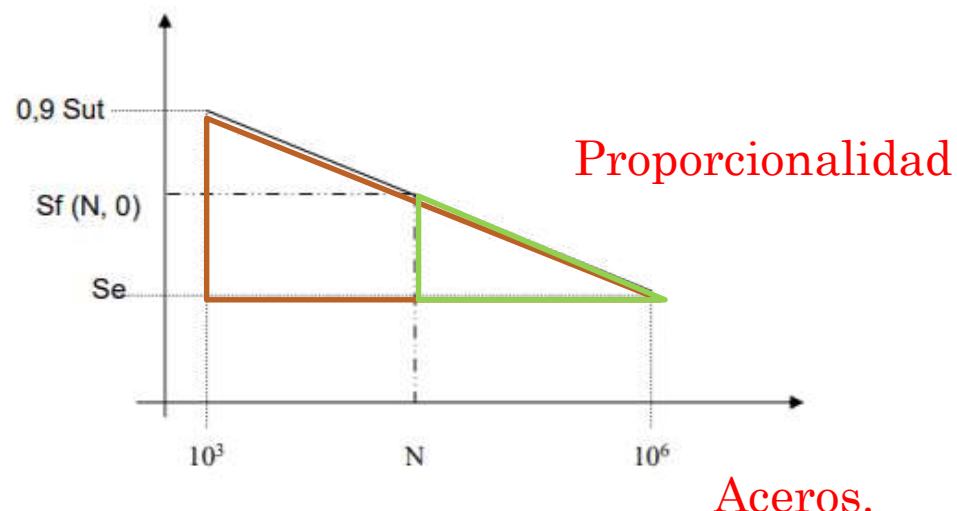
Diagrama representativo de N en función de  $\sigma_a$ , dada una  $\sigma_m$ 

$$\log S_f(N,\sigma_m) = \log S_f(N,\sigma_m = 0) - \log \frac{S_{ut}}{S_{ut} - \sigma_m}$$

Ciclo Alto

Ecuación de la recta para tensión media nula





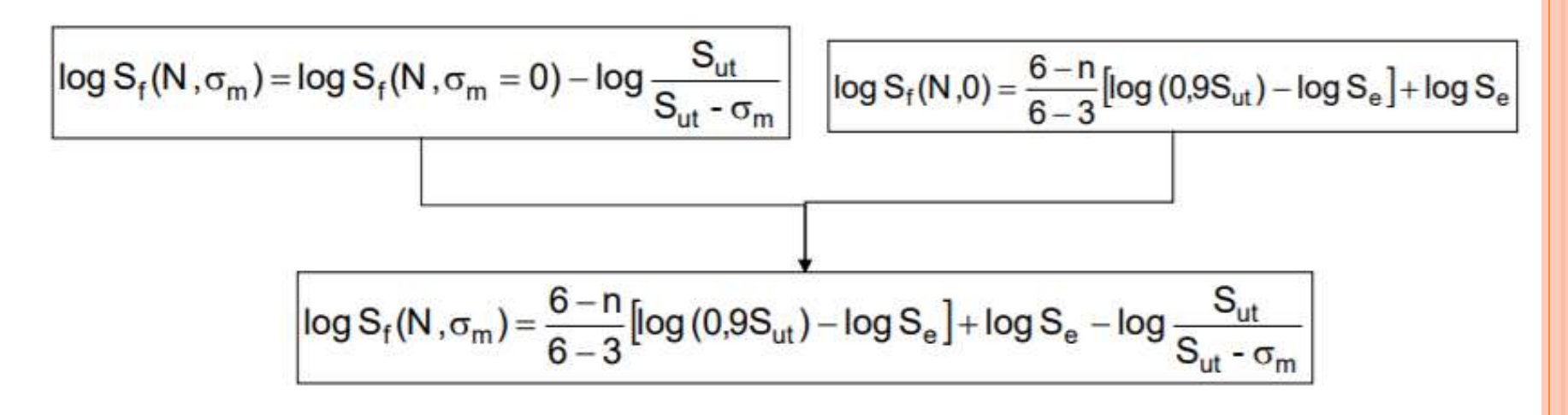
$$\frac{log(0,9 \cdot S_{ut}) - logS_e}{6 - 3} = \frac{logS_f(N,0) - logS_e}{6 - n} \implies$$

$$\frac{\log(0.9 \cdot S_{ut}) - \log S_e}{6 - 3} = \frac{\log S_f(N.0) - \log S_e}{6 - n} \implies \log S_f(N.0) = \frac{6 - n}{6 - 3} [\log(0.9S_{ut}) - \log S_e] + \log S_e$$





Diagrama representativo de N en función de  $\sigma_a$ , dada una  $\sigma_m$ 



N = 1000 ciclos 
$$\log S_f(10^3, \sigma_m) = \log 0.9 (S_{ut} - \sigma_m)$$

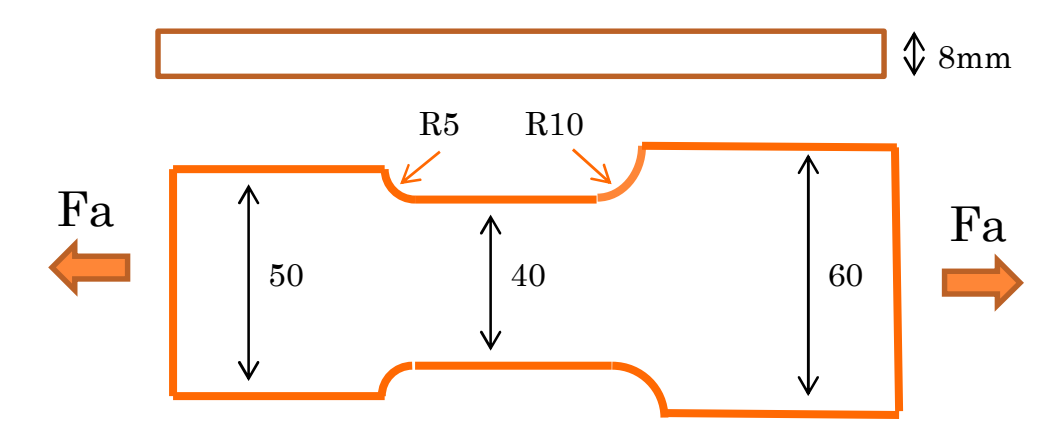
N = 1000000 ciclos 
$$| \log S_f(10^6, \sigma_m) = \log \frac{S_{ut} - \sigma_m}{S_{ut}} \cdot S_e$$



• Ejercicio: La pieza mostrada en la figura (unidades en mm) se mecaniza a partir de una placa de acero laminado en frío con Sut=545 Mpa y Sy=365MPa. La carga axial que se muestra es totalmente alternante: Fa=6500N. La temperatura del proceso es de 60°C y se requiere una fiabilidad de 99% en el cálculo.

#### • Se pide:

- A) Sección donde probablemente fallará la pieza
- B) Determinar el factor de seguridad de dicha sección para N=450.000Ciclos y para vida infinita





## RESISTENCIA A LA FATIGA 5. DIAGRAMA S-N

- Valor de Sm (en 10<sup>3</sup> ciclos) ¿Cómo se obtiene?
  - Bibliografía
  - Ensayos anteriores
  - Aproximaciones

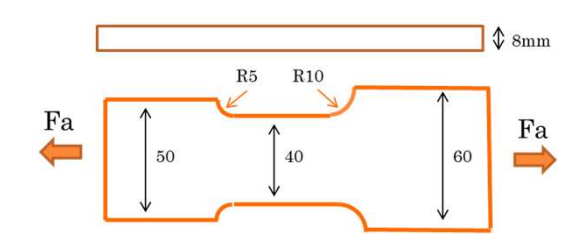
A flexión

 $S_m = 0.9 S_{ut}$ 

<u>Axial</u>

**Sm= 0.75 Sut** 

La pieza mostrada en la figura (unidades en mm) se mecaniza a partir de una placa de acero laminado en frío con Sut=545 Mpa y Sy=365MPa.



En función esfuerzo



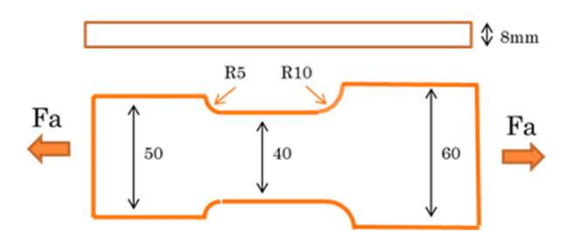
## RESISTENCIA A LA FATIGA 5. DIAGRAMA S-N

- Valor de Sm (en 10<sup>3</sup> ciclos) ¿Cómo se obtiene?
  - Bibliografía
  - Ensayos anteriores
  - Aproximaciones

A flexión

$$S_m = 0.9 S_{ut}$$

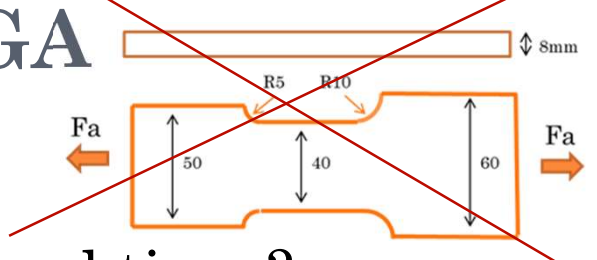
<u>Axial</u>



En función esfuerzo



#### 5. DIAGRAMA S-N



- Valor de S'e (en 10<sup>6</sup> ciclos). ¿Cómo se obtiene?
  - Bibliografía
  - Ensayos anteriores
  - Aproximaciones

**Aceros** 

S <sub>e</sub> ′	=	0.5	S <sub>ut</sub>
S <sub>e</sub> ′			<b>MPa</b>

<u>Hierros</u>

$$S_{e}' = 0.4 S_{ut}$$
  
 $S_{e}' = 160 MPa$ 

<u>Aluminios</u>

$$S_{e}' = 0.4 S_{ut}$$
  
 $S_{e}' = 130 MPa$ 

Aleaciones cobre

$$S_{e}' = 0.4 S_{ut}$$
  
 $S_{e}' = 100 MPa$ 

La pieza mostrada en la figura (unidades en mm) se mecaniza a partir de una placa de acero laminado en frío con Sut=545 Mpa y Sy=365MPa.

$$egin{aligned} \mathbf{S}_{ut} & \leq \mathbf{1400} \ \mathbf{MPa} \\ \mathbf{S}_{ut} & \geq \mathbf{1400} \ \mathbf{MPa} \end{aligned}$$

$$S_{ut} \le 400 \text{ MPa}$$
  
 $S_{ut} \ge 400 \text{ MPa}$ 

$$S_{ut} \le 330 \text{ MPa}$$
  
 $S_{ut} \ge 330 \text{ MPa}$ 

$$S_{ut} \le 280 \text{ MPa}$$
  
 $S_{ut} \ge 280 \text{ MPa}$ 



En función material

## RESISTENCIA A LA FATIGA 5. DIAGRAMA S-N

- Valor de S'e (en 10<sup>6</sup> ciclos). ¿Cómo se obtiene?
  - Bibliografía
  - Ensayos anteriores
  - Aproximaciones

La pieza mostrada en la figura (unidades en mm) se mecaniza a partir de una placa de acero laminado en frío con Sut=545 Mpa y Sy=365MPa.

**Aceros** 

	$S_{e}' = 0.5 S_{ut}$	$S_{ut} \leq 1400 \text{ MPa}$
	$S_{e}' = 0.5 S_{ut}$ $S_{e}' = 700 MPa$	<b>S</b> <sub>ut</sub> ≥ <b>1400</b> MPa
<u>Hierros</u>	•	
	S <sub>e</sub> ' = 0.4 S <sub>ut</sub> S <sub>e</sub> ' = 160 MPa	$S_{ut} \leq 400 MPa$
	$S_e' = 160 MPa$	$S_{ut} \ge 400 MPa$
<u>Aluminios</u>		
	S <sub>e</sub> ' = 0.4 S <sub>ut</sub> S <sub>e</sub> ' = 130 MPa	$S_{ut} \leq 330 MPa$
	$S_e' = 130 MPa$	$S_{ut} \geq 330 \text{ MPa}$
<u>Aleaciones cobre</u>	0′ 040	C
	S <sub>e</sub> ' = 0.4 S <sub>ut</sub> S <sub>e</sub> ' = 100 MPa	$S_{ut} \leq 280 \text{ MPa}$
	$S_e' = 100 MPa$	S <sub>ut</sub> ≥ 280 MPa

En función material

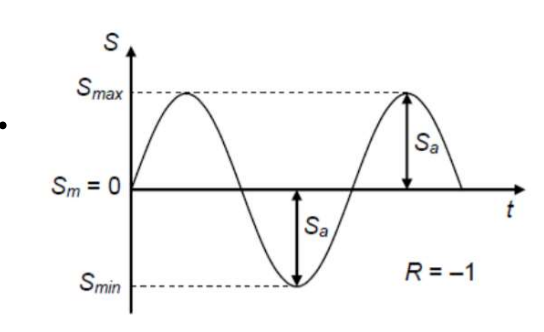


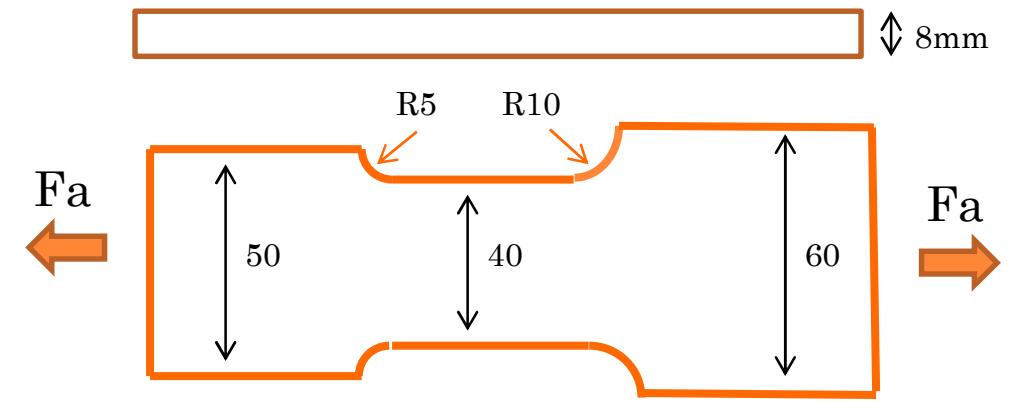
#### 6. ECUACIÓN DE MARIN

- o **Ejercicio**: Placa de acero laminado en frío
- o Sut=545 Mpa
- Sy=365MPa.

Sm	Axial	Sm= 0.75	Sut	408,75	Mpa
Aceros	Se'= 0.5 Sut	Sut < 1400 MI	Pa S'e=	272,5	Мра
	Se'= 700 MPa	Sut > 1400 MP	a		

- La carga axial alternante: Fa=6500N.
- Fmax= 6500N Fmin=6500N







6. ECUACIÓN DE MARIN  $S_e = \prod(K_i) S_{e'}$ 

Si\Ka>1 -> Ka=1

Sut en MPa

#### • Ka: Factor de acabado superficial

$$K_a = a \cdot S_{ut}^b$$

- Ensayo de probeta rotatoria
  - o Probeta pulida (a espejo) con pulimento fino en dirección axial
- Pieza real

Hierro Fundido

Ka=1

- Peor acabado superficial  $\Rightarrow \downarrow$  Se
- o Mayor rugosidad en la superficie que produce un fenómeno de La pieza mostrada en la concentración de tensiones
- Función de:
  - Calidad del acabado superficial
  - Resistencia última del material ( $\uparrow Su \Rightarrow \sqrt{Se}$ )

figura (unidades en mm) se mecaniza a partir de una placa de acero laminado en frío

• Para ciclos bajos (<1000) se puede tomar siempre Ka=1

Acabado superficial	Coeficiente a ( MPa)	Exponente b	
Pulido	1	0	
Acabado fino (esmerilado, rectificado, )	1.58	-0.085	
Mecanizado sin acabar/estirado en frío	4.51	-0.265	90
Laminado en caliente	57.7	-0.718	90
Forjado	272	-0.995	EBRIIA

6. ECUACIÓN DE MARIN  $S_e = \prod_i (K_i) S_{e'}$ 

Sut en MPa

Si\Ka>1 -> Ka=1

#### Ka: Factor de acabado superficial

o Probeta pulida (a espejo) con pulimento fino en dirección axial

Pieza real

Hierro Fundido

• Peor acabado superficial  $\Rightarrow \downarrow$  Se

Ka=1

 $K_a = a \cdot S_{ut}^b$ 

o Mayor rugosidad en la superficie que produce un fenómeno de concentración de tensiones

#### <u>Función de</u>:

- Calidad del acabado superficial
- Resistencia última del material ( $\uparrow Su \Rightarrow \downarrow Se$ )
- o Para ciclos bajos (<1000) se puede tomar siempre Ka=1

Acabado superficial	Coeficiente a ( MPa)	Exponente b	
Pulido	1	0	
Acabado fino (esmerilado, rectificado, )	1.58	-0.085	
Mecanizado sin acabar/estirado en frío	4.51	-0.265	91
Laminado en caliente	57.7	-0.718	31
Forjado	272	-0.995	EBRIIA

#### 6. ECUACIÓN DE MARIN



- Ensayo de probeta rotatoria
  - Probeta con sección circular, diámetro normalizado (7.5 a 12.5 mm)

<u>Fa</u>

50

- Pieza real
  - Sección circular / diámetro diferente
  - En  $10^3$ : Kb = 1 (no influye el tamaño)
  - En 10<sup>6</sup>: el diámetro de probeta influye en flexión y torsión, no con carga axial
- Flexión / Torsión [Shigley. Pag. 280]

- Carga Axial
  - **Kb=1** (Sólo para sección circular. Pero ver Kc)



♦ 8mn

60

R10

40

#### o Kb: Factor de tamaño

- Ensayo de probeta rotatoria
  - Probeta con sección circular, diámetro normalizado (7.5 a 12.5 mm)
- Pieza real
  - Sección circular / diámetro diferente
  - En  $10^3$ : Kb = 1 (no influye el tamaño)
  - En 10<sup>6</sup>: el diámetro de probeta influye en flexión y torsión, no con carga axial
- Flexión / Torsión [Shigley. Pag. 280]

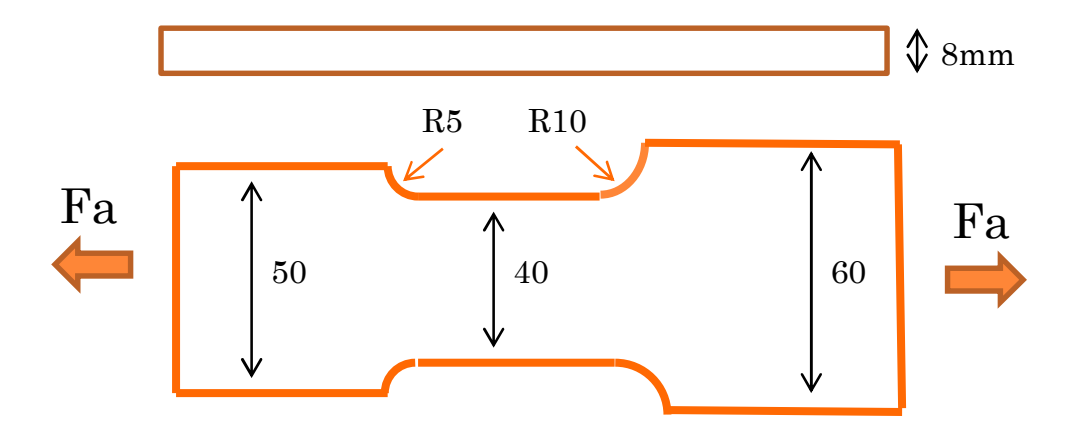
- Carga Axial
  - **Kb=1** (Sólo para sección circular. Pero ver Kc)



Kc: Factor de modificación de carga

Probeta a flexión rotativa.

- Carga a flexión: Kc = 1
- Carga axial: Kc = 0.85 (Otros autores Kc=0.7)
- Carga torsión (sólo para fatiga torsional): Kc = 0.59
- Carga torsión combinada con flexión: **Kc** =1





Kc: Factor de modificación de carga

Probeta a flexión rotativa.

- Carga a flexión: Kc = 1
- Carga axial: Kc = 0.85 (Otros autores Kc=0.7)
- Carga torsión (sólo para fatiga torsional): **Kc = 0.59**
- Carga torsión combinada con flexión: **Kc** =1



#### o Kd: Factor de temperatura

60° C

- Aplicable también para ciclos bajos (<1000)
- Fórmulas únicamente para Aceros

Norton Pag. 381

 $\circ$  T  $\leq 450^{\circ}$ C

 $K_d=1$ 

•  $450^{\circ}\text{C} \le \text{T} \le 550^{\circ}\text{C}$ 

 $K_d = 1-0,0058 \cdot (T-450)$ 

- No debe utilizarse para otros materiales
- Para temperaturas mayores la termofluencia adquiere un valor significativo y la curva S-N ya no tendrá un codo.
- Nota. Criterio diferente en Shigley Pag. 283.



#### o Kd: Factor de temperatura

60° C

- Aplicable también para ciclos bajos (<1000)
- Fórmulas únicamente para Aceros

Norton Pag. 381

$$\circ$$
 T  $\leq 450^{\circ}$ C

$$K_d$$
=1

• 
$$450^{\circ}\text{C} \le \text{T} \le 550^{\circ}\text{C}$$

$$K_d$$
=1-0,0058·(T-450)

- No debe utilizarse para otros materiales
- Para temperaturas mayores la termofluencia adquiere un valor significativo y la curva S-N ya no tendrá un codo.
- Nota. Criterio diferente en Shigley Pag. 283.



99%

#### o Ke: Factor de fiabilidad

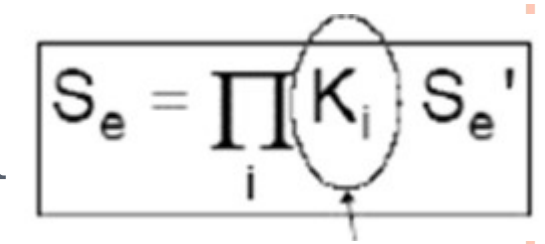
Fiabilidad	Factor de fiabilidad Kc
0.5	1
0.9	0.897
0.95	0.868
0.99	0.814
0.999	0.753
0.9999	0.702
0.99999	0.659
0.999999	0.620
0.9999999	0.584
0.99999999	0.551
0.999999999	0.520



#### o Ke: Factor de fiabilidad

Fiabilidad	Factor de fiabilidad Kc
0.5	1
0.9	0.897
0.95	0.868
0.99	0.814
0.999	0.753
0.9999	0.702
0.99999	0.659
0.999999	0.620
0.9999999	0.584
0.9999999	0.551
0.999999999	0.520





#### 6. ECUACIÓN DE MARIN

• Ejercicio: La carga axial alternante: Fa=6500N.

• Ka: Acabado superficial. Placa de acero mecanizada laminado

en frío

K <sub>a</sub> =	a·S <sub>ut</sub> b

Ka	0,849

Acabado superficial	Coeficiente a ( MPa)	Exponente b
Pulido	1	0
Acabado fino (esmerilado, rectificado,	) 1.58	-0 085
Mecanizado sin acabar/estirado en frí	o 4.51	-0.265
Laminado en caliente	57.7	-0.718
Forjado	272	-0.995

• Ka: Acabado superficial.

• Kb: Factor de tamaño. Carga Axial.

• Kc: Factor de modificación de carga. Carga axial:

• Kd: Factor de temperatura.  $T^a = 60^{\circ}C T \le 450^{\circ}C$ 

• Ke: Factor de fiabilidad. Fiabilidad de 99%

ANTONY	
272	-0.
 - · · · ·	

Ka=0.849

Kb=1.

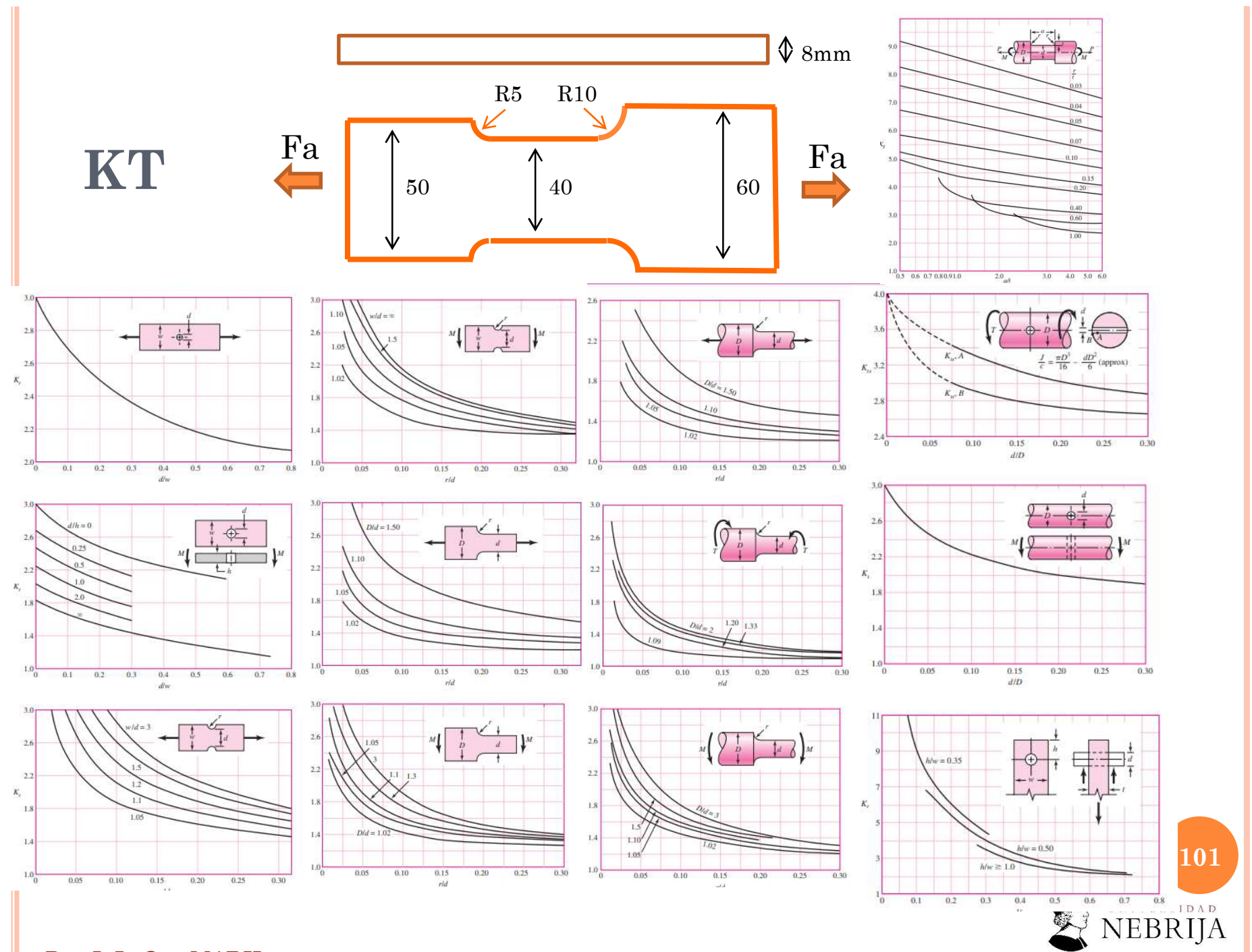
Kc = 0.85.

Kd=1

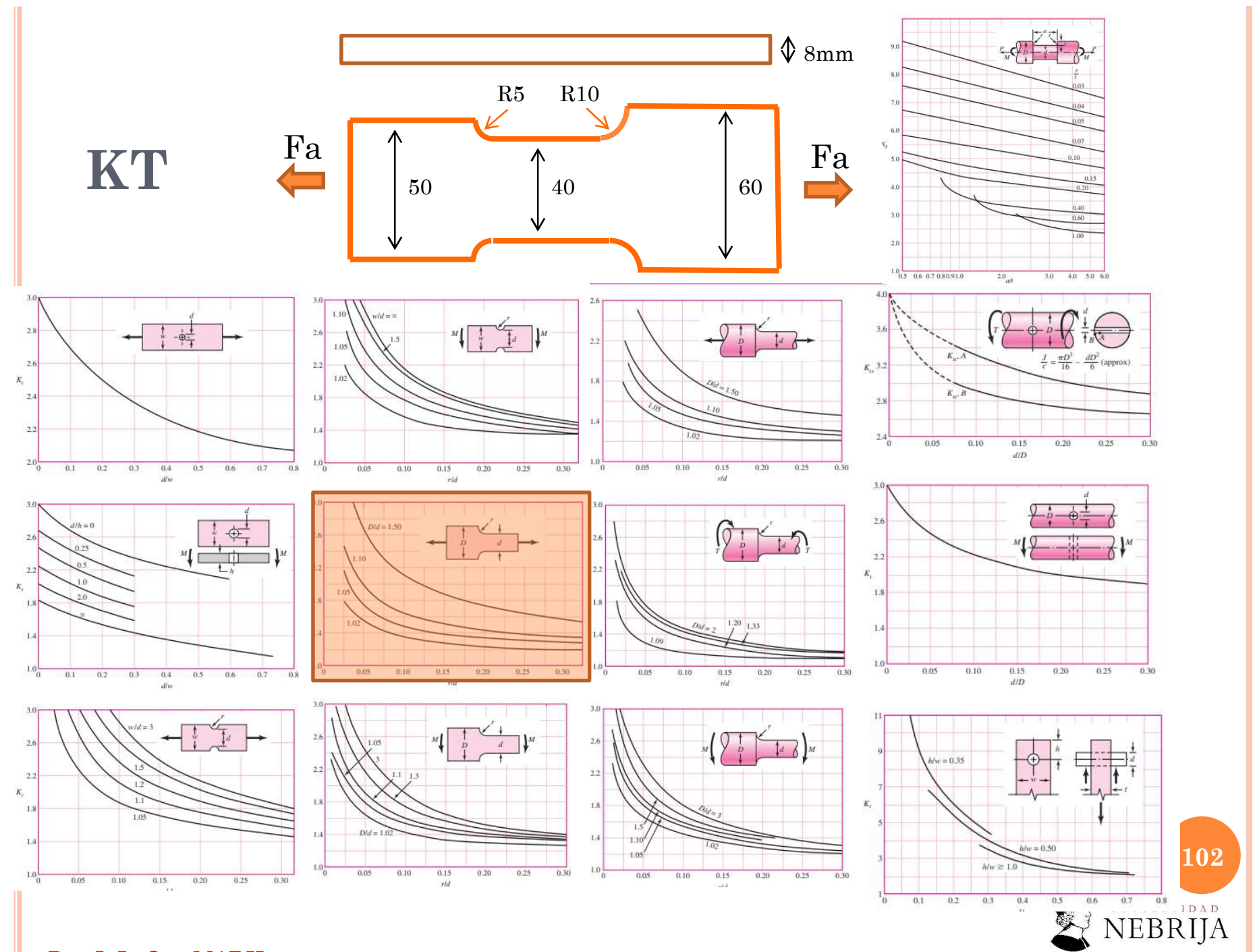
Ke=0,814

Fiabilidad	Factor de fiabilidad Kc
0.5	1.
0.9	0.897
0.95	0.868
0.99	0.814





Dr. J. L. O. y MABH

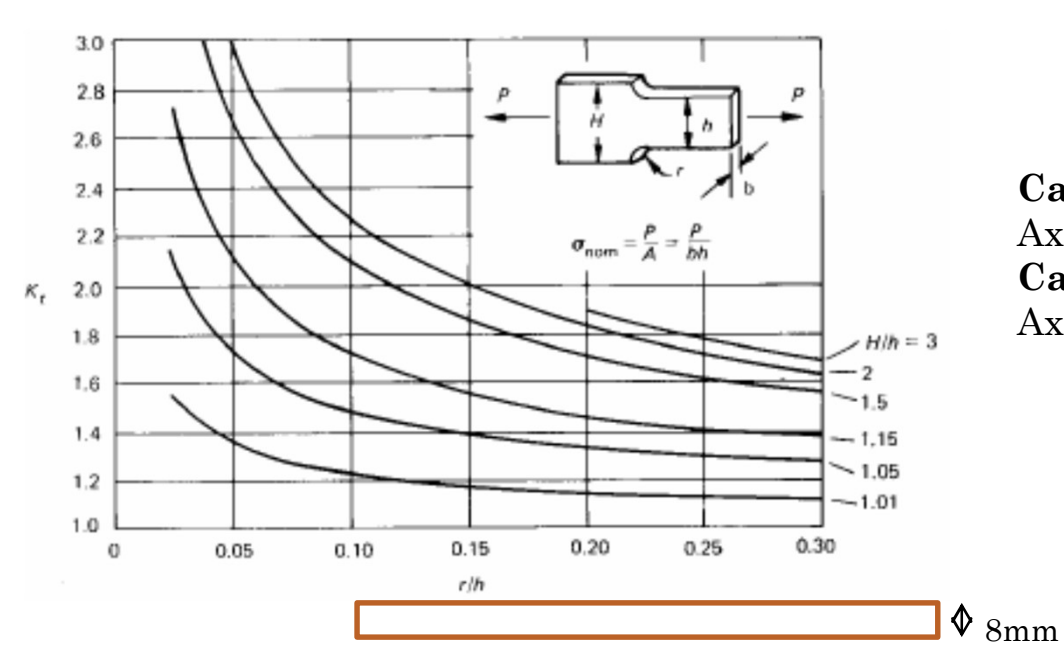


Dr. J. L. O. y MABH

## $S_e = \prod_i K_i S_e'$

#### 6. ECUACIÓN DE MARIN

- o **Ejercicio**: Placa de acero laminado en frío
- A) Sección donde probablemente fallará la pieza
  - 1/Kf: Factor de concentración de tensiones

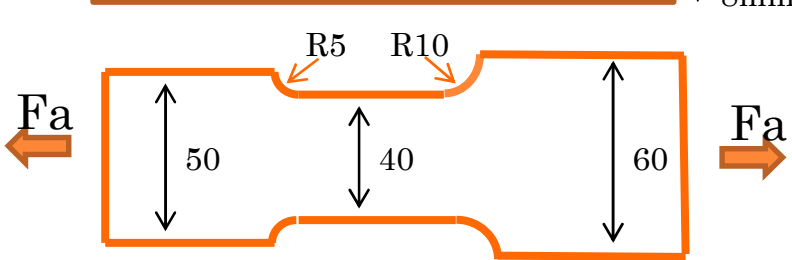


Caso r5 Kt = 1.8

Axial: H=50 mm, h=40 mm, r= 5 mm

Caso r10

Axial: H=60 mm, h=40 mm, r= 10mm





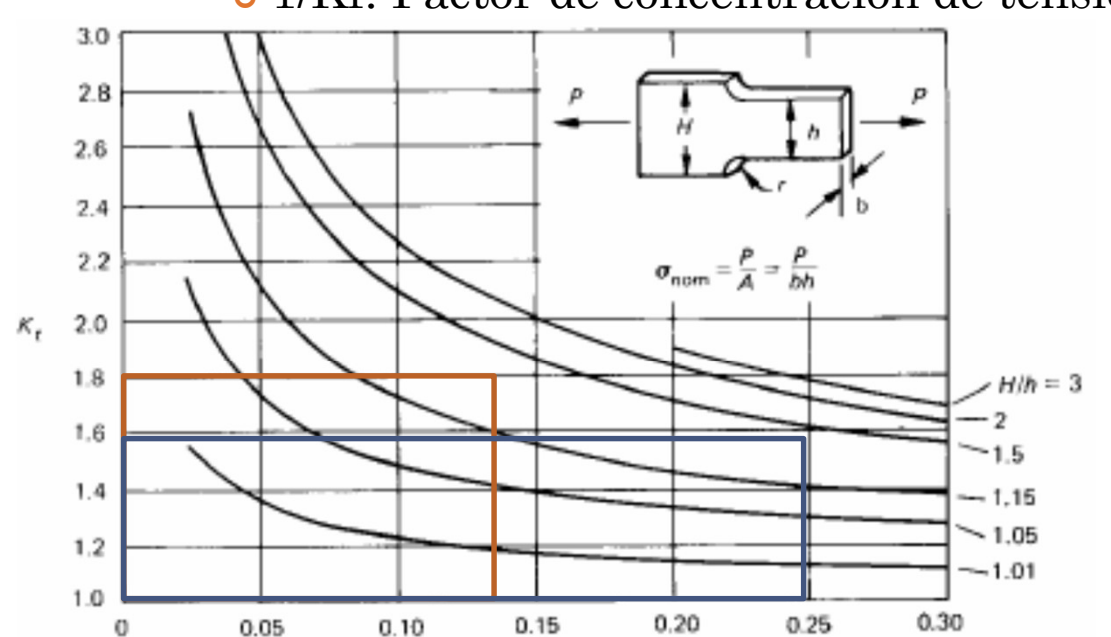
0

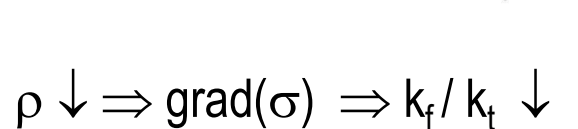
## $S_e = \prod_i K_i S_e'$

#### 6. ECUACIÓN DE MARIN

o **Ejercicio**: Placa de acero laminado en frío

o 1/Kf: Factor de concentración de tensiones





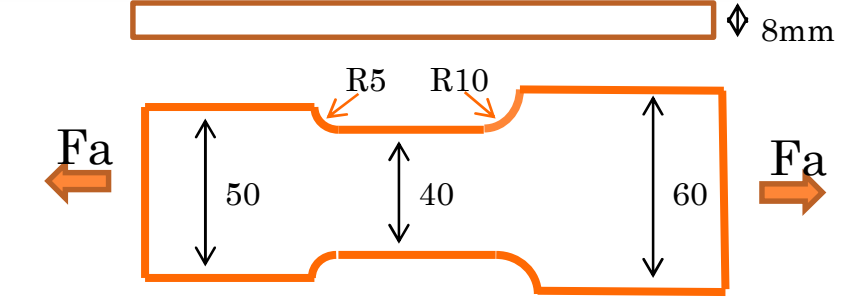
Caso r5 Kt= 1,8

Axial: H=50 mm, h=40 mm, r= 5 mm

Caso r10

Axial: H=60 mm, h=40 mm, r= 10mm

0,25 1,50
0,23
0.25
10
40
60





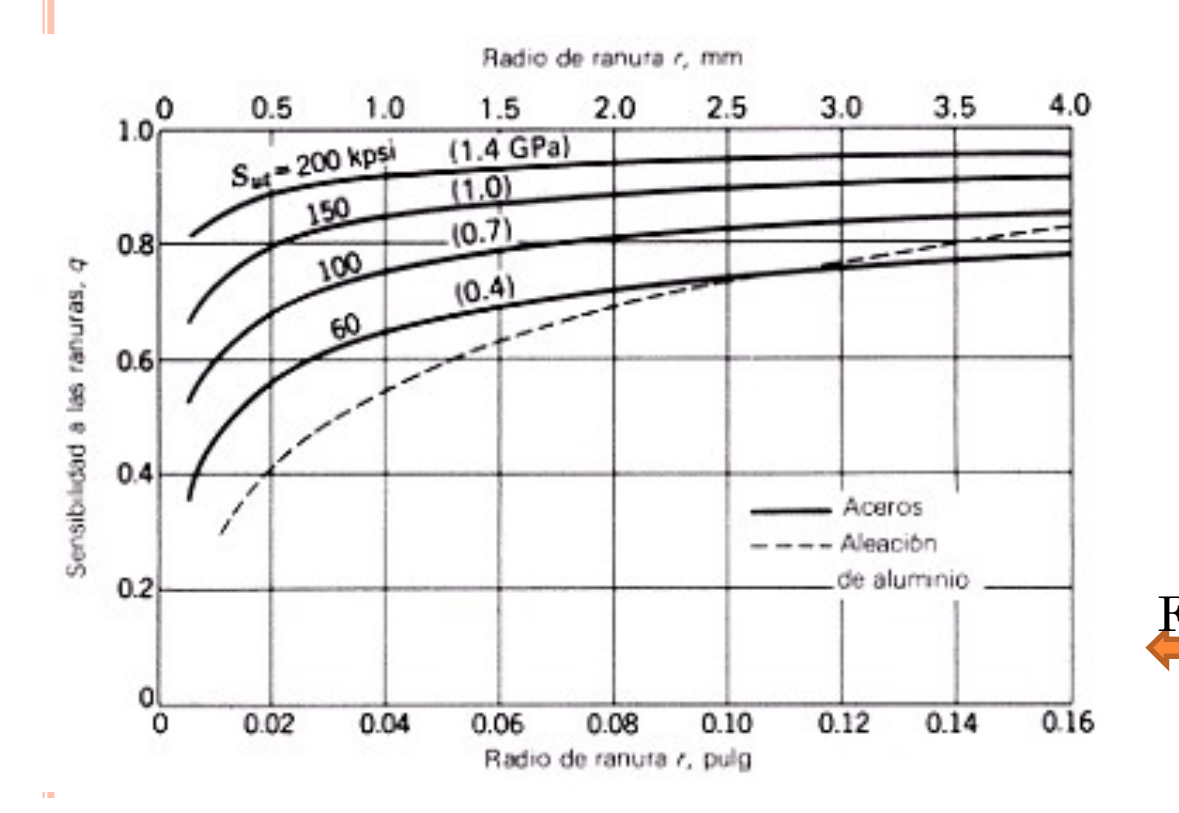
104

Dr. J. L. O. y MABH

## $S_e = \prod_i K_i S_e'$

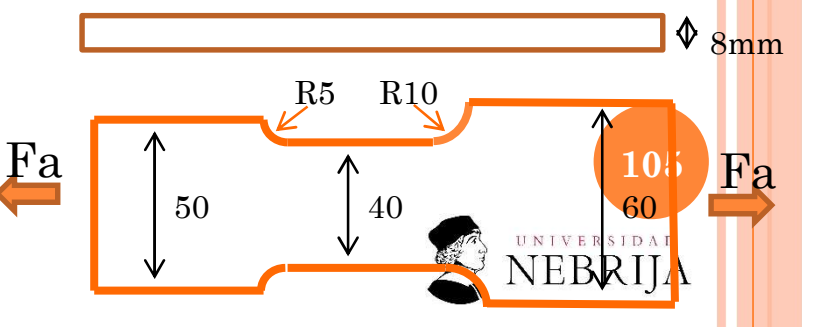
#### 6. ECUACIÓN DE MARIN

- o Ejercicio: Placa de acero laminado en frío
  - 1/Kf: Factor de concentración de tensiones. Sensibilidad a la entalla q.
  - Cargas de flexión y axiales alternantes. Sut=545 Mpa, R= 5mm.
     R>r Tomar valor r=4mm,
     Sut=545 Mpa





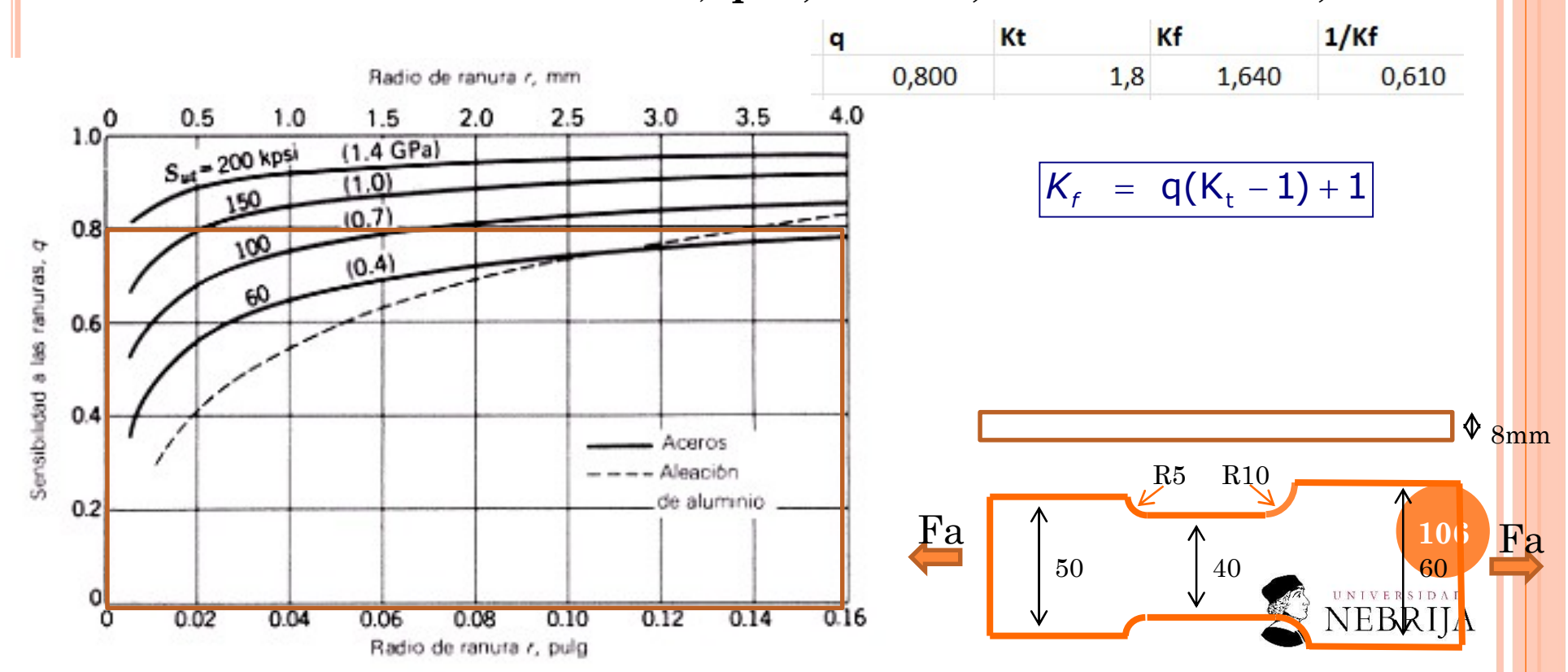
$$|K_f| = q(K_t - 1) + 1$$



## $S_e = \prod_i K_i S_e'$

### 6. ECUACIÓN DE MARIN

- o **Ejercicio**: Placa de acero laminado en frío
  - 1/Kf: Factor de concentración de tensiones. Sensibilidad a la entalla q.
  - Cargas de flexión y axiales alternantes. Sut=545 Mpa, R= 5mm. R>r Tomar valor r=4mm, q= 0,8 Kf=1,64 1/Kf=0,61



### 6. ECUACIÓN DE MARIN

- o Ejercicio: Placa de acero laminado en frío
  - o 1/Kf: Factor de concentración de tensiones. Sensibilidad a la entalla q.
  - o Cargas de flexión y axiales alternantes. Sut=545 Mpa, R= 5mm.

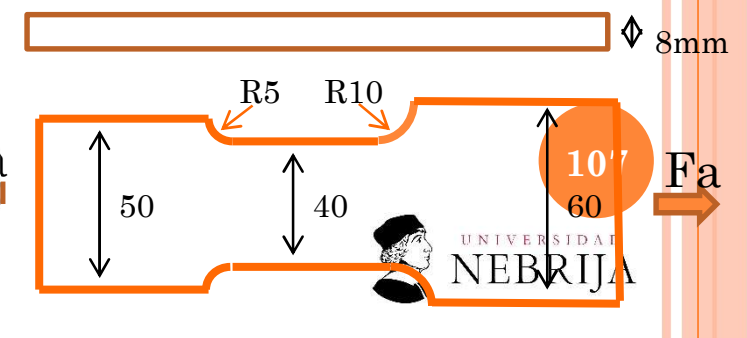
	q	Kt	Kf	1/Kf
Formula	0,847	1,8	1,677	0,596
	q	Kt	Kf	1/Kf
Tablas	0,800	1,8	1,640	0,610

$$K_f = q(K_t - 1) + 1$$

a -	1
q =	$1 + \frac{\sqrt{a}}{\sqrt{r}}$

$S_u$			$\sqrt{a}$	- !	
,	S <sub>II</sub>	Carga axi	al y flexión		rsión
(ksi)	(MPa)	(in <sup>0.5</sup> )	(mm <sup>0.5</sup> )	(in <sup>0.5</sup> )	(mm <sup>0.5</sup> )
50	345	0.130	0.66	0.093	0.47
55	380	0.118	0.59	0.087	0.44
60	415	0.108	0.54	0.080	0.40
70	485	0.093	0.47	0.070	0.35
80	550	0.080	0.40	0.062	0.31
90	620	0.070	0.35	0.055	0.28
100	690	0.062	0.31	0.049	0.25
110	760	0.055	0.28	0.044	0.22
120	825	0.049	0.25	0.039	0.20
130	895	0.044	0.22	0.035	0.18
140	965	0.039	0.20	0.031	0.16
160	1100	0.031	0.16	0.024	0.12
180	1240	0.024	0.12	0.018	0.09
200	1380	0.018	0.09	0.013	0.07
220	1515	0.013	0.07	0.009	0.05
240	1655	0.009	0.05		

Sut	545	Mpa	
Intervalo	Sn		а
s1	485	a1	0,47
s2	550	a2	0,4
s2-s1	65	a2-a1	-0,07
Тg	- 0,001077		
Sut-s1	60		
aut^(1/2)=a1+tg(sut-s1)	0,405		



## $S_e = \prod_i K_i S_e'$

#### 6. ECUACIÓN DE MARIN

• **Ejercicio**: Placa de acero laminado en frío

• Ka: Acabado superficial.

• Kb: Factor de tamaño. Carga Axial.

• Kc: Factor de modificación de carga. Carga axial:

• Kd: Factor de temperatura.  $T^a = 60^{\circ}C T \le 450^{\circ}C$ 

• Ke: Factor de fiabilidad. Fiabilidad de 99%

• 1/Kf: Concentración de tensiones. **Kt=1,8 q= 0,847,Kf=1,677** 

• Kg: Factor de efectos diversos. Nada.

Ka=	Λ	Q11	Ω
ma-	u,	04	IJ

Kb=1.

Kc = 0.85.

Kd=1

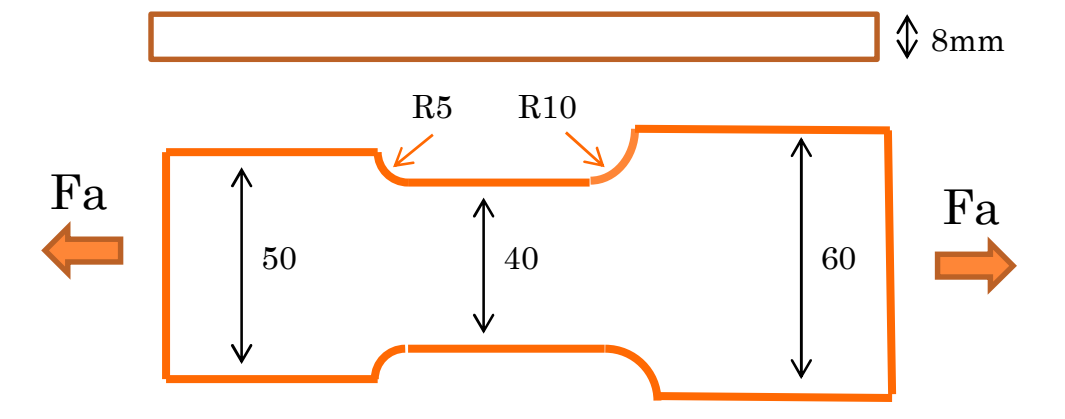
Ke=0.814

1/Kf=0,596

Kg=1

Ka	kb	kc	Kd	Ke	1/Kf	Kg	S'e	Se
0,849		0,85	1	0,814	0,596	1	272,5	

0





# $S_e = \prod_i K_i S_e'$

#### 6. ECUACIÓN DE MARIN

• **Ejercicio**: Placa de acero laminado en frío

• Ka: Acabado superficial.

o Kb: Factor de tamaño. Carga Axial.

• Kc: Factor de modificación de carga. Carga axial:

• Kd: Factor de temperatura.  $T^a = 60^{\circ}C T \le 450^{\circ}C$ 

• Ke: Factor de fiabilidad. Fiabilidad de 99%

• 1/Kf: Concentración de tensiones. **Kt=1,8 q= 0,847,Kf=1,677** 

• Kg: Factor de efectos diversos. Nada.

T.7	$\sim$	0.40
Ka=	( )	$\mathbf{X}\mathbf{\mathcal{I}}\mathbf{\mathcal{Y}}$
<b>11</b> 4	v,	$\mathbf{O}\mathbf{I}\mathbf{O}$

Kb=1.

Kc = 0.85.

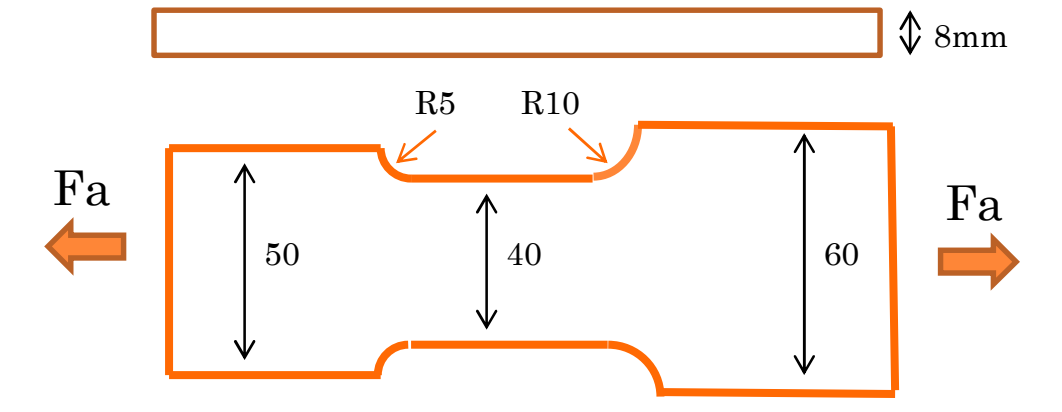
Kd=1

Ke=0.814

1/Kf=0,596

Kg=1

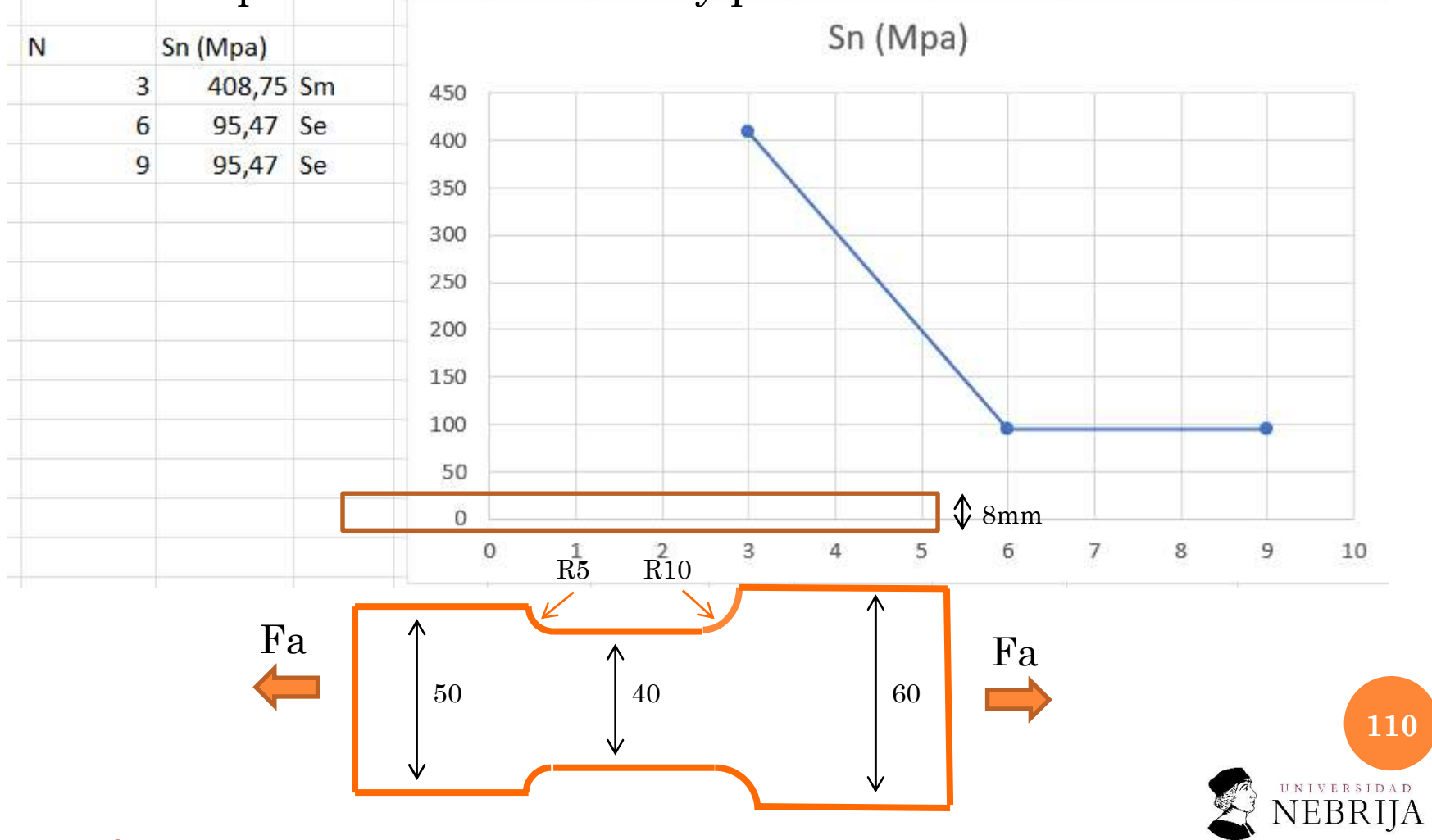
Ka	kb	kc	Kd	Ke	1/Kf	Kg	S'e	Se	
0,849	1	0,85	1	0,814	0,596	1	272,5	95,47	Mpa





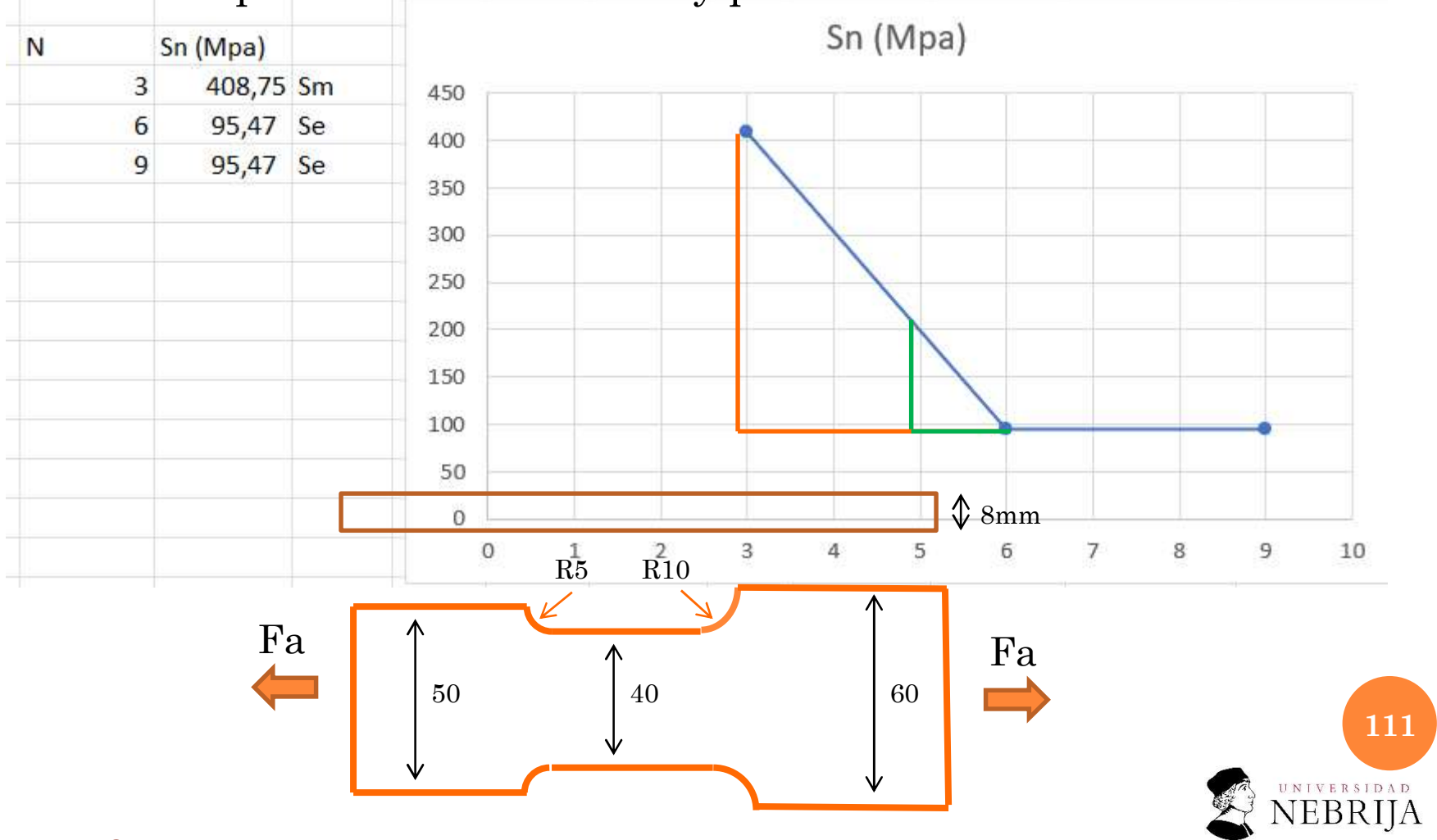
#### 6. ECUACIÓN DE MARIN

• **Ejercicio**: B) Determinar el factor de seguridad de dicha sección para N=450.000Ciclos y para vida infinita



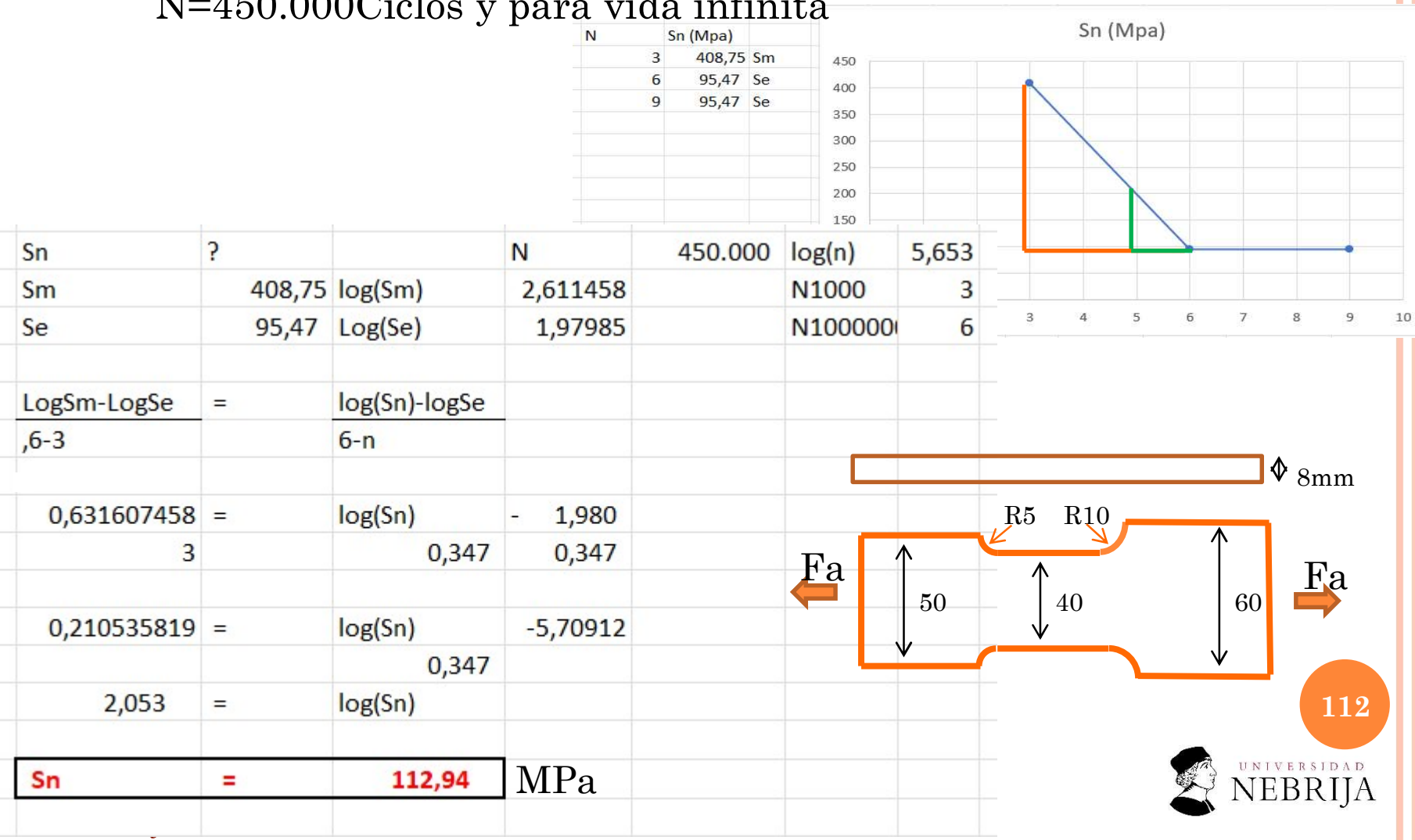
#### 6. ECUACIÓN DE MARIN

• **Ejercicio**: B) Determinar el factor de seguridad de dicha sección para N=450.000Ciclos y para vida infinita



#### 6. ECUACIÓN DE MARIN

B) Determinar el factor de seguridad de dicha sección para N=450.000Ciclos y para vida infinita





#### 6. ECUACIÓN DE MARIN

• B) Determinar el factor de seguridad de dicha sección para N=450.000Ciclos y para vidæ infinita

• La carga axial alternante: Fa=6500N.

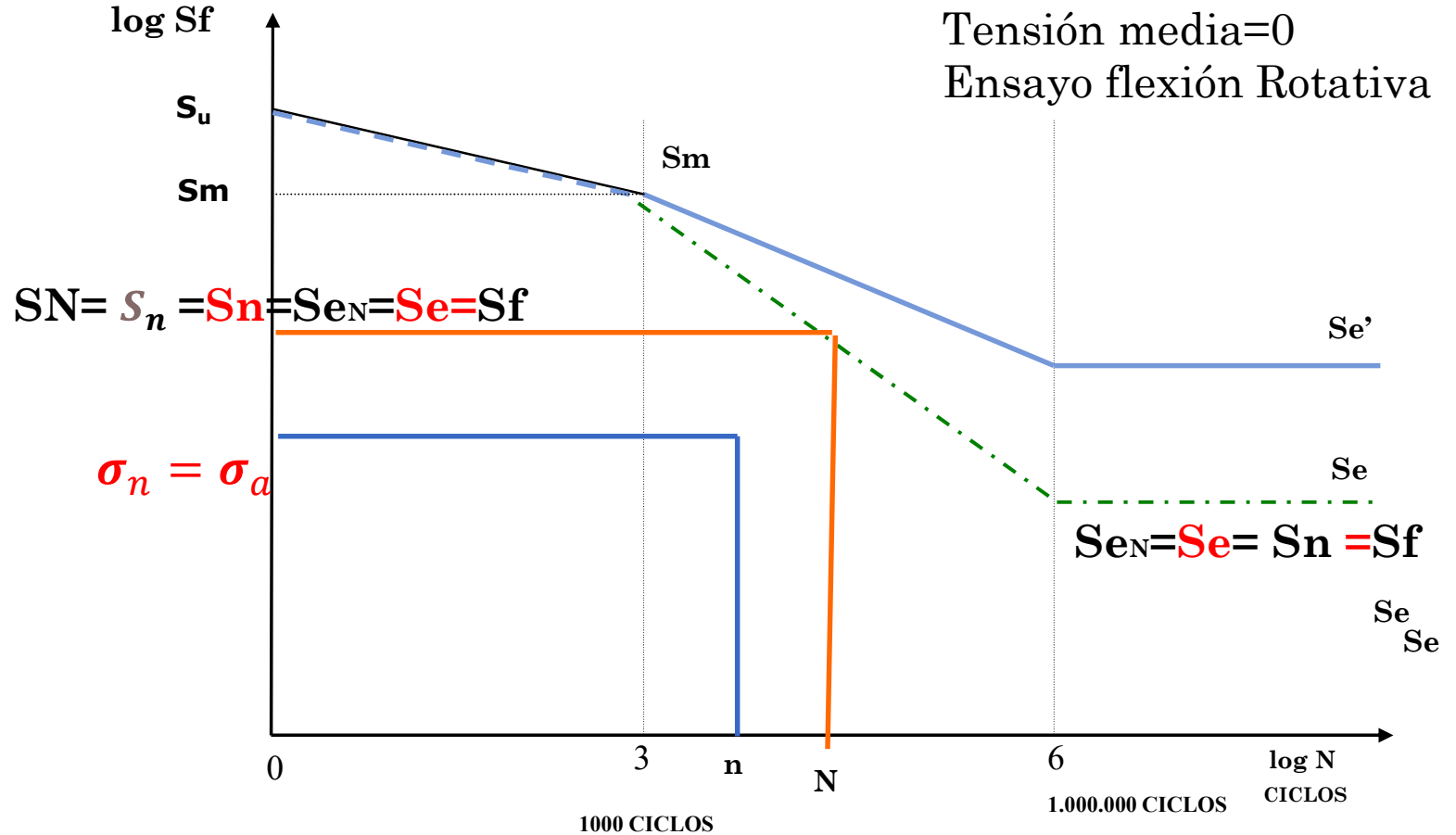
• Fmax= 6500N Fmin=-6500N

					Jordi		S <sub>min</sub>		R = -1
Tensión=F/A				20	,31	1	1		
	h	e	A	i <del>-</del>		05	N	450.000	
A=h*e	40		320	mm <sup>2</sup> 🚜	2,4		Sn		$MPa=N/mm^2$
7.11.0			520	111111			Sd	20,3125	$MPa=N/mm^2$
Fmax	$\sigma_{max}$			Factor de segui	<u>ridad</u>		CS= ns=	5,56	
6500	20,3125	N/mm <sup>2</sup>		$n_s = \frac{\sigma_y}{}$			N	1.000.000	
	$\sigma_{min}$			$\sigma_d$			Se	95,47	$MPa=N/mm^2$
Fmin	min		dandar = ac al a	esfuerzo normal permi	aible u = ea el eaf		Sd	20,3125	MPa=N/mm <sup>2</sup>
-6500	-20,3125	N/mm <sup>2</sup>	normal obtenido e		sible y od es el est	uer20	CS= ns=	4,70	
$\sigma - \frac{\sigma_m}{\sigma}$	$_{ax}+\sigma_{mi}$	n <u>_</u>	0			Dr 1	210	<b>♦</b> 8 s	nm
$\sigma_m$	$\frac{2}{-\sigma}$			Fa	50	R5 1	R10 0	60 H	Ta 113
$\sigma_a = \frac{\sigma_{max}}{\sigma_a}$	x mi	1	20,3125	N/mm <sup>2</sup>	$\downarrow$	<u> </u>			NEBRIJA

#### 6. ECUACIÓN DE MARIN

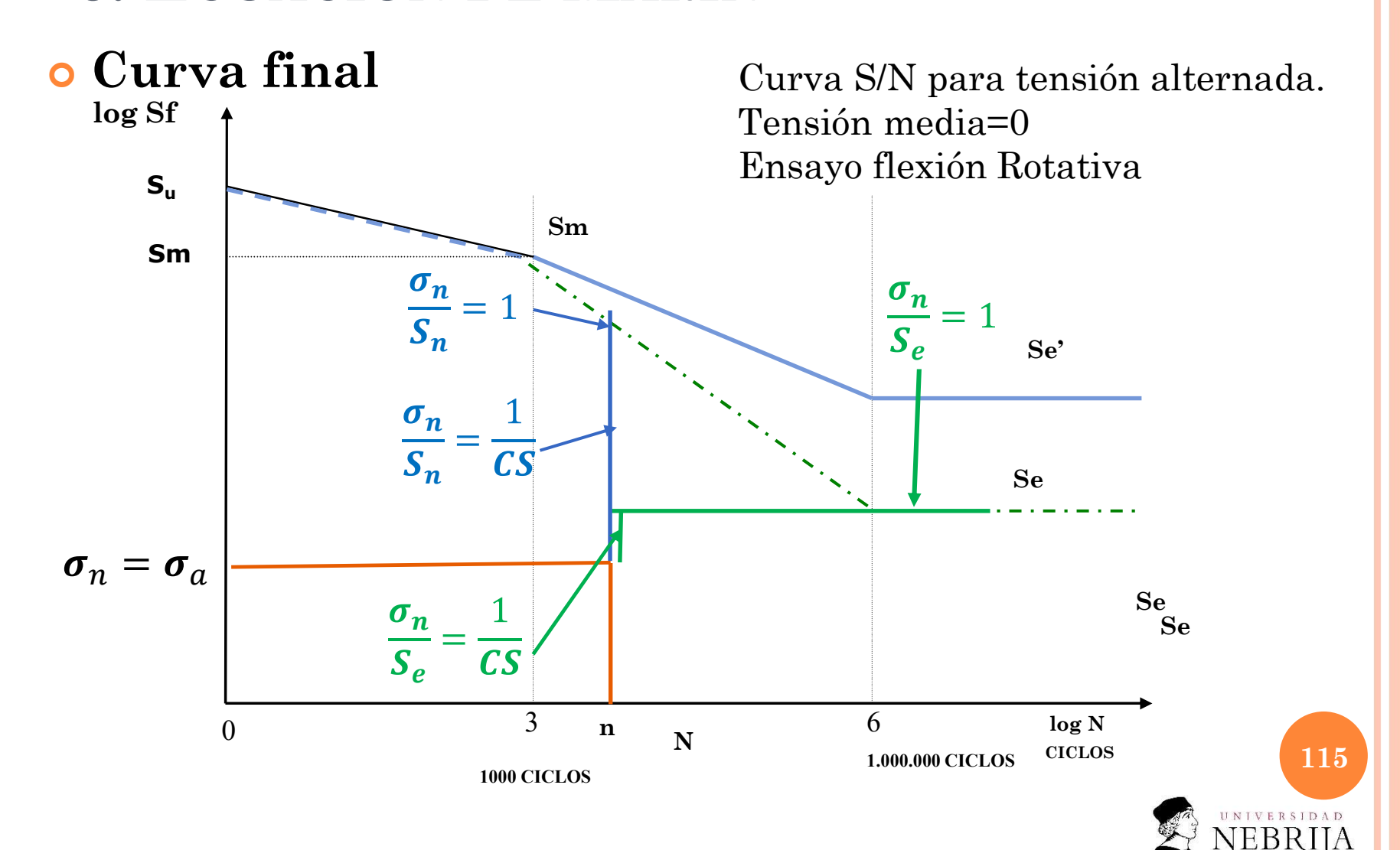
o Curva final. Nomenclatura

Curva S/N para tensión alternada. Tensión media=0



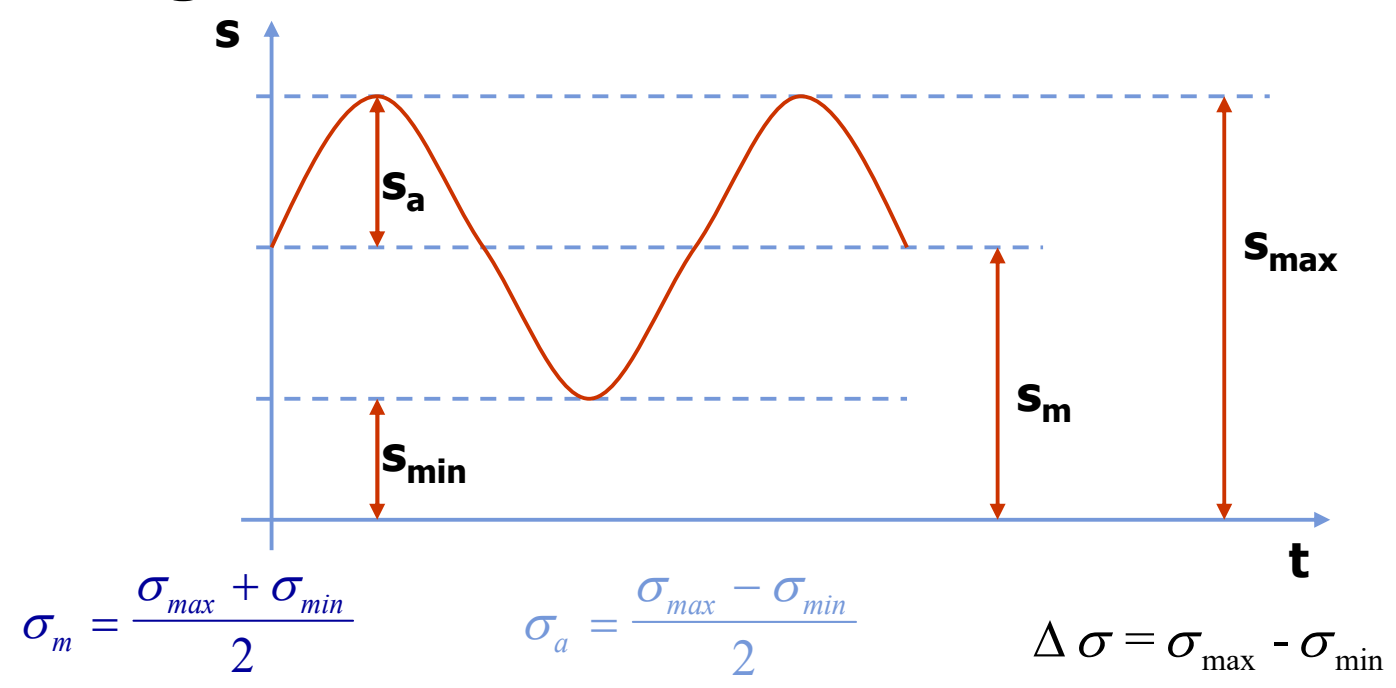


#### RESISTENCIA A LA FATIGA 6. ECUACIÓN DE MARIN



#### 7. ANÁLISIS CON TENSIONES MEDIAS NO NULAS

o Carga cíclica con tensión media no nula



Tensión Media

Tensión Alternante

R relación de tensiones y A relación de amplitudes.

Rango

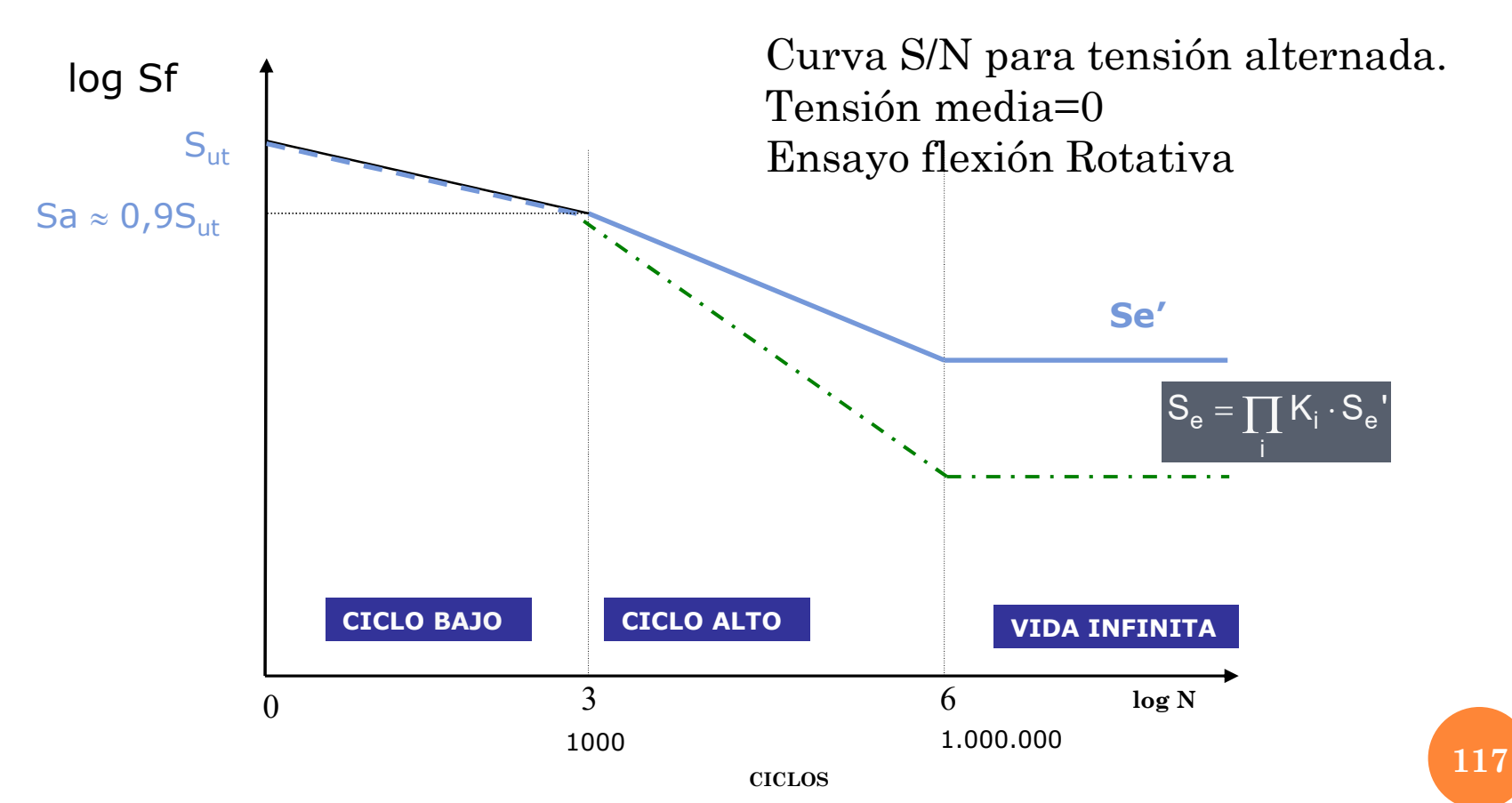
$$R = \frac{\sigma_{\min}}{\sigma_{\max}}$$
  $A = \frac{\sigma_a}{\sigma_{\min}}$ 





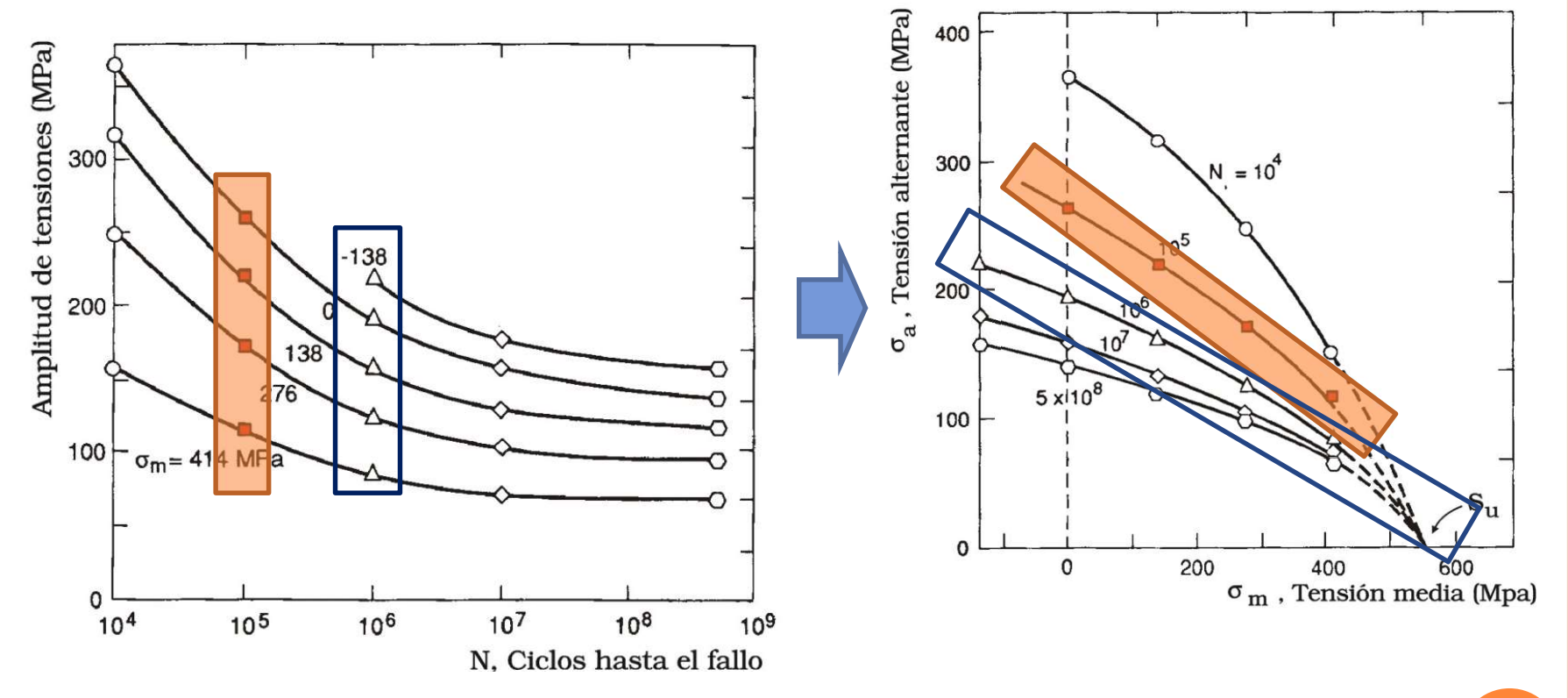
### RESISTENCIA A LA FATIGA 7. ANÁLISIS CON TENSIONES MEDIAS NO NULAS

#### o Gráfico S-N <u>diferente para cada tensión media</u>



#### 7. ANÁLISIS CON TENSIONES MEDIAS NO NULAS

#### Cuando no existen datos se hacen estimaciones



 $\sigma_m \text{ de tracción} \Rightarrow \text{reduce vida} \\ \sigma_m \text{ de compresión} \Rightarrow \text{puede incrementar la vida}$ 



0,9xSu=S

0,5xSu=S'n

NO SE ROMPEN

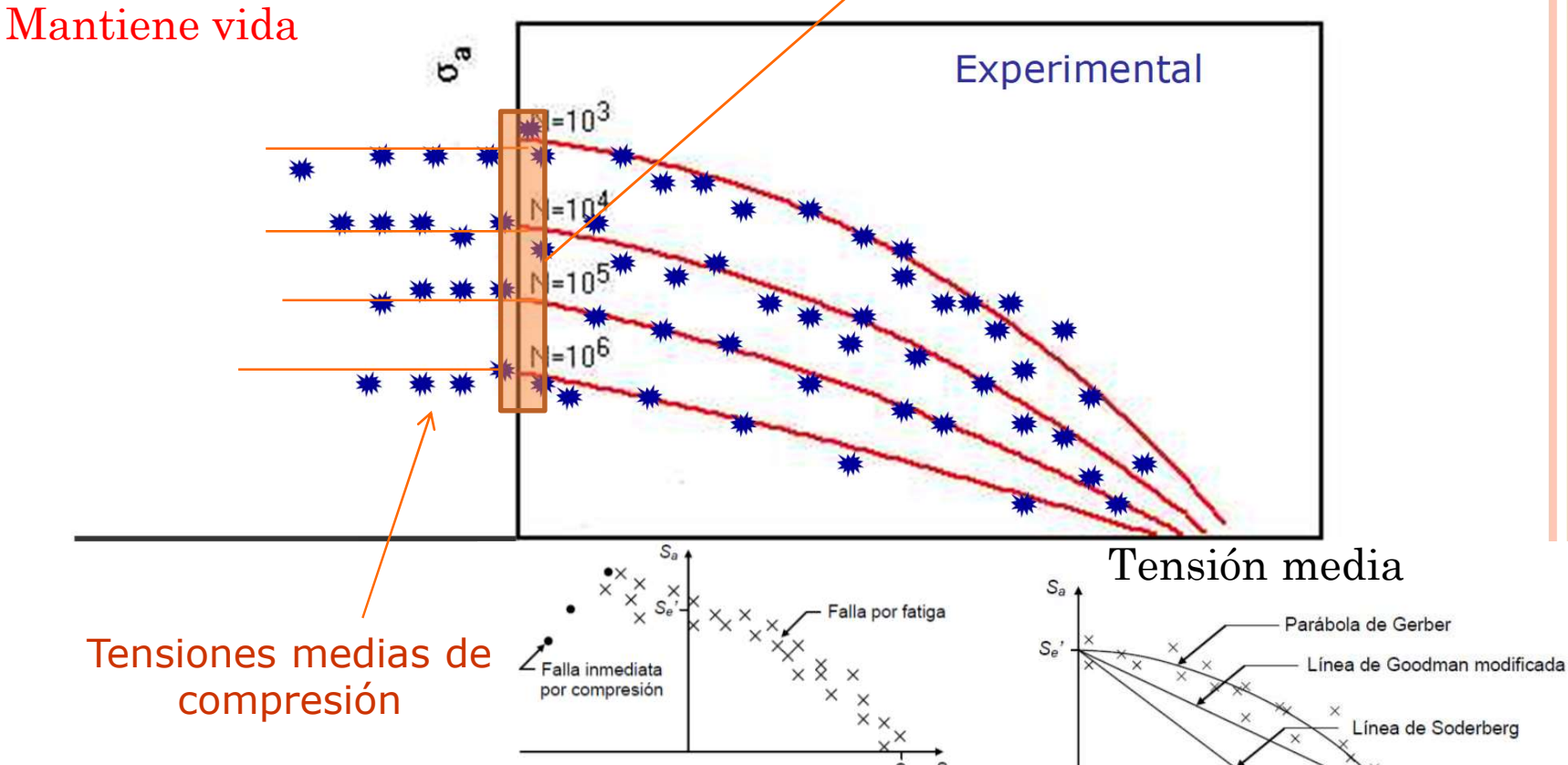
103 104 105 106 N (NÚMERO DE CICLOS)

3 111 16 NON

7. ANÁLISIS CON TENSIONES MEDIAS N

#### o Diagrama de Haigh

Compresión. Tensión alternante Tracción. Menor vida



(a) Diagrama S<sub>m</sub>-S<sub>a</sub> (esfuerzos normales)

Dr. J. L. O. y MABH

7. ANÁLISIS CON TENSIONES MEI

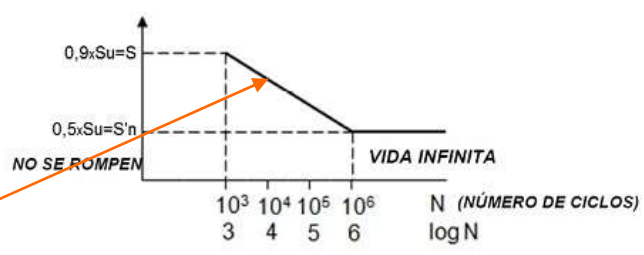
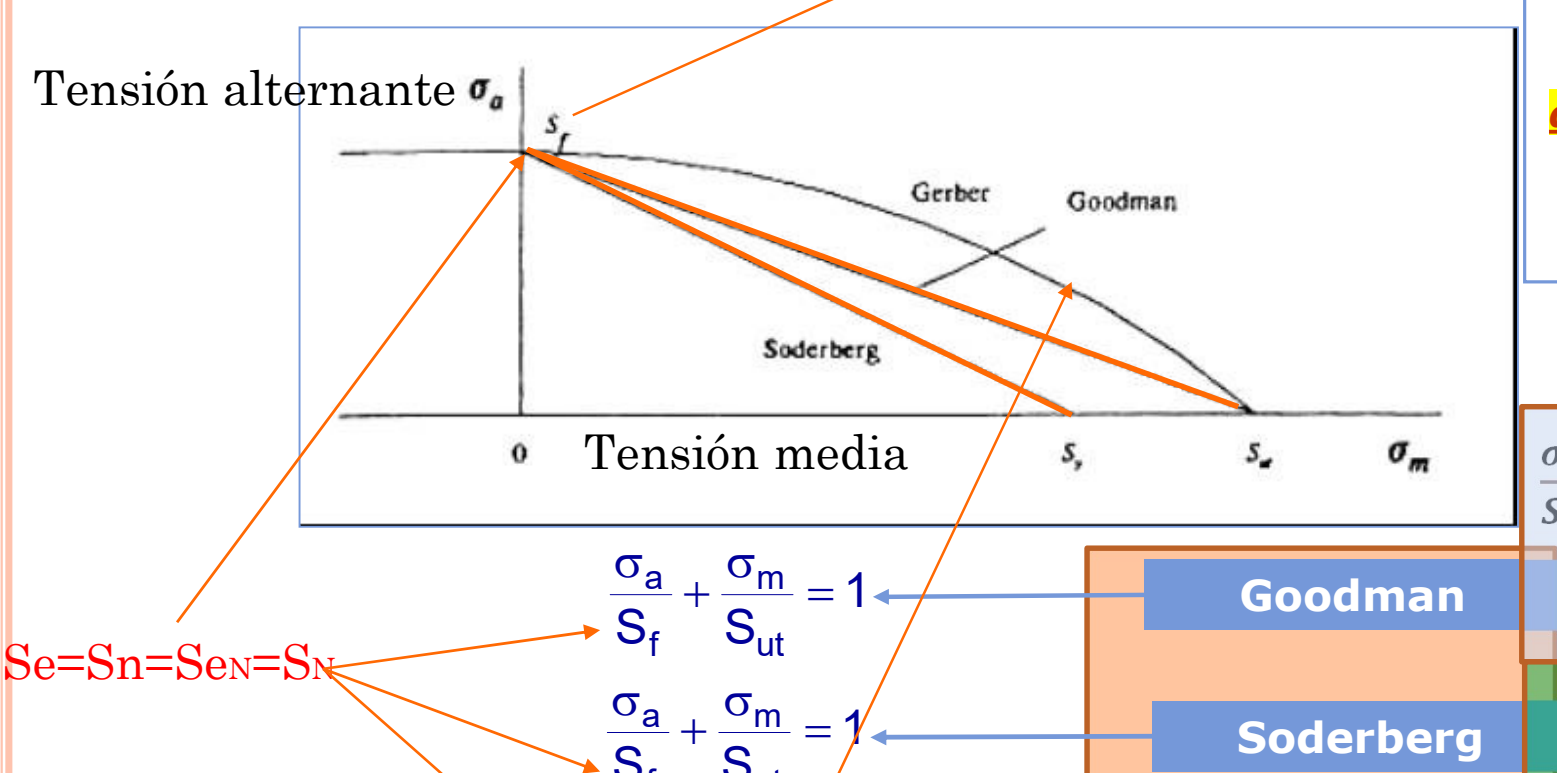


Diagrama S-N para el acero

#### Criterios de fallo



ç curva

<u>Un</u> gráfico diferente para cada N ciclos

$$\frac{\sigma_a}{S_e} + \frac{\sigma_m}{S_{ut}} = \frac{1}{CS}$$

$$\frac{\sigma_a}{S_n} + \frac{\sigma_m}{S_y} = \frac{1}{CS}; \acute{o}$$

$$\frac{\sigma_a}{S_e} + \frac{\sigma_m}{S_{v20}} = \frac{1}{CS}$$

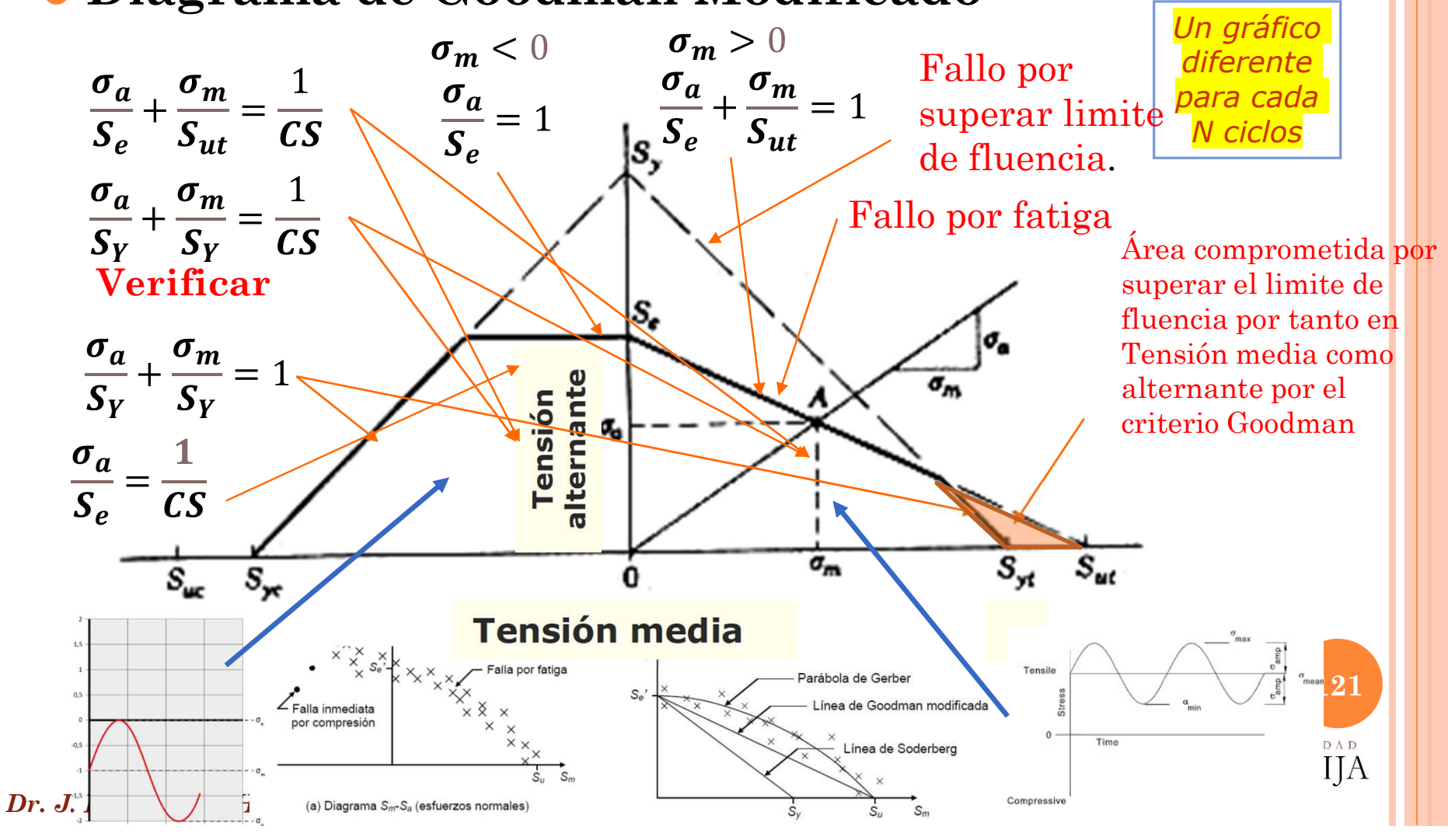


Gerber

Criterios de Fallo

#### 7. ANÁLISIS CON TENSIONES MEDIAS NO NULAS

#### o Diagrama de Goodman Modificado



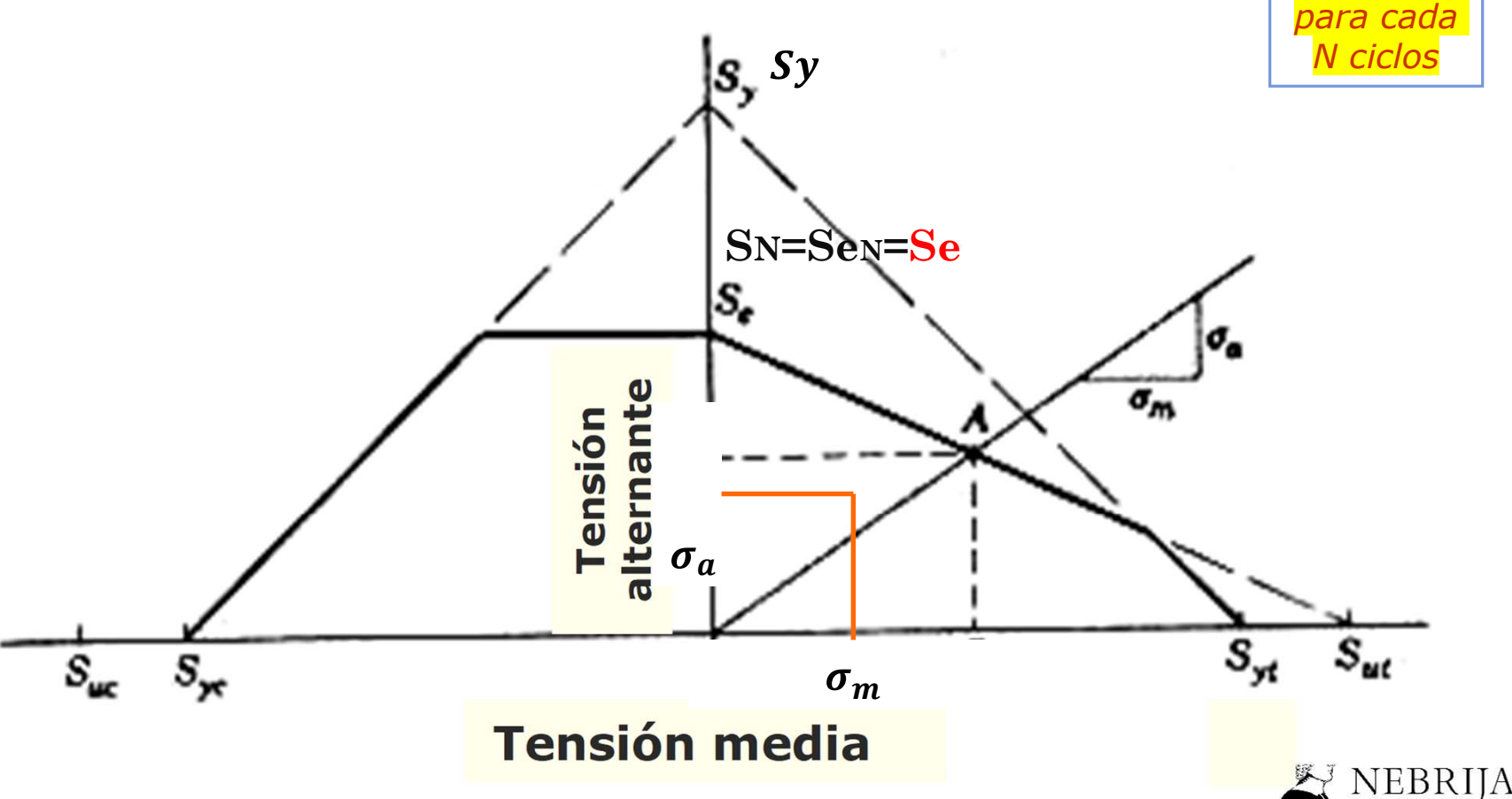
## RESISTENCIA A LA FATIGA 7. ANÁLISIS CON TENSIONES MEDIAS NO NULAS

Un gráfico

diferente

o Diagrama de Goodman Modificado.

Nomenclatura



#### 7. ANÁLISIS CON TENSIONES MEDIAS NO NULAS

o Otros criterios. Diagrama de Goodman modificado

$$\left(\frac{\sigma_a}{S_f}\right)^2 + \left(\frac{\sigma_m}{S_{ut}}\right)^2 = 1$$
Elipse

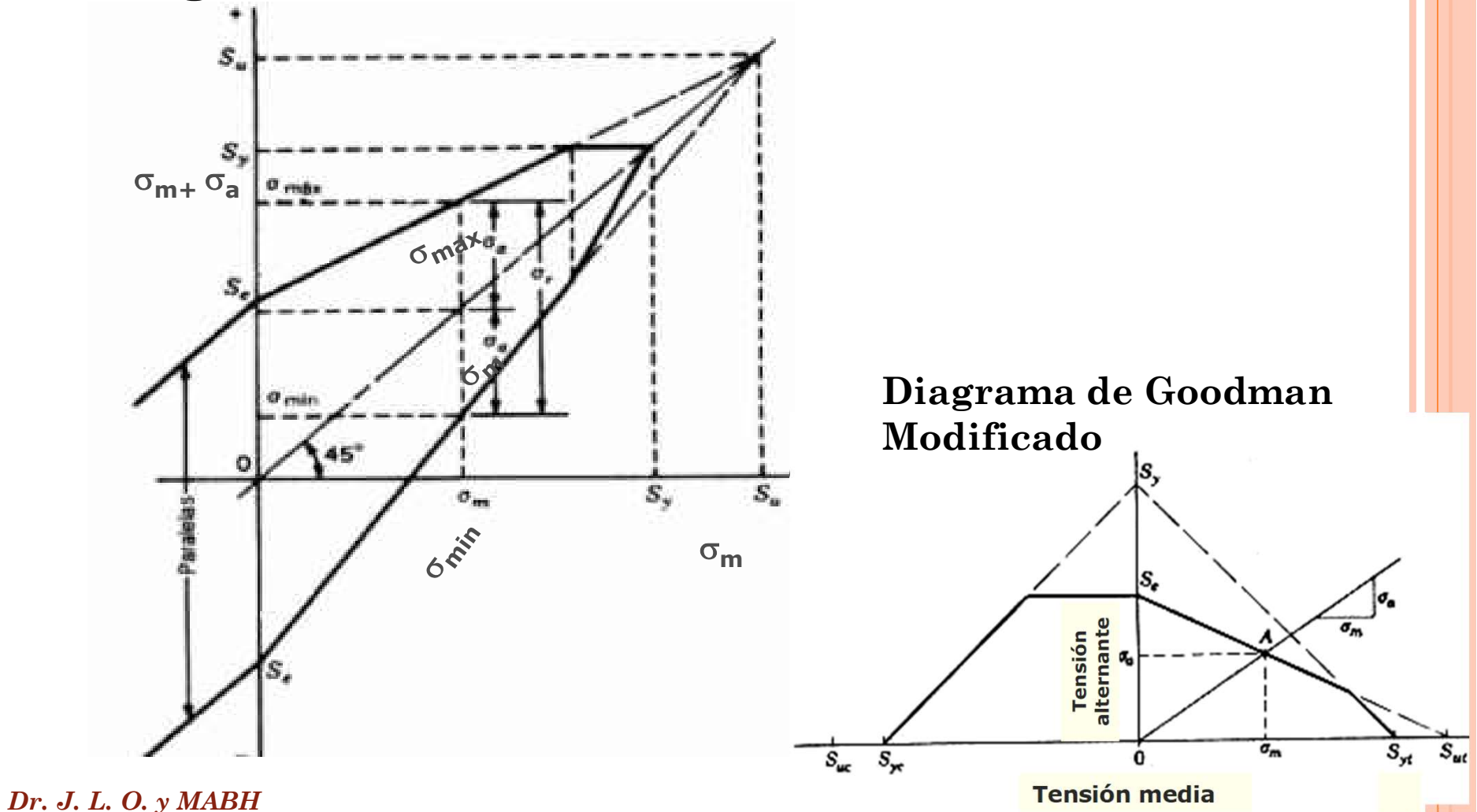
$$\frac{\sigma_a}{S_f} + \left(\frac{\sigma_m}{S_{yt}}\right)^4 = 1$$
 Bagci

$$\left(\frac{\sigma_a}{S_e}\right)^s + \left(\frac{\sigma_m}{S_{ut}}\right)^2 = 1 \leftarrow \text{Kececioglu}$$



## RESISTENCIA A LA FATIGA 7. ANÁLISIS CON TENSIONES MEDIAS NO NULAS

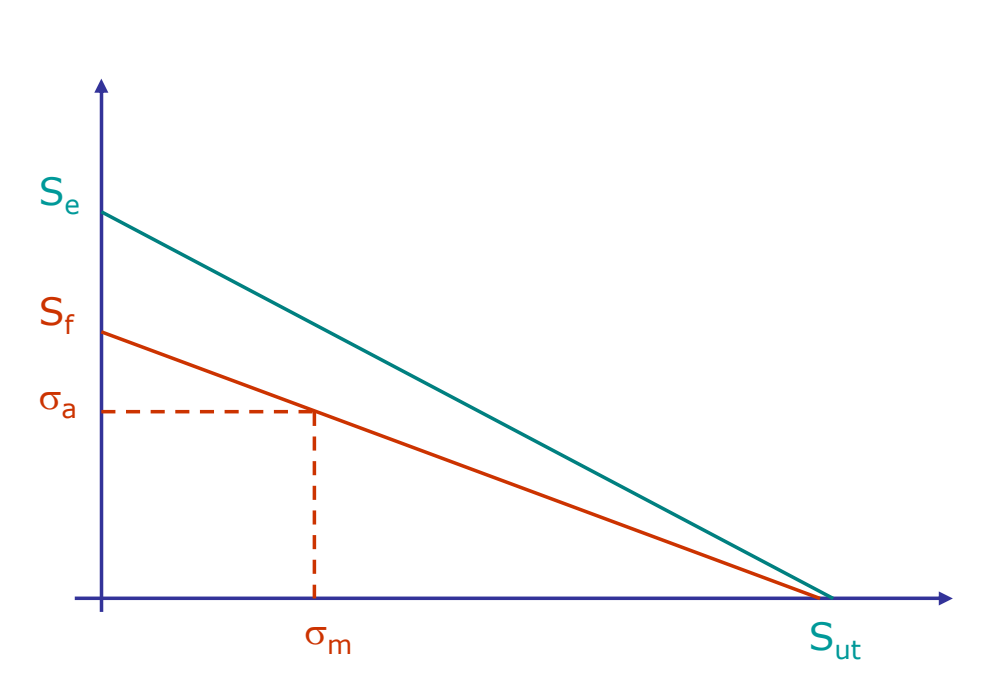
o Diagrama de Smith o de Goodman



#### 7. ANÁLISIS CON TENSIONES MEDIAS NO NULAS

#### o Tensión alternante equivalente

• Es el "límite de fatiga Sf que equivale a una combinación  $dada (\sigma_m, \sigma_a)$ " Para poder utilizar la curva S-N



$$\frac{\sigma_{a}}{S_{f}} + \frac{\sigma_{m}}{S_{ut}} = 1$$

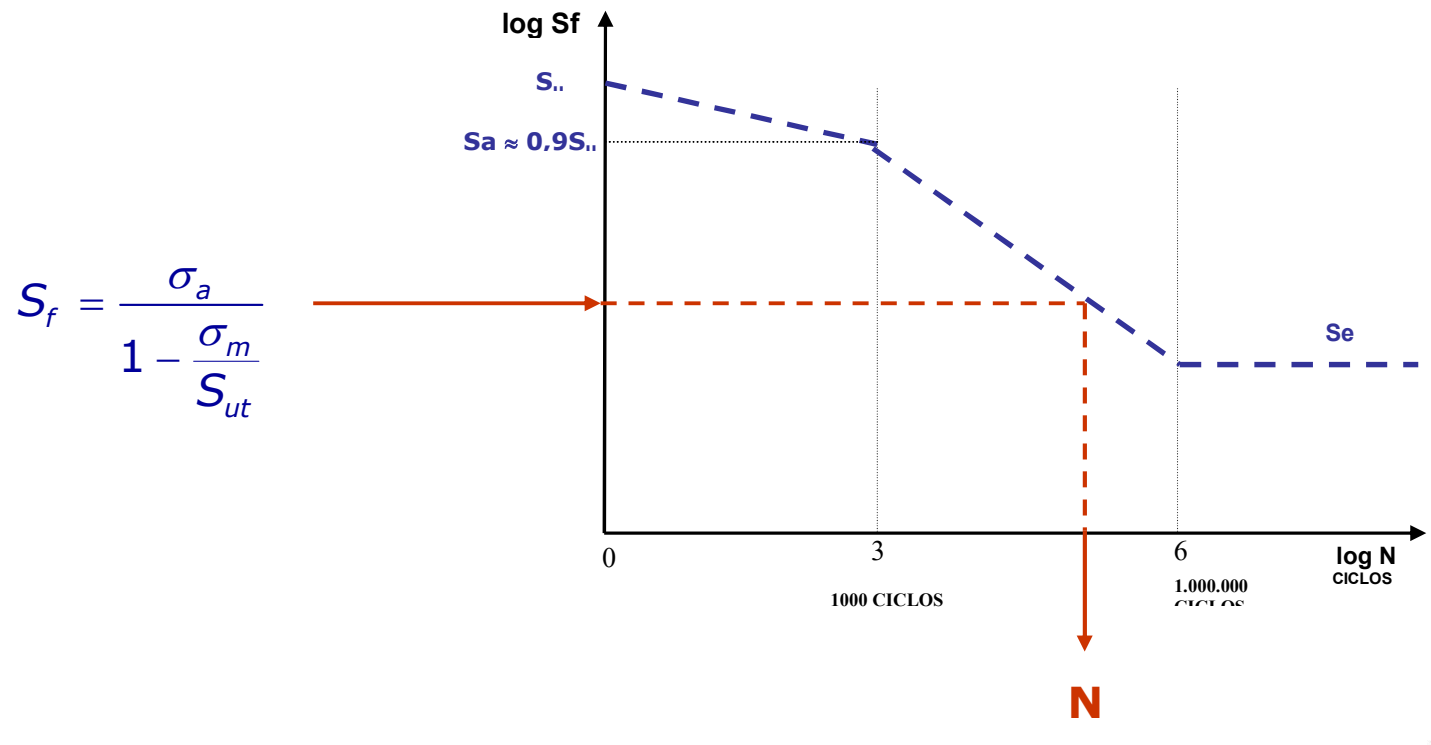
$$S_{f} = \frac{\sigma_{a}}{1 - \frac{\sigma_{m}}{S_{ut}}}$$



#### 7. ANÁLISIS CON TENSIONES MEDIAS NO NULAS

#### o Tensión alternante equivalente

• Es el "límite de fatiga Sf que equivale a una combinación  $dada~(\sigma_m,~\sigma_a)$ "

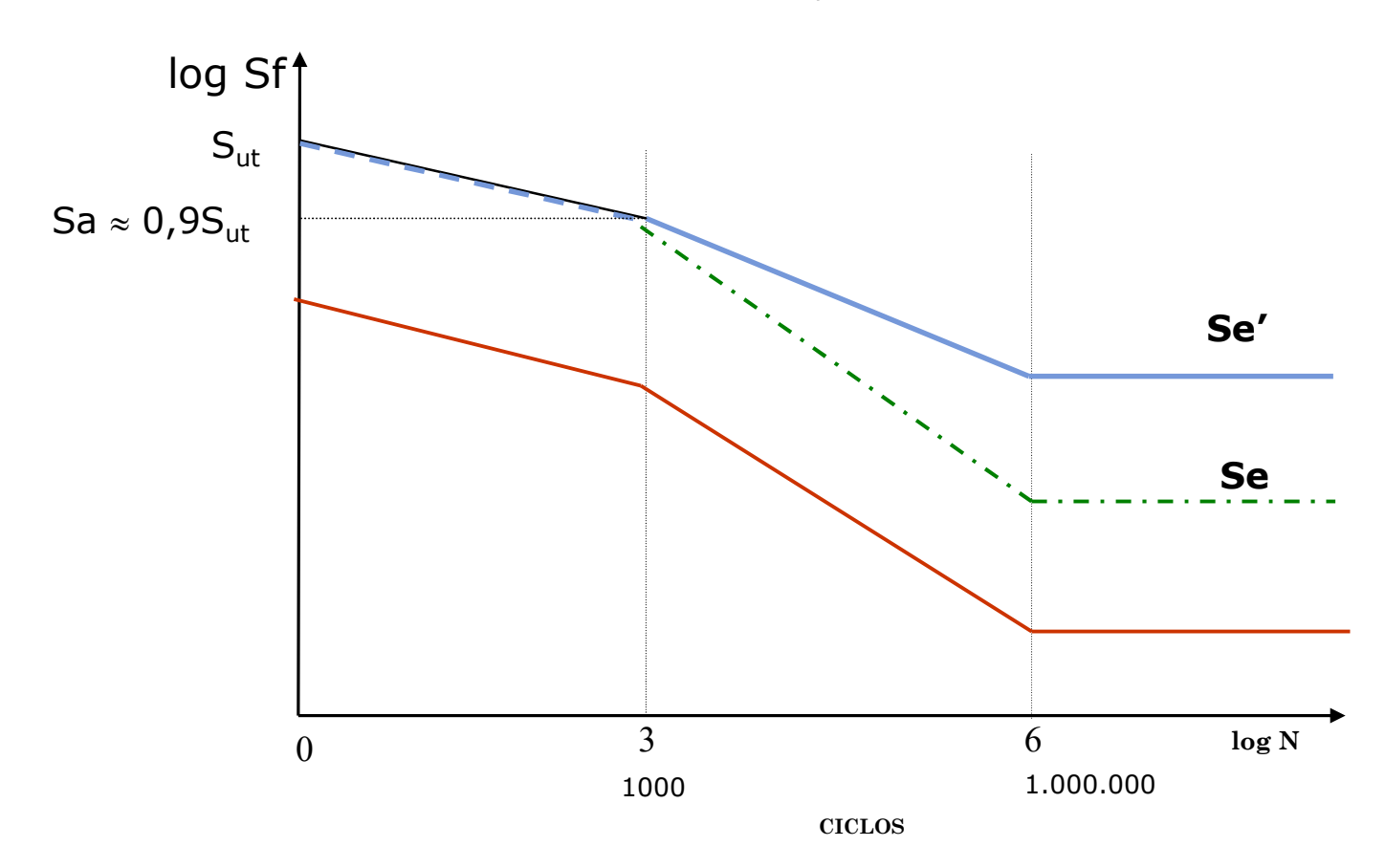




### RESISTENCIA A LA FATIGA 7. ANÁLISIS CON TENSIONES MEDIAS NO NULAS

#### o Reducción de la Resistencia a Fatiga

• Efecto sobre la resistencia y la duración

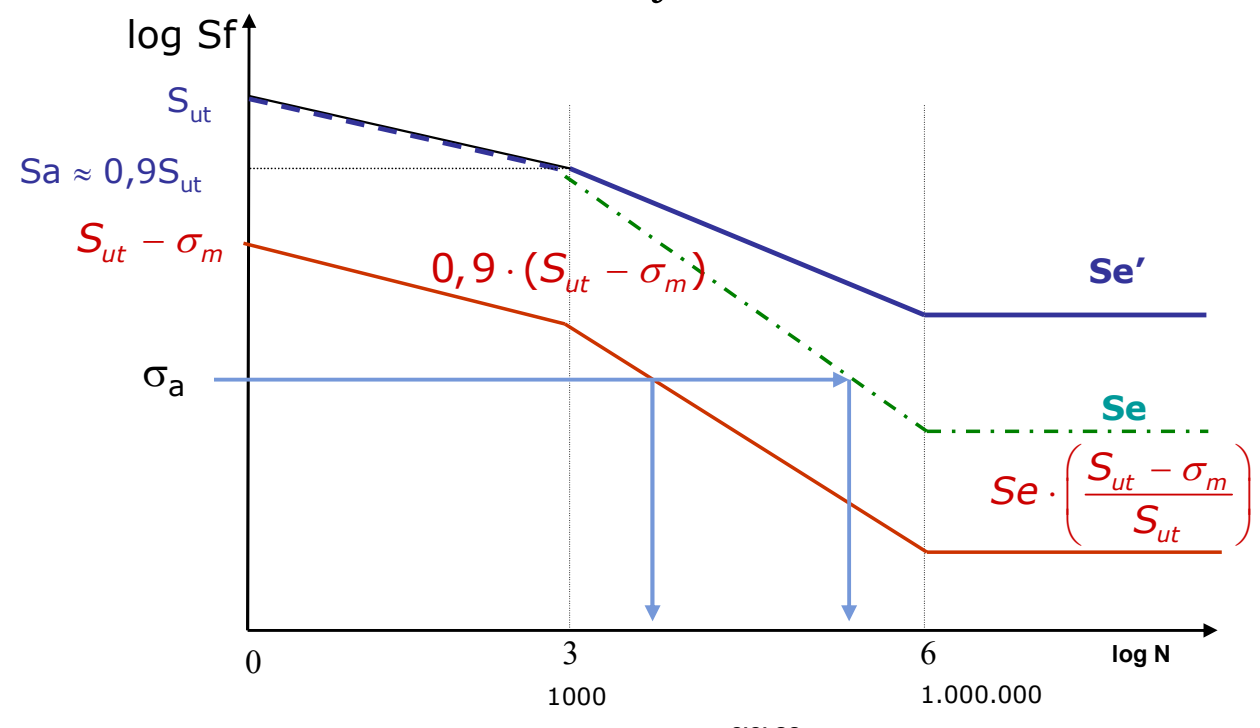




#### 7. ANÁLISIS CON TENSIONES MEDIAS NO NULAS

#### o Reducción de la Resistencia a Fatiga

• Efecto sobre la resistencia y la duración

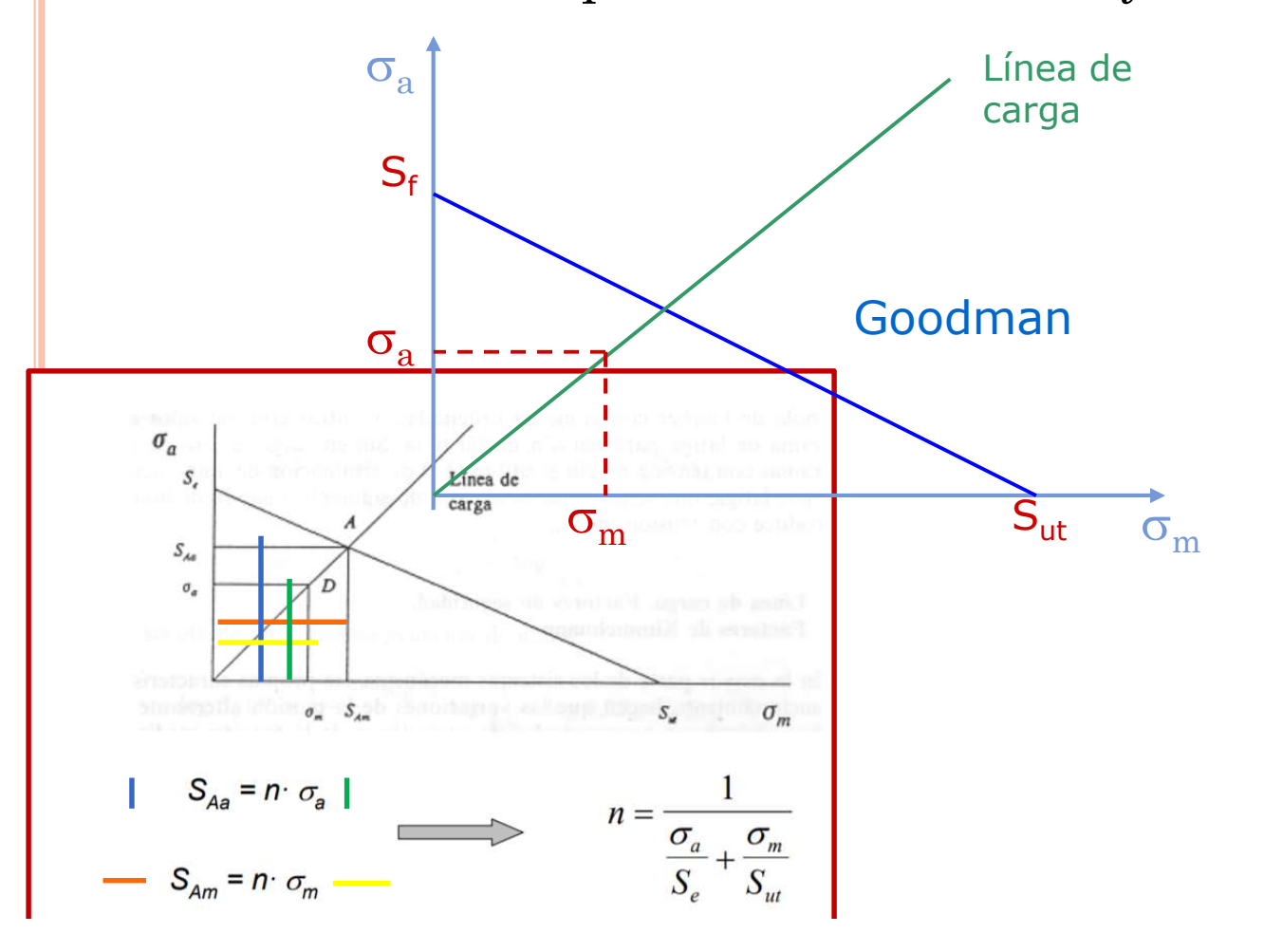


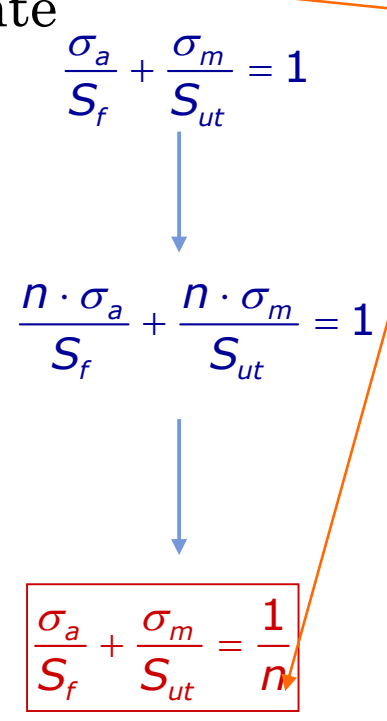
$$\frac{\sigma_a}{S_f} + \frac{\sigma_m}{S_{ut}} = 1 \longrightarrow \frac{S_f(N, \sigma_m)}{S_f(N, \sigma_m = 0)} + \frac{\sigma_m}{S_{ut}} = 1 \longrightarrow \log S_f(N, \sigma_m) = \log S_f(N, \sigma_m = 0) - \log \frac{S_f(N, \sigma_m)}{S_f(N, \sigma_m)} = 0$$

#### 7. ANÁLISIS CON TENSIONES MEDIAS NO NULAS

#### o Coeficiente de seguridad "n" 👡

• "n" es común para tensiones media y alternante

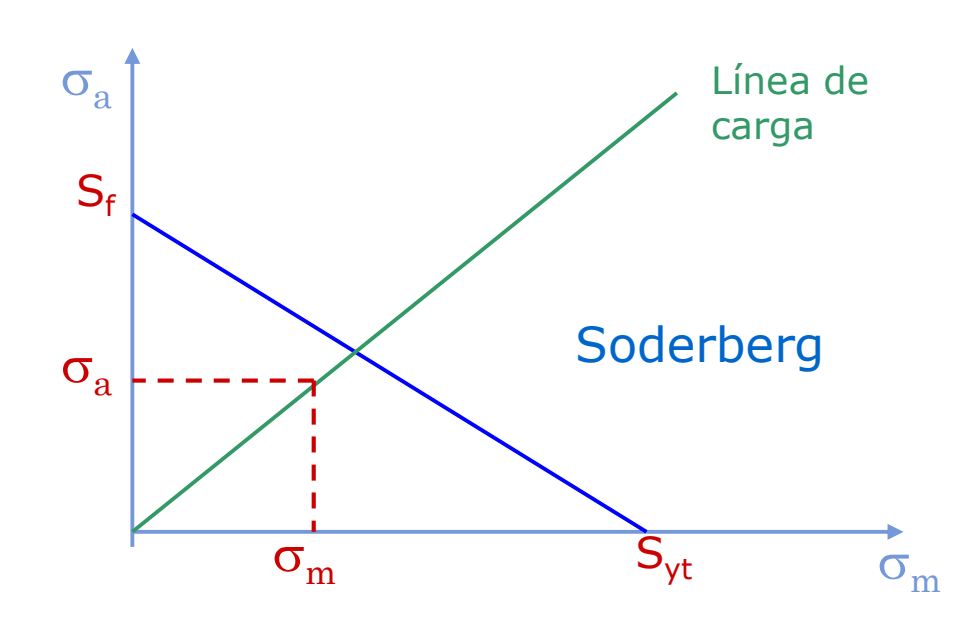


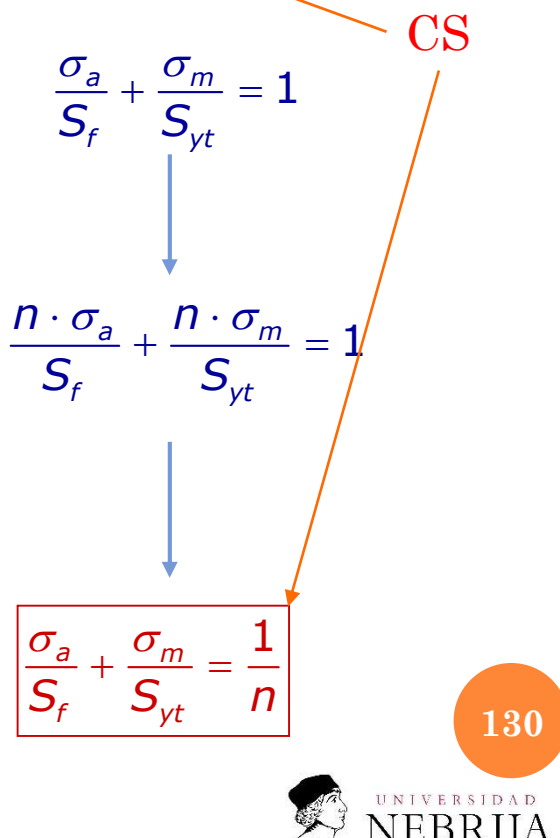




#### 7. ANÁLISIS CON TENSIONES MEDIAS NO NULAS

- o Coeficiente de seguridad "n",
  - "n" es común para tensiones media y alternante



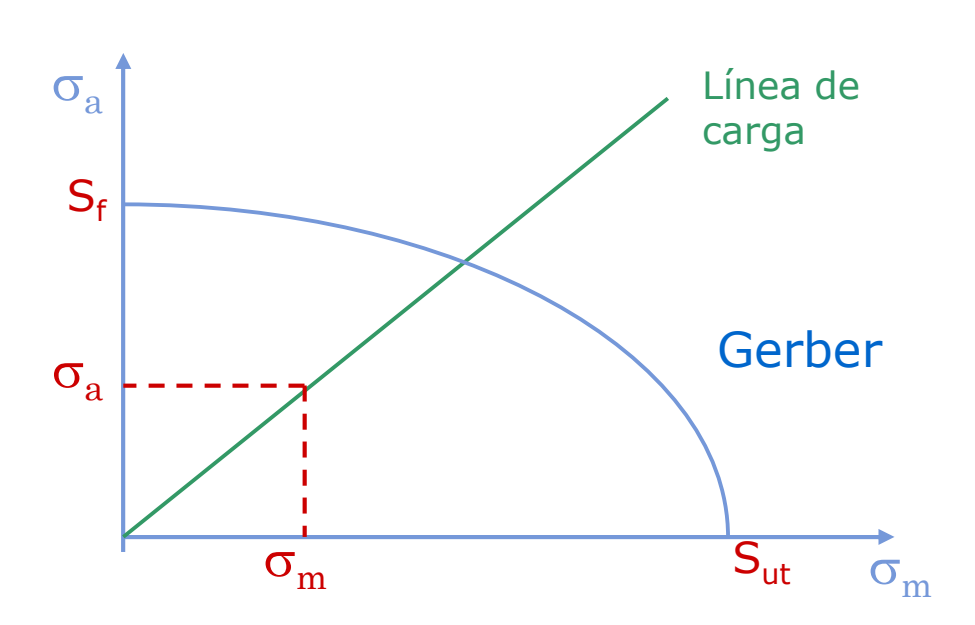


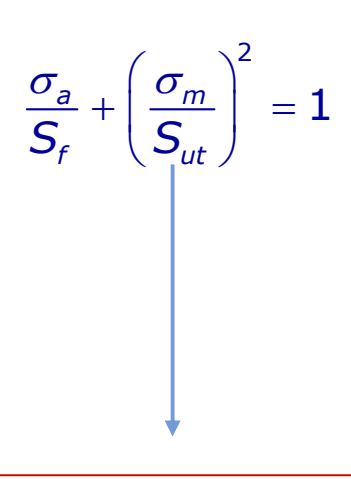


#### 7. ANÁLISIS CON TENSIONES MEDIAS NO NULAS

#### o Coeficiente de seguridad "n"

• "n" es común para tensiones media y alternante





$$\left| \frac{n \cdot \sigma_a}{S_f} + \left( \frac{n \cdot \sigma_m}{S_{ut}} \right)^2 \right| = 1$$

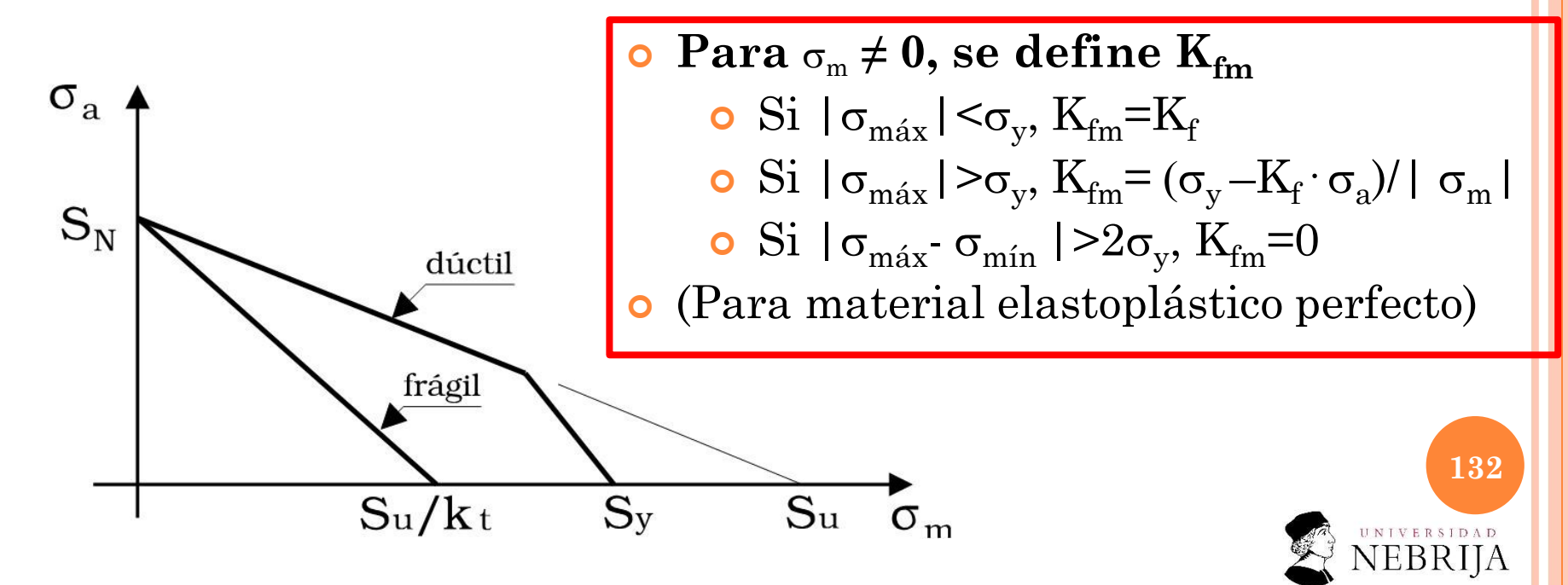


Lo normal es no utilizar materiales frágiles que trabajen a fatiga.

### RESISTENCIA A LA FATIGA 7. ANÁLISIS CON TENSIONES MEDIAS NO NULAS

#### o Entallas con tensión media no nula

- Para  $\sigma_m$ =0 la entalla divide el límite de fatiga Se por Kf
- Para  $\sigma_a = 0$ 
  - Material dúctil -> No hay corrección
  - Material frágil -> Se reduce la resistencia a Su/Kf

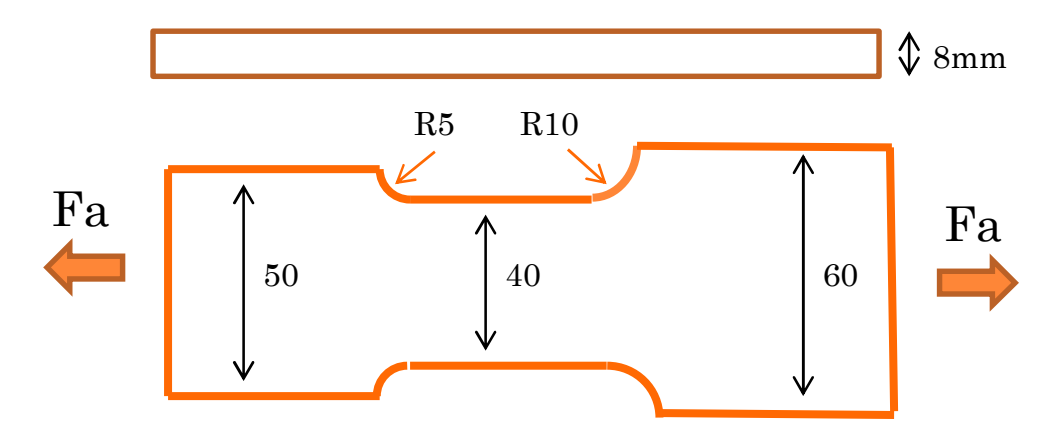


# RESISTENCIA A LA FATIGA 7. ANÁLISIS CON TENSIONES MEDIAS NO NULAS

• **Ejercicio**: La pieza mostrada en la figura (unidades en mm) se mecaniza a partir de una placa de acero laminado en frío con Sut=545 Mpa y Sy=365MPa. La carga axial que se muestra es totalmente alternante: Fa=6500N. La temperatura del proceso es de 60°C y se requiere una fiabilidad de 99% en el cálculo.

#### • Se pide:

- A) Sección donde probablemente fallará la pieza
- B) Determinar el factor de seguridad de dicha sección para N=450.000Ciclos y para vida infinita
- C) Si se aplica una precarga a tracción Fm=+1500N, recalcular los factores de seguridad



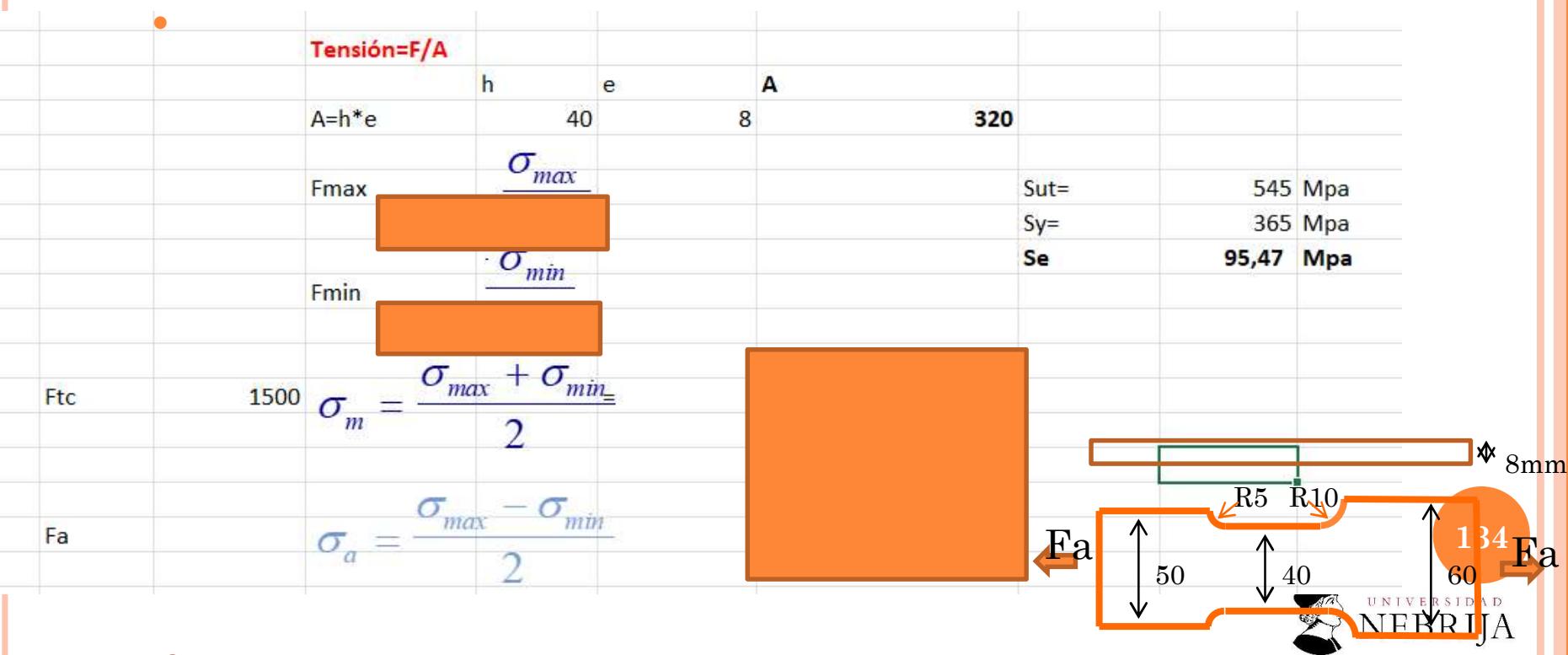


#### 7. ANÁLISIS CON TENSIONES MEDIAS NO

#### **NULAS**

- **Ejercicio**: Sut=545 Mpa y Sy=365MPa. La carga axial alternante: Fa=6500N.
- C) Si se aplica una precarga a tracción Fm=+1500N, recalcular los factores de seguridad.

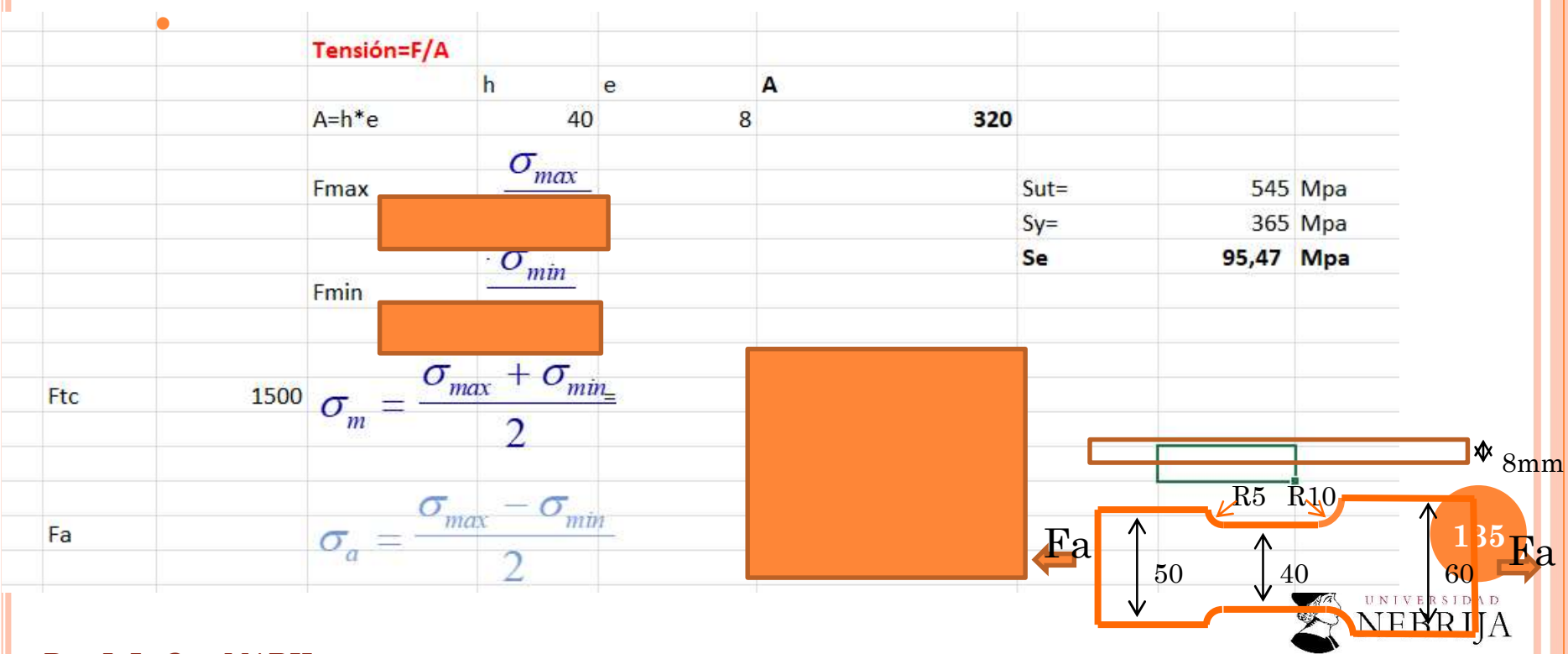
• Fmáx Fmin=



#### 7. ANÁLISIS CON TENSIONES MEDIAS NO

#### **NULAS**

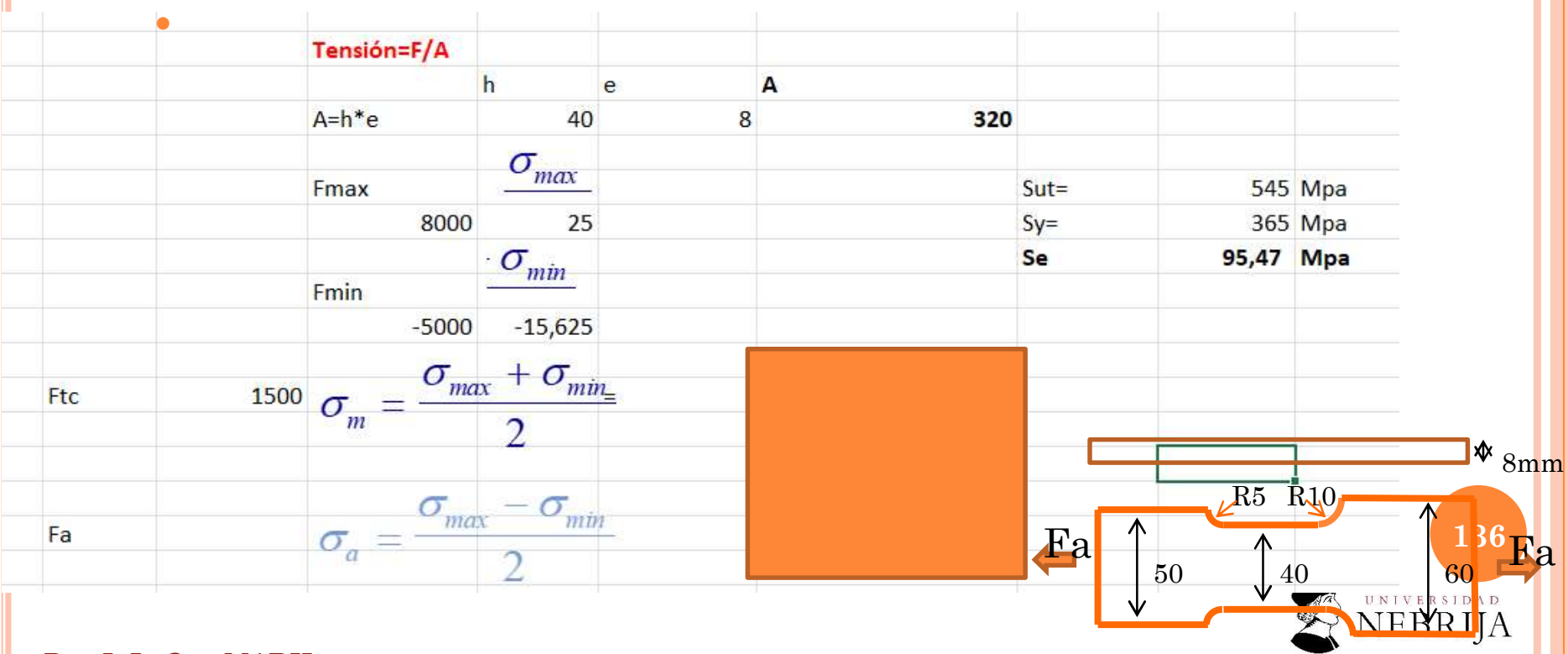
- **Ejercicio**: Sut=545 Mpa y Sy=365MPa. La carga axial alternante: Fa=6500N.
- <u>C) Si se aplica una precarga a tracción Fm=+1500N, recalcular los factores de seguridad.</u>
  - Fmáx = 8000 N. Fmin= -5000 N.



#### 7. ANÁLISIS CON TENSIONES MEDIAS NO

#### **NULAS**

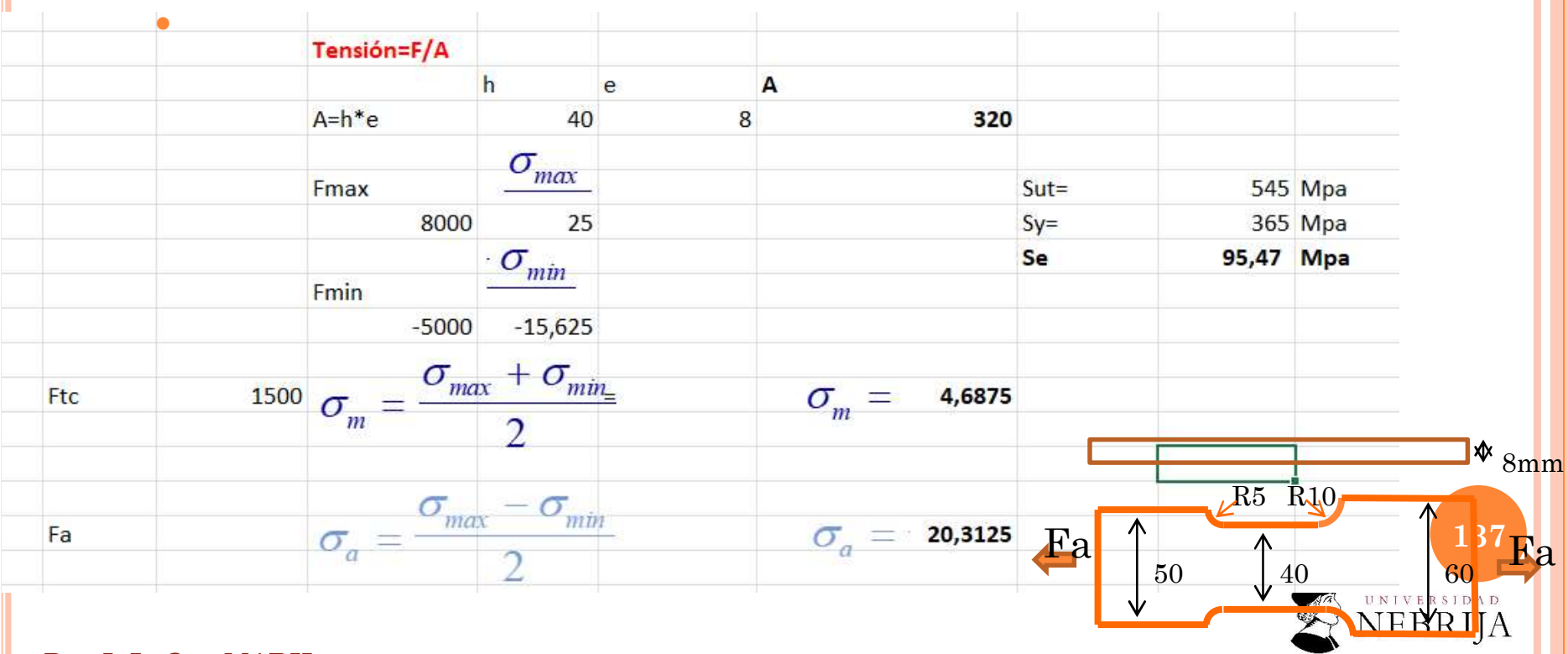
- **Ejercicio**: Sut=545 Mpa y Sy=365MPa. La carga axial alternante: Fa=6500N.
- <u>C) Si se aplica una precarga a tracción Fm=+1500N, recalcular los factores de seguridad.</u>
  - Fmáx = 8000 N. Fmin= -5000 N.



#### 7. ANÁLISIS CON TENSIONES MEDIAS NO

#### **NULAS**

- **Ejercicio**: Sut=545 Mpa y Sy=365MPa. La carga axial alternante: Fa=6500N.
- <u>C) Si se aplica una precarga a tracción Fm=+1500N, recalcular los factores de seguridad.</u>
  - Fmáx = 8000 N. Fmin= -5000 N.



#### 6. ECUACIÓN DE MARIN

- B) Determinar el factor de seguridad de dicha sección para N=450.000Ciclos y para vida infinita
- La carga axial alternante: Fa=6500N.

• Fmáx = 8000 N. Fmin= -5000 N

Factor de seguridad

$$CS = n_s = \frac{\sigma_y}{\sigma_d}$$

 $\sigma_a =$  $\sigma_m =$ 20,3125 4,6875 donde:  $\sigma_v$  es el esfuerzo normal permisible y  $\sigma_d$  es el esfuerzo normal obtenido en el diseño. 112,94 545,00 450.000 N 112,94 Sn Sd 20,3125 CS= ns= 5.56 1.000.000 Se 95,47 Sd 20,3125 CS= ns= 4,70 20,3125 4,6875  $\sigma_a =$  $\sigma_m =$ 545,00 95,47

 $\frac{\sigma_a}{S_e} + \frac{\sigma_m}{S_{ut}} = \frac{1}{CS}$ 



 $\sigma_m =$ 

#### 6. ECUACIÓN DE MARIN

- B) Determinar el factor de seguridad de dicha sección para N=450.000Ciclos y para vida infinita
- La carga axial alternante: Fa=6500N.

• Fmáx = 8000 N. Fmin= -5000 N

20,3125

#### Factor de seguridad

$$\mathbf{CS} = n_s = \frac{\sigma_y}{\sigma_d}$$

uerzo normal permisible y od es el esfuerzo el diseño.

4,6875

и			m			donde: σ <sub>y</sub> es e
Sn	=	112,94	Sut	=	545,00	normal obtenid
$\sigma_a$	$\sigma_m _1$		20,3125	+	4,69	=
$\frac{\sigma_a}{S_n}$ +	$S_{ut} = CS$	S	112,94		545	cs(450000
			cs(450000)	=	5,31	
$\sigma_a =$	20,3125		$\sigma_{\!\scriptscriptstyle m} =$	4,6875		
Se	=	95,47	Sut	=	545,00	
$\sigma_a$	$\sigma_m _1$					
$\frac{\sigma_a}{S_e}$ +	$S_{ut} - CS$		20,3125	+	4,69	=
·	ut		95,47		545	cs(1000000
			cs(1000000)	=	4,52	

N	450.000
Sn	112,94
Sd	20,3125
CS= ns=	5,56
N	1.000.000
Se	95,47
Sd	20,3125
CS= ns=	4,70

R5 R10

Dr. J. L. O. y MABH

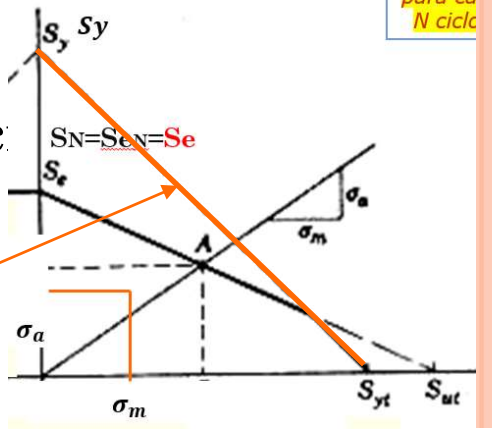
6. ECUACIÓN DE MARIN

• B) Determinar el factor de seguridad de dicha secc N=450.000Ciclos y para vida infinita

• La carga axial alternante: Fa=6500N.

Fmáx = 8000 N. Fmin= -5000 N

Dr. J. L. O. y MABH



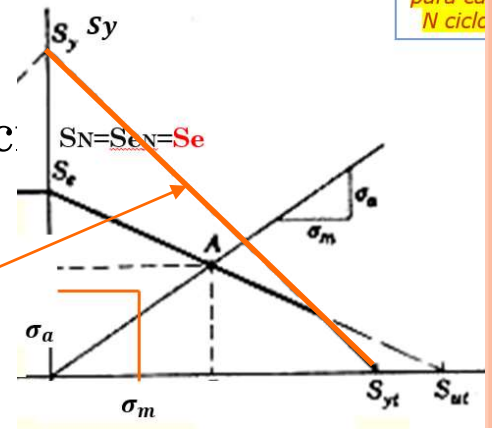
Verificación Fl	<mark>u</mark> encia						
$\sigma_a = 0$	20,3125		$\sigma_{m}$	= 4,6875			450000
Sy	=	365,00	Sy	=	365,00	N Sn	450000 112,94
$\sigma_a$ , $\epsilon$	$\sigma_m$						
<u> </u>	$\overline{S_y}$ < 1						1 Cumple
-							
+_	$\sigma_m = \frac{1}{m}$						
$S_y$	$\mathbf{S}_{y}$ $\mathbf{C}\mathbf{S}$						
							Dr D10
				'			R5 R10
						Fa 1	40, DAD

6. ECUACIÓN DE MARIN

• B) Determinar el factor de seguridad de dicha secc N=450.000Ciclos y para vida infinita

• La carga axial alternante: Fa=6500N.

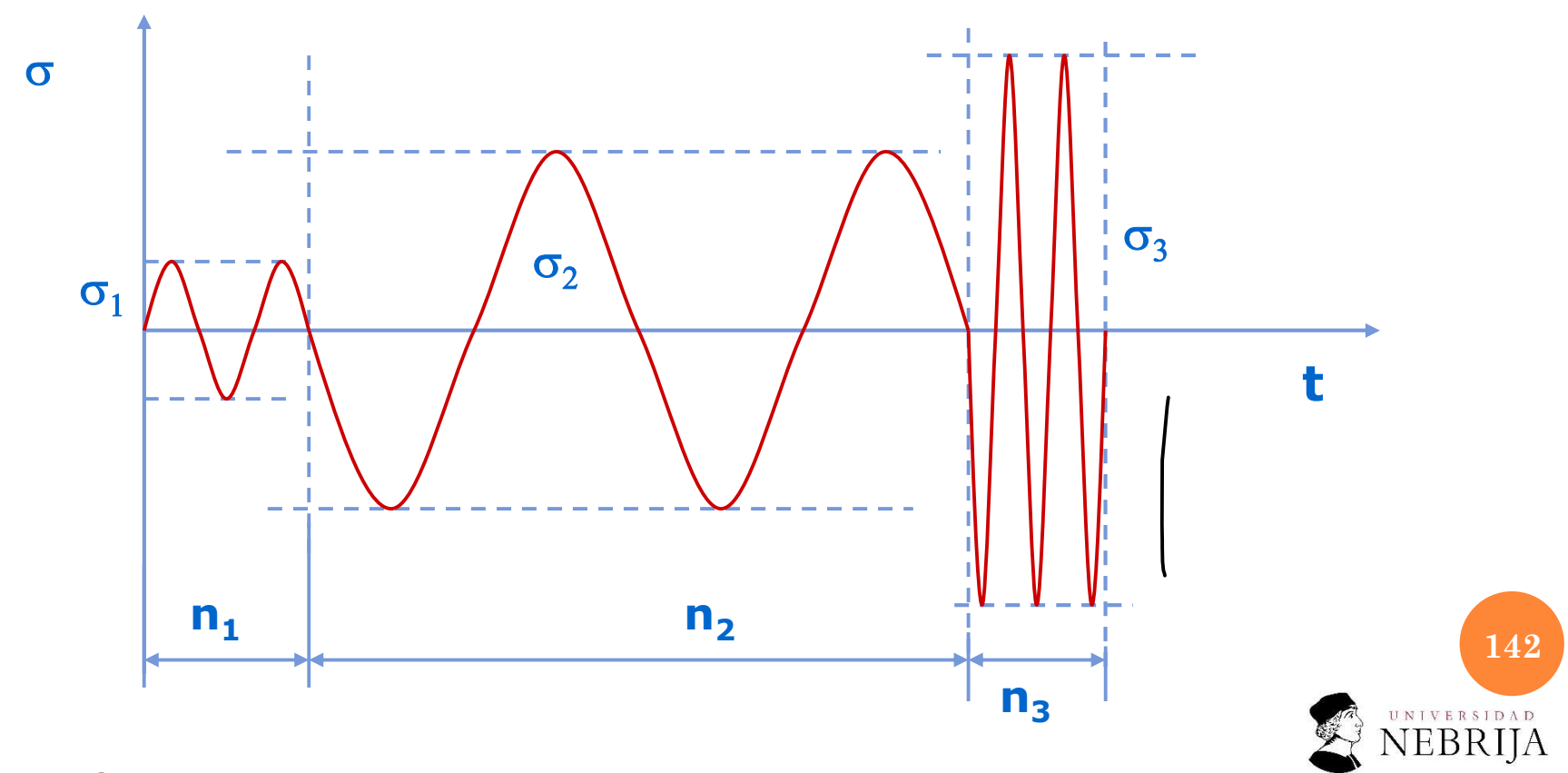
• Fmáx = 8000 N. Fmin= -5000 N



Verificación Flu	encia									
$\sigma_a = 0$	20,3125		$\sigma_m =$	4,6875					N	450000
Sy	=	365,00	Sy	=	365,00				Sn	112,94
$\sigma_a$ , $\sigma$	m 1									
	_ < 1		20,3125	+	4,69	=	0,07	<	1	Cumple
$S_y$ S	У		365,00		365					
$\sigma_a$ $\sigma$	m 1									
-+-			20,3125	+	4,69	=	<u>1</u>			
$S_y \mid S$	y <b>cs</b>		365,00		365		cs(450000)			
			cs(450000)	=	14,60				Dr	R10

### RESISTENCIA A LA FATIGA 8. Daño acumulado por fatiga

- Regla de Miner (o de Palmgren-Miner)
  - Amplitudes variables



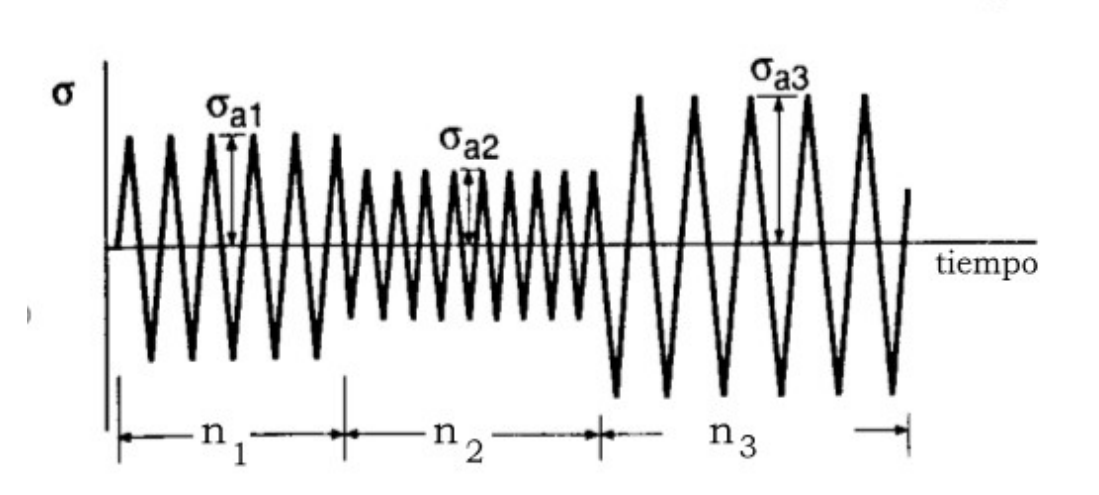
#### Fundamentos de fatiga

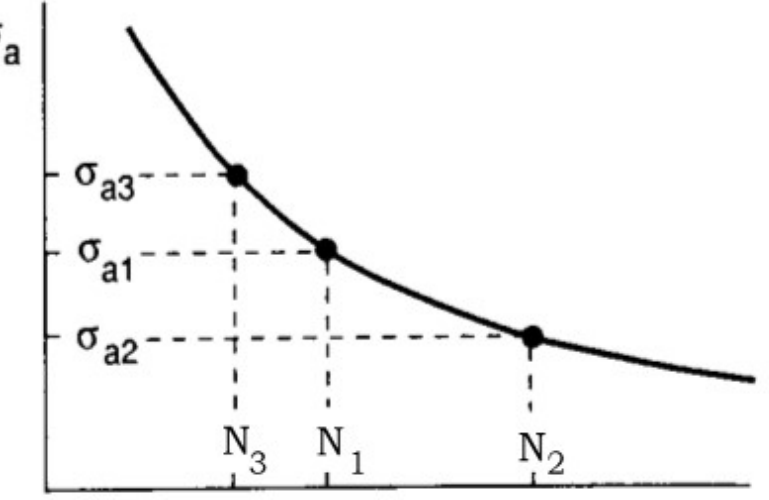
Con éste se construye la regla de Palmgren-Miner de daño acumulado, que pondera ciclos y cargas.

# RESISTENCIA A LA FATIGA 3. 8. DAÑO ACUMULADO POR FATIGA



- o Regla de Miner (o de Palmgren-Miner)
  - Limitación: No considera la secuencia de aplicación





N, ciclos hasta el fallo

$$\frac{n_1}{N_1} + \frac{n_2}{N_2} + \frac{n_3}{N_3} + \dots = 1$$

Acumulación de daño.

 $N_n = n^o$  ciclos para llegar a la rotura por fatiga a una tensión determinada,  $n_n = n^o$  ciclos realizados para una tensión aplicada.



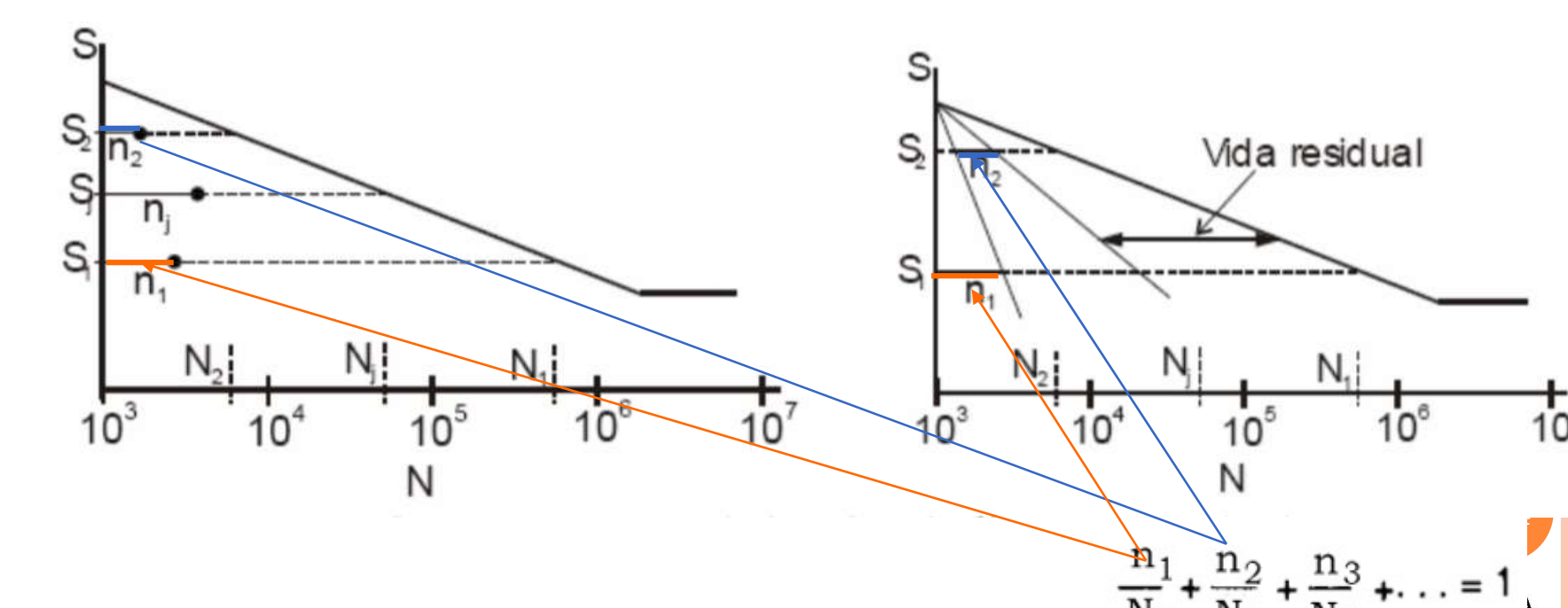
#### REGLA DE MINER

Porcentaje de vida ocupada con el nivel  $S_1 \implies n_j/N_j$ 

Daño = 
$$D_j = \frac{n_j}{N_j}$$

Daño total =  $D = \sum_{j=1}^{k} \frac{n_j}{N_j}$ 

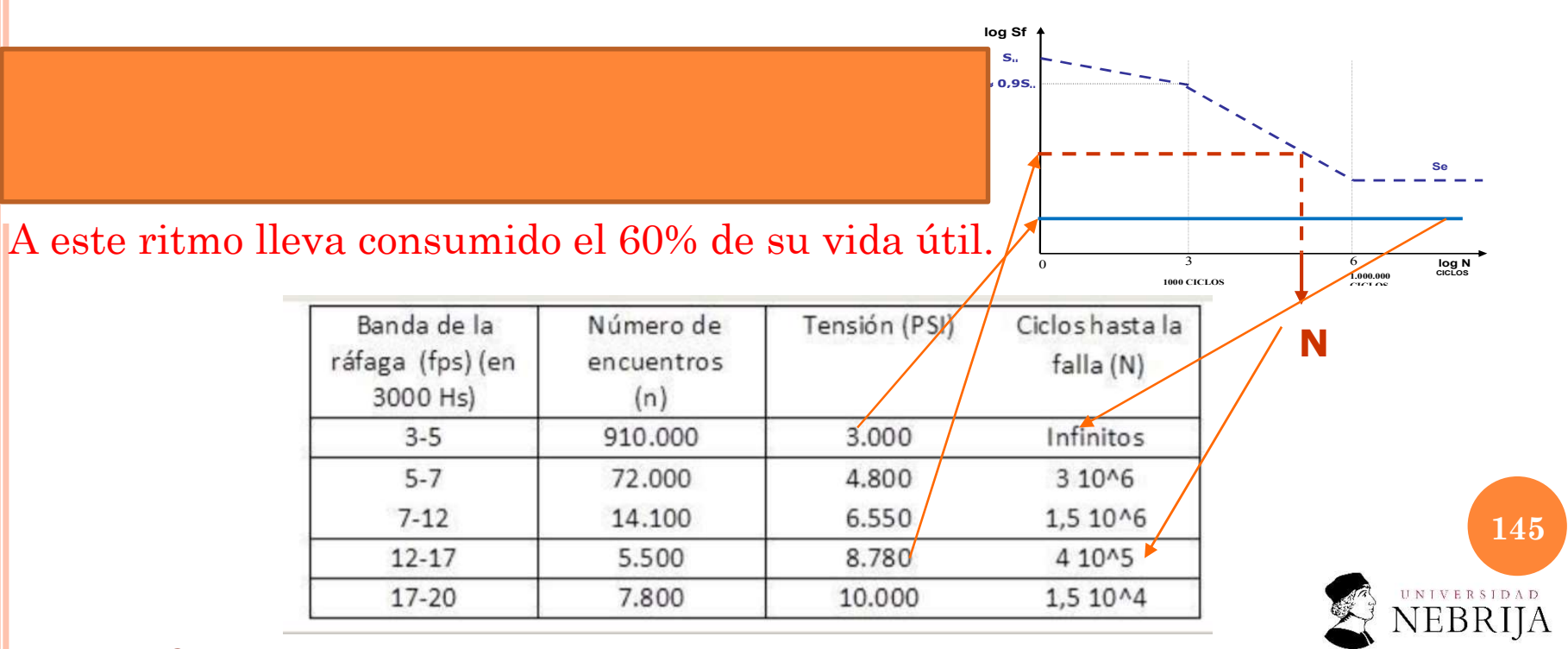
Fallo 
$$\Rightarrow$$
  $D = 1$ 





#### • Regla de Miner (o de Palmgren-Miner)

• CASO. Avión. Las aceleraciones experimentadas y recopiladas en un período de 3000 Hs de operación, debidas principalmente a ráfagas, establecieron ciertos niveles de tensiones en un componente. Conocidas las características de la aeronave y las aceleraciones, se determinaron las tensiones en el herraje de toma de ala - montante.





- Regla de Miner (o de Palmgren-Miner)
  - CASO. Avión. Las aceleraciones experimentadas y recopiladas en un período de 3000 Hs de operación, debidas principalmente a ráfagas, establecieron ciertos niveles de tensiones en un componente. Conocidas las características de la aeronave y las aceleraciones, se determinaron las tensiones en el herraje de toma de ala montante.

$$\sum \frac{910000}{\infty} + \frac{72000}{310^6} + \frac{14100}{1.510^6} + \frac{5500}{410^5} + \frac{7800}{1.510^4} \approx 0.6 < 1$$

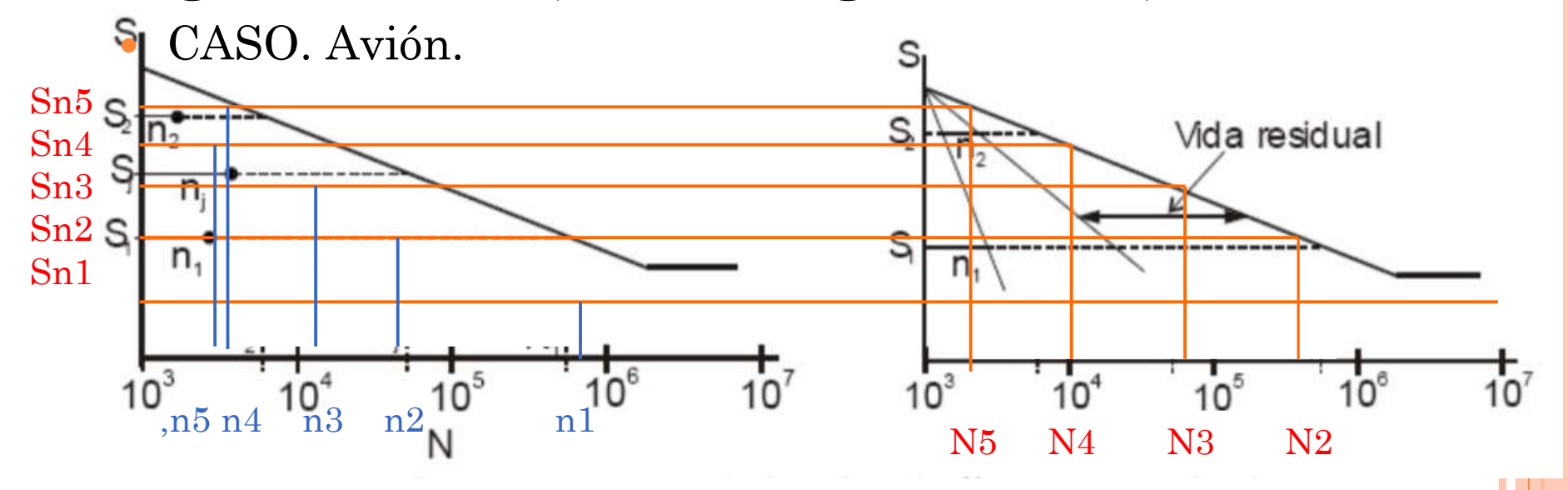
A este ritmo lleva consumido el 60% de su vida útil.

Banda de la ráfaga (fps) (en	Número de encuentros	Tensión (PSI)	Ciclos hasta la falla (N)
3000 Hs)	(n)		
3-5	910.000	3.000	Infinitos
5-7	72.000	4.800	3 10^6
7-12	14.100	6.550	1,5 10^6
12-17	5.500	8.780	4 10^5
17-20	7.800	10.000	1,5 10^4

146
NEBRIJA



#### • Regla de Miner (o de Palmgren-Miner)



Banda de la ráfaga (fps) (en 3000 Hs)	Número de encuentros (n)	Tensión (PSI)	Ciclos hasta la falla (N)
Sn1 3-5	,n1 <sub>910.000</sub>	3.000	N1 Infinitos
Sn2 5-7	,n2 <sub>72.000</sub>	4.800	N2 3 10^6
Sn3 7-12	,n3 14.100	6.550	N3 1,5 10^6
Sn4 <sup>12-17</sup>	,n4 5.500	8.780	N4 4 10^5
Sn5 <sup>17-20</sup>	,n5 7.800	10.000	N5 1,5 10^4

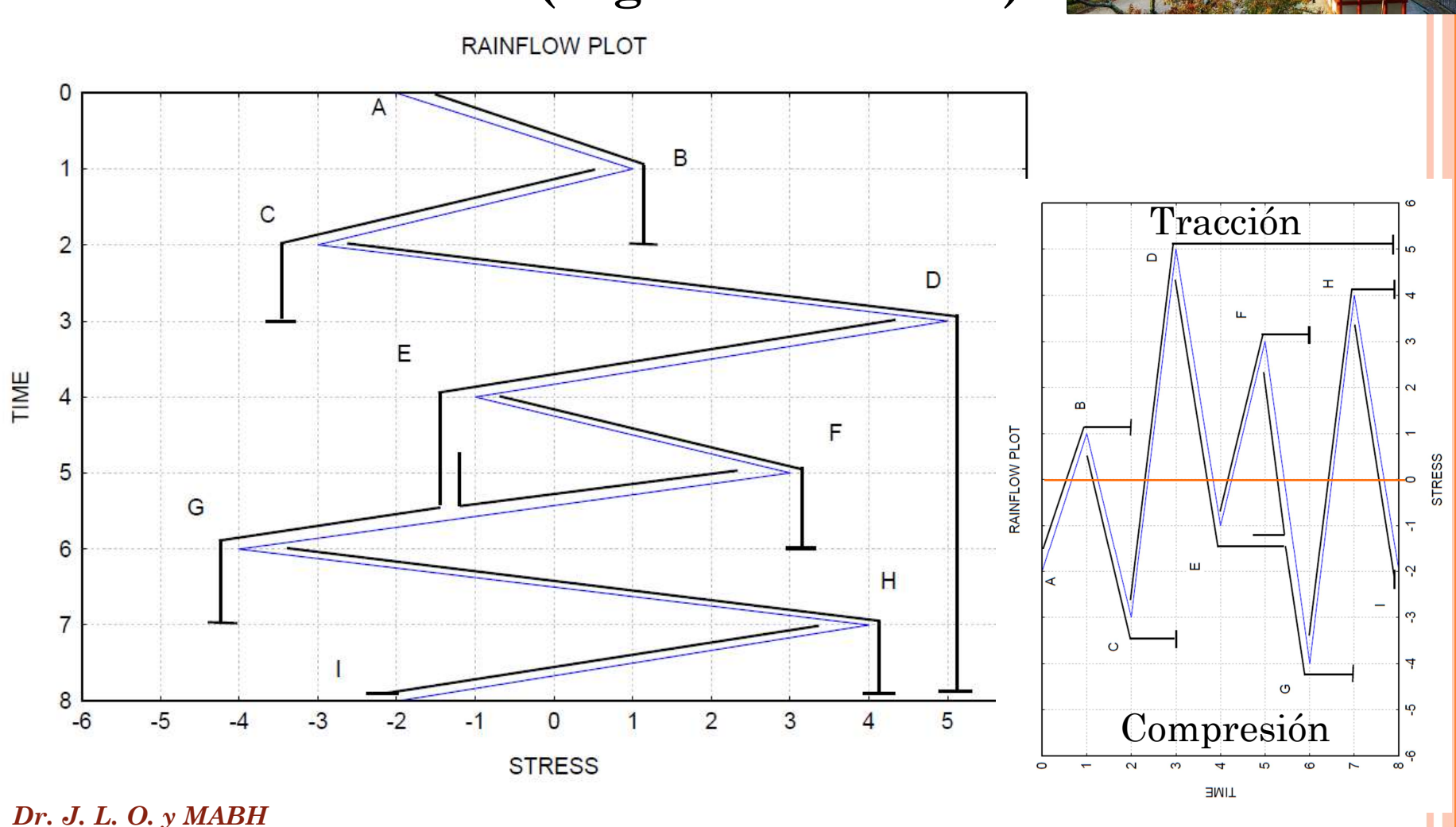
$$\sum \frac{910000}{\infty} + \frac{72000}{3\ 10^6} + \frac{14100}{1.5\ 10^6} + \frac{5500}{4\ 10^5} + \frac{7800}{1.5\ 10^4}$$



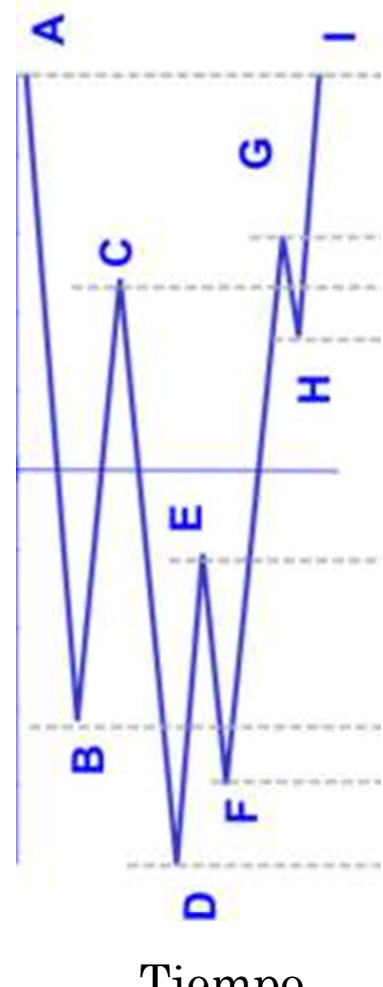
Dr. J. L. U. Y MABH

# RESISTENCIA A LA FATIGA 8. DAÑO ACUMULADO POR FATIGA

Método Rainflow (Algoritmo ENDO)



Método Rainflow

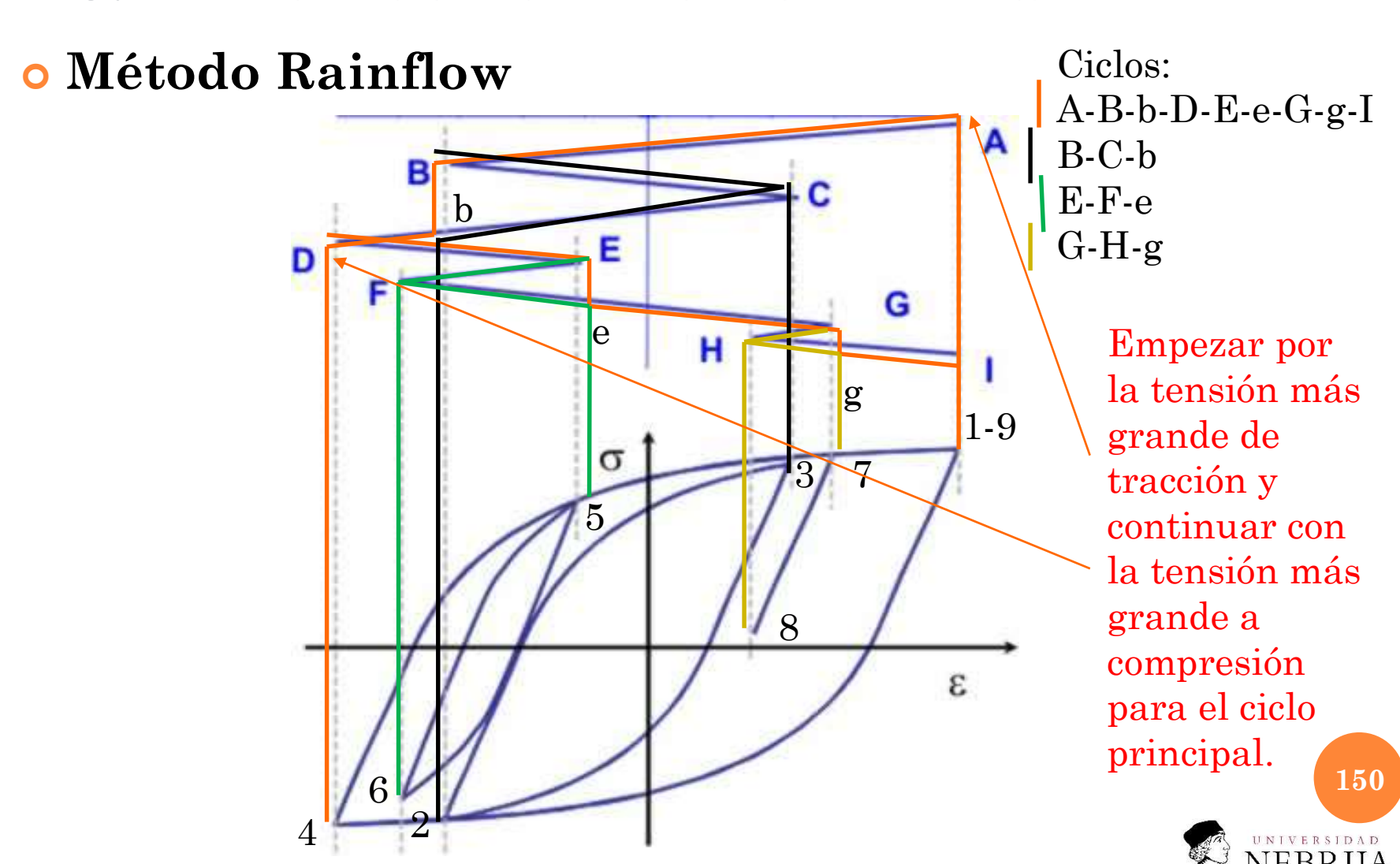


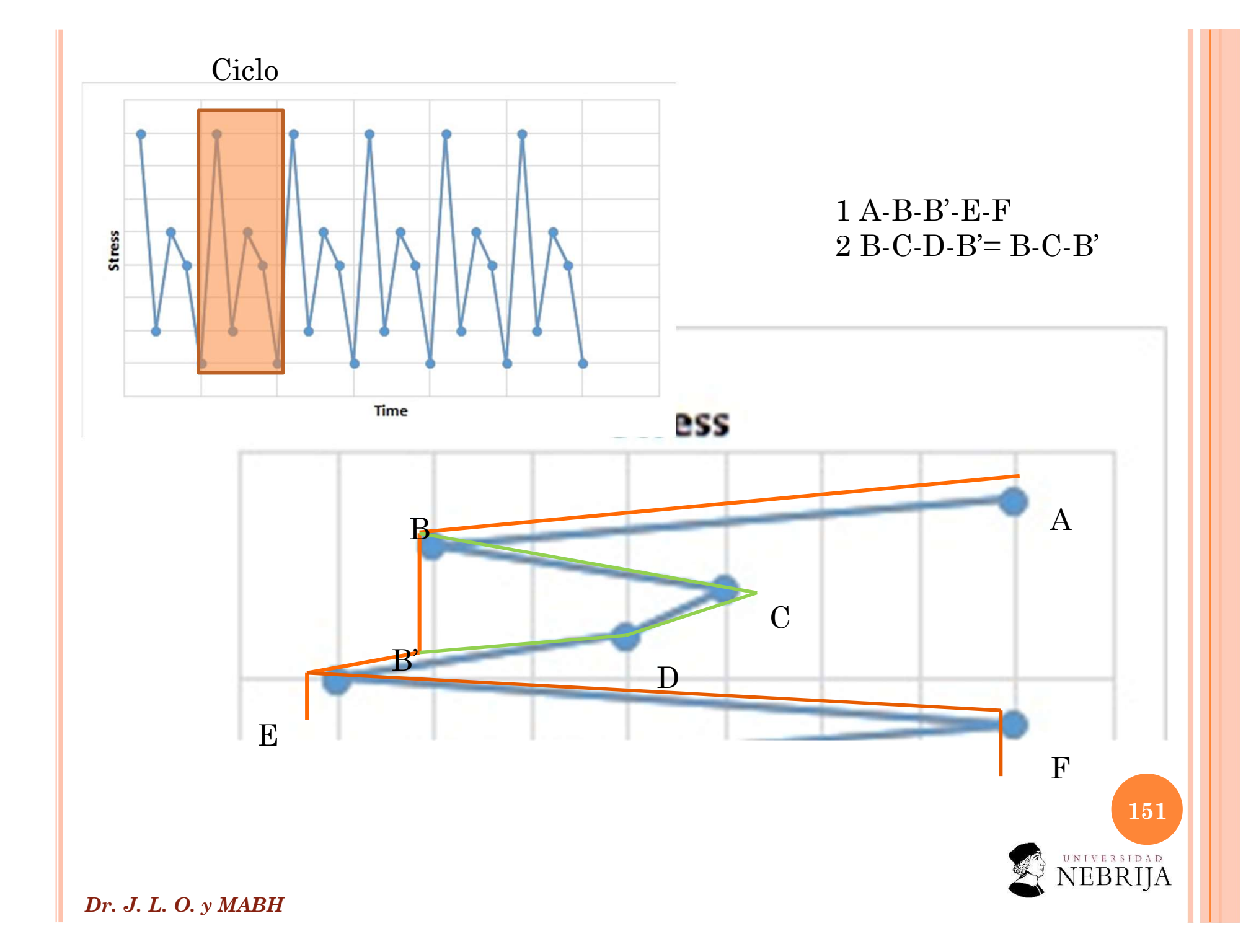
Tensión

 $\mathbf{O}$ 

Tiempo

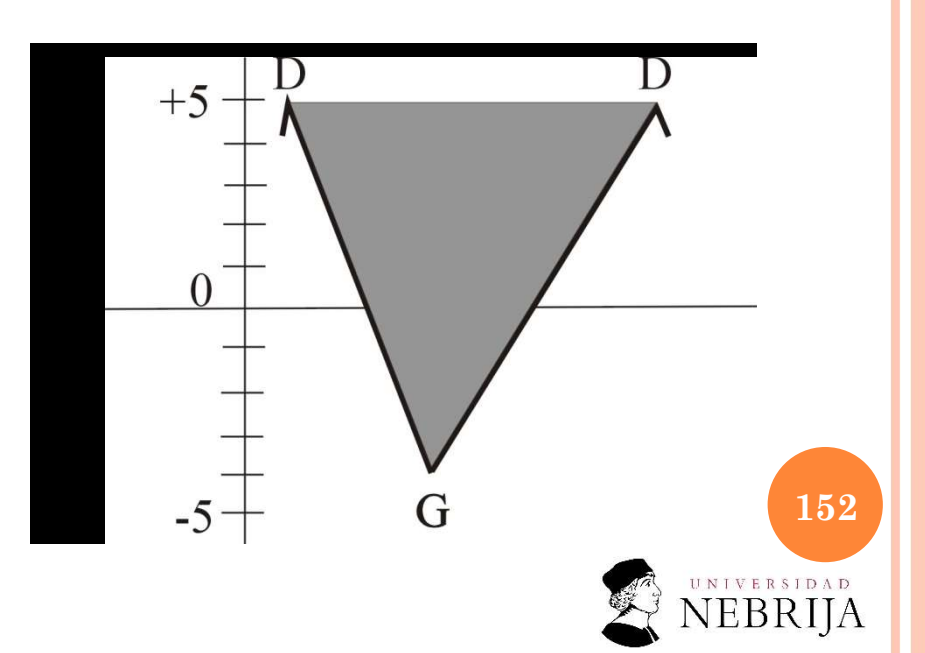




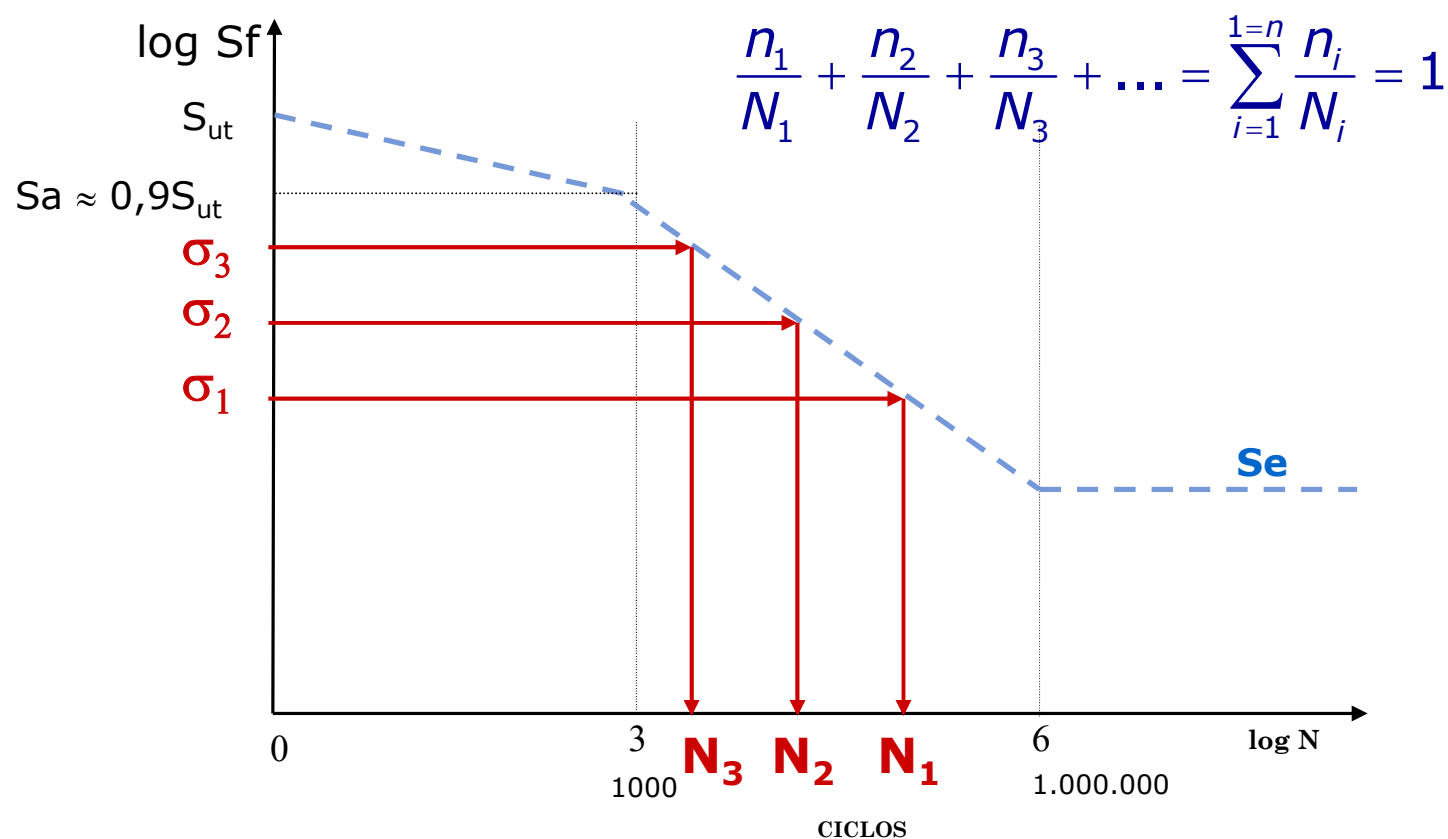


#### Método Rainflow (Algoritmo ASTM o Rainfill)

- Conteo de ciclos para historias temporales irregulares
- Ciclo: Secuencia pico-valle-pico o valle-pico-valle (XYZ) si  $\Delta \sigma_{YZ} \ge \Delta \sigma_{XY}$
- Tensiones máxima y mínima:  $\sigma_x$  y  $\sigma_y$
- Proceso
  - 1. Reordenar la secuencia: inicio en la tensión máxima
  - 2. Contar y eliminar ciclos
  - 3. Comenzar desde el principio

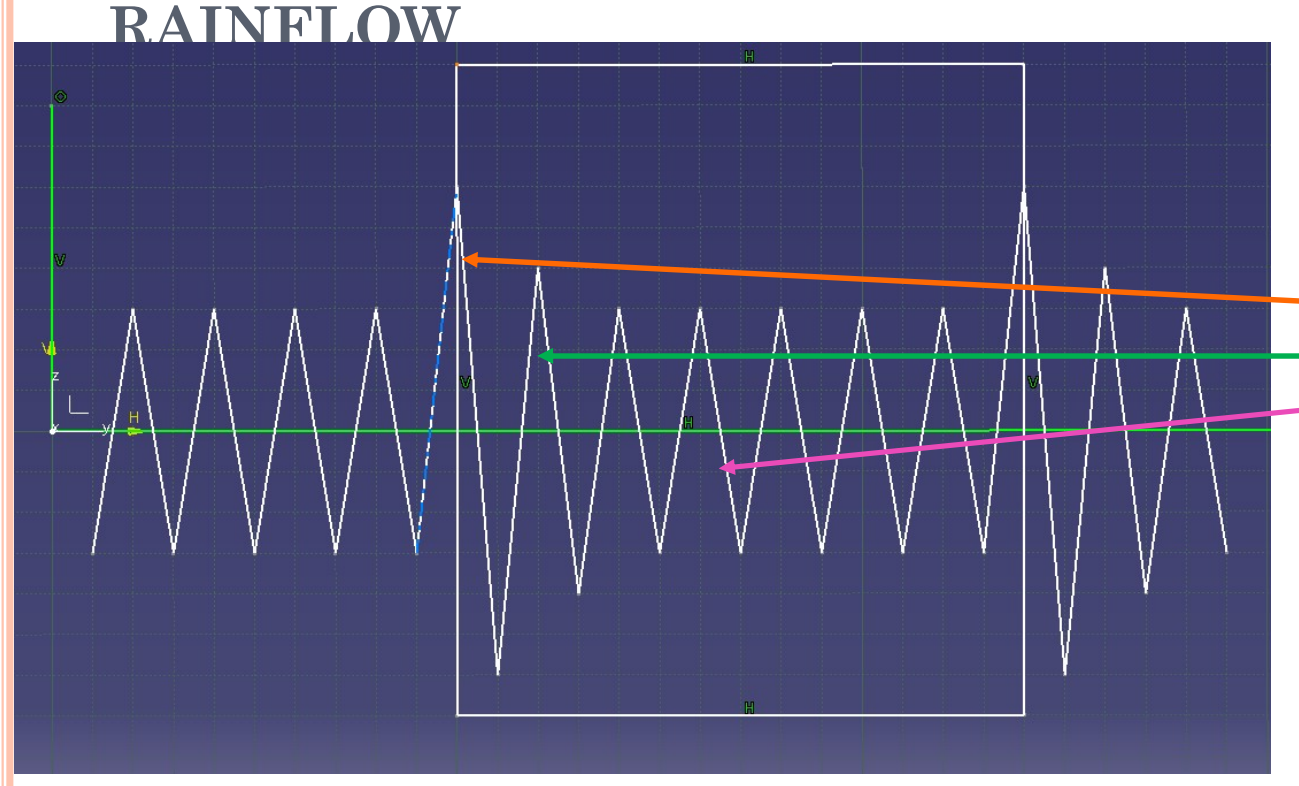


o Método Rainflow. Regla de Miner





 $\sigma_{a2}$ 



Ciclos.

$$-1 - n1 - 1$$
 vez ciclo - n  
-  $2 - n2 - 1$  vez ciclo - n

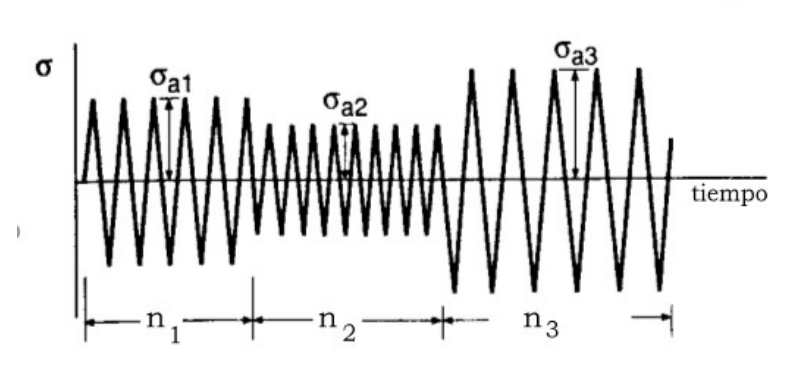
$$= 2 - n2 - 1$$
 vez ciclo - n

$$-3 - n3 - 5$$
 veces ciclo  $-5n$ 

$$\frac{n_1}{N_1} + \frac{n_2}{N_2} + \frac{n_3}{N_3} = 1;$$

$$\frac{n}{N_1} + \frac{n}{N_2} + \frac{5n}{N_3} = 1;$$

$$n\left(\frac{1}{N_1} + \frac{1}{N_2} + \frac{5}{N_3}\right) = 1$$



$$\frac{n_1}{N_1} + \frac{n_2}{N_2} + \frac{n_3}{N_3} + \dots = 1$$

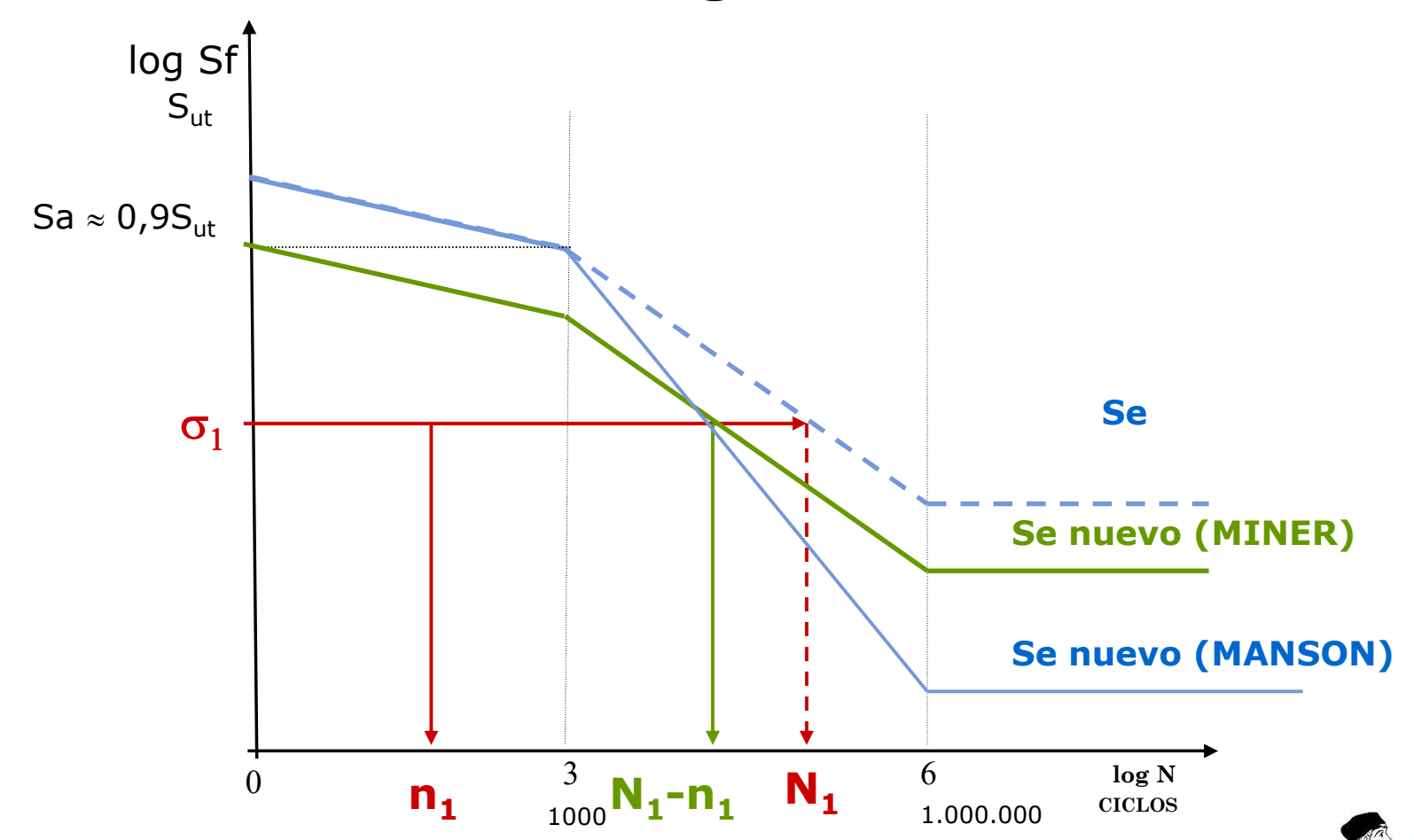
Con coeficiente de seguridad

$$n\left(\frac{1}{N_1} + \frac{1}{N_2} + \frac{5}{N_3}\right) = \frac{1}{CS}$$

N, ciclos hasta el fallo

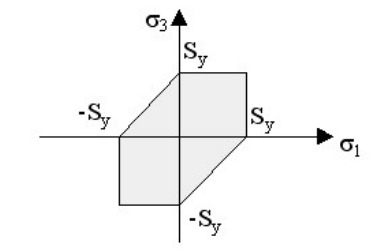


o Método Rainflow. Regla de Miner

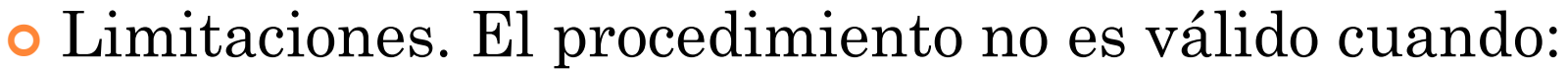


#### 9. TENSIONES MULTIAXIALES

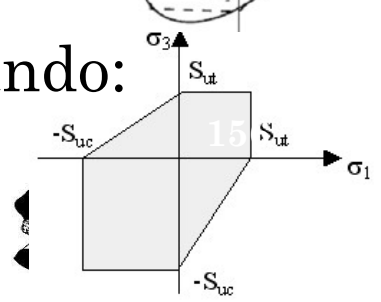
- o Son usuales estados de tensiones complejos
- o Planteamiento mediante tensiones estáticas equivalentes
- o Válido para tensiones en fase o desfasadas 180° (a)
- o Para cada tensión  $(\sigma_x, \sigma_y, \sigma_z, \tau_{xy}, ...)$  se calcula la equivalente estática.  $\sigma_{ieq} = \sigma_{im} + \frac{S_y}{S} \sigma_{ia}$   $\tau_{ieq} = \tau_{im} + \frac{S_{sy}}{S_{cy}} \tau_{ia}$



 Se utiliza un criterio de fallo estático de tensiones multiaxiales (MTT, (máxima tensión tangencial TRESCA), ED (Energía Distorsión Von Misses), ... Coulomb-Mohr)



- Los ejes principales giran durante la carga cíclica
- Diferente frecuencia o fase de las cargas Dr. J. L. O. y MABH



- Considerando los factores modificativos del límite de fatiga Ka, Kb, Kc, Kd y Ke, ¿cuál de las siguientes respuestas es cierta?
  - a) Ninguno de estos factores modificativos del límite de fatiga pueden tomar valores mayores que la unidad
  - b) Ka y Kb pueden tomar valores mayores que la unidad
  - c) Kb y Kd pueden tomar valores mayores que la unidad
  - d) Solamente Ke puede tomar valores mayores que la unidad

Ka: Factor de acabado superficial

Kb: Factor de tamaño

Kc: Factor de modificación de carga

Kd: Factor de temperatura

Ke: Factor de fiabilidad



- Considerando los factores modificativos del límite de fatiga Ka, Kb, Kc, Kd y Ke, ¿cuál de las siguientes respuestas es cierta?
  - a) Ninguno de estos factores modificativos del límite de fatiga pueden tomar valores mayores que la unidad
  - b) Ka y Kb pueden tomar valores mayores que la unidad
  - c) Kb y Kd pueden tomar valores mayores que la unidad
  - d) Solamente Ke puede tomar valores mayores que la unidad

Ka: Factor de acabado superficial

Kb: Factor de tamaño

Kc: Factor de modificación de carga

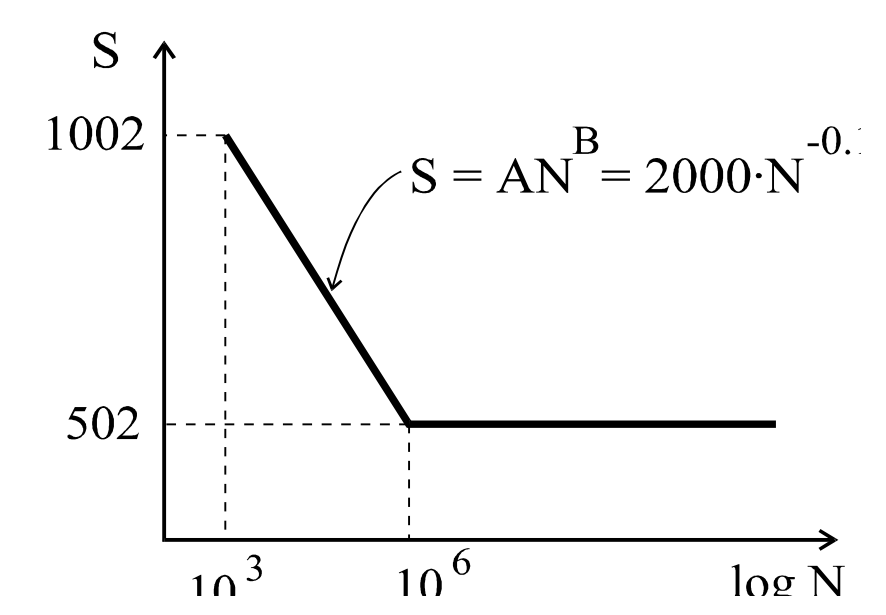
Kd: Factor de temperatura

Ke: Factor de fiabilidad

	$K_b = 1,2$	$24 \cdot d$	-0,107
1,24	3	-0,107	1,10247744

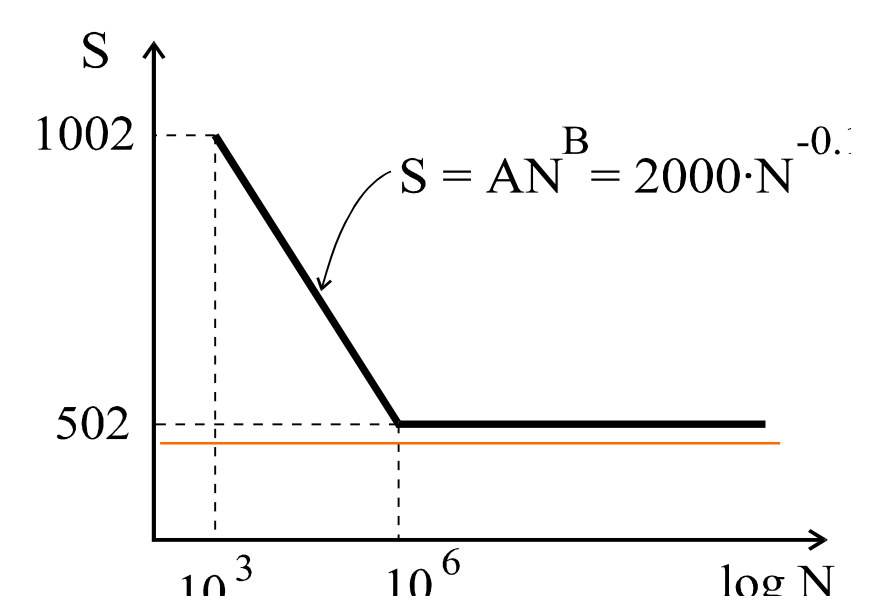


- El diagrama S-N de una probeta de acero es el de la gráfica. Si la probeta se somete a una tensión alternante pura de 450 MPa
  - a) Fallará aproximadamente a los 3·10<sup>6</sup> ciclos.
  - b) Durará más de 3,5 ·10<sup>6</sup> ciclos.
  - c) Durará menos de 2,5 ·10<sup>6</sup> ciclos.





- El diagrama S-N de una probeta de acero es el de la gráfica. Si la probeta se somete a una tensión alternante pura de 450 MPa
  - a) Fallará aproximadamente a los 3·10<sup>6</sup> ciclos.
  - b) Durará más de 3,5·10<sup>6</sup> ciclos.
  - c) Durará menos de 2,5 ·10<sup>6</sup> ciclos.

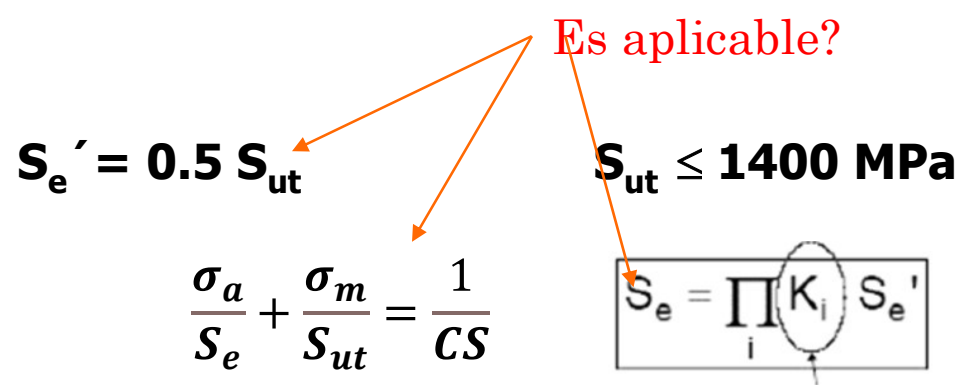




- En una pieza de material dúctil con Su=1000MPa y una entalla (concentrador de tensiones) con Kt=2 sometida a una carga variable  $\sigma_a$ =100MPa y  $\sigma_m$ =200MPa, el coeficiente de seguridad a fatiga, sabiendo que la tensión de fatiga es  $S_N$ =500MPa será:
  - a) 2.5
  - b) 3.333
  - c) 1.167
  - d) 4



- En una pieza de material dúctil con Su=1000MPa y una entalla (concentrador de tensiones) con Kt=2 sometida a una carga variable  $\sigma_a$ =100MPa y  $\sigma_m$ =200MPa, el coeficiente de seguridad a fatiga, sabiendo que la tensión de fatiga es  $S_N$ =500MPa será:
  - a) 2.5
  - b) 3.333
  - c) 1.167
  - d) 4





• En una pieza de material dúctil con Su=1000MPa y una entalla (concentrador de tensiones) con Kt=2 sometida a una carga variable  $\sigma_a$ =100MPa y  $\sigma_m$ =200MPa, el coeficiente de seguridad a fatiga, sabiendo que la tensión de fatiga es  $S_N$ =500MPa será:

a) 
$$2.5$$
  $S_e' = 0.5 S_{ut}$   $S_{ut} \le 1400 MPa$  No dice que sea acero.

b) 3.333 Su=1000MPa Nos dan directamente Sn S = TK

c) 1.167  $S_N=500MPa$ 



$$\frac{\sigma_a}{S_e} + \frac{\sigma_m}{S_{ut}} = \frac{1}{CS}$$

$$\frac{S_e + S_{ut}}{S_{ut}} = \frac{1}{CS}$$

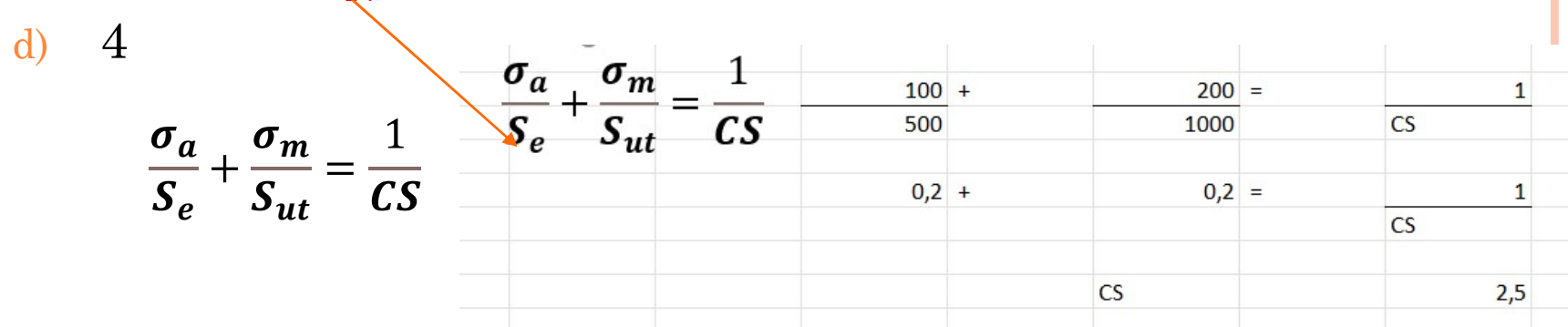


• En una pieza de material dúctil con Su=1000MPa y una entalla (concentrador de tensiones) con Kt=2 sometida a una carga variable  $\sigma_a$ =100MPa y  $\sigma_m$ =200MPa, el coeficiente de seguridad a fatiga, sabiendo que la tensión de fatiga es  $S_N$ =500MPa será:

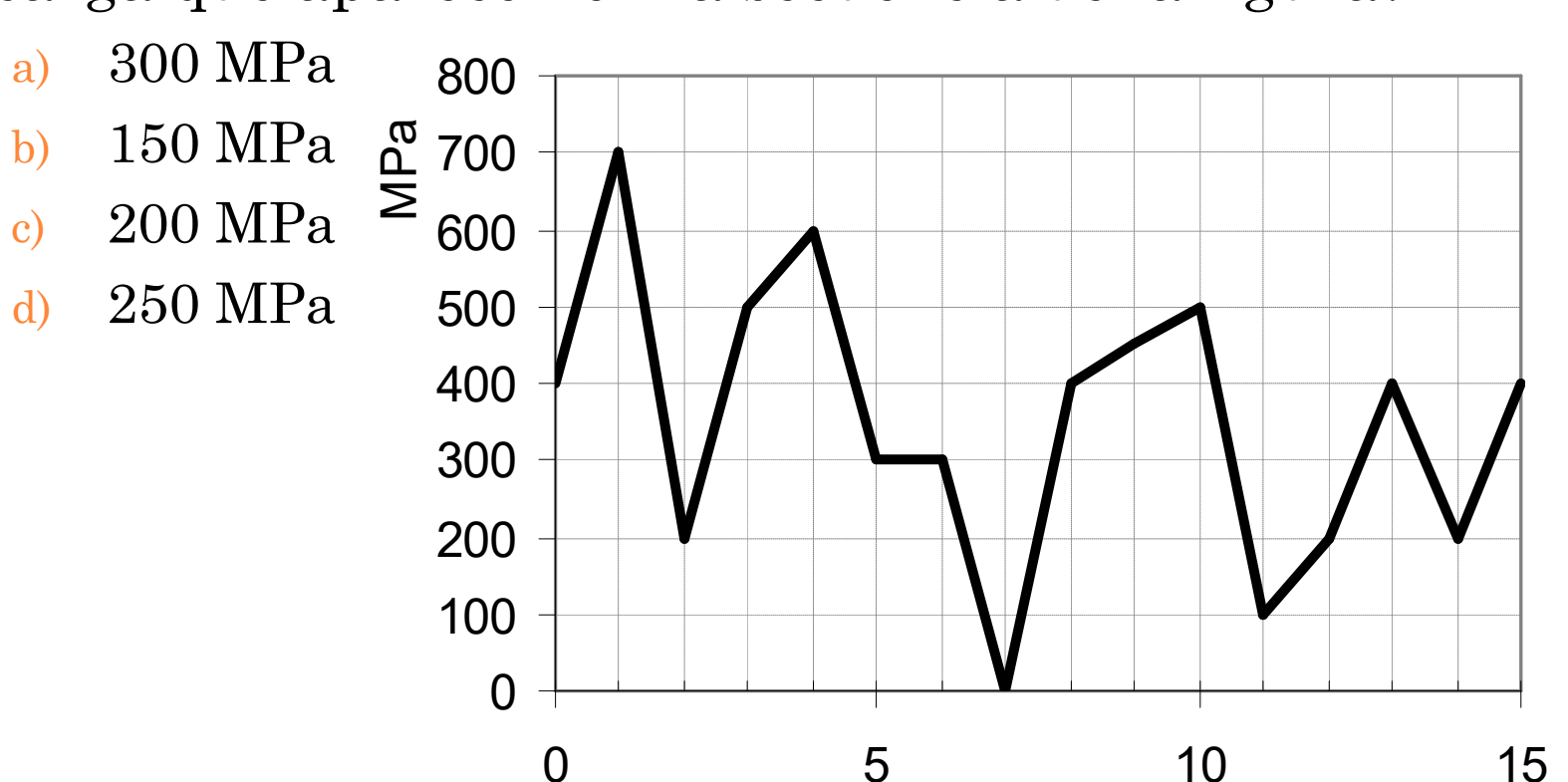
a) 
$$2.5$$
  $S_e' = 0.5 S_{ut}$   $S_{ut} \le 1400 MPa$  No dice que sea acero.

b) 3.333 Su=1000MPa Nos dan directamente Sn S = TK

c) 1.167  $S_N=500MPa$ 



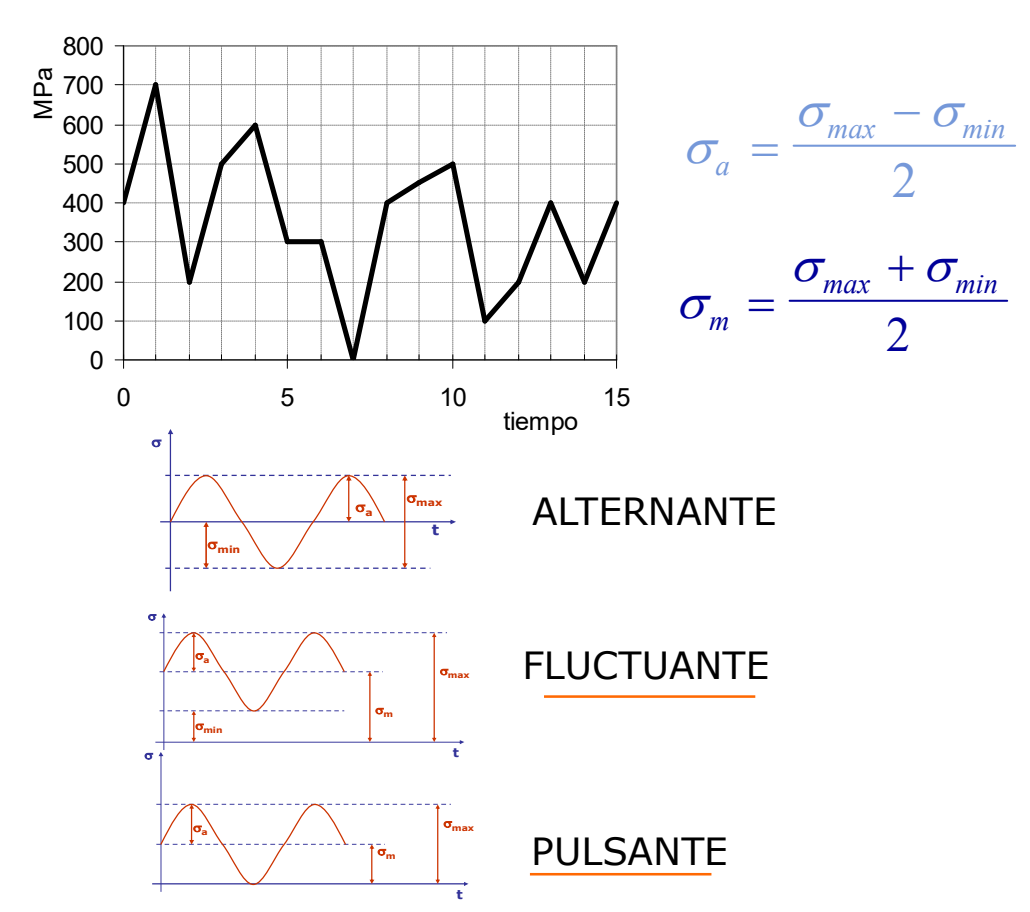
• ¿Cuál es el valor mínimo de tensión media de los tipos de carga que aparecen en la secuencia de la figura?

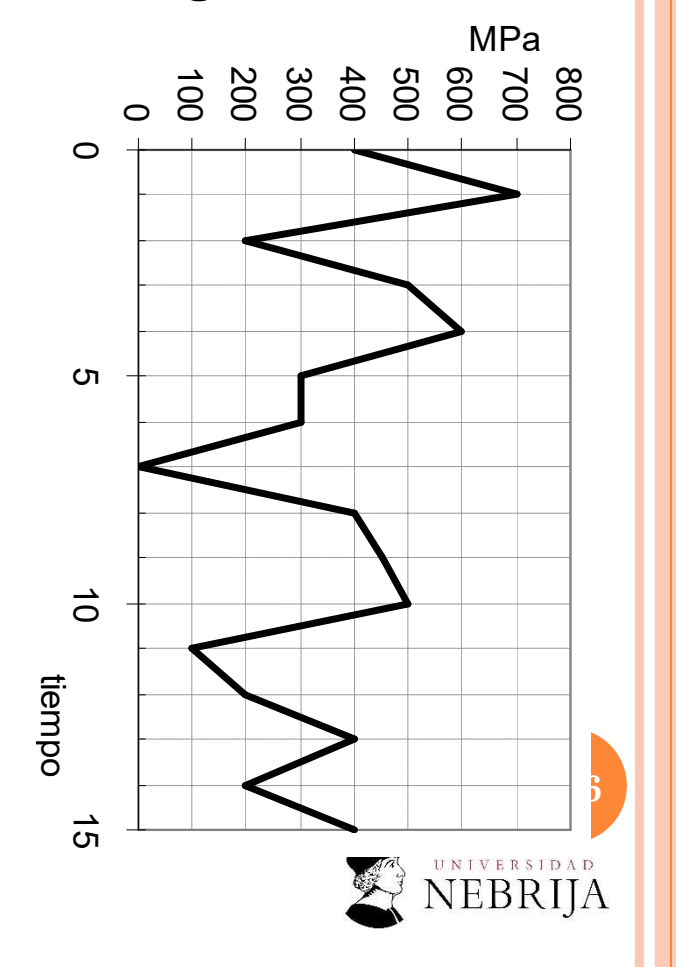


165

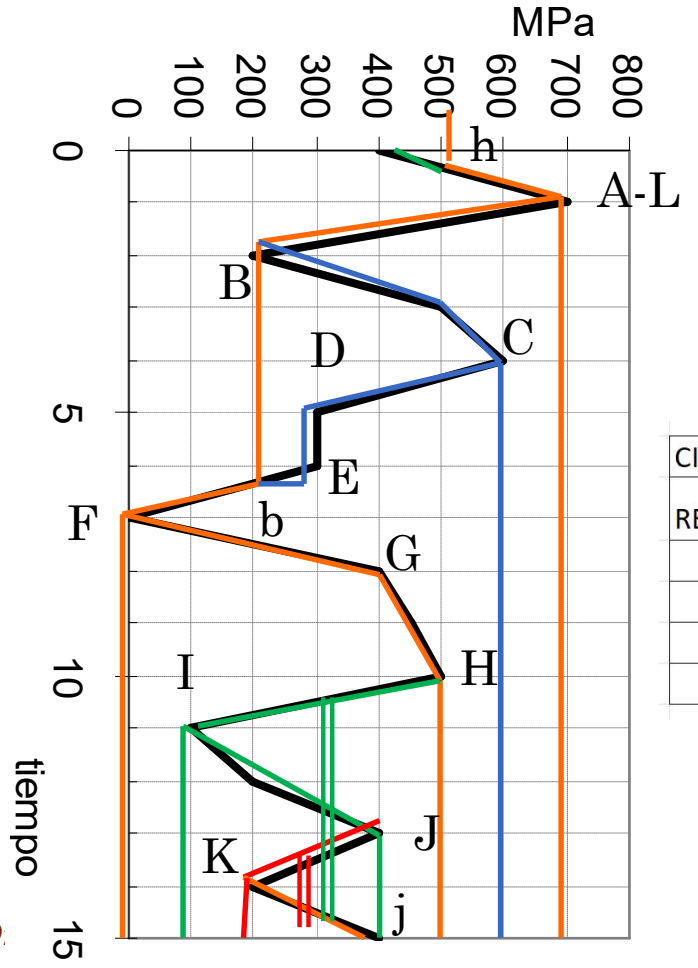
tiempo

• ¿Cuál es el valor mínimo de tensión media de los tipos de carga que aparecen en la secuencia de la figura?





• ¿Cuál es el valor mínimo de tensión media de los tipos de carga que aparecen en la secuencia de la figura?



$$\sigma_a = \frac{\sigma_{max} - \sigma_{min}}{2}$$

$$\sigma_m = \frac{\sigma_{max} + \sigma_{min}}{2}$$

1 A-B-b-F-G-H-h-L=A-B-b-F-H-h-L

2 B-C-D-E-b=B-C-b

3 H-I-J-j-h

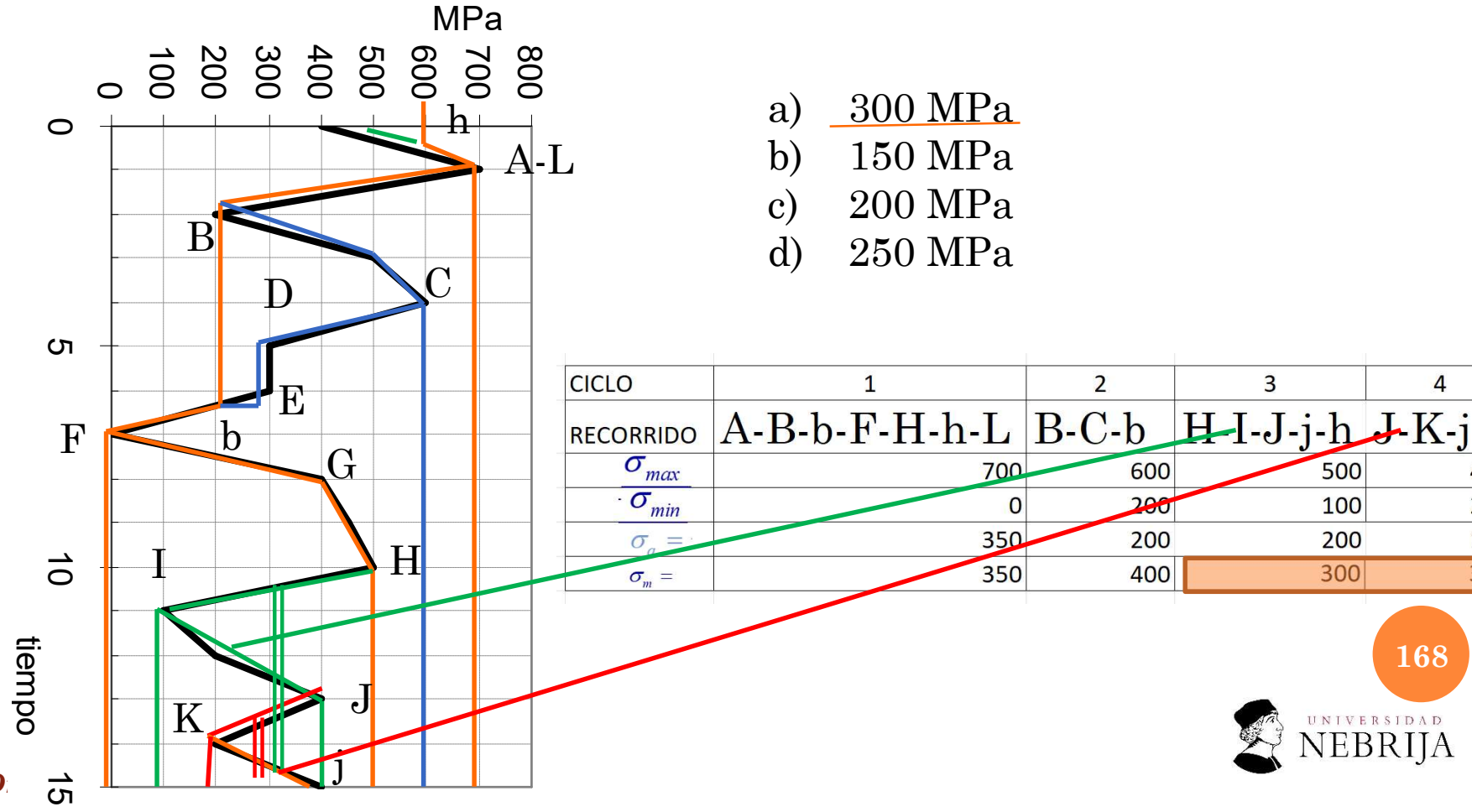
4 J-K-j

CICLO	1	2	3	4
RECORRIDO	A-B-b-F-H-h-L	B-C-b	H-I-J-j-h	J-K-j
$\sigma_{max}$	700	600	500	400
$\sigma_{min}$	0	200	100	200
$\sigma_a = 0$	350	200	200	100
$\sigma_m =$	350	400	300	300





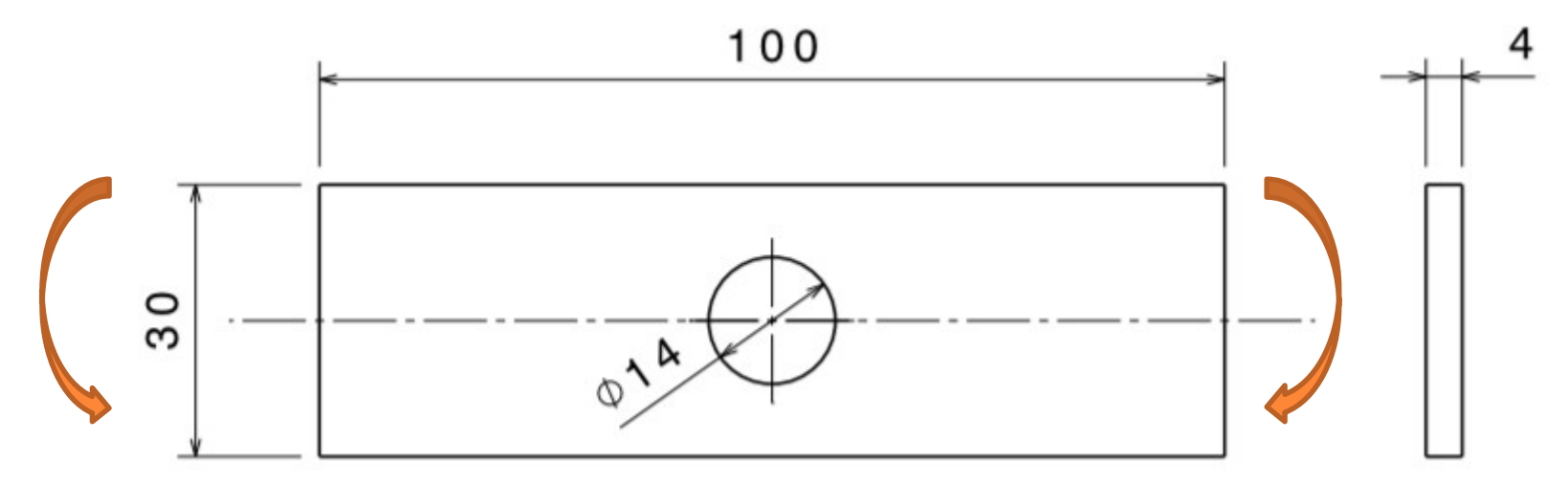
o ¿Cuál es el valor mínimo de tensión media de los tipos de carga que aparecen en la secuencia de la figura?



• Ejemplos 6-1 a 6-20 Shigley.



- Dada una barra de acero AISI 1018 laminada en caliente, sometida a flexión alternante, con una temperatura de operación de 475°C máxima y un factor de confiabilidad del 99.99%
  - 1º Dibuje el diagrama S-N estimado.
  - 2° Si se desea que la pieza aguante 600.000 ciclos ¿Cuál es la máxima tensión teórica que podría soportar?
  - ¿A que valor de flexión corresponde esa tensión?
  - Si deseamos tener un factor de seguridad de 2 con respecto al límite de fatiga del material (para asegurar vida infinita) ¿Cuál será la flexión alternante máxima que podríamos aplicar a la pieza?



Nota: Para obtener las características del acero y para obtener los factores de concentración de tensiones es necesario consultar las tablas A20 y A15, respectivamente, del apéndice A del Shigley. El alumno debe fotocopiar y tener a mano dichos anexos para futuros ejercicios y exámenes.

#### Tabla A-20

Resistencias mínimas determinísticas a la tensión y a la fluencia ASTM de algunos aceros laminados en caliente (HR) y estirados en frío (CD) [Las resistencias listadas son valores ASTM mínimos estimados en el intervalo de tamaños de 18 a 32 mm ( $\frac{3}{4}$  a  $1\frac{1}{4}$  pulg). Estas resistencias resultan adecuadas para usarse con el factor de diseño definido en la sección 1-10, a condición que los materiales se ajusten a los requisitos ASTM Aó o A568 o que se requieran en las especificaciones de compra. Recuerde que un sistema de numeración no es una especificación] Fuente: 1986 SAE Handbook, p. 2.15.

o acero AISI 1018 laminada en caliente

- 1	2	3	4 Paristancia	5 Resistencia a	6	7	8
UNS núm.	SAE y/o AISI núm.	Procesa- miento		la fluencia,	Elongación en 2 pulg, %	Reducción en área, %	Dureza Brinell
G10060	1006	HR	300 (43)	170 (24)	30	55	86
		CD	330 (48)	280 (41)	20	45	95
G10100	1010	HR	320 (47)	180 (26)	28	50	95
		CD	370 (53)	300 (44)	20	40	105
G10150	1015	HR	340 (50)	190 (27.5)	28	50	101
		CD	390 (56)	320 (47)	18	40	111
G10180	1018	HR	400 (58)	220 (32)	25	50	116
		CD	440 (64)	370 (54)	15	40	126
G10200	1020	HR	380 (55)	210 (30)	25	50	111
		CD	470 (68)	390 (57)	15	40	131
G10300	1030	HR	470 (68)	260 (37.5)	20	42	137
		CD	520 (76)	440 (64)	12	35	149
G10350	1035	HR	500 (72)	270 (39.5)	18	40	143
		CD	550 (80)	460 (67)	12	35	163
G10400	1040	HR	520 (76)	290 (42)	18	40	149
		CD	590 (85)	490 (71)	12	35	170
G10450	1045	HR	570 (82)	310 (45)	16	40	163
		CD	630 (91)	530 (77)	12	35	179
G10500	1050	HR	620 (90)	340 (49.5)	15	35	179
		CD	690 (100)	580 (84)	10	30	197
G10600	1060	HR	680 (98)	370 (54)	12	30	201
G10800	1080	HR	770 (112)	420 (61.5)	10	25	229
G10950	1095	HR	830 (120)	460 (66)	10	25	248

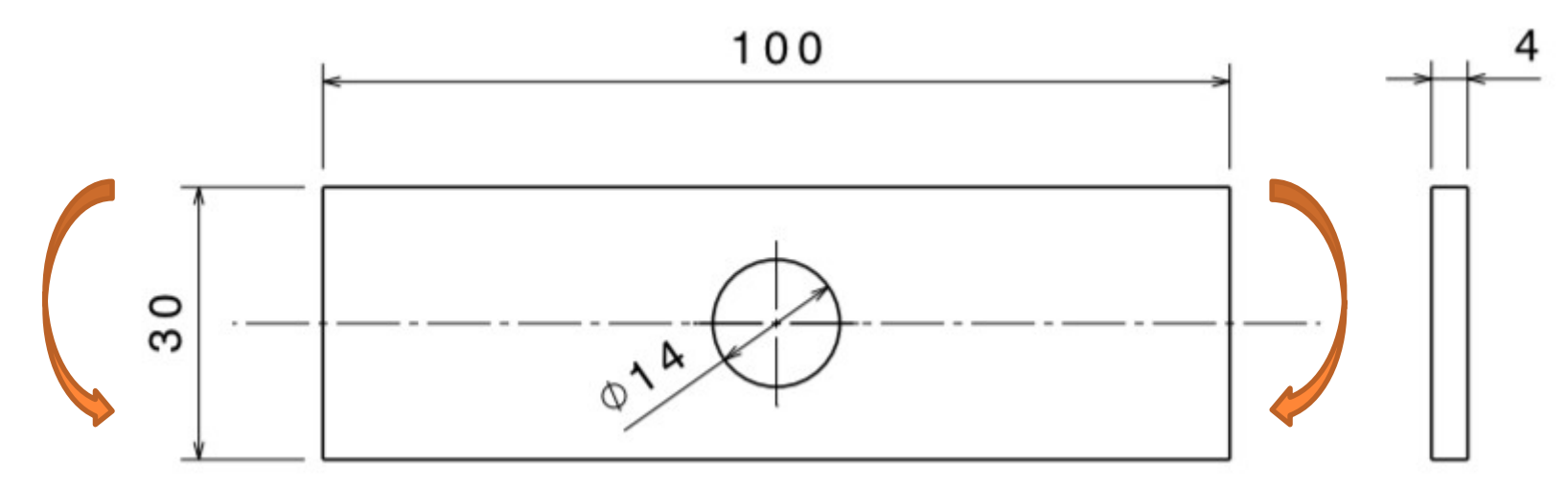
#### Tabla A-20

Resistencias mínimas determinísticas a la tensión y a la fluencia ASTM de algunos aceros laminados en caliente (HR) y estirados en frío (CD). [Las resistencias listadas son valores ASTM mínimos estimados en el intervalo de tamaños de 18 a 32 mm ( $\frac{3}{4}$  a  $1\frac{1}{4}$  pulg). Estas resistencias resultan adecuadas para usarse con el factor de diseño definido en la sección 1-10, a condición que los materiales se ajusten a los requisitos ASTM Aó o A568 o que se requieran en las especificaciones de compra. Recuerde que un sistema de numeración no es una especificación] Fuente: 1986 SAE Handbook, p. 2.15.

- o acero AISI 1018 laminada en caliente
- Su=400 MPa
- Sy=220 MPa

- 1	2	3	4 Posistonsia	5 Resistencia a	6	7	8
UNS núm.	SAE y/o AISI núm.	Procesa- miento		la fluencia,	Elongación en 2 pulg, %	Reducción en área, %	Dureza Brinell
G10060	1006	HR	300 (43)	170 (24)	30	55	86
		CD	330 (48)	280 (41)	20	45	95
G10100	1010	HR	320 (47)	180 (26)	28	50	95
		CD	370 (53)	300 (44)	20	40	105
G10150	1015	HR	340 (50)	190 (27.5)	28	50	101
		CD	390 (56)	320 (47)	18	40	111
G10180	1018	HR	400 (58)	220 (32)	25	50	116
		CD	440 (04)	370 (54)	15	40	126
G10200	1020	HR	380 (55)	210 (30)	25	50	111
		CD	470 (68)	390 (57)	15	40	131
G10300	1030	HR	470 (68)	260 (37.5)	20	42	137
		CD	520 (76)	440 (64)	12	35	149
G10350	1035	HR	500 (72)	270 (39.5)	18	40	143
		CD	550 (80)	460 (67)	12	35	163
G10400	1040	HR	520 (76)	290 (42)	18	40	149
		CD	590 (85)	490 (71)	12	35	170
G10450	1045	HR	570 (82)	310 (45)	16	40	163
		CD	630 (91)	530 (77)	12	35	179
G10500	1050	HR	620 (90)	340 (49.5)	15	35	179
		CD	690 (100)	580 (84)	10	30	197
G10600	1060	HR	680 (98)	370 (54)	12	30	201
G10800	1080	HR	770 (112)	420 (61.5)	10	25	229
G10950	1095	HR	830 (120)	460 (66)	10	25	248

- Dada una barra de acero AISI 1018 laminada en caliente, sometida a flexión alternante, con una temperatura de operación de 475°C máxima y un factor de confiabilidad del 99.99%
  - 1º Dibuje el diagrama S-N estimado.
  - Su=400 MPa
  - Sy=220 Mpa.
  - Flexión alternante,



Nota: Para obtener las características del acero y para obtener los factores de concentración de tensiones es necesario consultar las tablas A20 y A15, respectivamente, del apéndice A del Shigley. El alumno debe fotocopiar y tener a mano dichos anexos para futuros ejercicios y exámenes.

- Valor de Sm (en 10<sup>3</sup> ciclos) ¿Cómo se obtiene?
  - Bibliografía
  - Ensayos anteriores
  - Aproximaciones

A flexión

 $S_m = 0.9 S_{ut}$ 

<u>Axial</u>

**Sm= 0.75 Sut** 

Dada una barra de acero AISI 1018 laminada en caliente, sometida a flexión alternante, 1º Dibuje el diagrama S-N estimado.

Su=400 MPa Sy=220 Mpa.

Flexión alternante,.

En función esfuerzo



- Valor de Sm (en 10<sup>3</sup> ciclos) ¿Cómo se obtiene?
  - Bibliografía
  - Ensayos anteriores
  - Aproximaciones

A flexión

 $S_m = 0.9 S_{ut}$ 

<u>Axial</u>

**Sm= 0.75 Sut** 

Dada una barra de acero AISI 1018 laminada en caliente, sometida a flexión alternante, Su=400 MPa Sy=220 Mpa. Flexión alternante,.

En función esfuerzo



o Valor de S'e (en 10<sup>6</sup> ciclos). ¿Cómo se obtiene?

Bibliografía

Dada una barra de acero AISI 1018 laminada en caliente, sometida a flexión alternante,

• Ensayos anteriores

Su=400 MPa

Aproximaciones

Sy=220 Mpa. Flexión alternante,.

<u>Aceros</u>

$S_e'$	=	0.5 S <sub>ut</sub>
		700 MPa

 $S_{ut} \le 1400 \text{ MPa}$  $S_{ut} \ge 1400 \text{ MPa}$ 

<u>Hierros</u>

S <sub>e</sub> ':	= (	).4 \$	S <sub>ut</sub>
<b>S</b> <sub>e</sub> ':	= 1	<b>L60</b>	<b>MPa</b>

 $S_{ut} \le 400 \text{ MPa}$  $S_{ut} \ge 400 \text{ MPa}$ 

**Aluminios** 

$$S_{e}' = 0.4 S_{ut}$$
  
 $S_{e}' = 130 MPa$ 

 $S_{ut} \le 330 \text{ MPa}$  $S_{ut} \ge 330 \text{ MPa}$ 

Aleaciones cobre

$$S_{e}' = 0.4 S_{ut}$$
  
 $S_{e}' = 100 MPa$ 

$$S_{ut} \le 280 \text{ MPa}$$
  
 $S_{ut} \ge 280 \text{ MPa}$ 

UNIVERSIDAD NEBRIJA

En función material

• Valor de S'e (en 10<sup>6</sup> ciclos). ¿Cómo se obtiene?

Bibliografía

Dada una barra de acero AISI 1018 laminada en caliente, sometida a flexión alternante,

Ensayos anteriores

Su=400 MPa

Aproximaciones

Sy=220 Mpa.

Flexión alternante,.

**Aceros** 

	$S_{e}' = 0.5 S_{ut}$	$S_{ut} \leq 1400 \text{ MPa}$
	$S_{e}' = 0.5 S_{ut}$ $S_{e}' = 700 MPa$	<b>S</b> <sub>ut</sub> ≥ <b>1400</b> MPa
<u>Hierros</u>	_	
	$S_e' = 0.4 S_{ut}$	$S_{ut} \leq 400 MPa$
	$S_{\rm e}^{\rm r}$ = 160 MPa	$S_{ut} \ge 400 MPa$
<u>Aluminios</u>	-	
	$S_e' = 0.4 S_{ut}$ $S_e' = 130 MPa$	$S_{ut} \leq 330 MPa$
	$S_e' = 130 \text{ MPa}$	$S_{ut} \ge 330 MPa$
<u>Aleaciones cobre</u>		
	$S_e' = 0.4 S_{ut}$	$S_{ut} \leq 280 MPa$
	$S_e' = 0.4 S_{ut}$ $S_e' = 100 MPa$	$S_{ut} \ge 280 MPa$
_	•	

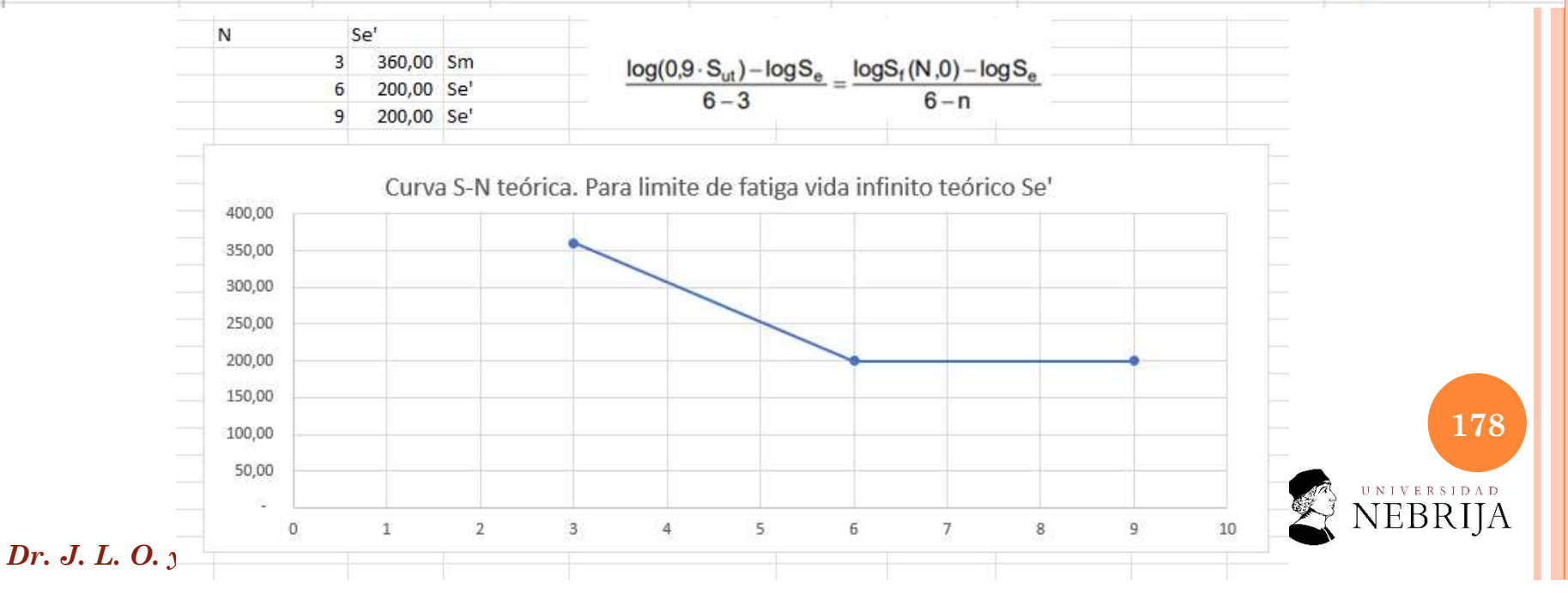
NEBRIJA

177

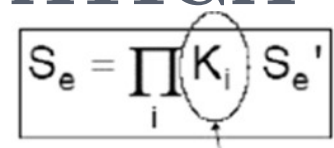
En función material

- Dada una barra de acero AISI 1018 laminada en caliente, sometida a flexión alternante, con una temperatura de operación de 475°C máxima y un factor de confiabilidad del 99.99%
  - 1º Dibuje el diagrama S-N estimado.

Acero AISI 10	18							
laminado en	caliente							
Sut=	400	Мра						
Sy=	220	Мра						
1	Sm	Flexión	Sm= 0.9 Sut	0,9	360	360		Mpa
	S'e							
1	Aceros	Se'= 0.5 Sut	Sut < 1400 MPa	200	S'e=	200	Мра	



6. ECUACIÓN DE MARIN  $S_e = \prod_i (K_i) S_{e'}$ 



Sut en MPa

Si\Ka>1 -> Ka=1

#### Ka: Factor de acabado superficial

o Probeta pulida (a espejo) con pulimento fino en dirección axial

Pieza real

Hierro Fundido

• Peor acabado superficial 
$$\Rightarrow \downarrow$$
 Se

$$Ka=1$$

 $K_a = a \cdot S_{ut}^b$ 

o Mayor rugosidad en la superficie que produce un fenómeno de concentración de tensiones

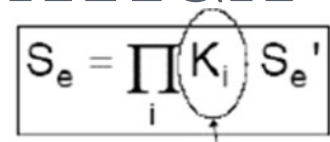
<u>Función de</u>:

Dada una barra de acero AISI 1018 laminada en caliente,

- Calidad del acabado superficial
- Resistencia última del material ( $\uparrow Su \Rightarrow \sqrt{Se}$ )
- Para ciclos bajos (<1000) se puede tomar siempre Ka=1

Acabado superficial	Coeficiente a ( MPa)	Exponente b	
Pulido	1	0	
Acabado fino (esmerilado, rectificado, )	1.58	-0.085	
Mecanizado sin acabar/estirado en frío	4.51	-0.265	179
Laminado en caliente	57.7	-0.718	179
Forjado	272	-0.995	EBRIIA

6. ECUACIÓN DE MARIN  $S_e = \prod_i (K_i) S_{e'}$ 



Sut en MPa

#### Ka: Factor de acabado superficial

o Probeta pulida (a espejo) con pulimento fino en dirección axial

Pieza real

Hierro Fundido

• Peor acabado superficial 
$$\Rightarrow \downarrow$$
 Se

$$Ka=1$$

 $K_a = a \cdot S_{ut}^b$ 

o Mayor rugosidad en la superficie que produce un fenómeno de concentración de tensiones

<u>Función de</u>:

• Calidad del acabado superficial

Dada una barra de acero AISI 1018 laminada en caliente,

• Resistencia última del material ( $\uparrow Su \Rightarrow \sqrt{Se}$ )

• Para ciclos bajos (<1000) se puede tomar siempre Ka=1

Acabado superficial	Coeficiente a ( MPa)	Exponente	b	
Pulido	1	0		
Acabado fino (esmerilado, rectificado, )	1.58	-0.085	Ka = 0.781	
Mecanizado sin acabar/estirado en frío	4.51	-0.265	Ka- 0,761	180
Laminado en caliente	57.7	-0.718		100
Forjado	272	-0.995	ŢŢ	VERSIDAD EBRIIA

## 6. ECUACIÓN DE MARIN



- Ensayo de probeta rotatoria
  - Probeta con sección circular, diámetro normalizado (7.5 a 12.5 mm)
- Pieza real
  - Sección circular / diámetro diferente
  - En  $10^3$ : Kb = 1 (no influye el tamaño)
  - En 10<sup>6</sup>: el diámetro de probeta influye en flexión y torsión, no con carga axial
- Flexión / Torsión [Shigley. Pag. 280]

- Carga Axial
  - **Kb=1** (Sólo para sección circular. Pero ver Kc)



100

#### o Kb: Factor de tamaño

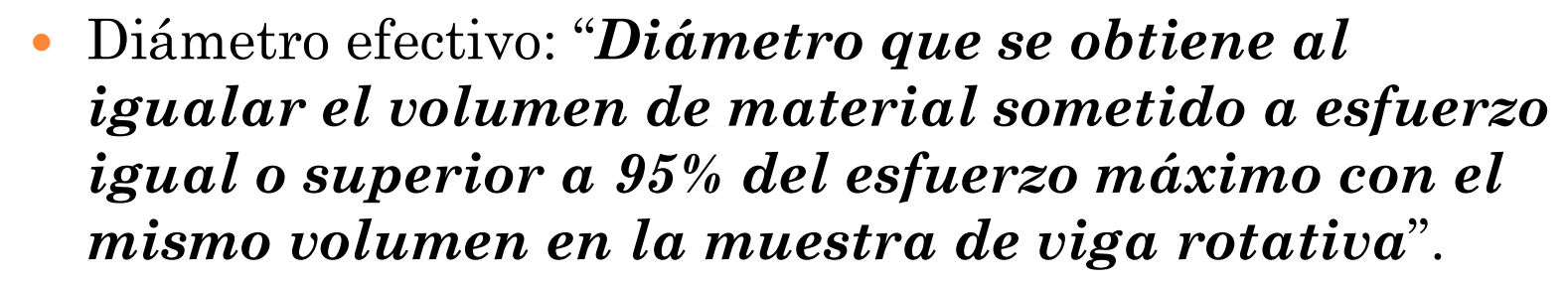
- Ensayo de probeta rotatoria
  - Probeta con sección circular, diámetro normalizado (7.5 a 12.5 mm)
- Pieza real
  - Sección circular / diámetro diferente
  - En  $10^3$ : Kb = 1 (no influye el tamaño)
  - En 10<sup>6</sup>: el diámetro de probeta influye en flexión y torsión, no con carga axial
- Flexión / Torsión [Shigley. Pag. 280]

- Carga Axial
  - **Kb=1** (Sólo para sección circular. Pero ver Kc)



## 6. ECUACIÓN DE MARIN





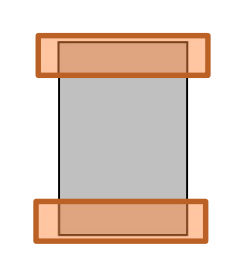
Sección de viga <u>rotatoria (caso más crítico</u>)

$$A_{0,95} = \frac{\pi}{4} \left[ d^2 - (0.95 \cdot d)^2 \right] = 0.0766 \cdot d^2$$
 (1)

 Sección rectangular hxb (Ejemplo sólo para **flexión**)

$$A_{0.95} = 0.05 \cdot h \cdot b$$

(II)



SECCIÓN NO **CIRCULAR** (Ejemplo: Sección rectangular)

100



(1) = (11) 
$$d_e = 0.808 \cdot (h \cdot b)^{\frac{1}{2}}$$

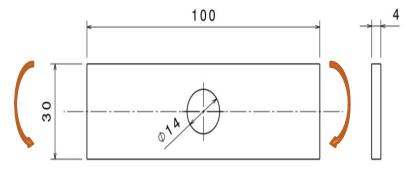


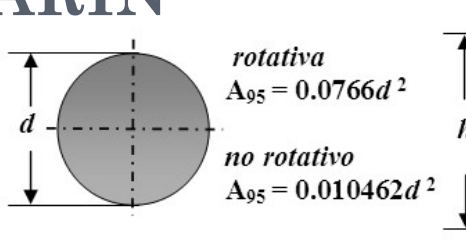
 $d_e = 0.808 \cdot (h \cdot b)^{\frac{1}{2}}$ 

## RESISTENCIA A LA FATIGA

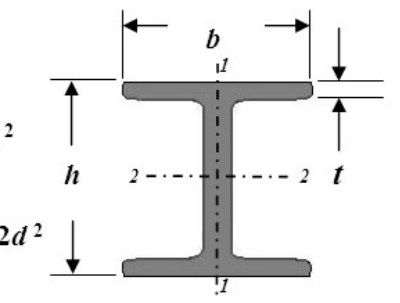
6. ECUACIÓN DE MARIN

o Kb: Factor de tamaño





a) Redondo sólido o hueco



no rotativo

no rotativo  $A_{95 \, 1.1} = 0.05bh$ ,

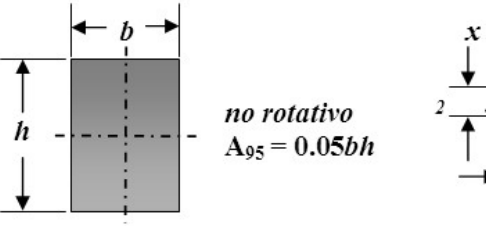
t > 0.025b

 $A_{95 2.2} = 0.05bx + t(h-x)$ 

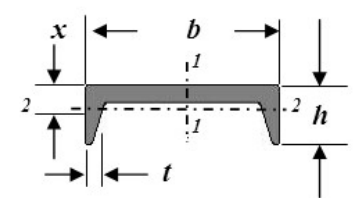
 $A_{95 \ 1-1} = 0.10bt$ 

 $A_{95 2-2} = 0.05bh,$ t > 0.025b

b) Viga en I



c) Rectangular sólido



d) Viga en I

1 Sección cuadrada		b	30	mm	n	4	mm
	nr.						
		4	$\pi_{r,j^2}$ (0.0	5.4\21 0.0766.42			
	*	$A_{0.95\sigma} =$	$\frac{1}{4}[a^{2} - (0.9)]$	$[5d)^2] = 0.0766d^2$			
	d2	-0,95^d2	d2-(0,95d)^2	PI/4	A0.95 Cil rot		
	1	0,9025	0,0975	0,7854	0,0766		
				0,0766			
	A0.95 Cil rot	=	A0.95 Rectang	gular			

Dr. J.

184

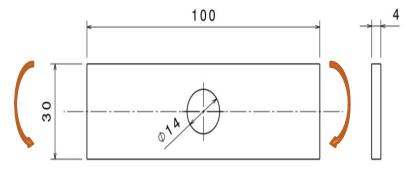
NEBRIJA

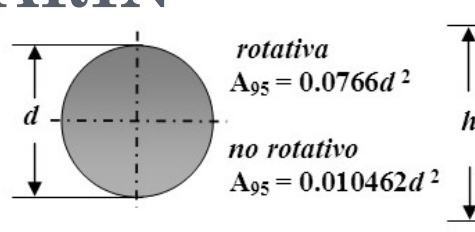
 $d_e = 0.808 \cdot (h \cdot b)^2$ 

## RESISTENCIA A LA FATIGA

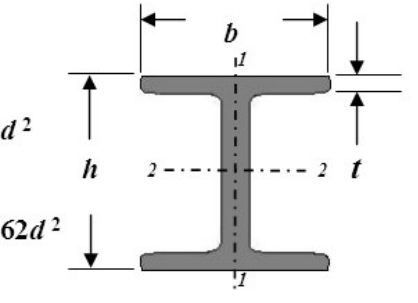
6. ECUACIÓN DE MARIN

## o Kb: Factor de tamaño





a) Redondo sólido o hueco



no rotativo

no rotativo  $A_{95 \, 1-1} = 0.05bh$ ,

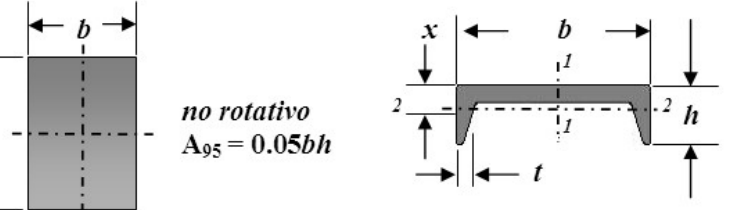
t > 0.025b

 $A_{95 2.2} = 0.05bx + t(h-x)$ 

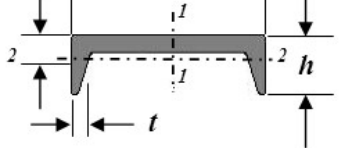
 $A_{95 \text{ 1-1}} = 0.10bt$ ,  $A_{952-2} = 0.05bh$ ,

t > 0.025b

b) Viga en I



c) Rectangular sólido



d) Viga en I

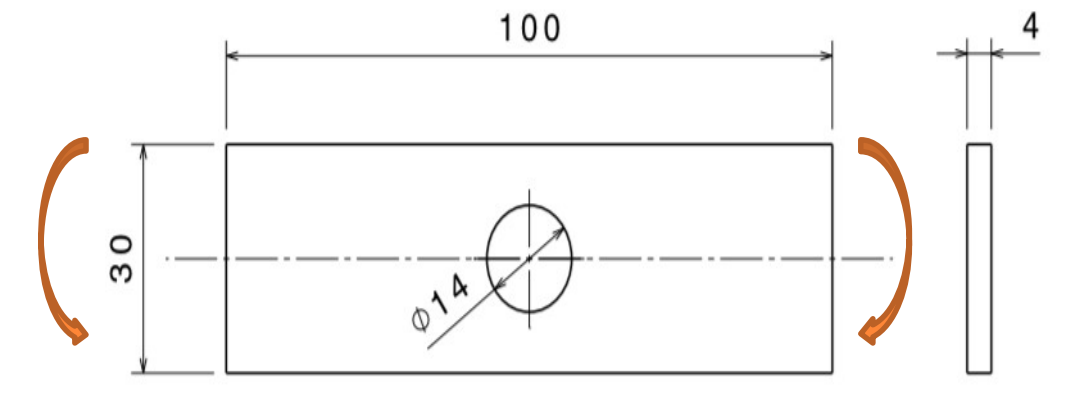
	1 Sección cuad	rada	b	30	mm	h	4	mm	
		255°	$A_{0.95\sigma} = \frac{\pi}{4} [d^2 - (0.95d)^2] = 0.076$		$[5d)^2] = 0.0766d^2$				
		d2	-0,95^d2	d2-(0,95d)^2	PI/4	A0.95 Cil rot			
		1	0,9025	0,0975	0,7854	0,0766			
					0,0766				
		A0.95 Cil rot	=	A0.95 Rectang	gular				105
	0,0766	de2	=	0,05	hb	tabla			185
		de2	=	0,653	hb	b	h	hb^1/2	
		de	=:	0,808	hb^1/2	30	-4	10,95	NEBRIJA
. J.					de=	0,808	10,95	8,85	

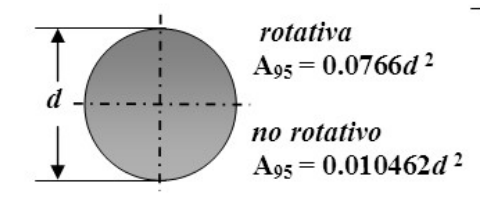
 $d_e = 0.808 \cdot (h \cdot b)^{\frac{1}{2}}$ 

## RESISTENCIA A LA FATIGA

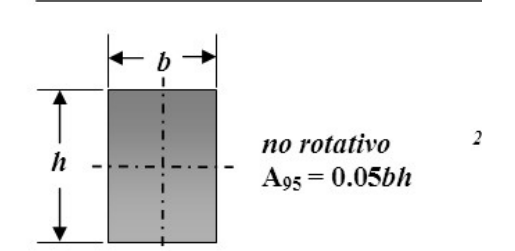
## 6. ECUACIÓN DE MARIN

o Kb: Factor de tamaño





a) Redondo sólido o hueco



c) Rectangular sólido

2,79 ≤ d (mm) ≤ 51		
51 ≤ d(mm) ≤ 254		
d(mm) > 254		

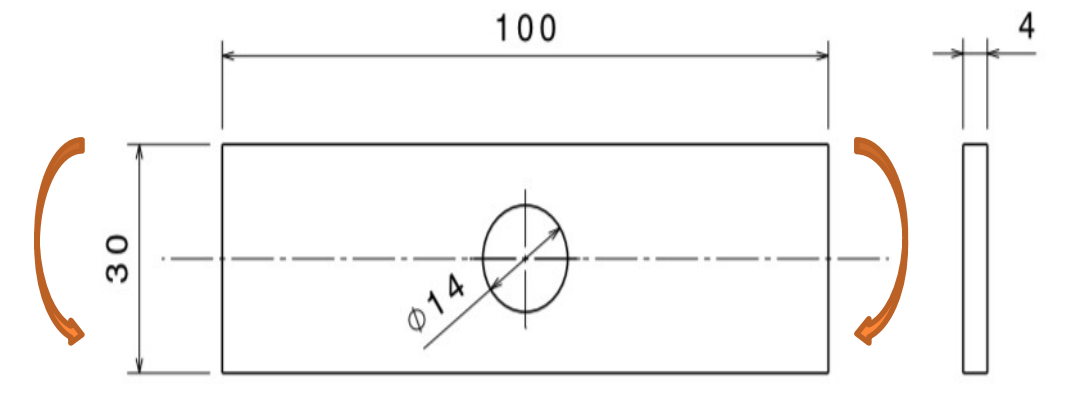
0,808	10,95	8,85
$K_b = 1,2$	24 · d <sup>-0,107</sup>	
$K_b = 1,5$	51 · d <sup>-0,157</sup>	
$K_b = 0,6$		

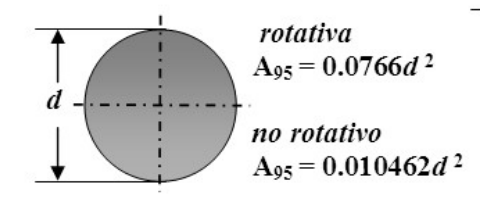


$$d_e = 0.808 \cdot (h \cdot b)^{\frac{1}{2}}$$

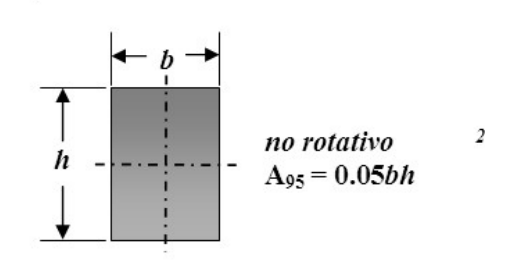
## 6. ECUACIÓN DE MARIN

o Kb: Factor de tamaño





a) Redondo sólido o hueco

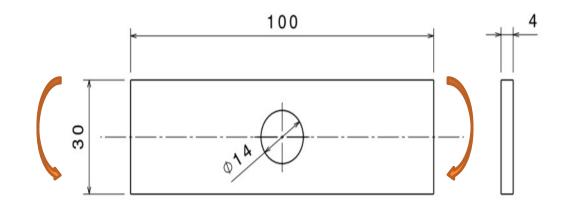


c) Rectangular sólido

			de=	0,808	10,95	8,85
2,79 ≤ d (mm) ≤ 51	1	1,240	0,98	$K_b = 1$	24 · d <sup>-0,107</sup>	
	-	0,107	- 1	$K_{i} = 1$	51 · d <sup>-0,157</sup>	
$51 \le d(mm) \le 254$	0	1,510	-	1 b	- 4	
	-	0,157		$K_b = 0, \epsilon$	5	
d(mm) > 254	0	0,600		Kb - 0,0		
	K	b	0,98			

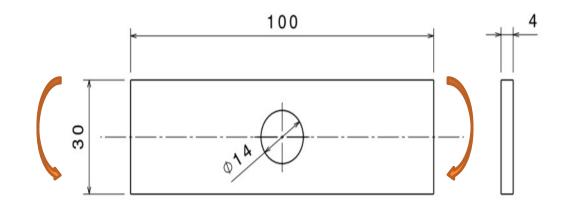


- o Kc: Factor de modificación de carga
  - Carga a flexión: **Kc** = 1
  - Carga axial: Kc = 0.85 (Otros autores Kc=0.7)
  - Carga torsión (sólo para fatiga torsional): Kc = 0.59
  - Carga torsión combinada con flexión: **Kc** =1





- o Kc: Factor de modificación de carga
  - Carga a flexión: Kc = 1
  - Carga axial: Kc = 0.85 (Otros autores Kc=0.7)
  - Carga torsión (sólo para fatiga torsional): Kc = 0.59
  - Carga torsión combinada con flexión: **Kc** =1





## o Kd: Factor de temperatura

475°C

- Aplicable también para ciclos bajos (<1000)
- Fórmulas únicamente para Aceros

Norton Pag. 381

 $\circ$  T  $\leq 450^{\circ}$ C

 $K_d=1$ 

•  $450^{\circ}\text{C} \le \text{T} \le 550^{\circ}\text{C}$ 

 $K_d = 1-0,0058 \cdot (T-450)$ 

- No debe utilizarse para otros materiales
- Para temperaturas mayores la termofluencia adquiere un valor significativo y la curva S-N ya no tendrá un codo.
- Nota. Criterio diferente en Shigley Pag. 283.



## o Kd: Factor de temperatura

475°C

- Aplicable también para ciclos bajos (<1000)</li>
- Fórmulas únicamente para Aceros

Norton Pag. 381

$$\circ$$
 T  $\leq 450^{\circ}$ C

$$K_d=1$$

• 
$$450^{\circ}\text{C} \le \text{T} \le 550^{\circ}\text{C}$$

$$K_d$$
=1-0,0058·(T-450)

- No debe utilizarse para otros materiales
- Para temperaturas mayores la termofluencia adquiere un valor significativo y la curva S-N ya no tendrá un codo.
- Nota. Criterio diferente en Shigley Pag. 283.

Kd: Factor	T ≤ 450°C	0		1 0	
T₫	450ºC ≤ T ≤ 550ºC	1	Kd=1-0,0058·(T-450)	0,855	
475			Kd	0,855	
				Kd	0,855

99,99%

### o Ke: Factor de fiabilidad

Fiabilidad	Factor de fiabilidad Kc
0.5	1
0.9	0.897
0.95	0.868
0.99	0.814
0.999	0.753
0.9999	0.702
0.99999	0.659
0.999999	0.620
0.9999999	0.584
0.9999999	0.551
0.99999999	0.520



99,99%

### o Ke: Factor de fiabilidad

Fiabilidad	Factor de fiabilidad Kc	
0.5	1	
0.9	0.897	
0.95	0.868	
0.99	0.814	
0.999	0.753	
0.9999	0.702	
0.99999	0.659	
0.999999	0.620	
0.9999999	0.584	
0.99999999	0.551	
0.999999999	0.520	



## 6. ECUACIÓN DE MARIN

- Dada una barra de acero AISI 1018 laminada en caliente, sometida a flexión alternante, con una temperatura de operación de 475°C máxima y un factor de confiabilidad del 99.99%
  - 1° Dibuje el diagrama S-N estimado.

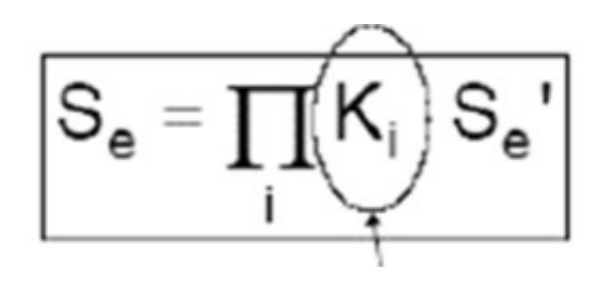
• Ka: Acabado superficial. Ka= 0,781

• Kb: Factor de tamaño. Carga Axial. **Kb=0,98** 

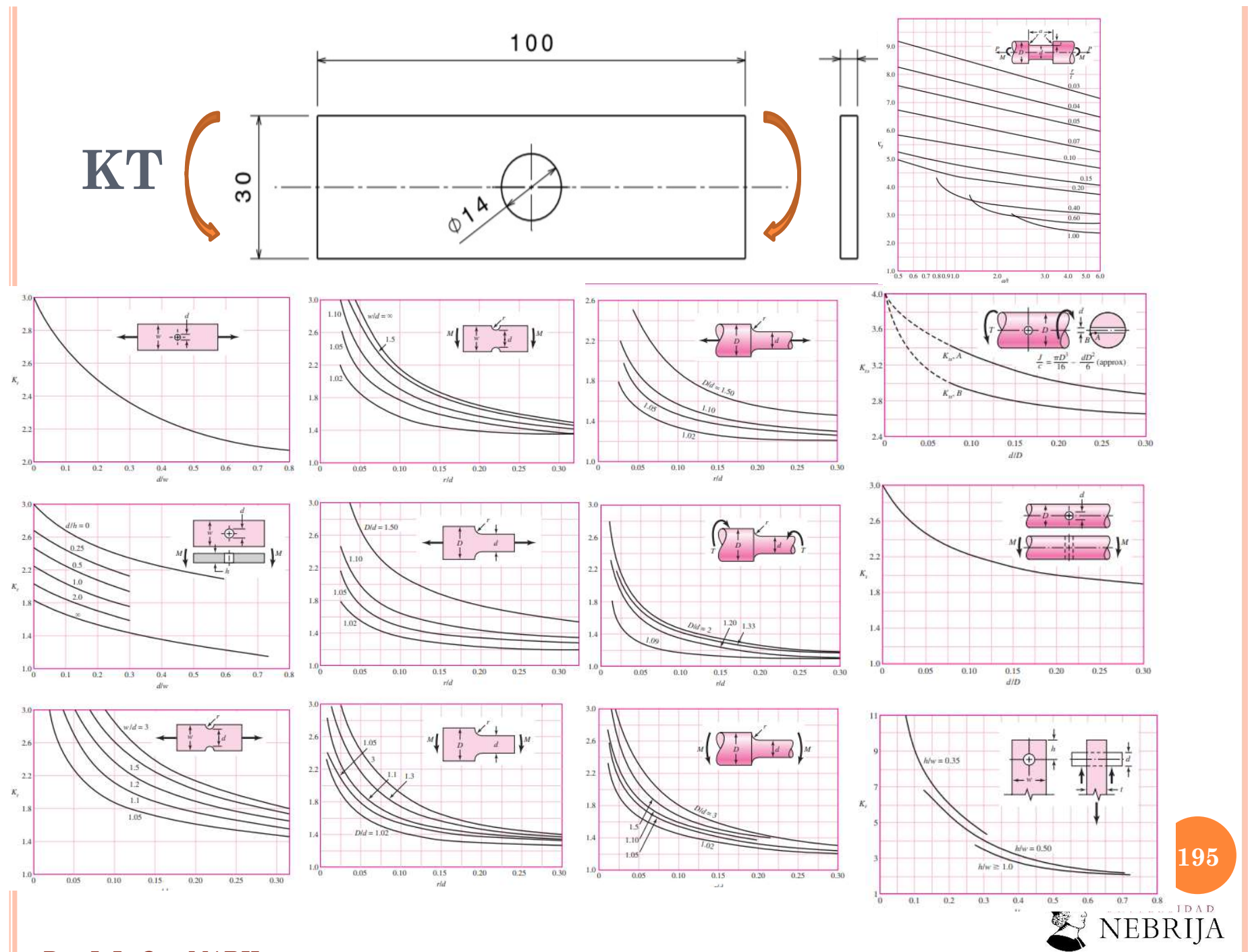
• Kc: Factor de modificación de carga. Carga axial: Kc = 1

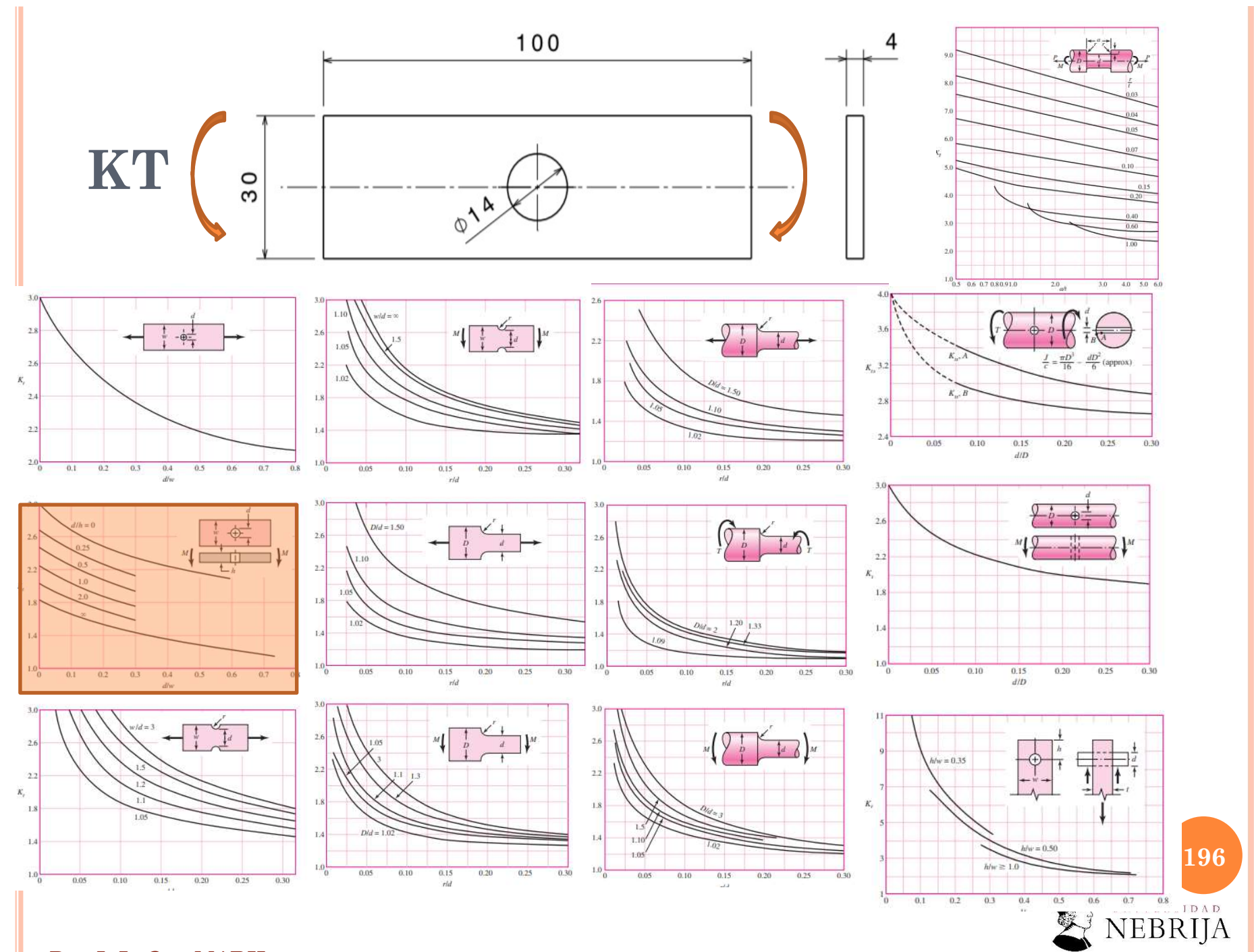
• Kd: Factor de temperatura.  $T^a = 60^{\circ}C T \le 450^{\circ}C$  Kd= 0,855

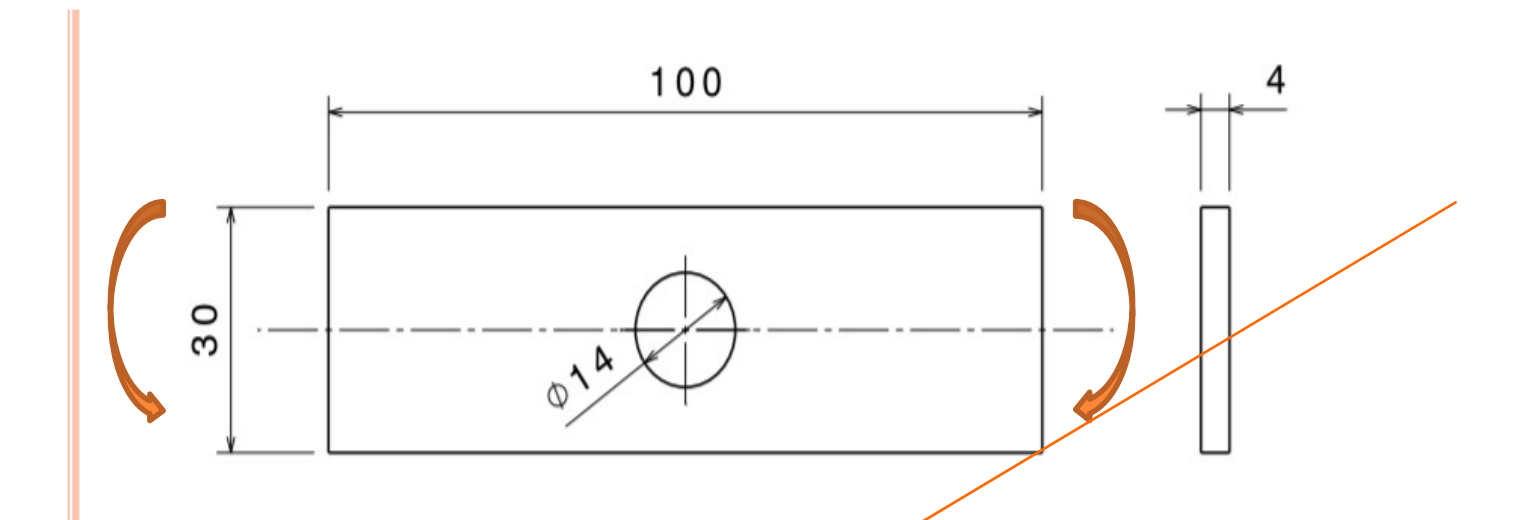
• Ke: Factor de fiabilidad. Fiabilidad de 99% Ke= 0,702









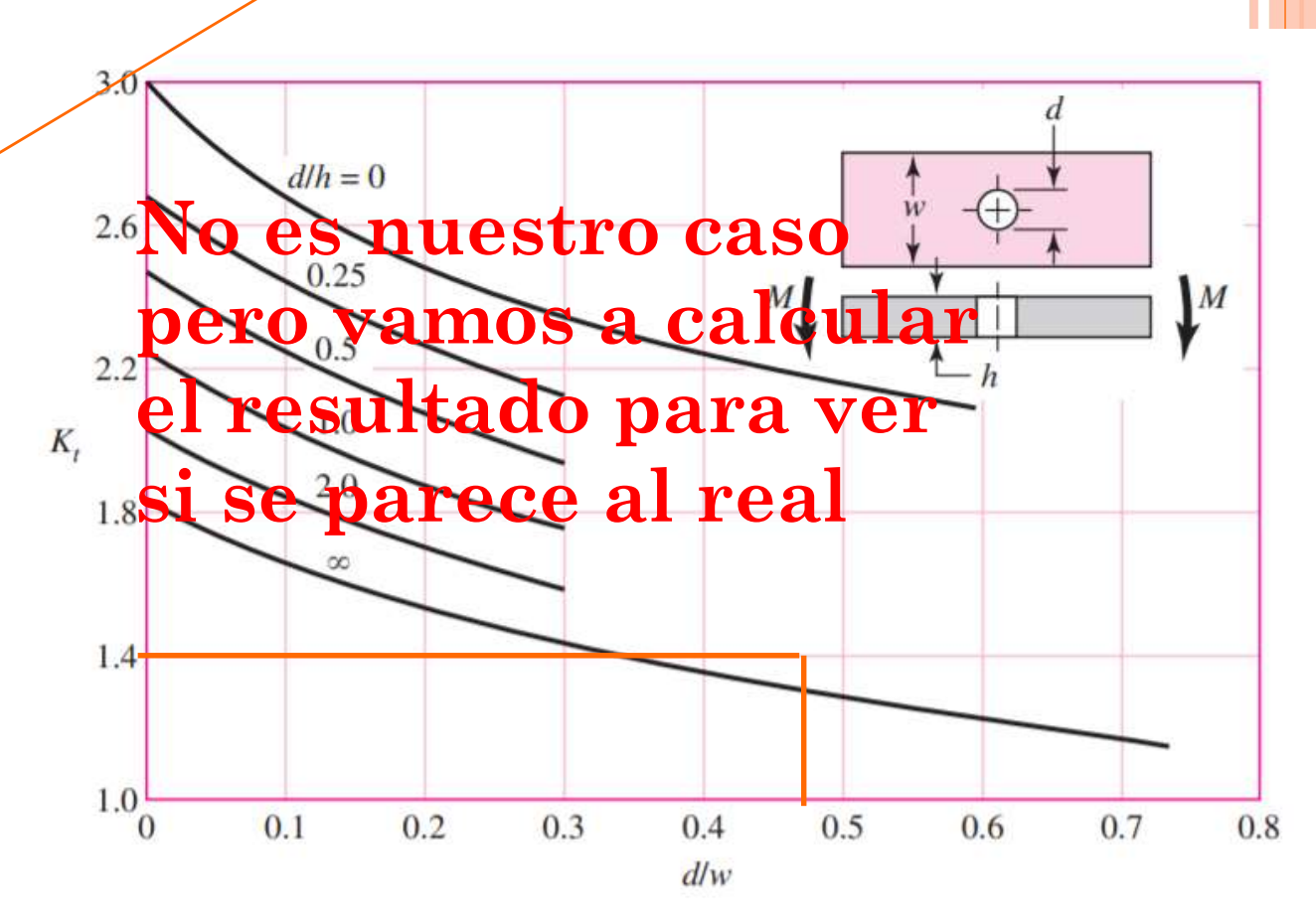


## Figura A-15-2

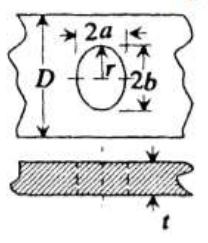
Barra rectangular con un agujero transversal en flexión.

 $\sigma_0 = Mc/I$ , donde  $I = (w - d)h^3/12$ .

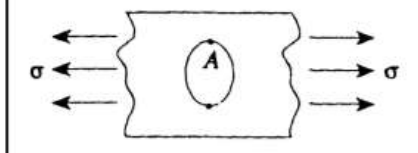
W	30
h	4
d	14
d/w d/h	0,47
d/h	3,50
Kt	1,4



7. Single elliptical hole in finite-width plate

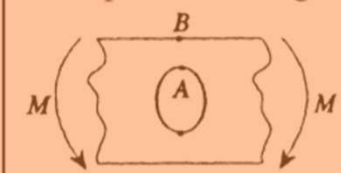


a. Axial tension



$$\sigma_{\text{max}} = \sigma_A = K_t \sigma_{\text{nom}}, \qquad \sigma_{\text{nom}} = \sigma/(1 - 2a/D)$$

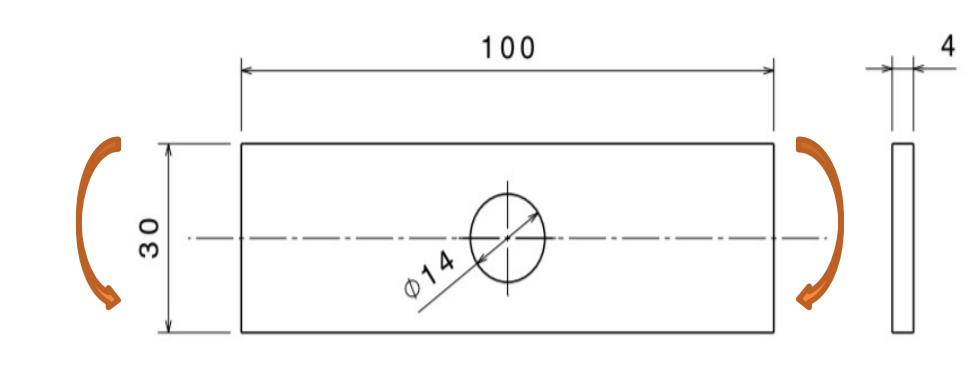
$$K_t = C_1 + C_2 \frac{2a}{D} + C_3 \left(\frac{2a}{D}\right)^2 + C_4 \left(\frac{2a}{D}\right)^3$$



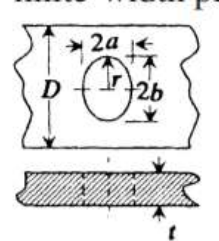
$$\sigma_{\text{max}} = \sigma_A = K_t \sigma_{\text{nom}}, \qquad \sigma_{\text{nom}} = 12Ma/(D^3 - 8a^3)t$$

$$K_t = C_1 + C_2 \left(\frac{2a}{D}\right) + C_3 \left(\frac{2a}{D}\right)^2$$

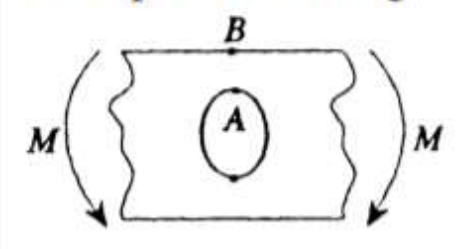




# 7. Single elliptical hole in finite-width plate



#### b. In-plane bending



	a	0
	b	0
	r	7
	D	30,00
	2a/D a/b	0,47
	a/b	1,00
	C1	2,00
-	- C2	2
	C3	-
	<u>KT</u>	2,00

$$\sigma_{\text{max}} = \sigma_A = K_t \sigma_{\text{nom}}, \qquad \sigma_{\text{nom}} = 12Ma/(D^3 - 8a^3)t$$

$$K_t = C_1 + C_2 \left(\frac{2a}{D}\right) + C_3 \left(\frac{2a}{D}\right)^2$$

$$0.4 \le 2a/D \le 1.0,$$
  $1.0 \le a/b \le 2.0$ 

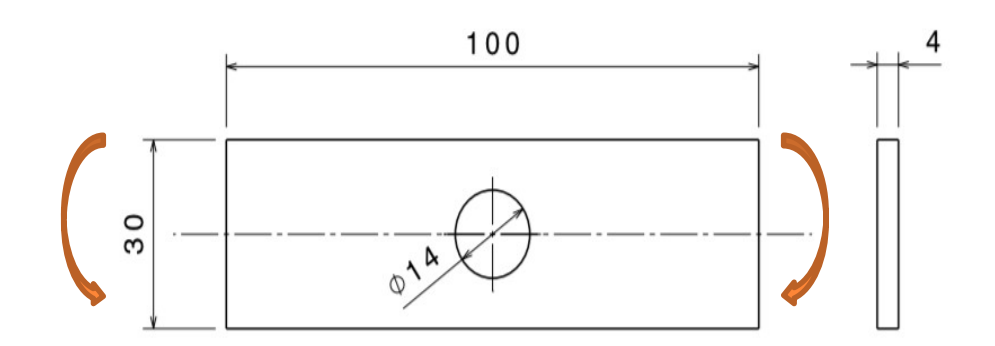
$$C_1$$
 1.509 + 0.336( $a/b$ ) + 0.155( $a/b$ )<sup>2</sup>

$$C_2 = -0.416 + 0.445(a/b) - 0.029(a/b)^2$$

$$C_3 = 0.878 - 0.736(a/b) - 0.142(a/b)^2$$

for 
$$2a/D \le 0.4$$
,  $\sigma_{\text{max}} = \sigma_B = 6M/D^2t$ 

a	0	14	
b	0	T T 14 0.	
r	7	Verificación	
D	30,00		199
2a/D	0,47	1,000 vale $0.4 \le 2a/D \le 1.0$ ,	100
a/b	1,00	1,000 vale $1.0 \le a/b \le 2.0$	
C1	2,00		UNIVERSIDAD
C2	-		NEBRIIA
C3	-		
KT	2,00		

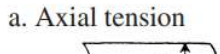


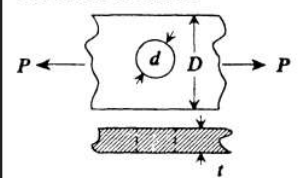




Central single circular hole in finite-width plate

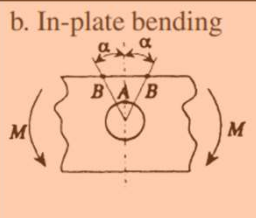






$$\sigma_{\text{max}} = \sigma_A = K_t \sigma_{\text{nom}}, \qquad \sigma_{\text{nom}} = P/[t(D-d)]$$

$$K_t = 3.000 - 3.140(d/D) + 3.667(d/D)^2 - 1.527(d/D)^3$$
  
for  $0 \le d/D \le 1$ 

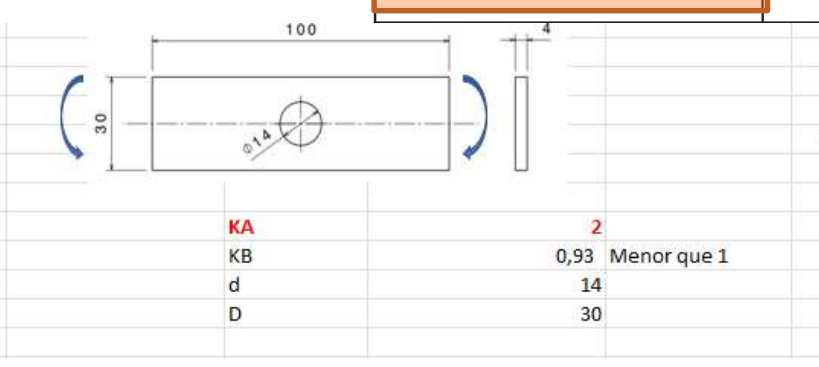


(1) At edge of hole,

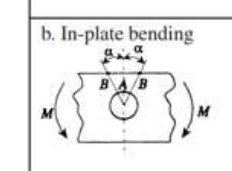
$$\sigma_{\text{max}} = \sigma_A = K_t \sigma_{\text{nom}}, \quad \sigma_{\text{nom}} = 6Md/(D^3 - d^3)t$$
 $K_t = 2 \text{ (independent of } d/D)$ 

(2) At edge of plate,

$$\sigma_{\text{max}} = \sigma_B = K_t \sigma_{\text{nom}}, \qquad \sigma_{\text{nom}} = 6MD/(D^3 - d^3)t$$
  
 $K_t = 2d/D(\alpha = 30^\circ)$ 

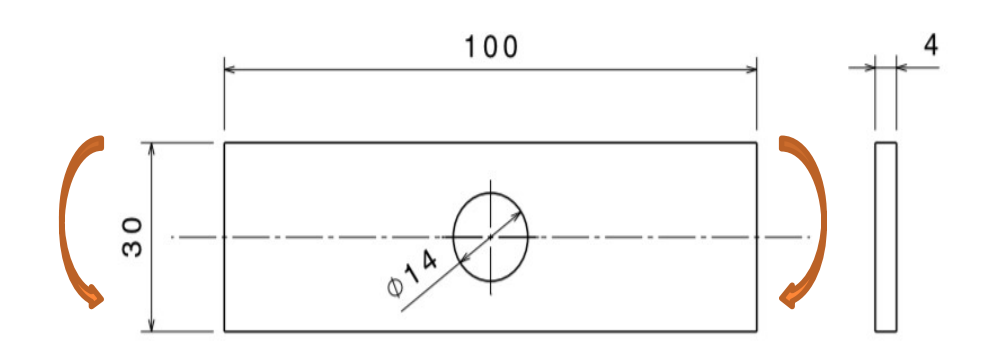




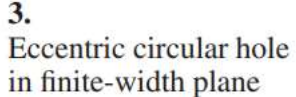


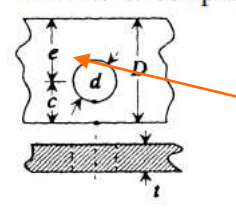


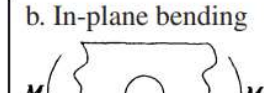


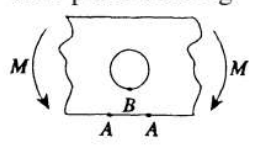


#### TABLE 6-1 (continued) STRESS CONCENTRATION FACTORS: Holes









$$c=d=15$$

$$\sigma_{\max} = \max(\sigma_A, \sigma_B)$$

$$\sigma_B = K_{t_B} \sigma_{\text{nom}}, \qquad \sigma_{\text{nom}} = 6M/D^2 t$$

$$K_{t_B} = C_1 + C_2 \frac{c}{e} + C_3 \left(\frac{c}{e}\right)^2$$

#### $0 \le d/2c \le 0.5$ , $0 \le c/e \le 1.0$

$$C_1$$
 3.000 - 0.631( $d/2c$ ) + 4.007( $d/2c$ )<sup>2</sup>

$$C_2$$
  $-5.083 + 4.067(d/2c) - 2.795(d/2c)^2$ 

$$C_3$$
 2.114 - 1.682 $(d/2c)$  - 0.273 $(d/2c)^2$ 

$$\sigma_A = K_{t_A} \sigma_{\text{nom}}, \qquad \sigma_{\text{nom}} = 6M/D^2 t$$

$$K_{t_A} = C_1' + C_2' \frac{c}{e} + C_3' \left(\frac{c}{e}\right)^2$$

$$C'_1$$
 1.0286 - 0.1638 $(d/2c)$  + 2.702 $(d/2c)^2$ 

$$C_2'$$
  $-0.05863 - 0.1335(d/2c) - 1.8747(d/2c)^2$   $C_2'$   $0.18883 - 0.89219(d/2c) + 1.5189(d/2c)^2$ 

$$\sigma_{\max} = K_t \sigma \text{ for } 0 \le d/L \le 1$$

#### Two equal circular holes in infinite plate

a. Uniaxial tension parallel to row of holes  $(\sigma_1 = \sigma, \ \sigma_2 = 0)$ 

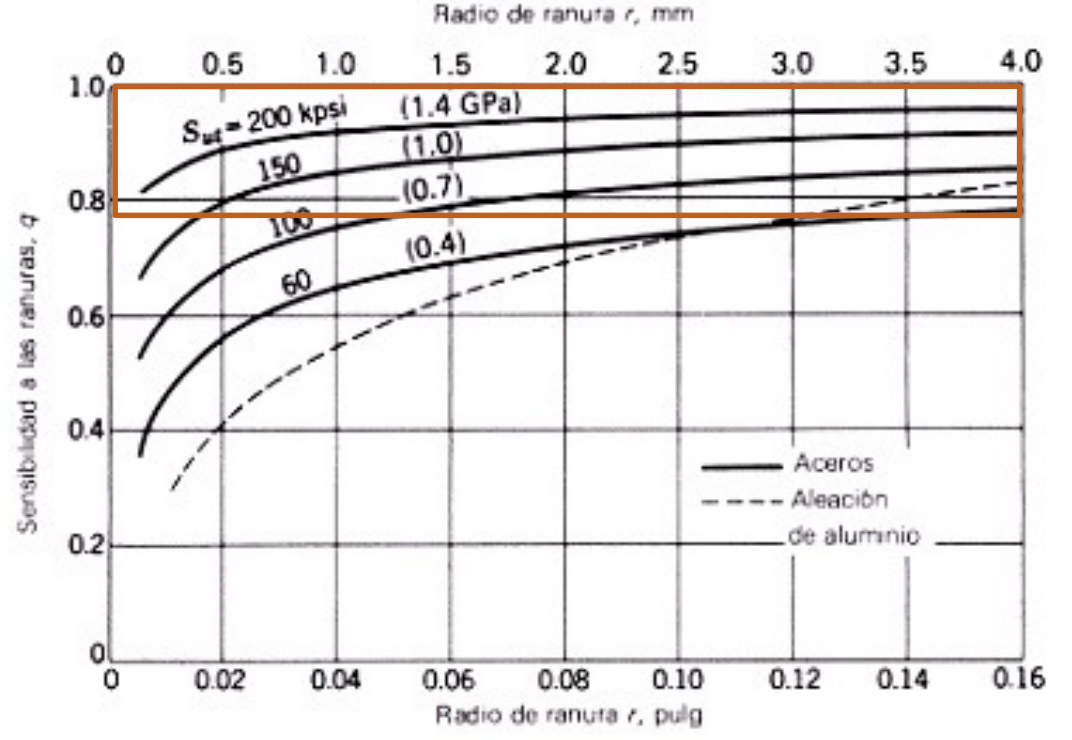
$$K_t = 3.000 - 0.712 \left(\frac{d}{L}\right) + 0.271 \left(\frac{d}{L}\right)^2$$

Si cumple

# $S_e = \prod_i K_i S_e'$

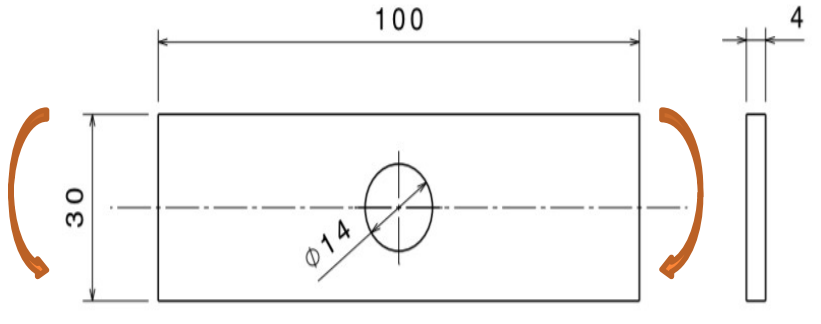
## 6. ECUACIÓN DE MARIN

- o Ejercicio: Placa de acero laminado en frío
  - 1/Kf: Factor de concentración de tensiones. Sensibilidad a la entalla q.
  - Cargas de flexión y axiales alternantes. Sut=400 Mpa, R= 7 mm.
     R>r Tomar valor r=4mm,
     Sut=400 Mpa



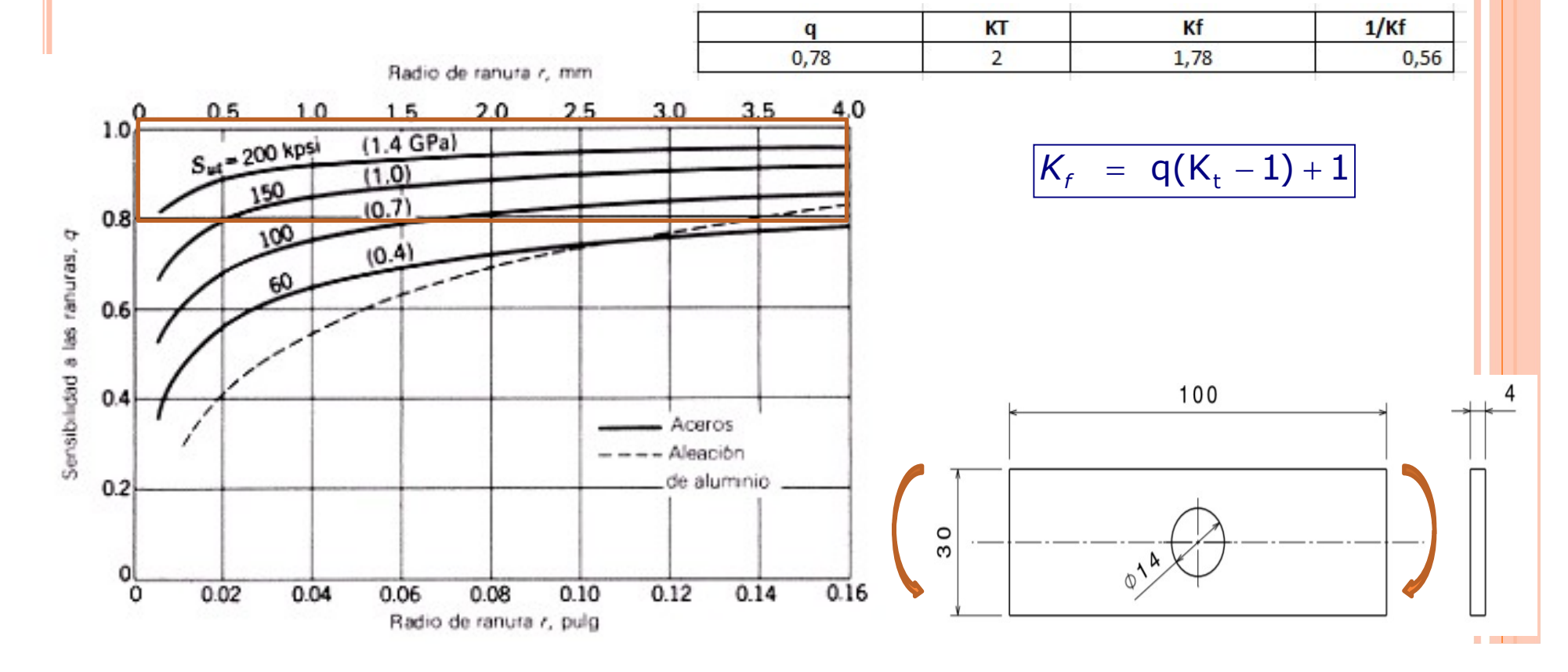
$$K_f = q(K_t - 1) + 1$$

$$q = 0.78$$





- o **Ejercicio**: Placa de acero laminado en caliente
  - 1/Kf: Factor de concentración de tensiones. Sensibilidad a la entalla q.
  - Cargas de flexión y axiales alternantes. Sut=400 Mpa, R= 7mm. R>r Tomar valor r=4mm, q= 0,78 Kf=1,78 1/Kf=0,56



# $S_e = \prod_i K_i S_e'$

## 6. ECUACIÓN DE MARIN

- o **Ejercicio**: Placa de acero laminado en caliente
  - o 1/Kf: Factor de concentración de tensiones. Sensibilidad a la entalla q.
  - Cargas de flexión y axiales alternantes. Sut=400 Mpa, R= 7mm. R>r Tomar valor r=4mm, q= 0,825 Kf=1,825 1/Kf=0,548

		, <b></b> , <b></b> , <b></b> , <b></b> , <b></b>			- ,										
	q		Kt	Kf		1/Kf	1^0,5								
Formula	4	0,825	2		1,825	0,548	Sut			Mpa					
Tomula		0,023	-		1,023	0,540	ntervalo		Sn			а			
			Kt	Kf		1/Kf	-:1			a1				0,59	
Tablas	q	0,780	2		1,780	0,562	i2			a2				0,54	
IdDids		0,780		4	1,700	0,302	i2-s1		35	a2-a1			-	0,05	
		,			$\sqrt{a}$		Тд		- 0,001429			1	7		
	i.	S <sub>u</sub>			Tors	S Sut-s1		20				.  -			
(k	si)	(MPa)	(in <sup>0.5</sup> )	(mm <sup>0.5</sup> )		(in <sup>0.5</sup> )	a^(1/2)=a1+tg(sut	t_c1\	0,561		4	./2			
	0	345	0.130	0.66		0.093	u (1/2/-u1/16/30)	. 31/	0,301			1+			
	5	380	0.118	0.59	$\neg$	0.087	R		7			√r			
	0	415	0.108	0.54		0.080	1707		-						
	0	485	0.093	0.47	_	0.070	R^1/2		2,6458	1+a/r			1,	212	
8	0	550	0.080	0.40		0.062				IV.	220	a/1/	1)	. 1	
9	0	620	0.070	0.35		0.055	q=1/(1+(a/r)^(1/2	2))	0,825	K	$_f$ =	q(K <sub>t</sub> -	T) -	+ 1	
10	00	690	0.062	0.31		0.049	0.23			517		The state of the s			
1	10	760	0.055	0.28		0.044	0.22			100				4	
12	20	825	0.049	0.25		0.039	0.20		<	0.00.000.00		<b>→</b>	-	-	
13	30	895	0.044	0.22		0.035	0.18								
14	40	965	0.039	0.20		0.031	0.16	1					\	1	
10	50	1100	0.031	0.16		0.024	0.12			$\rightarrow$			1		
18	80	1240	0.024	0.12		0.018	0.09	0	_	-4	<b>_</b>				
20	00	1380	0.018	0.09		0.013	0.07	0		014					
22	20	1515	0.013	0.07		0.009	0.05			0/ +		4	<b>"</b>		
24	40	1655	0.009	0.05									_	7	

# $S_e = \prod_i K_i S_e'$

## 6. ECUACIÓN DE MARIN

• **Ejercicio**: Placa de acero laminado en frío

• Ka: Acabado superficial.

• Kb: Factor de tamaño. Carga Flexión.

• Kc: Factor de modificación de carga. Carga Flexión:

• Kd: Factor de temperatura.  $T^a = 450^{\circ}C T \le 550^{\circ}C$ 

• Ke: Factor de fiabilidad. Fiabilidad de 99,99%

• 1/Kf: Concentración de tensiones. **Kt=2 q= 0,825Kf=1,825** 

• Kg: Factor de efectos diversos. Nada.

Ka = 0.78

Kb = 0.98

Kc = 1

Kd = 0.855

Ke=0,702

1/Kf=0,548

Kg=1

kb	kc	Kd	11	Ke	1/Kf	Kg	S'e	Se	K
0,78	0,98	1	0,855	0,702	0,548		1 200		
		<b>*</b>		100		<b>→</b>	4	1	
	30								205

# $S_e = \prod_i K_i S_e'$

## 6. ECUACIÓN DE MARIN

• **Ejercicio**: Placa de acero laminado en frío

• Ka: Acabado superficial.

• Kb: Factor de tamaño. Carga Flexión.

• Kc: Factor de modificación de carga. Carga Flexión:

• Kd: Factor de temperatura.  $T^a = 450^{\circ}C T \le 550^{\circ}C$ 

• Ke: Factor de fiabilidad. Fiabilidad de 99,99%

• 1/Kf: Concentración de tensiones. **Kt=2 q= 0,825Kf=1,825** 

• Kg: Factor de efectos diversos. Nada.

Ka = 0.78

Kb = 0.98

Kc = 1

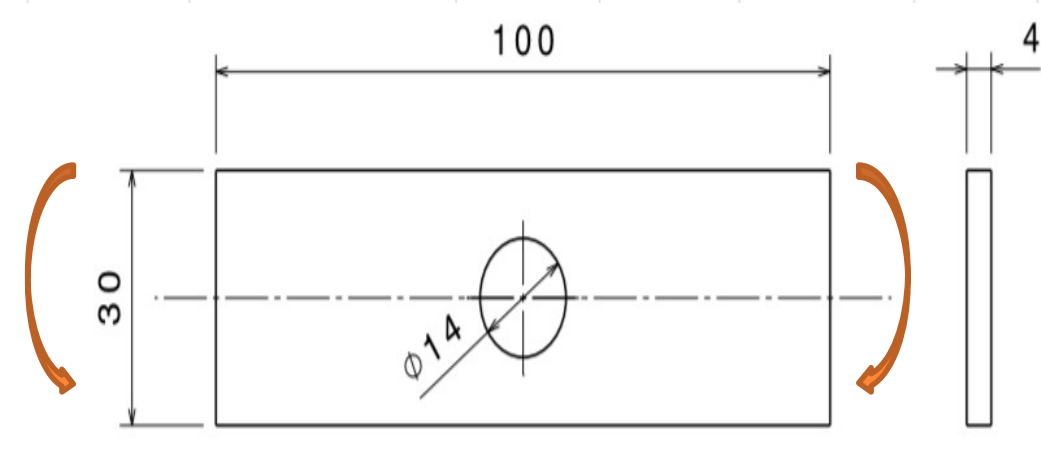
Kd = 0.855

Ke=0,702

1/Kf=0,548

Kg=1

Ka	kb	kc	Kd	Ke	1/Kf	Kg	S'e	Se		K
0,78	0,98	1	0,855	0,702	0,548	1	200	50,47	Мра	0,25





206

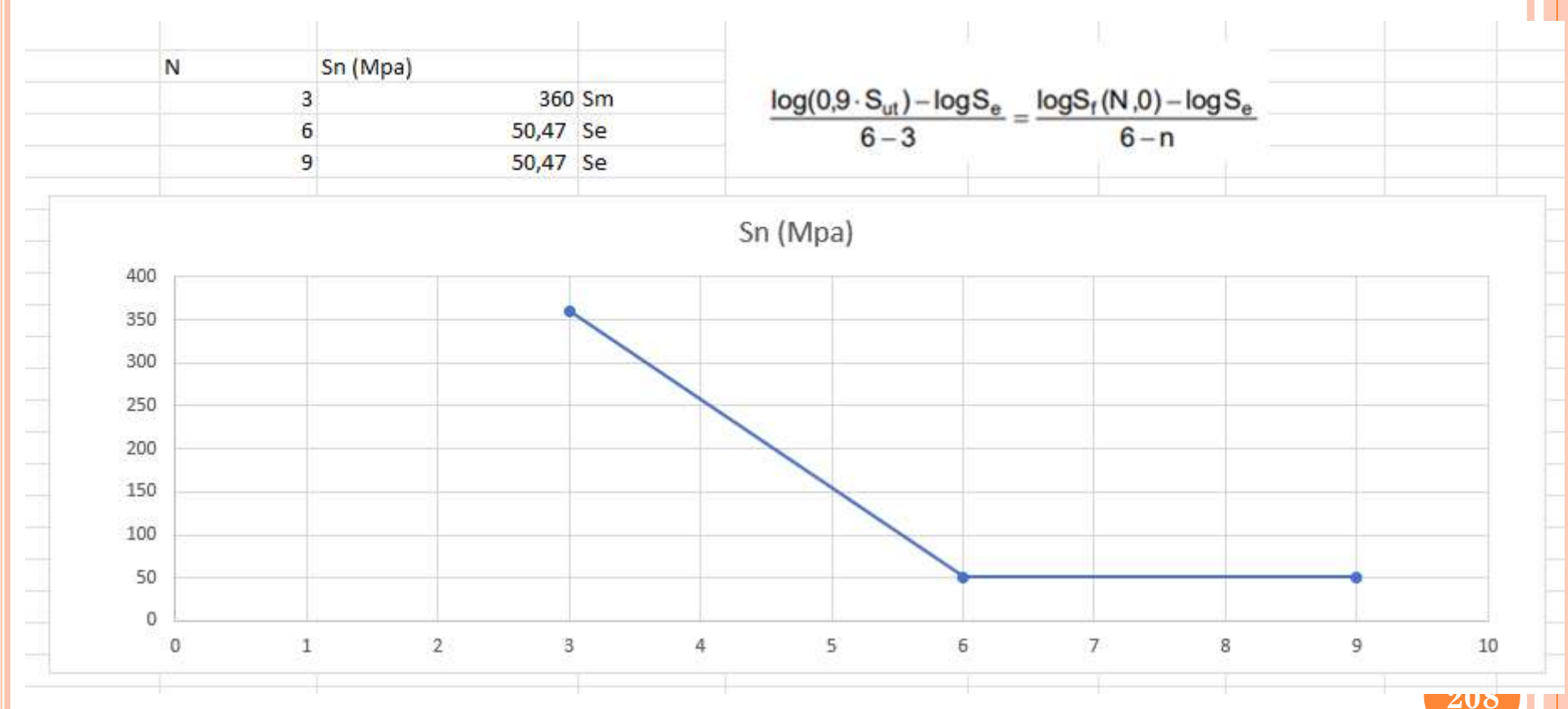
## 6. ECUACIÓN DE MARIN

• 1º Dibuje el diagrama S-N estimado.



## 6. ECUACIÓN DE MARIN

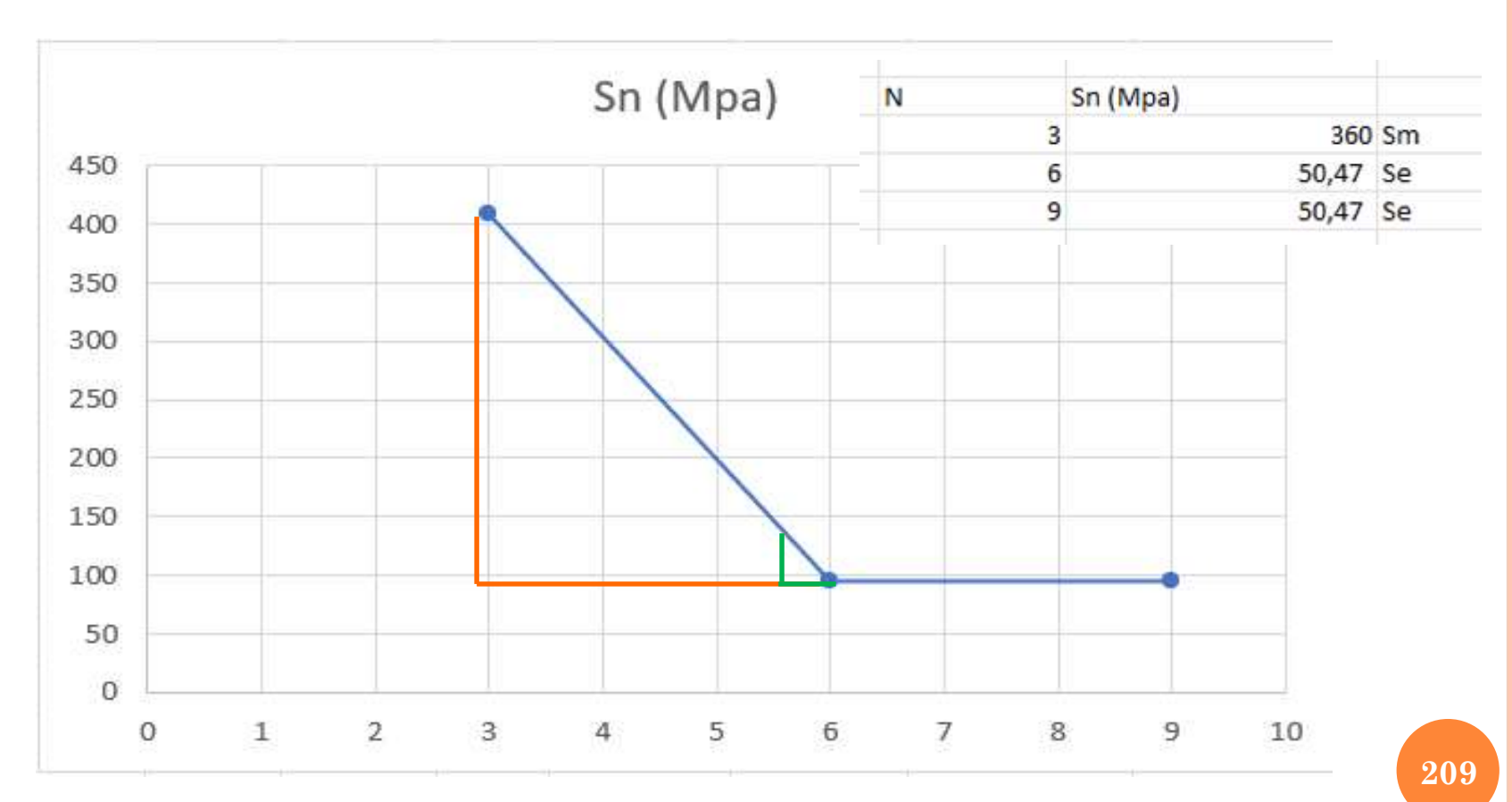
• 2° Si se desea que la pieza aguante 600.000 ciclos ¿Cuál es la máxima tensión teórica que podría soportar?





## 6. ECUACIÓN DE MARIN

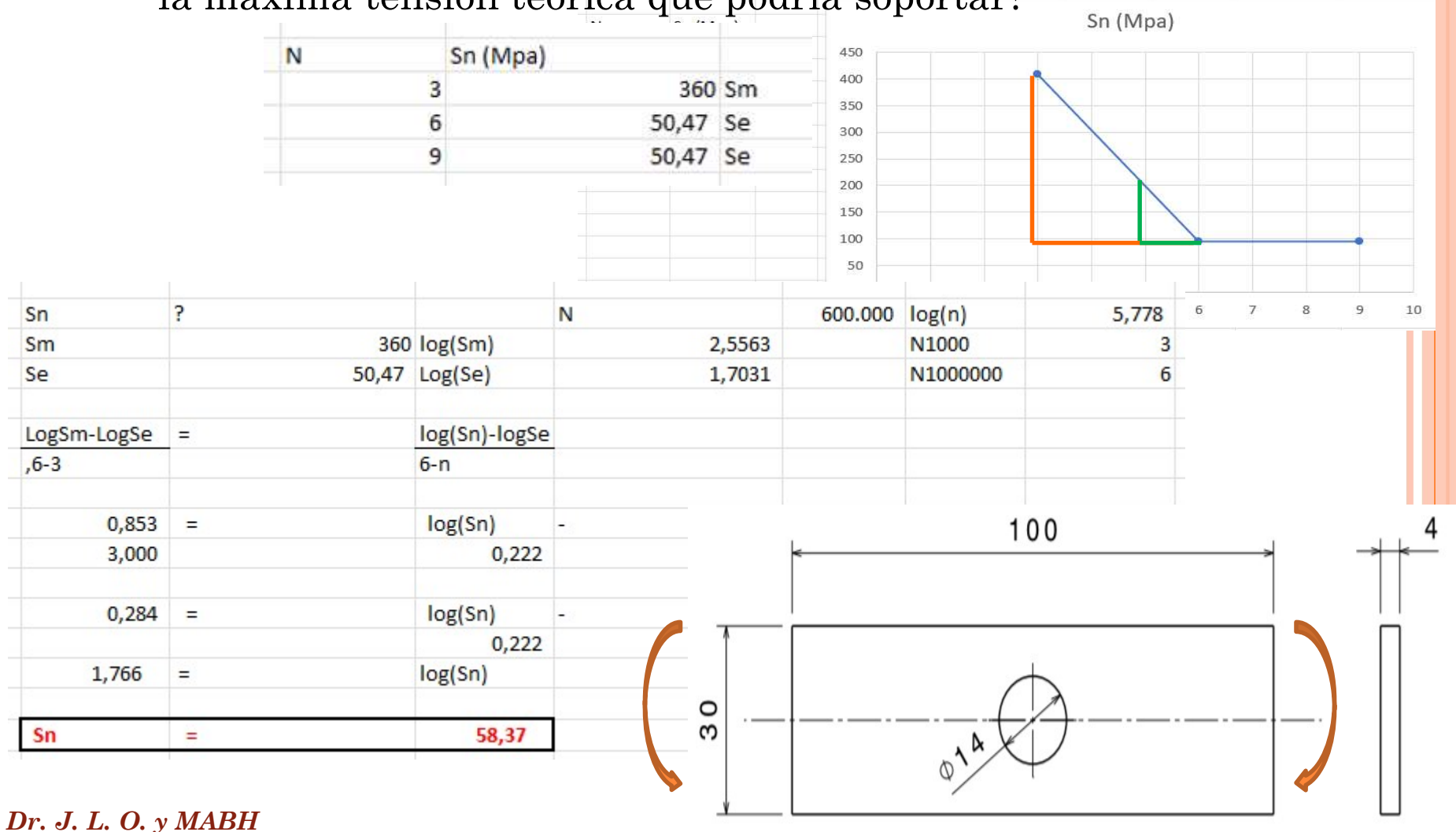
• 2° Si se desea que la pieza aguante 600.000 ciclos ¿Cuál es la máxima tensión teórica que podría soportar?





## 6. ECUACIÓN DE MARIN

• 2° Si se desea que la pieza aguante 600.000 ciclos ¿Cuál es la máxima tensión teórica que podría soportar?



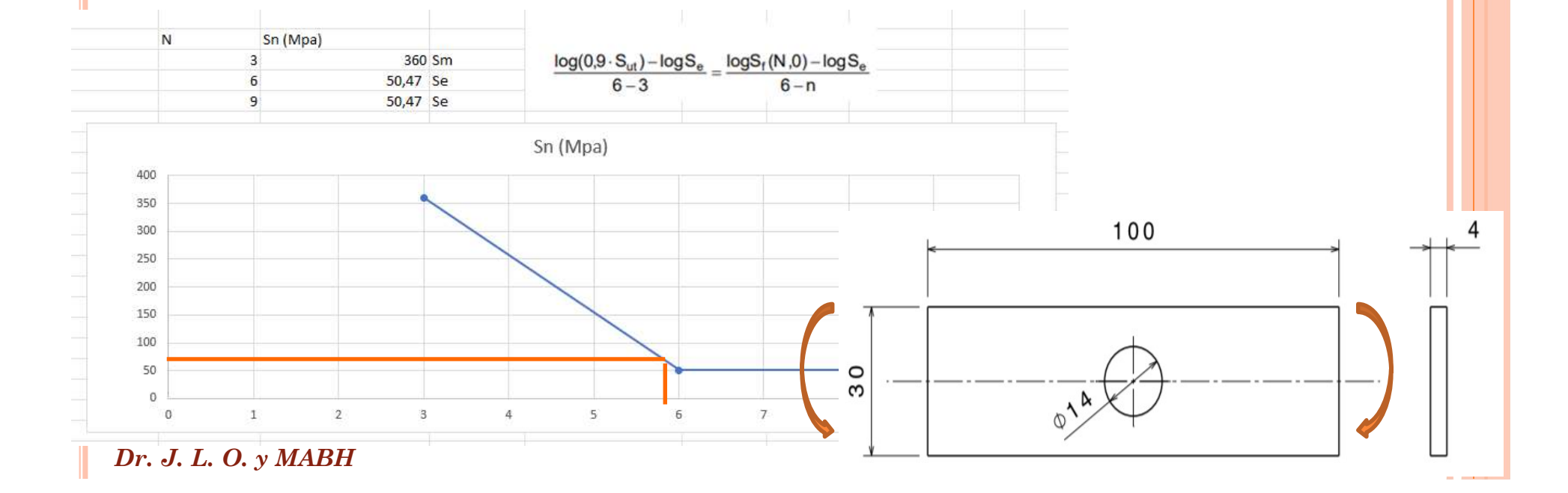
## 6. ECUACIÓN DE MARIN

• ¿A que valor de flexión corresponde esa tensión?

7. Single elliptical hole in finite-width plate

$\sigma_{\max} = \sigma_A = K_t \sigma_{\text{nom}},$	$\sigma_{\text{nom}} = 12Ma/(D^3 - 8a^3)t$	
---	--	--

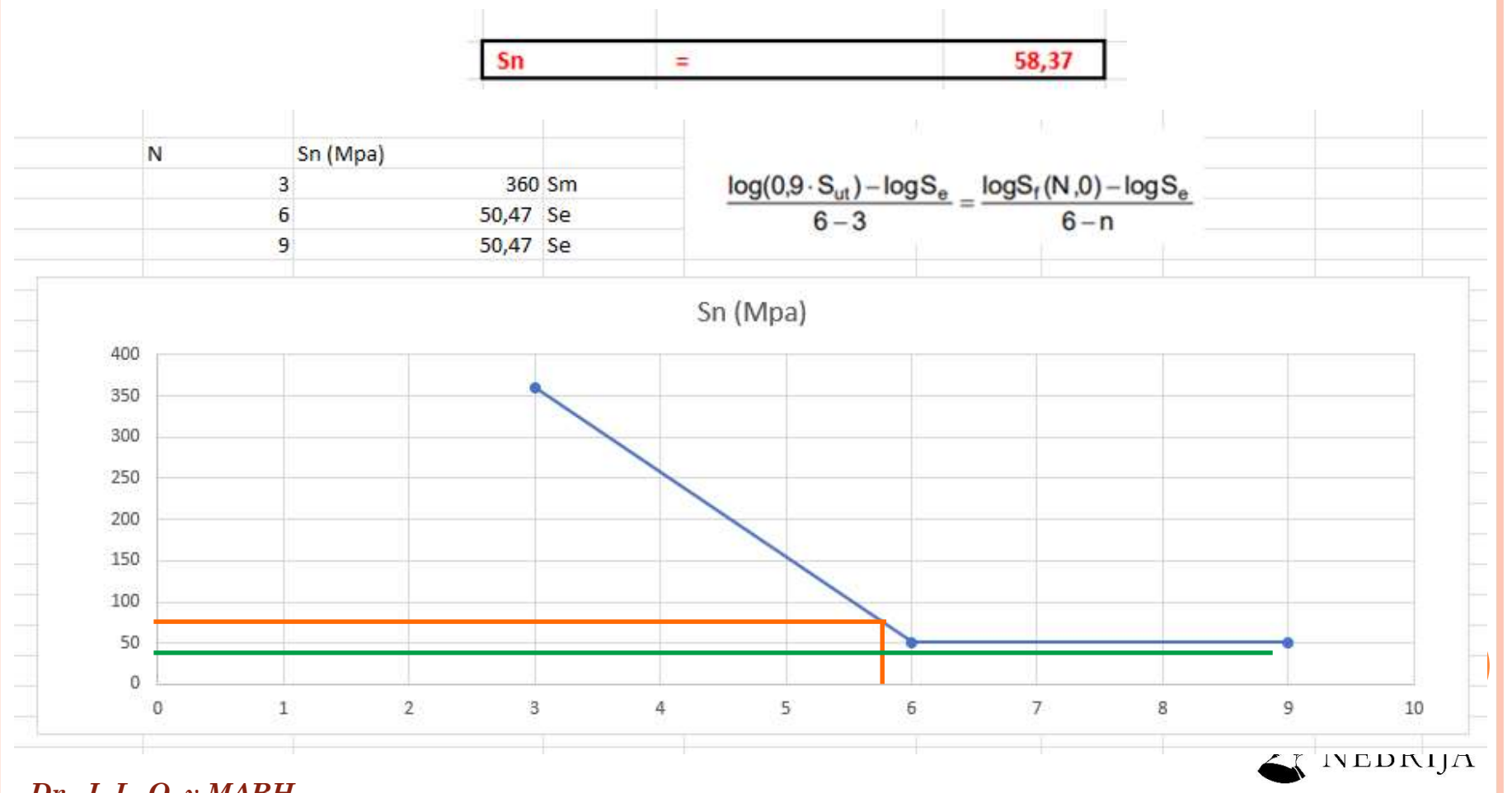
8	$(D^3 \circ a^3)_4$	Snom	D		a	t
$M - \frac{O_{i}}{I}$	$_{nom}(D-8a)i$	58,37		30	7	4
111 -	12a	58.366.780,07		0,03	0,007	0,004
		Pa=N/m2	m		m	m
		M		67,42	Nm	
		Se		50,47		



Entender enunciado

## 6. ECUACIÓN DE MARIN

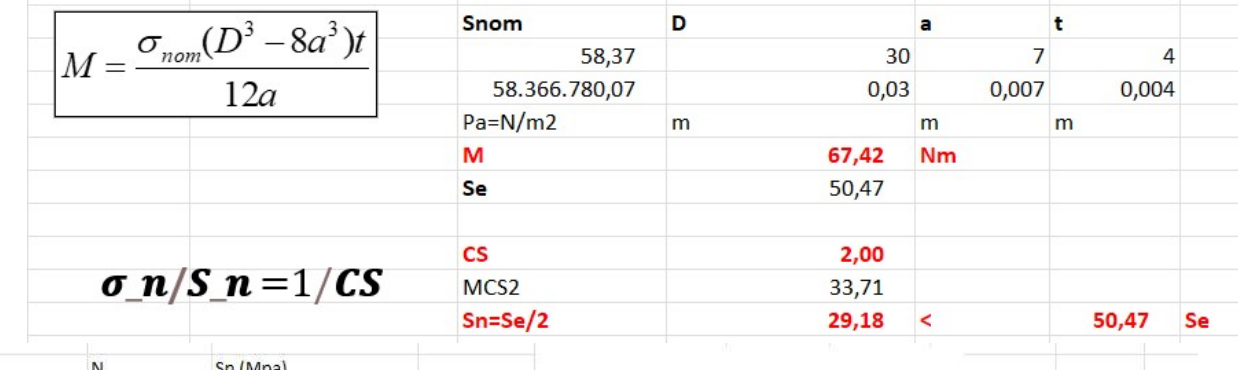
• Si deseamos tener un factor de seguridad de 2 con respecto al límite de fatiga del material (para asegurar vida infinita) ¿Cuál será la flexión alternante máxima que podríamos aplicar a la pieza?



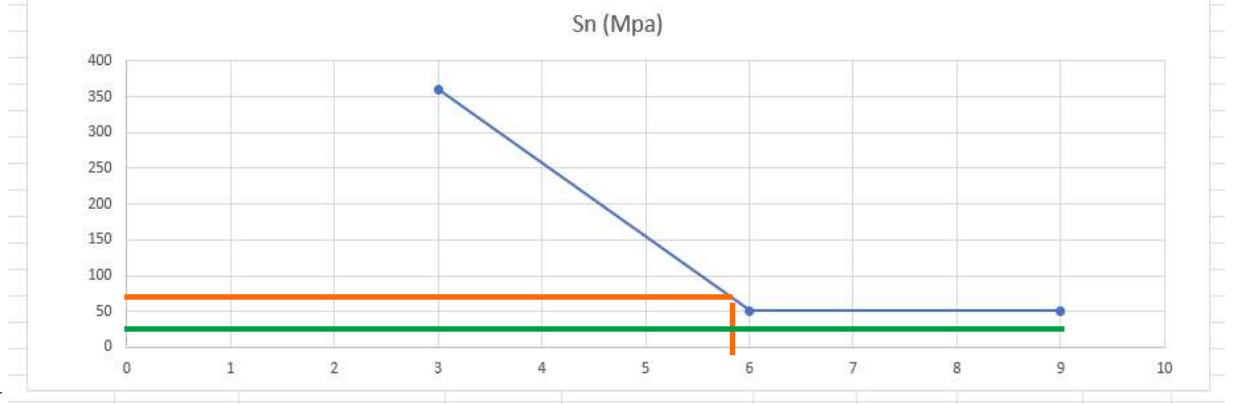
## 6. ECUACIÓN DE MARIN

• Si deseamos tener un factor de seguridad de 2 con respecto al límite de fatiga del material (para asegurar vida infinita) ¿Cuál será la flexión alternante máxima que podríamos aplicar a la pieza?

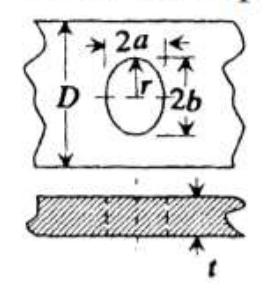




	Sn (Mpa)							
3	360	Sm	$log(0,9 \cdot S_{ut}) - log$	gS <sub>e</sub> logS	$f(N,0) - \log r$	jS <sub>e</sub>		
6	50,47	Se	6-3	-	6-n			
9	50,47	Se						
			Sn (Mpa)					
		6 50,47		6 50,47 Se 6-3 9 50,47 Se	6 50,47 Se 6-3 9 50,47 Se	6 50,47 Se 6-3 6-n 9 50,47 Se	6 50,47 Se 6-3 6-n 9 50,47 Se	6 50,47 Se 6-3 6-n 9 50,47 Se



7. Single elliptical hole in finite-width plate





## RESISTENCIA A LA FATIGA BIBLIOGRAFÍA



J.E. Shigley y C. Mischke, McGraw Hill, 2002. DISEÑO EN INGENIERÍA MECÁNICA, 6ª Ed. ISBN: 9701036468

J.L. San Román, B. Muñoz, ISVA, 2003.

DISEÑO DE ELEMENTOS MECÁNICOS SOMETIDOS A FATIGA

ISBN: 84-688-3966-3





R. Avilés, Ed. Thomson, 2005 ANÁLISIS DE FATIGA EN MÁQUINAS ISBN: 84-9732-344-0

> J.I. Pedrero, UNED, 2005. TECNOLOGÍA DE MÁQUINAS (TOMO 1) ISBN: 8436251253





A. J. Besa Gonzálvez et al., Prentice Hall, 2003. COMPONENTES DE MÁQUINAS ISBN: 84-205-3907-4

https://nch.nebrija.es/ https://fs.nebrija.es/adfs/ls/



214